

MINISTERUL EDUCAȚIEI SI INVATAMINTULUI  
INSTITUTUL POLITEHNIC „TRAIAN VUÎA” TIMISOARA  
FACULTATEA DE CONSTRUCTII

ING. IOAN BORŞ

STRUCTURI DIN ELEMENTE SPAȚIALE  
DE BETON ARMAT

— TEZA DE DOCTORAT —

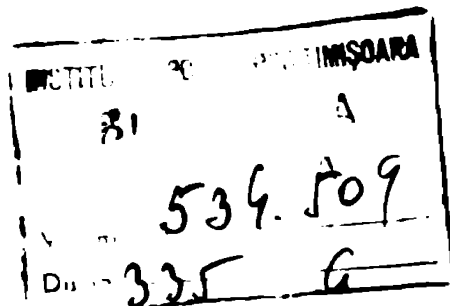
BIBLIOTECĂ CENTRALĂ  
UNIVERSITATEA „POLITEHNICA”  
TIMIȘOARA

CONDUCĂTORI ȘTIINȚIȚI:

PROF. EM. ING. CONSTANTIN AVRAM  
M.C. AL ACAD. R.S.R.

PROF. DR. DOC. ING. IOAN FILIMON

- 1988 -



CUPRINS

<b>1. INTRODUCERE. OBIECTUL SI STRUCTURA LUCRARII . . . . .</b>	<b>1</b>
<b>2. SISTEME DE CONSTRUCȚIE CU ELEMENTE SPĂȚIALE SI PROCEDURI DE REALIZARE . . . . .</b>	<b>7</b>
<b>2.1. Clasificări ale elementelor spațiale . . . . .</b>	<b>7</b>
<b>2.1.1. Clasificare pe criterii structurale . . . . .</b>	<b>7</b>
<b>2.1.2. Clasificare pe criterii de funcționalitate . . . . .</b>	<b>7</b>
<b>2.1.3. Clasificare pe criterii de alcătuire . . . . .</b>	<b>7</b>
<b>2.1.4. Clasificare pe criterii de rezemare . . . . .</b>	<b>8</b>
<b>2.2. Sisteme de construcție cu elemente spațiale aplicate în străinătate . . . . .</b>	<b>8</b>
<b>2.2.1. Procedeu SIGMA, sistemul constructiv SCOT, Elveția . . . . .</b>	<b>8</b>
<b>2.2.2. Sistemul LOVJA, Finlăndă . . . . .</b>	<b>11</b>
<b>2.2.3. Sistemul VARIEL - ELCON - AG, Elveție . . . . .</b>	<b>11</b>
<b>2.2.4. Sistemul BOSTALSBULAGET - Göteborg, Suedia . . . . .</b>	<b>11</b>
<b>2.2.5. Sistemul ZANUSSI - FARSUNA, Italia . . . . .</b>	<b>11</b>
<b>2.2.6. Sistemul Z.M.-BPT, Venezuela . . . . .</b>	<b>11</b>
<b>2.2.7. Sisteme de construcție cu elemente spațiale aplicate în U.S.A. . . . . .</b>	<b>15</b>
<b>2.2.8. Sisteme de construcție cu elemente spațiale aplicate în U.R.S.S. . . . . .</b>	<b>16</b>
<b>2.3. Sisteme de construcție cu elemente spațiale aplicate în R. S. România . . . . .</b>	<b>20</b>
<b>2.3.1. Generalități . . . . .</b>	<b>20</b>
<b>2.3.2. Sistemul ICLJ Brașov de construcție cu elemente spațiale tip inel . . . . .</b>	<b>20</b>
<b>2.3.3. Sistemul ICLJ Brașov de construcție cu elemente spațiale tip patrulater . . . . .</b>	<b>21</b>
<b>2.3.4. Sistemul C.a.C.-I.C.P.-C., Craiova . . . . .</b>	<b>25</b>
<b>2.3.5. Sistemul Ieși . . . . .</b>	<b>26</b>
<b>3. CARACTERISTICI DE ALCAȚUIRE A STRUCTURILOR SI A ALCAȚUIRILOR CONCRETE . . . . .</b>	<b>27</b>
<b>3.1. Conceptul de modularitate . . . . .</b>	<b>27</b>
<b>3.2. Alcațuirea elementelor spațiale . . . . .</b>	<b>27</b>
<b>3.3. Alcațuirea structurilor din elemente spațiale . . . . .</b>	<b>32</b>
<b>3.4. Alcațuirea imbinărilor . . . . .</b>	<b>35</b>
<b>3.5. Alcațuirea infrastructurilor . . . . .</b>	<b>42</b>

## II

<b>4.</b>	<b>ASPECTE REFERITORI LA COMPORTAREA STRUCTURILOR SI A COLOANELElor CONCRETE. CERCETARI EXPERIMENTALE . . . . .</b>	<b>43</b>
4.1.	Aspecte privind comportarea pereților elementelor spațiale . . . . .	44
4.1.1.	alcătuirea pereților. . . . .	45
4.1.2.	Modul de efectuare a încercările, constatări. . . . .	45
4.1.3.	Definirea încercării critice. . . . .	46
4.1.4.	Modul de cedare. Stadii de lucru ale pere- ților . . . . .	46
4.2.	Aspecte referitoare la comportarea coloanelor de elemente spațiale. . . . .	49
4.2.1.	Elemente experimentale. Încercari . . . . .	49
4.2.2.	Comportarea coloanelor la încarcare . . . . .	51
4.3.	Cercetari experimentale asupra fâbinărilor realiza- te în soluția cu borcuri perimetrale. . . . .	53
4.3.1.	elemente experimentale. . . . .	54
4.3.2.	Rezultatele încercărilor. . . . .	59
<b>5.</b>	<b>REALIZAREA CALCULULUI STRUCTURILOR SI A ELEMENTELOR COMPONENTE. . . . .</b>	<b>61</b>
5.1.	Metode pentru calculul structurilor din elemente spațiale . . . . .	61
5.1.1.	Metode de calcul aplicate în străinătate. . . . .	61
5.1.2.	Metode de calcul aplicate în R.S.Romania. . . . .	63
5.2.	Analiza structurilor din elemente spațiale cu procedeul macroelementelor. . . . .	64
5.2.1.	Procedeul macroelementelor Variante A . . . . .	71
5.2.2.	Procedeul macroelementelor. Variante B. . . . .	85
5.2.3.	Procedeul macroelementelor. Variante C. . . . .	90
5.3.	Experimentări numerice asupra elementelor spațiale..	95
5.3.1.	Experimentări numerice pe elemente spațiale Serie 1 . . . . .	95
5.3.2.	Experimentări numerice pe elemente spațiale. Serie 2 . . . . .	100
5.3.3.	Experimentări numerice pe elemente spațiale. Serie 3 . . . . .	110
5.3.4.	Concluzii rezultate din experimentările nu- meriche pe elemente spațiale . . . . .	123
5.4.	Experimentări numerice asupra coloanelor de elemente spațiale . . . . .	124
5.4.1.	Experimentări numerice pe coloane de elemente spațiale. Serie 1 . . . . .	127

### III

5.4.2. Experimentări numerice pe coloane de elemente spațiale. Seria 2 . . . . .	138
5.4.3. Concluzii rezultate din experimentările numerice pe coloane . . . . .	148
5.5.Exemple de calcul. Comparării TNOZDOV - MFP, TNIIIEP - MFP . . . . .	155
5.5.1. exemplul de calcul nr. 1 Comparare TNOZDOV - MFP . . . . .	155
5.5.2. exemplul de calcul nr. 2 Comparare TNIIIEP - MFP. . . . .	159
6. REALIZARI SI ASPECTE DE EFICIENȚĂ TEHNICO-ECONOMICĂ . . .	160
6.1.Realizări în sistemul ICIU de construcție cu elemente spațiale tip inel . . . . .	160
6.2.Realizări în sistemul ICIZ de construcție cu elemente spațiale tip pahar culest . . . . .	163
7. CONCLUZII Generale. VALORIZĂRI . . . . .	170
BIBLIOGRAFIЯ . . . . .	177

## 1. INTRODUCEREA, VIZIUNEA SA SI SARCINA DOCUMENTULUI.

Productivitatea muncii este unul din indicatorii care sintetizează gradul de dezvoltare a unei societăți; creșterea lui este o preocupare permanentă atât în țara noastră cât și pe plan mondial.

Una din căile de creștere a productivității muncii în activitățile de construcții este prefabricarea spațială; ea constă în realizarea clădirilor din elemente mari spațiale, care se execută, în prima fază, prefabricat, de regulă în regim industrial și se assemblează, în faza următoare, pe săntier.

Prefabricarea cu elemente spațiale finisate, realizată în regim industrial, în poligoane, ateliere sau fabrici, se folosește ca succesiune de clădiri de locuit, școlare, administrațive, precum și la construcții industriale (posturi de transformare electrică, cabine de comandă, cuve etc.), edilitare (cămine pentru instalații, case de pompă etc.), de organizare de săntier etc.

Procedee de construcție cu elemente spațiale, au fost elaborate și realizate și ales în țari dezvoltate din punct de vedere tehnic și industrial; mai mult de loc de sisteme se aplică în peste 30 de țări, din care cităm: Franța [1], Elveția [7c], U.R.S.S. [34,11c], Finlanda [131,180], U.S.A. [94,181,182], Italia [68], Suedia [80], R.F.G. [92,93], Norvegia [77], R.D.G. [69], Venezuela [14,94], Israel [140], Japonia [93], R.D. România, etc.

Idee fundamentală care stă la baza dezvoltării proce-  
selor de construcție cu elemente spațiale este organizarea unei  
fabricații care să asigure livrarea pe bandă rulantă a camerelor  
prefabricate, echipate cu toate instalațiile și complet finisate,  
principiu tehnologic folosit pentru produsele de serie ale multor  
ramuri industriale.

Elementele spațiale se realizează din beton armat (cu agregate graue sau ușoare), oțel, lemn, materiale plastice, sau prin folosirea combinației acestor materiale; în lucrare se prezintă aspecte referitoare la sistemele de construcție cu elemente spațiale din beton armat.

Cel mai răspândit, în lumea Occidentală, este sistemul fabricat al Societății ALCOM și Elveția; el a fost exportat în șase țări (Franța, R.F.G., Olanda, Belgia, Suedia, Republica Sud-Africană).

Volumul cel mai mare de clădiri cu structura din elemente spațiale se constituie în U.R.S.S., unde funcționează, în prezent, peste 25 de fabrici, cu o capacitate anuală de producție de circa

două zilnice de m2. aria desfășurată [34].

O diversitate mare de clădiri din elemente spațiale, având de la cîteva niveluri (1 la 5) pînă la peste 20, se realizează în zone nesismice, cu seismicitate moderată sau puternic seismice. La Ingkant (U.R.S.S.) a fost pus în funcțiune (1984) o uzină de elemente spațiale finisate pentru clădiri cu 9 niveluri care se construiesc în zone cu gradul 9 de protecție antiseismică [119]. În Portorico (U.S.A.) s-a executat clădirea înalte (unelă cu 22 de niveluri), cu structura din elemente spațiale montate în șah (sistemul SHILLIY), în zone seismice, expuse și la vînturi de mare intensitate [181].

Elementele spațiale finisate sunt transportate uneori la distanțe foarte mari, pentru construirea de clădiri în zone izolate (ex. elemente spațiale liviate de uzine din Krasnodar - U.R.S.S., sunt transportate în Siberia [34]), sau în alte țări (ex. camere prefabricate complet finisate, executate în sistemul I.C.I. la Albenă - U.S.A., sunt transportate atât și pe vapoare pentru lucrări în Mesoasia și Arabie Saudită [182]; elemente spațiale în sistemul VAFIAL pentru o secărie la Genova - Italia au fost transportate pe căale ferate de la Paris [70]).

Tendința actuală în U.R.S.S. este dezvoltarea în cadrul fabricilor existente de panouri mari a unor secții de fabricație a elementelor spațiale cu valoare mare de instalații și finisaje (bucătării, băi, case de scază, puțuri de lift etc.), pentru realizarea în prime etape de construcții mixte - din panouri mari și elemente spațiale - și trecerea progresivă a acestora la producție integrată de elemente spațiale [34].

În ţara noastră există o bună și îndelungată experiență în domeniul construcțiilor din elemente spațiale. Pe perioada peste 25 de ani au fost realizate procedee și instalații de formare a elementelor spațiale, sisteme de construcție [28], și au fost efectuate cercetări teoretice și experimentale asupra elementelor, îmbinărilor și structurilor [154].

În anii 1961 - 1962 au fost experimentate, la Ghești, primele elemente spațiale de mari mărimi camerelor, iar în anul 1963 a fost construită, din aceste elemente, o clădire de locuit cu trei niveluri și 12 apartamente [7].

În aceeași perioadă (1962) a-e experimentat, la INCHIC, un element spațial de beton armat cu agregate din granulit cu dimensiunile de 3,60 x 12,00 - 2,90 x [93], și a fost executată o clădire de garsoniere (1963) din elemente spațiale asamblate din panouri măsurătoare [7].

Activitatea din Brașov, în domeniul prefabricării cu elemente spațiale, a inceput în anul 1969, cind a fost pusă în funcțiune o instalație rotitoare, de formare a unor elemente spațiale de tip inel; prima clădire realizată din aceste elemente a fost un bloc de locuințe cu 5 niveluri și 20 apartamente [103, 20].

Preocupările în acest domeniu s-au intensificat în deceniiul 1970 - 1980, impulsionate de volumul mare de locuințe necesare de executat și de imperativul creșterii productivității muncii. Ele s-au concentrat în direcția realizării elementelor spațiale în uzină, sub formă de camere prefabricate, echipate cu toate instalațiile și complet finisate. S-au dezvoltat începând din 1972, în paralel, două sisteme de construcție : Sistemul ICIM la Brașov și sistemul C.M.C. - I.C.P.M. la Craiova. În aceste sisteme s-au construit, în clădiri cu 5 niveluri, circa 5.000 de apartamente la Brașov și circa 3.000 la Craiova.

În prezent sunt în desfășurare, la IPCT, cercetări teoretice și numerice în vederea punerii la punct a unui sistem structural alcătuit din nucleu de elemente spațiale prefabricate și panouri de plasaj, pentru clădiri cu 9 niveluri [47].

Procedeele de construcție cu elemente spațiale finisate asigură condiții de organizare a lucrărilor pe principii industriale, cu toate avantajele ce decurg dintr-o esențială organizare :

- Transferarea unui volum de 70 - 80% din lucrările de construcții și instalații în ateliere, fabrici sau poligoane;
- Posibilități mai bune de mecanizare, și în viitor de robotizare, a lucrărilor;
- Creșterea calității lucrărilor ;
- Creșterea condițiilor mai bune de lucru pentru personalul muncitor ;

— Creșterea spectaculoasă a productivității muncii pe șantier, unde realizarea unei clădiri constă în montajul simplu și rapid a unui număr redus de piese mari, finisate și echipate cu toate instalațiile și recordarea instalațiilor (piesele au o bună stabilitate proprie în timpul montajului datorită alcătuirii spațiale a lor) ;

— Reducerea substanțială a duratălor de execuție; un ritm de montaj de circa 25 - 30 elemente spațiale pe zi este asigurat de o măsură de mare capacitate (loc - 150 tm), deservită de o echipă de 5 muncitori. (În sistemul ICIM Brașov s-a obținut performanțe remarcabile : o clădire cu 20 apartamente și 5 niveluri, la care s-a utilizat loc de elemente spațiale, a fost realizată com-

plet, pe fundațiile pregătite în avans, în numai 6 zile).

Pentru asigurarea unui ritm rapid de montaj se urmărește simplificarea soluțiilor de asamblare în clădire. În multe sisteme de construcție se renunță la restabilirea monolitismului prin îmbinări continue. Alcătuirea clădirilor se face din componente structurale verticale specifice (definite în subcapitolul 3.3.): stive (șiruri de elemente spațiale stivuite fără legături între elementele suprapuse),

colegne elementare (stive la care se efectuează îmbinări pentru prelucrarea întinderii între elementele suprapuse) și

colegne complexe (colegne elementare asociate cu îmbinări în lungul muchiilor verticale), legate între ele la nivelul planșelor, în unele cazuri numai cu îmbinări uscate (plăcuțe metalice sudate).

Astfel alcătuite structurile din elemente spațiale formează o categorie distinctă, cu proprietăți și comportări care le diferențiază de celelalte tipuri de structuri :

- Repreluarea forțelor tăietoare în rosturile verticale între componente structurale slăturate ;

- „Inregistrarea”, la efectul combinat al încărcărilor gravitaționale și orizontale de exploatare, a unor deplasări de tip „glisare” în rosturile orizontale, între elementele prefabricate suprapuse, care conduce la discontinuități de rigiditate ale componentelor structurale ;

- Asigurarea, în unele soluții de îmbinare, pentru întregă structură, a șeibelor orizontale indeformabile la nivelul planșelor : acestea sunt asigurate numai în cuprinsul componentelor structurale ;

- Elementele spațiale au, în majoritatea sistemelor, pereti subțiri (5 la 9 cm), cu coeficienți de zăvlătire convenționali (exprimăți ca raport între înălțimea și grosimea peretelui) de 30 la 40 și chiar 50, mult peste limitele prevăzute în prescripțiile de proiectare pentru alte categorii de structuri cu pereti portanți (panouri mari, diafragme din beton monolit).

În lucrarea de față se face analiza unor aspecte specifice ce alcătuiesc, comportare și calcul a elementelor spațiale și a structurilor formate din acestea.

Capitolul 2 conține prezentarea sintetică a unor sisteme de construcție cu elemente spațiale și a procedurilor de realizare, aplicate în țară și străinătate.

Capitolul 3 cuprinde principii și soluții de alcătuire a elementelor spațiale, îmbinărilor și structurilor. La elaborarea unui sistem de construcție și a tehnologiei sferente, este recomandată

adoptarea conceptului de modularitate în baza căruia proiectarea și realizarea elementelor spațiale se face sub formă unei serii de moduli spațiali, fiecare modul oferind posibilități de multiple rezolvări funcționale și de folosire la o grană variată de clădiri. Adoptarea acestui concept asigură industrializarea evenastă a elementelor spațiale și tipizarea „deschisă” a construcțiilor : obiectul tipizării nu este clădirea în întregime ci elementele componente și îmbinările acestora.

Capitolul 4 prezintă aspecte referitoare la comportarea structurilor și a elementelor componente (comportarea peretilor, coloanelor și îmbinărilor diferențe sistemului ICLM Lissov) rezultante din cercetări experimentale, având drept scop să stabilească o bază de date necesare în activitățile practice de proiectare, care să suplimenteze lipsa de prescripții în acest domeniu.

Capitolul 5 tratează analiza prin calcul a structurilor și a elementelor componente. Sunt prezentate metode și modele de calcul aplicate în străinătate și în ţară.

Este adoptat PROGRAMUL MACROELEMENTULOR – procedeu unitar de analiză spațială a structurilor și a elementelor componente – elaborat de autor în baza metodei elementelor finite. Procedeul constă în fragmentarea ansamblului structural în elemente componente din care este alcătuit – elemente spațiale, panouri, coloane de elemente spațiale, nuclee structurale, elemente de îmbinare etc. – denumite macroelemente, care sunt considerate în prima fază de analize ca structuri separate discretizate în elemente finite, iar în faza a doua sunt tratate ca elemente finite complexe și asamblate în structură după principiile stabilite în metoda elementelor finite.

Prin extinderea conceptului de modularitate de la alcătuirea structurilor la analiza prin calcul a acestora, macroelementele sunt rezolvate ca moduli care sunt bibliotecăti și refolosiți la mai multe tipuri de clădiri.

În vederea cuprinderii stăriilor de efort-deformare s-au efectuat experimenturi numerice, în ceea ce priveste elementelor spațiale, coloanelor și structurilor din elemente spațiale.

Experimentările numerice pe elemente spațiale urmăresc să evidențieze influența coloanelor în pereti și a maximii acestora, modului de rezanare în structura(liniată și concentrată), sistemului de alcătuire și a imperfecțiunilor de fabricație și montaj.

Experimentările numerice pe coloane au ca obiective principale : analiza comparativă a unor modele de calcul, studiul influenței modulului de rezanare a elementelor spațiale în coloana (lini-

are, concentrată și cu imperfecții), analize comparațivă a coloanelor având parametri de față săptămână sau măsuri de rigiditate, studiul efectului rigidității reale a înbinărilor între elementele suprapuse comparativ cu ipoteza monoliticului perfect.

Pentru analize comparațivă a metodelor societății ENZOZDOR și TINTISP, cu metoda elementelor finite aplicată prin procedeul macroelementelor, s-a efectuat experimentări numerice pe două structuri, fiecare structură fiind alcătuită din două cărăzi de elemente spațiale.

Sunt prezentate concluzii asupra experimentărilor numerice efectuate.

Capitolul 6 prezintă principalele realizări în domeniul structurilor din elemente spațiale obținute cu participarea autorului acestei lucrări.

Capitolul 7 cuprinde concluziile generale care se desprind din lucrare, contribuțiiile autorului și modul de valORIZARE a rezultatelor.

Această categorie de structuri asigură arhitectului proiectant o mare libertate în organizarea spațiului construit pentru o gamă variată de funcții ca : locuințe, hoteluri, școli, construcții administrative, edilitate etc. În cazul locuințelor folosirea combinației de elemente spațiale „închise”, pentru băi, bucătării, casă scării, șaie liftului, și „deschise” sau „partial deschise”, pentru dormitoare și camerele de zi, conduce la posibilitatea de transformare a acestora în viitor.

Pericolul uniformității și monotomiei clădirilor poate fi și ușor combatut, decât în cazul altor categorii de structuri din elemente de serie (de ex. panouri mari), prin mijloace specifice acestui sistem constructiv : folosirea în același clădire de moduli spațiali cu dimensiuni diferite și/sau montarea acestora cu retrageri, în scară, sau prin suprapunere încrucisată, pentru formarea de terase, logii. Exemplul HABITAT - Montreal, Canada [92], demonstrează din plin aceste posibilități.

În vederea creșterii eficienței sistemelor de construcție cu elemente spațiale și a reducerii consumurilor energetice, tehnologie de fabricație poate fi organizată pe perioade deschise, sau chiar prin amplasarea instalațiilor de formare a elementelor spațiale (realizate de tip „mobil”) în centrele de greutate ale șantierelor de montaj; tratamentele termice pentru întărirea betonului pot fi înlocuite cu noi aditivi acceleratori, asociati cu plăstifanți și superplăstefanți [89, 95, 184].

## 2. SISTEME DE CONSTRUCTII CU ELEMENTE SPATIALE SI PROCESURI DE REALIZARE.

### 2.1. CLASIFICARI ALU ELEMENTELE SPATIALE.

#### 2.1.1. Clasificare pe criterii structurale.

a) Elemente spatiale portante : compun structura de rezistență a clădirii sau participă la alcătuirea acesteia, structura elementelor poate fi cu schelet și plășee (stilpi, grinzi și plășee), cu pereți portanți și plășee, sau mixtă (stilpi, pereți și plășee).

b) Elemente spatiale neportante : sunt susținute în cadrul clădirii de o structură suplimentară (de ex. o structură din cadre)

#### 2.1.2. Clasificare pe criterii de funcționalitate.

a) Elemente spatiale deschise ("flexibile") : au structura cu schelet; asigură o mare libertate în organizarea spațiului construit (fig. 2.1. A, B, C).

b) Elemente spatiale parțial deschise : sunt executate în sistem inelar, tubular sau cu galuri mari în pereți; asigură o flexibilitate limitată în organizarea spațiului construit (fig. 2.1. D, E).

c) Elemente spatiale inchise : sunt cutii cu șase fețe inchise (fig. 2.1.F).

#### 2.1.3. Clasificare pe criterii de alcătuire.

Elementele spatiale cu pereți portanți pot fi clasificate din punct de vedere al alcătuirii, în funcție și de procesul tehnicologic de realizare, în următoarele sisteme :

A. sistemul tunel (inel) : elementul spațial este alcătuit din doi pereți, planșoul de pardoseală și planșoul de tavan, realizate prin turnarea monolită sau prin asamblare din panouri prefabricate (fig. 2.2. a).

B. sistemul cutie asamblată din panouri prefabricate : cutie poate să fie deschisă pe une sau două laturi (fig. 2.2. B).

C. sistemul elanț : elementul spațial este alcătuit din planșoul de tavan și patru pereți turnați monolit pe care se asamblează planșoul de pardoseală, realizat dintr-un panou prefabricat. Într-o altă variantă panoul de leședă, prefabricat separat, se monumentalizează cu pereții și planșoul de tavan odină cu turnarea ecoulită (fig. 2.2.C, 2.6 ).

b. sistemul panhar : elementul spațial este alcătuit din planșoul de perdeoseală și patru peretei turnate monolit pe care se montează planșoul de tavan prefabricat separat. Sunt posibile și alte variante (fig. 2.2.E) :

- panoul de fațadă, prefabricat separat, se monolitisează cu pereteii ocașă cu turnarea acestora ;

- planșoul de perdeoseală, prefabricat separat, se monolitisează cu pereteii ocașă cu turnarea acestora ( $L^*$ ) ;

- elementul se livră fără planșoul de tavan.

c. sistemul tunel închis la capăt : elementul spațial este alcătuit din doi peretei, planșoul de perdeoseală și planșoul de tavan, turnate monolit, pe care se montează doi peretei realizati din panouri prefabricate (fig. 2.2.F)

F. sistemul panhar culeș : elementul spațial este alcătuit din trei peretei, planșoul de perdeoseală și planșoul de tavan turnate monolit, pe care se montează panoul de fațadă, prefabricat separat (fig. 2.2. F).

Panoul de fațadă poate avea rol portant, de rigidizare sau de închidere,

#### 2.2.4. Clasificare pe criterii de rezistență.

a) elemente spațiale reziste liniaj pe conturul peretilor portanți sau pe partiuni mari ale acestora.

b) elemente spațiale reziste concentrat pe cele patru colțuri sau pe zone limitate întărite cu stilpi, bulbi.

### 2.2. SISTEME DE CONSTRUCȚIE CU ALBĂRTE SPAȚIALE APLICAȚE ÎN STĂRIMATARE.

Pe plan mondial există o mare varietate de procedee de realizare a elementelor spațiale și o multitudine de sisteme constructive pentru clădiri cu structura din elemente spațiale. În continuare sunt prezentate succint, câteva din acestea.

#### 2.2.1. Procedeul SIGMA, sistemul constructiv SCOT, fronte [1] (fig. 2.3.).

Procedeul SIGMA constă în realizarea elementelor spațiale din panouri asamblate cu bulonare. Peretei au grosime de 5 cm iar planșele 4 cm. Elementele spațiale pot avea goluri mari în pereti sau pot fi complet deschise pe o latură. Tezaurantele la asamblarea panourilor sunt de  $\pm 1$  mm. Lățimea elementelor este de 280 cm; pentru camere mai mari sunt asociate două elemente spațiale. Se folosesc pentru locuințe individuale și colective, școli, spitale, construcții administrative, în clădiri cu maxim 5 niveleuri. Elementele

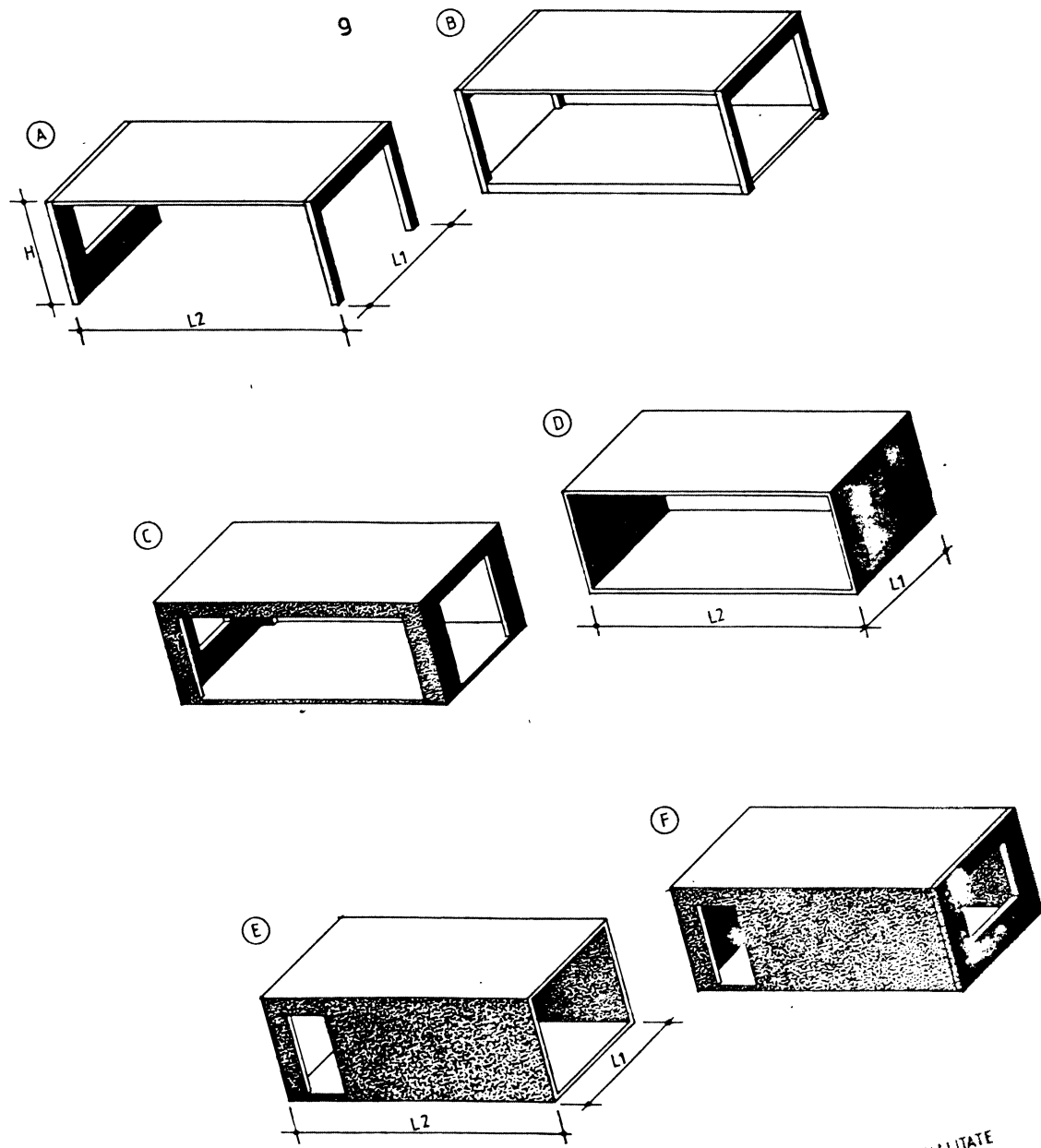


Fig. 2.1 ELEMENTE SPATIALE - CLASIFICARE PE CRITERII DE FUNCTIONALITATE

(A)	(B)	(C)	(D)	(E)	(F)
- sisteme deschise	- sistem inelar $L_1 < L_2$	- sistem tubular (tunel) $L_1 < L_2$	- sistem inchis (cutie)		

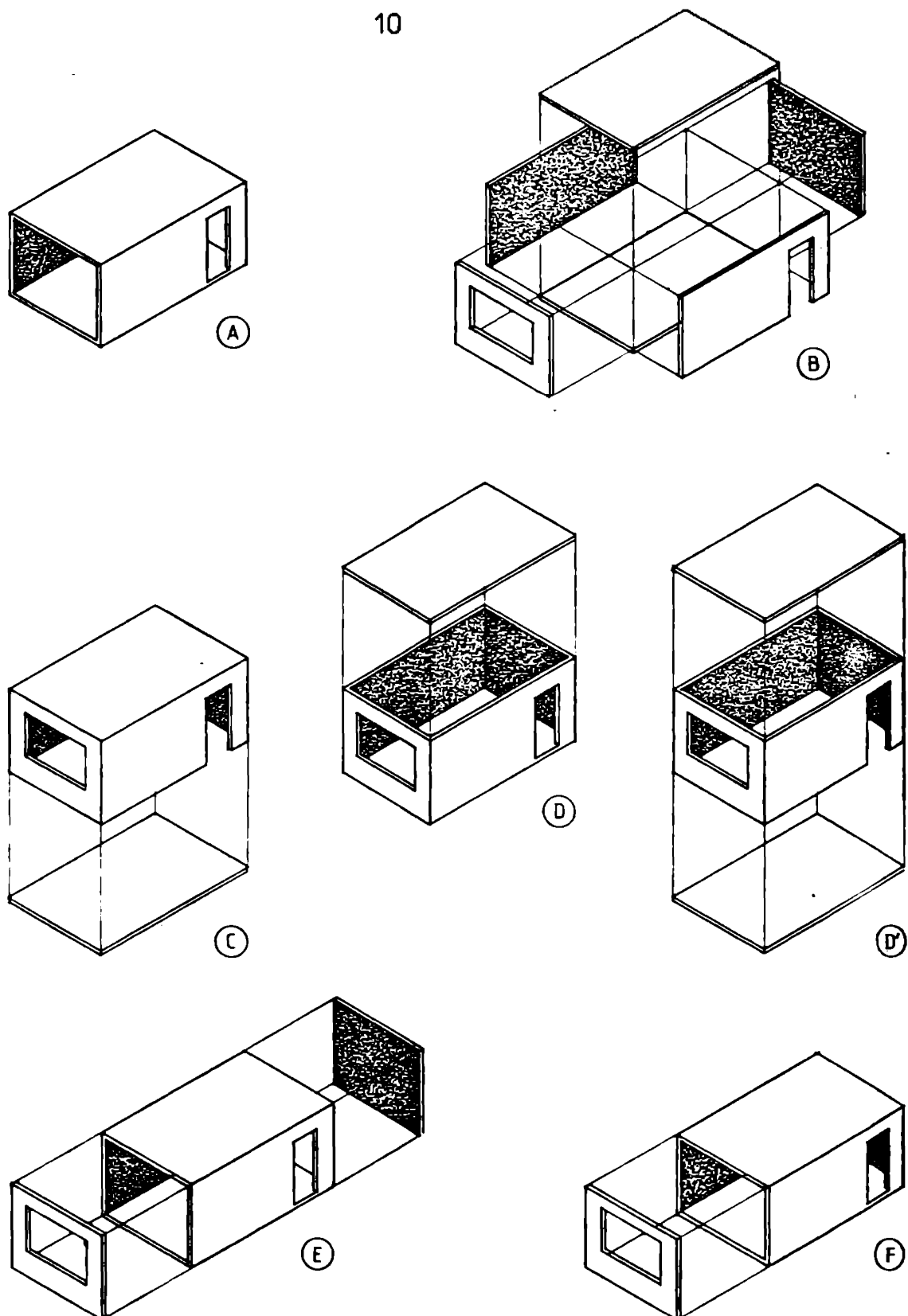


Fig. 2.2 ELEMENTE SPATIALE. CLASIFICARE PE CRITERIU DE ALCATUIRE

- A — Sistemul tunel
- B — Sistemul cutie asamblata din panouri
- C — Sistemul clopot
- D,D'— Sistemul pahar
- E — Sistemul tunel inchis la capete
- F — Sistemul pahar culcat

spațiale sunt livrate din uzină, echipate cu instalațiile interioare și complet finisate, în baza de protecție.

Sistemul constructiv SCOF constă în asamblarea clădirilor din elemente SICSA prin simplă stivuire pe verticală și prin efectuarea unei legături în plane orizontale, cu piese metalice, la nivelul planșelor de tavan (fig. 2.3. f), sau prin monolitizare longitudinală a planșelor sălăturate, în cazul elementelor deschise (fig. 2.3. e). Elementele spațiale se pot suprapune și încarcă; sunt rezistențe concentrată pe colțuri și eventual pe anumite zone întărite cu bulbi (fig. 2.3 d). Pereteii și planșele care se dublează sunt distanțate cu 6 cm; în spațiile libere se introduce vată minerală. Construcțiile sunt prevăzute la exterior cu panouri termoizolante, autoportante, care se atopează pe elementele spațiale. Ritmul de montaj pe șantier este de 15 - 20 elemente spațiale pe zi, cu o sarcina de locuri tm capacitate (greutatea unui element este de circa 13 tone), și o echipă de 6 muncitori.

Acest sistem, exploatat din anul 1974, folosește elemente spațiale fabricate în două uzine : Uzine din Violeinen (Pas de Calais) cu capacitatea de 1.000 locuințe pe an și uzine din Lons (Sarthe) cu capacitatea de 500 locuințe pe an; două uzine exploatate precedenții în străinătate. În Franță au fost executate, cu acest sistem, peste 10.000 de locuințe colective și individuale.

#### 2.2.2. Sistemul LUNJA - Finlândia [131, 130]

Elementele spațiale, alcătuite în sistem tunel, închise la capete cu pereti cortină sau cu panouri prefabricate din beton armat, se montează transversal clădirii, realizând întreaga înălțime a ecocetiei. Fațele exterioare ale peretilor longitudinali sunt nervurate sub formă trapezoidală; la montaj nervurile se interpuțiază reducindu-se grosimea peretilor. În acest sistem se execută clădiri de locuit (pînă la 5 niveleuri), case de vacanță și hoteluri (pînă la 10 - 12 niveleuri). Sistemul a fost exportat în R.F.G., unde s-a executat o unitate de producție la firme Max Giese Baut-Gebau (1977).

#### 2.2.3. Sistemul Vehlau - SICSA - A.G. Elveția [70]

Astea au sisteme deschise, care folosesc un singur tip de element spațial (cu dimensiuni modulare diferite), alcătuit din două cadre de beton armat identice, fixate rigid pe un planșă nervurat din beton precomprimat și un tavan realizat dintr-o rețea de profile metalice ușoare îmbrăcate în materiale de finisaj (fig. 2.4). Abuterile dimensionale, la realizarea elementelor spațiale, sunt de maxim 2-3 mm. Elementele se livră la șantier complete finisate, protejate cu huse.

Prin asamblarea elementelor în clădiri etajate se obțin structuri în cadre pe două direcții. În acest sistem a fost realizată o gamă variată de clădiri, cu 1 pînă la 5 niveluri : locuințe individuale și colective, școli, clădiri universitare, biblioteci, laboratoare, clinici, clădiri de birouri etc.

După sistemul VARISL au fost puse în funcție unități de producție în Franță, Olanda, R.F.G., Belgia, Suedia, și Republica Sud-Africană [34]. Uneori elementele spațiale finisate sunt transportate, pe calea ferată, pe distanțe foarte mari, pentru lucrările în alte țări. (ex.: elementele spațiale pentru o școală în veneția Italia, au fost transportate de la Paris, 1200 km).

Menopera totală înglobată este de 6,9 cm-ore/m<sup>2</sup> de construcție, din care 5,3 cm-ore/m<sup>2</sup> în fabrică și 1,6 cm-ore/m<sup>2</sup> pe șantier.

#### 2.2.4. - Sistemul POSTADSBOLAGET - Göteborg, Suedia [114, 178].

Este un sistem mixt : folosește elemente spațiale pentru băi, bucătării și lift, și percuri mari pentru restul clădirii. Elementele spațiale tip pahar, fără plierea de tavan, se livrează la șantier cu obiectele sanitare și mobilierul montat, protejate în huse; percurile se livrează finisate, cu tîmplărie montată. Toleranțele de execuție a elementelor prefabricate sunt de 2 - 5 mm. În acest sistem se realizează clădiri de locuit cu 5 niveluri.

Menopera totală înglobată este de 4,05 cm-ore/m<sup>2</sup> de construcție, din care 2,06 cm-ore/m<sup>2</sup> în fabrică și 1,99 cm-ore/m<sup>2</sup> pe șantier.

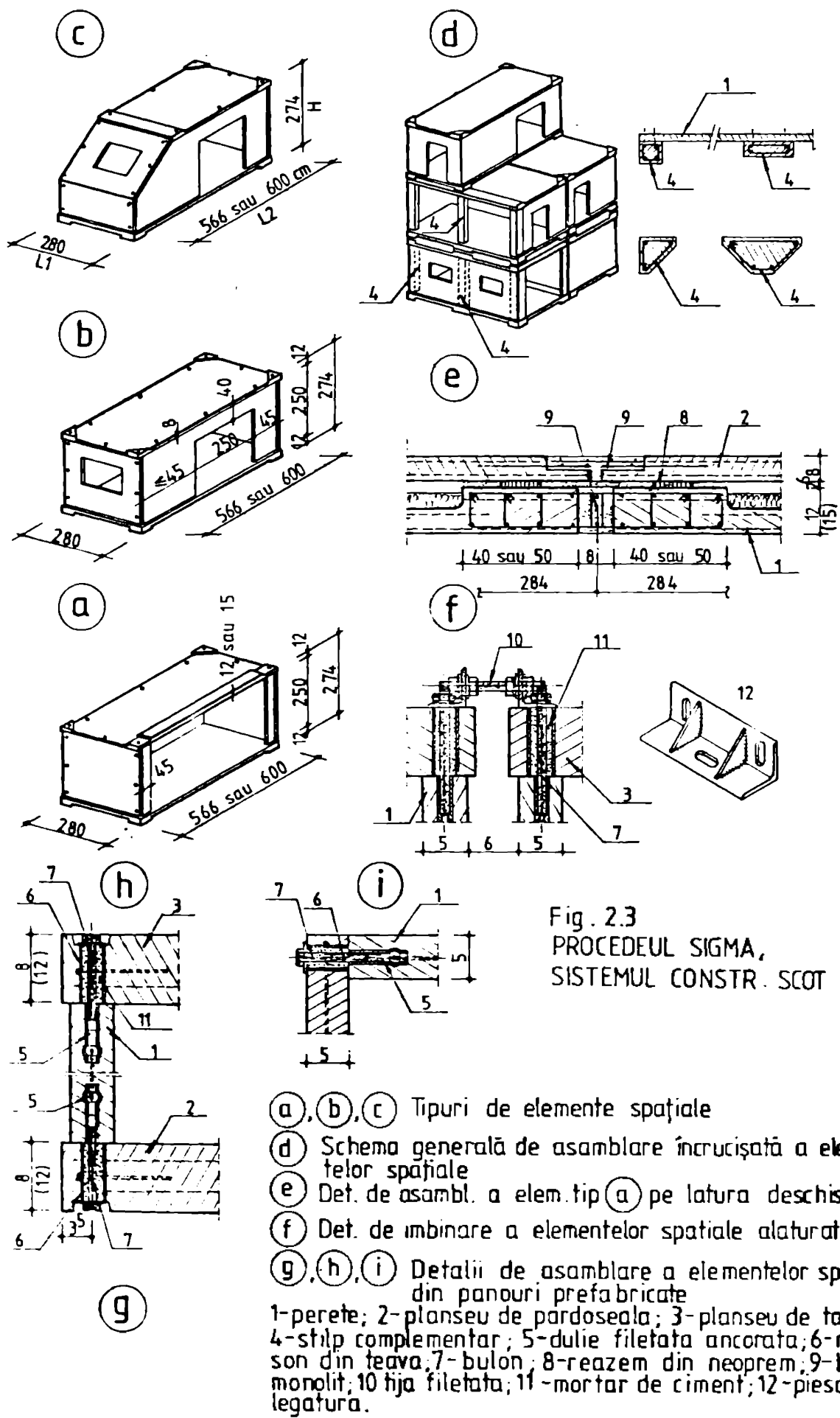
#### 2.2.5. Sistemul ZANUSSI - FABRICA, Italia [68].

Ace le bază două tipuri de elemente spațiale cu aceleasi dimensiuni (3,00 x 4,80 - 3,00 m) : un element tip pahar căscut și un element tip isol, care se combină în construcție. Camerele mari se realizează din două elemente. Asamblarea se face prin îmbinarea cu buclele a elementelor suprapuse și prin peatensionarea orizontală cu tige, a celor elăturate.

#### 2.2.6. Sistemul MM - BMPT, Venezuela [14, 94].

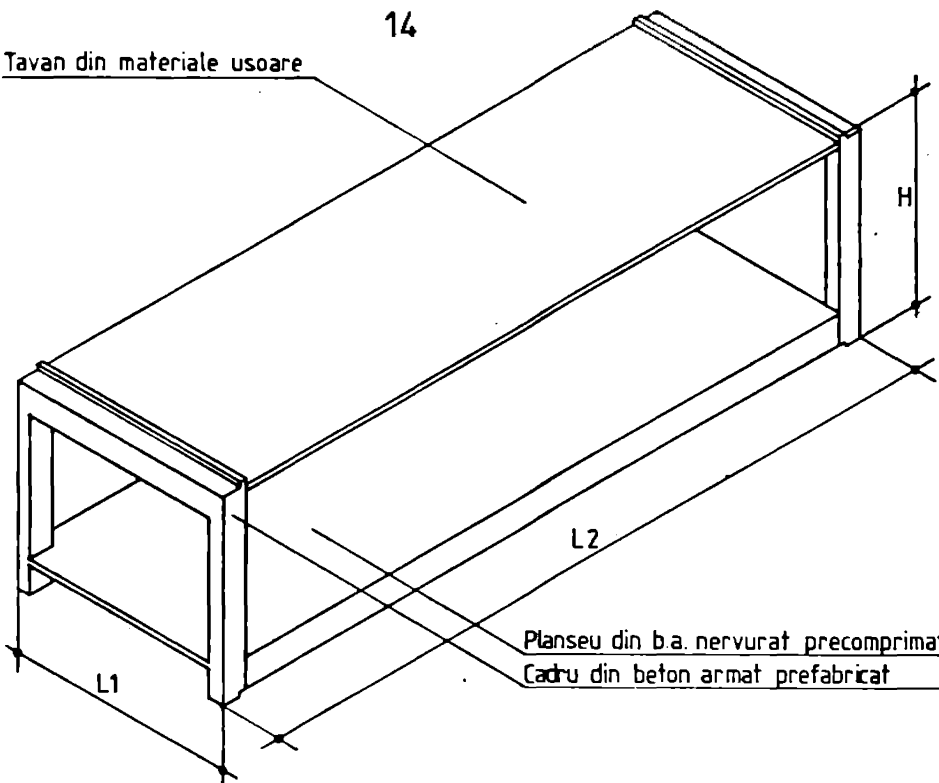
Sistemul se referă la clădiri cu 15 niveluri, amplasate în zone puternic seismice, realizate din coloane de elemente spațiale (tip pahar), asamblate prin precomprimare verticală (numite moduli tubulari rezistenți) și plăsesse prefabricate, de suprafață mare, zoanezate pe coloane. Plăsesele se îmbină cu elementele spațiale prin precomprimare orizontală. Peretii elementelor spațiale sunt alcătuși din plăci de beton armat de 15 cm grosime, rigidizate cu nervuri.

Sistemul a fost studiat, în baza contractelor cu partenerul străin, la I.P.C.T. București [14] și la I.C.C.P.L.C. Filiala Iași.

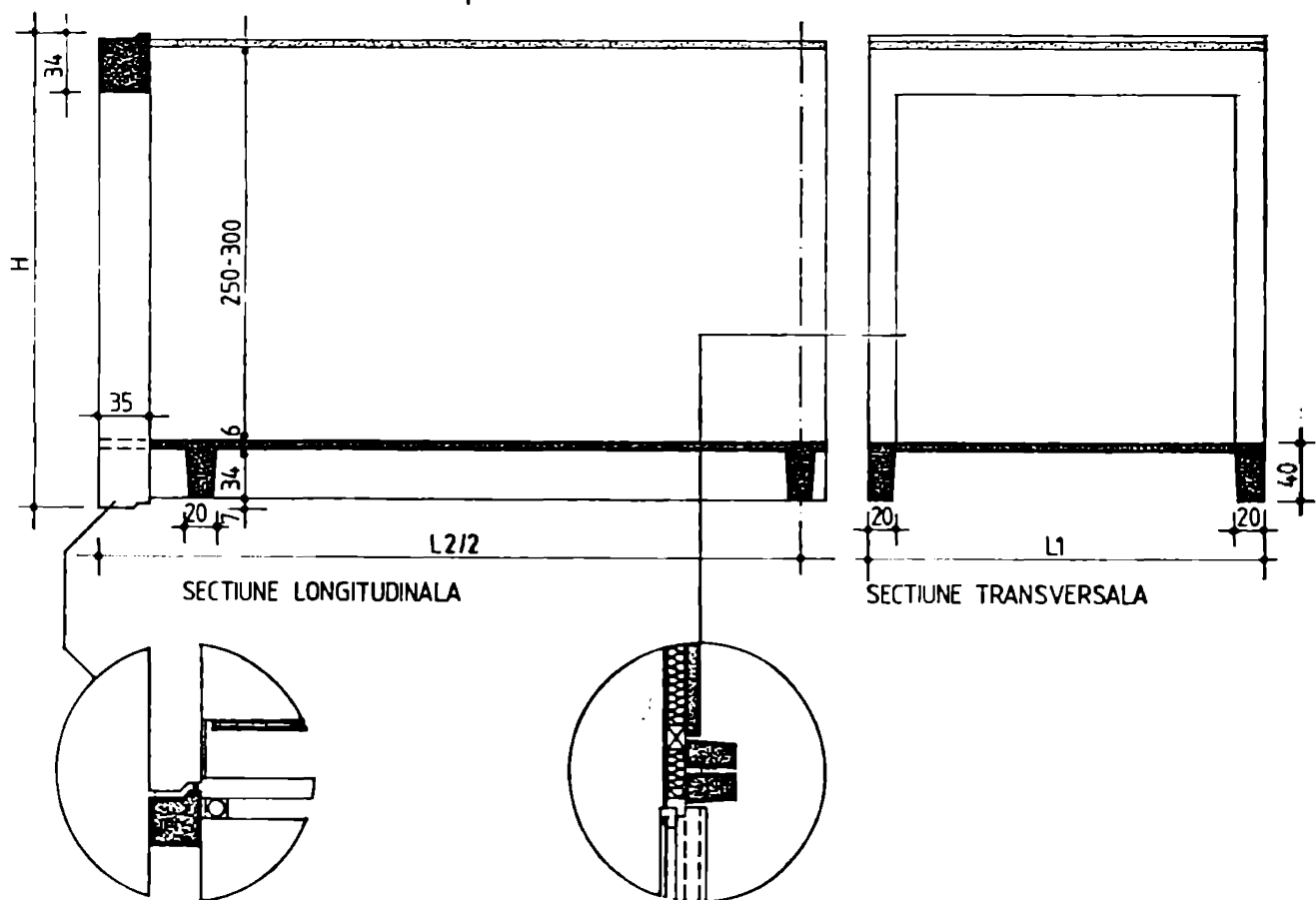


14

Tavan din materiale usoare



Planșeu din b.a. nervurat precomprimat  
Cadru din beton armat prefabricat



$$L_1 \text{ (cm)} = 240, 270, 280$$

$$L_2 \text{ (cm)} = 720, 840, 960, 1050, 1080$$

$$H \text{ (cm)} = 240, 320$$

$$\text{Greutate (t)} = 16 - 24$$

Fig 2.4 SISTEMUL VARIEL

I.P.C.T. a efectuat analize numerice, seismice, în domeniul elastic și în domeniul postelastic, iar la Iași au fost făcute încarcări statice pe nodal 1/3 asupra îmbinării între elementele suprapuse, și încarcări statice și dinamice pe nodal 1/4 asupra unui subansamblu de structură cu două niveluri. Rezultatele studiilor efectuate au constituit o bază pentru proiectarea sistemului.

#### 2.2.7 Sisteme de construcție cu elemente spațiale aplicate în U.S.A.

##### a) Sistemul G.C.M.Y Co., San Antonio, Texas.

În acest sistem a fost realizată în anul 1968 prima clădire din elemente spațiale de beton armat din U.S.A., reprezentând un hotel cu 22 de niveluri (490 camere) în San Antonio. Elementele spațiale din beton ușor, tip pahar culcat, închise cu pereti cortina, au fost livrate la șantier complet finisate și mobilizate [94].

##### b) INTERNATIONAL SYSTEMS (ICS), Mobile, Alabama [182]

Elementele spațiale se realizează din beton ușor în sistemul pahar (fig. 2.2.D\*); decofrarea paharului se face după 45 de minute de la terminarea turărui datorită folosirii unui beton cu întărire accelerată. Elementele se folosesc la clădiri de locuit și hoteliere, pînă la 10 niveluri, amplasate și în zone seismice. Compania livră cărora echipate cu toate instalațiile și complet finisate; sunt transportate și la foarte mari distanțe pentru lucrări în diferite țări (de ex. în Arabie Saudită, Malaezia).

##### c) Sistemul SHELLSY - U.S.A. [181].

Elementele spațiale sunt realizate în sistem tunel monolit; fiecare element conține plangeul de perdește, doi pereti laterali întăriți cu stîlpi, plangeul de teavan nervurat (prevăzut cu rigidizări care legă stîlpii) și în acunite coazu pereti portanți de compartimentare (fig. 2.5). În cele mai multe cazuri lungimea elementelor spațiale este cît lățimea clădirii.

Elementele spațiale se montează în teh : stîlpii se suprapun, iar peretii sunt în general decalati în planuri verticale diferite, în astfel încât să crească spațiile pentru trecerea comunelor. Îmbinarea elementelor în structura clădirii se face prin sudarea unei piese metalice amplasate pe stîlpi, pentru clădiri cu puține niveluri și prin precomprimare verticală, cu tije sau cabluri, amplasate în secțiuni stîlpilor, pentru clădiri finale, amplasate în zone seismice. În acest sistem a fost executat un număr mare de clădiri de locuit și hoteluri, cu puține niveluri și cu 10 - 22 niveluri, amplasate în statele New Jersey și Puerto Rico.

In anul 1977, după cutremurul din 4 martie, S. W. Shelley a

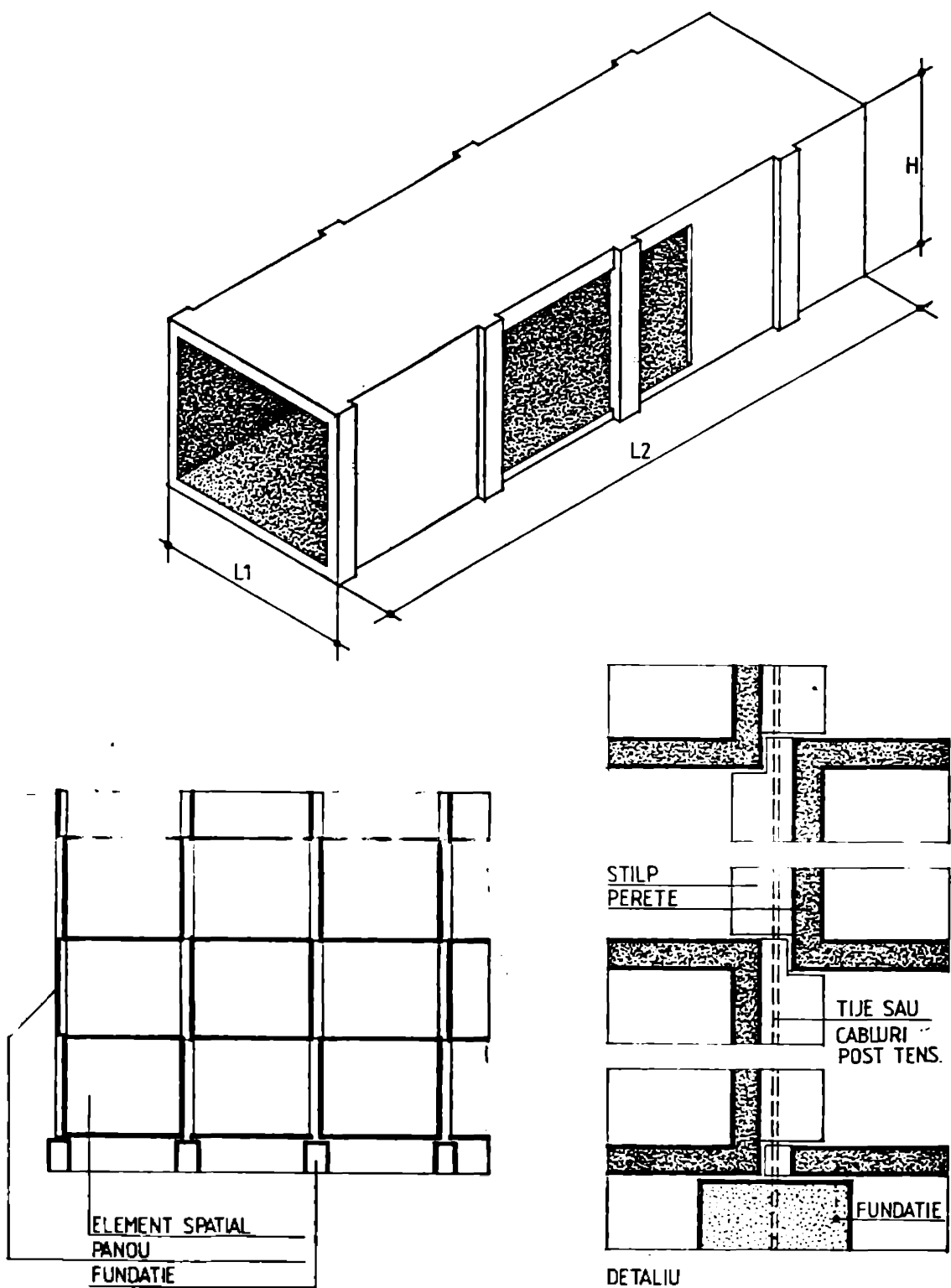
rezentat sistemei său în România ca o soluție pentru clădirile de locuit din zonele seismice.

**2.2.8. Sisteme de construcție cu elemente spațiale aplicate în U.R.S.S. [34, llo, 28].**

Sistemele de construcție cu elemente spațiale aplicate în U.R.S.S. sunt bine cunoscute în țara noastră prin apariție, în traducere, la editura Tehnică, în 1983, a lucrării lui P.I.Bronnikov „Construcții din elemente spațiale” și prin colaborarea tehnico-științifică între institutul INCaBC, cu participarea întreprinderii I.C.I.I. Bragov și Institutului I.r.C.I. din R.S. România, și institutul TNILAP Krasnodar cu participarea combinației de case din Krasnodar și Soci din U.m.S.S., colaborare desfășurată între anii 1974 - 1980 [125, 126, 127, 156, 28].

Prințele studii și proiecte pentru clădiri din elemente spațiale au fost elaborate în anii 1957 - 1958. În anul 1958 a-s-a construit la Tbilisi primul bloc de locuințe cu două niveluri din elemente spațiale de dimensiuni mai mari, apoi, pînă în anul 1962 au fost realizate clădiri din elemente spațiale la Moscova, Leningrad, Kiev, Kînsk, Tbilisi, Krasnodar și în alte orașe. Au fost experimentate cinci tehnologii pentru realizarea elementelor spațiale : asamblarea din panouri, turnarea monolită în sistem pehar, clopot și pehar culcat și alcătuirea cu structură din stilpi și planșe. Între anii 1962 - 1976 a-s-au experimentat și fabricat tehnologii de fabricație și sistemele constructive, a-s-a realizat peste 20 de fabrici de elemente spațiale și un număr important de clădiri de locuit, hoteluri, spitale, case de odihnă etc., cu 5 pînă la 9 niveluri, emplaseate în zone de gradul 6, 7 și 8 de protecție anti-seismică.

În acțiunea de tipizare deschisă - obiect al tipizării nu este clădirile în întregime ci elementele și îmbinările acestora - inițiată în U.R.S.S. în anul 1975, au fost tipizate două sisteme de elemente spațiale și tehnologii aferente : sistemul pehar culcat (Krasnodar, Soci, Nicoleev, Pietigorsk, Gulikovici etc.) și sistemul clopot (Kînsk, Arzamas, Dobrovsk, Vologda, Pridneprovsk, etc.) [143]. Elementele spațiale au de regulă în sistemul pehar culcat, planșeul de perdeoseală și peretii alcătuși din plăci cu fețe exterioare nervurate iar tavanul dintr-o placă netedă; în sistemul clopot se realizează, de regulă, numai plăci de perdeoseală nervurată [34, 143]. În ambele tehnologii, interiorul „clopotului” sau al „peharului culcat” se realizează cu un nies (tipar) zig-zag avînd secțiunea variabilă, care se extrage forțat la deco-

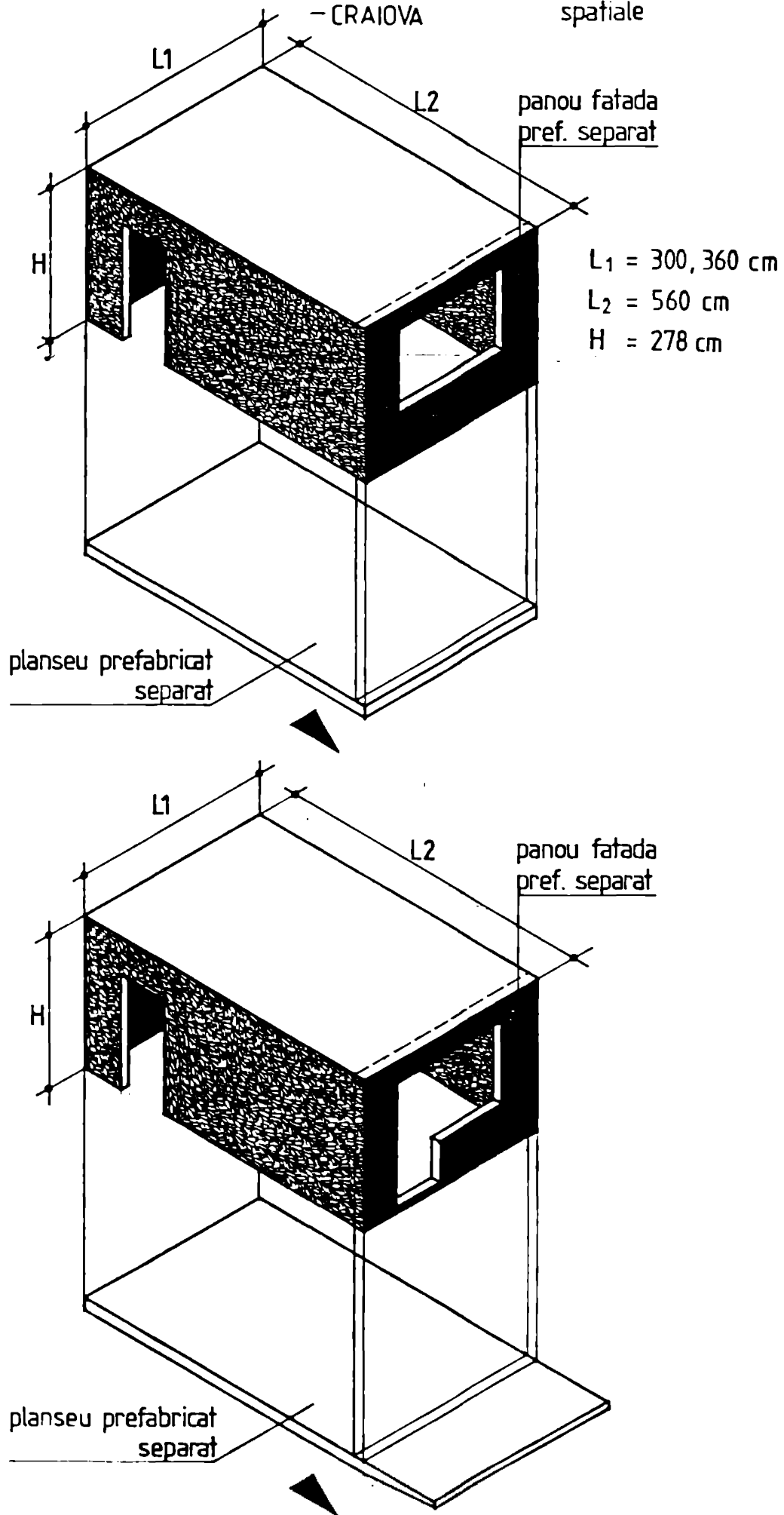


$L_1(\text{cm}) = \dots 420$   
 $L_2(\text{cm}) = 600 \dots 1800$   
 Greutate (to) = 25 ... 60  
 Nr. nivete = ... 22

Fig. 2.5 SISTEMUL SHELLY

534-509  
335 G

Fig. 2.6 SISTEMUL CLOPOT - - Exemple de alcătuire a elem.  
spatiale



frize, rezultind în cazul elopetului peștei cu grosime variabilă (extragererile miciunii se fac pe verticală), iar în cazul paharului culcat, peșteii lateral și planșeile cu grosime variabilă (extragererile miciunii se fac pe orizontală). Schema de rezonare a elementelor suprapuse este în majoritatea cazurilor liniară și mai rar pe patru colțuri (Minsk, Pridneprovsk). La elementele spațiale se folosesc cu prioritate betonul ușor cu agregate din keramit (granulit) și agloporit. Clădirile având pînă la 9 niveluri, amplasate în zone cu seismicitate redusă (gradul maxim 6), se realizează din stive simple, fără legături verticale între elementele suprapuse, elementele din stive sălăturate fiind îmbinate, în plan orizontal, la nivelul planșeelor de tavan, cu placute metalice sudate sau cu boze din oțel beton, ca în fig. 3.7.

În anul 1976 se construiesc și clădiri cu 12 niveluri alcătuite integral din elemente spațiale, și au fost elaborate proiecte pentru clădiri cu 16 niveluri. Pentru clădirile cu 12 niveluri realizate în orașul Krasnodar s-a folosit un singur modul spațial (324 x 540 - 275 cm), de tip pahar culcat, din beton armat ușor (1600 kg/m<sup>3</sup>) marca B.250, planșeal de perdezelă și peretei longitudinale sunt alcătuiri din plăci subțiri de 5 cm grosime cu nervuri la față exterioară, amplasate la 100 cm întreaxa, iar planșoul de tavan este o placă cu fețe netede de 7 cm grosime [185].

La Iocăi s-a realizat complexul de odihă și turism „Stavropolie” având un corp de oțire cu 25 de niveluri, alcătuit dintr-un nucleu de beton armat monolit cu planșe în consolă, pe care se rezarcă corpurile de cîte patru niveluri de elemente spațiale [34].

În anul 1984 a fost pusă în funcțiune la Tashkent, o usină de elemente spațiale pentru clădiri cu 9 niveluri amplasate în zone seismice de gradul 9, și au fost realizate primele construcții; elementele spațiale sunt îmbinate în clădire cu monolitizari continue de beton armat, verticale și orizontale, de tipul celor prezentate în fig. 3.9. a, b, c. [119].

Tendință actuală în U.R.S.S. este dezvoltarea în cadrul fabricilor existente de panouri mari și unor secții de fabrici, ie și elementelor spațiale cu volum mare de instalații și finisaje (bucătării, bai cu dormitoare, case de scafă, puturi de lift), pentru realizarea de construcții mixte – din panouri mari și elemente spațiale – și treacerea progresivă a sectorului fabrici la producția de elemente spațiale [34]. La începutul anilor '80 capacitatea totală de producție a celor peste 25 de fabrici în funcțiune era de circa 2 milioane m<sup>2</sup> anuale desfășurate de construcții cu elemente spațiale.

**2.3. SISTEME DE CONSTRUCȚIE CU ELEMENTE SPATIALE APLICAȚII  
DI H. S. ROMÂNIA.**

**2.3.1. Generalități.**

În anii 1961 - 1962 se făst experimentate la Craiova primele elemente spațiale de tip patră, având mărimea camerelor, iar în anul 1963 s-a făst realizată, din aceste elemente, o clădire de locuit cu trei nivele și 12 apartamente [7].

În același perioadă (1962) s-a experimentat la INCARC un element spațial din beton armat cu agregate de granulat, având dimensiunile de  $3,60 \times 12,0 - 2,90$  m, alcătuit din planșeale de pardosel și tavan, nervurate la față exterioară și patru peretei de 5 cm grosime, cu fețe netede, rigidizanți pe colțuri cu bulbi [92].

La București s-a construit, în anul 1963, după un proiect elaborat de I.P.C.T., o clădire de grădiniere, din elemente spațiale tip cutie asamblate din panouri nervurate [7].

Activitatea din Brașov, în domeniul prefabricării cu elemente spațiale, a început în anul 1969, când a făst pusă în funcțiune, la I.C.I.M., prima instalație de formare a unor elemente spațiale tip inel (fig. 2.1.A), [103, 20]. Tehnologia de fabricație și sistemul constructiv al clădirilor au făst pusă la punct, prin perfecționări successive aduse instalațiilor de formare și modelui de alcătuire a elementelor spațiale și a imbinărilor.

Incepind cu anul 1972, preocupările în domeniul construcțiilor din elemente spațiale s-au concentrat în direcția realizării acesturilor în fabrică, sub formă de camere închise, echipate cu toate instalațiile și complet finisate. S-a dezvoltat, în paralel, două sisteme de construcție : sistemul I.C.I.M. Brașov, cu elemente spațiale tip patră calcat și sistemul C.M.C. - I.C.P.M.C. la Craiova, cu elemente spațiale tip clopot. În secvență, în anul 1978, I.C.P.M.C., din cadrul M.I.L.M.C., a experimentat, în colaborare cu Institutul de Construcții și Arhitectură, un element spațial deschis ("flexibil"), (fig. 2.1.C) de dimensiuni mari ( $290 \times 870 - 290$  cm) pentru clădiri școlare [74, 75]. Institutul I.C.P.H.O.M. Iași a început în anul 1978, în colaborare cu I.C.P.M.C. București, proiectarea și experimentarea sistemului "Iași", bazat pe elemente spațiale tip clopot [111].

**2.3.2. Sistemul I.C.I.M. de construcție cu elemente spațiale tip inel [101, 102, 20].**

Conform acestui sistem, elementele spațiale sunt constituite din doi pereti și două planșe, turnate monolit, într-o instalație

rotitoare; peretii și planșele sunt alcătuite din plăci subțiri de 4-5 cm grosime, rigidizate la față exterioară cu nervuri (fig.2.1.). Instalația asigură prin rotirea tipelor, turnarea succesivă a peretilor în poziție orizontală. Construcțiile sunt alcătuite din elemente spațiale, combinate cu panouri de pereti și eventual, de planșe, îmbinat cu monolitizări continue, de beton armat, verticale și orizontale (fig. 3.9 a., e.). Compartimentările se realizează cu panouri din materiale ușoare. Prin turnarea betonului de monolitizare în spațiile inchise de nervurile marginale, se obțin elemente mixte, sub formă de stilpi și grinzi [163, 20], suprafetele de contact prefabricat-îmbinare monolita sunt prevazute cu amprente și armături de cusătură, pentru asigurarea conlucrării miezului monolit cu nervurile prefabricate.

Perfecționarea sistemului constructiv a fost posibilă ca urmare a aplicării rezultatelor cercetărilor teoretice și experimentale, efectuate de către Catedra de beton armat și clădiri a Institutului Politehnic „Tiriac Voie” din Timișoara, asupra elementelor spațiale și asupra îmbinărilor acestora, considerate ca elemente mixte. Două aspecte au fost hotărîtoare [143, 144]:

a) - atestarea comportării peretilor subțiri de 4-5 cm grosime, rigidizați cu nervuri, ca diafragme și,

b) - determinarea gradului de conlucrare a nervurilor prefabricate cu miezul monolit în cadrul elementelor mixte și stabilirea secțiunilor armăturilor de cusătură și a amprentelor, precum și distribuția acestora pe suprafetele de contact prefabricate – miez monolit, în vederea asigurării comportării elementelor mixte ca elemente omogene.

În acest sistem a fost realizat, în perioada 1969 - 1976, un număr important de clădiri, în majoritate cu 5 niveluri, având diverse funcții (locuințe, cămine de defamilisți, anexe sociale-industriale) și insuflând o axie desfășurată de 116.400 m<sup>2</sup> (circa 1.600 apartamente echivalente).

#### 2.3.3. Sistemul I.C.I.M. de construcție cu elemente spațiale tip pahar culcat [lod. 10, 21, 24].

Elementele spațiale, de tip pahar culcat (fig.2.7.), (2.1.3.P) se realizează într-o instalație, alcătuită din două seturi de tipere exterioare și un miez de formare, amplasat coaxial între acestea, care servește la turnarea alternativă a elementelor spațiale în cele două seturi [104, 105].

Procedeul de fabricație a elementelor spațiale finisate, cu folosirea instalației de formare, comportă, în principal următoare-

le operașii :

- a) - montarea carcsei spațiale de armare într-un set de tipare exterioare ;
- b) - turnarea planșoului de pardoseală ;
- c) - deplasarea miezului în poziția limită de formare a elementului spațial ;
- d) - turnarea a trei pereti și a planșoului de tavan ;
- e) - întărirea betonului ; se folosesc procedee de accelerare a întăririi (tratamente tehnice, aditivi acceleratori de întărire, superplastifianti etc.) ;
- f) decofrarea miezului și deplasarea lui în al doilea set de tipare exterioare ;
- g) - montarea panoului de fațadă (fig. 3.1.c, d, f);
- h) - decofrarea elementului și transferarea lui pe linii specializate de echipare cu pereti ușori de compartimentare, instalații și finisaje (fig. 2.8.).

Instalația și procedeul de formare asigură realizarea de elemente spațiale monolite, prin turnarea continuă a trei pereti și două planșee. Instalația este reglabilă pentru tăinarea de moduri spațiali cu lățimi, lungimi și grosimi de pereti, diferite.

Elementele spațiale au fost proiectate pentru clădiri cu 5 niveluri, amplasate în zone seismice cu grad de protecție 7. Au fost adoptate două variante de alcătuire :

a) - planșoul de pardoseală și peretii din plăci subțiri de 5 cm grosime cu nervuri la fața exterioară ; planșoul de tavan dintr-o placă cu fețe netede de 7 - 9 cm grosime ;

b) toate cele cinci fețe din plăci subțiri, netede, având grosimi de 7 - 9 cm;

In ambele variante, peretele de fațadă este alcătuit dintr-un panou termoizolator, asamblat pe elementul spațial cu plăci metalice sudate (fig. 3.1. e, d, f).

Elementele de casă scării se obțin prin montarea în elementele spațiale curente, prevăzute cu galerile respective în planșee, a prefabricatelor specifice : grinzi de vang, panouri de podest, trepte, contratrepte (fig. 2.7.). Instalația și procedeul de formare permit realizarea de elemente spațiale cu galerii mari în pereti, alcătuite ca în fig. 3.3.. Dintr-un studiu de modulare, elaborat în vederea folosirii elementelor spațiale în o gamă variată de funcțiuni (locuințe, hoteluri, anexe social-industriale, construcții școlare etc.), au rezultat modulii spațiali indicați în tabelul din fig. 2.7.

EXEMPLE DE ALCATUIRE A  
ELEMENTELOR SPATIALE

- ① panou de fatada
- ② grinda
- ③ panou de podium
- ④ grinda de vang
- ⑤ treapta
- ⑥ contratreapta
- ⑦ placuta metalica

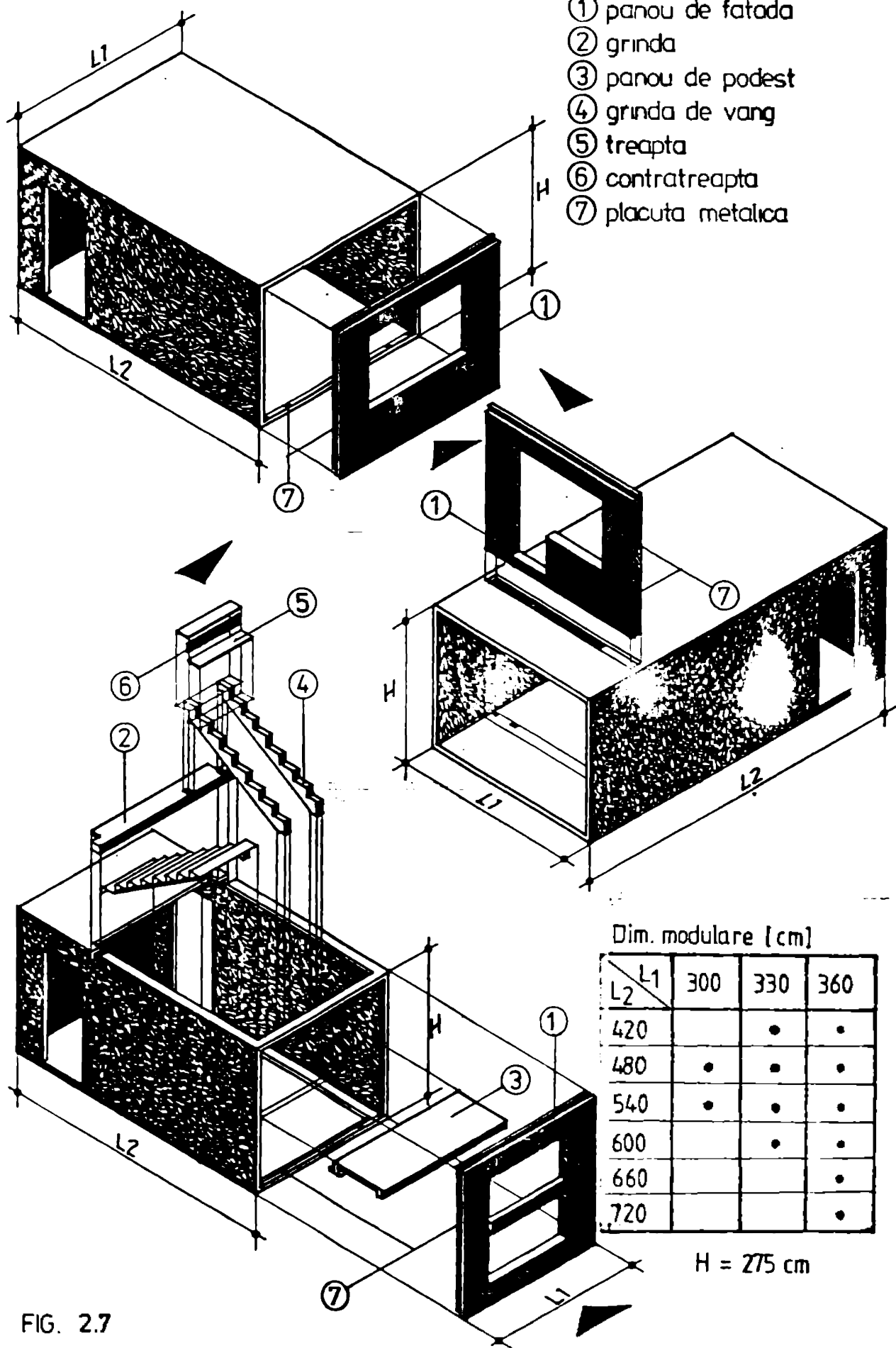


FIG. 2.7



Fig. 2.8 Sistemul ICIM Bv. – Linii de finisaj.



Fig. 2.9  
Sistemul ICIM Bv.  
Fază de montaj.

În prima etapă, 1973 - 1976, îmbinarea elementelor speciale în structura clădirilor, s-a făcut cu monolitizări continue, de beton armat, verticale și orizontale, de tipul celor prezентate în fig. 3.9. a, b, c. În anul 1977 au fost adoptate soluții specifice de alcătuire a structurilor (din stive și calcane de elemente speciale), cu îmbinări ușoare, mult simplificate (fig. 3.5; 3.6 a,b; 3.7.a).

În acest sistem au fost realizate clădiri în majoritate cu 5 niveluri, reprezentând locuințe, hoteluri, spitale, anexe sociale-industriale, amplasate în zone seismice cu gradul 7 de protecție (Brașov, Cetatea, Arad) și insuflând circa 400.000 m<sup>2</sup> axie desfășurată (circa 5.000 apartamente).

#### 2.3.4. Sistemul C.H.C. - I.C.P.-L.C. (Craiova) [23, 26, 169].

Conform tehnologiei de fabricație realizarea elementelor speciale comportă, în principiu, următoarele operații :

a) montarea în instalație de formare a panoului de față și a carcasaiei de armare;

b) turnarea a trei pereti și a planșoului de tavan ;

c) întărirea betonului (se folosesc acceleratori);

d) decoifarea clopotului și amplasarea lui la postul de completare cu panoul de pardoseală ;

e) asamblarea clopotului prin legături sudate, pe planșoul de pardoseală (fig. 3.2. b, d);

f) echiparea elementelor speciale cu compartimentări ușoare, instalații și finisaje, pe linii specializate.

Nivelul instalației de formare se decoifrează prin rezbaterea tiporilor pentru pereti, care sunt prinsă cu legături flexibile în lungul muchiilor de recordare cu tipul de tavan, asigurându-se pereti cu secțiune constantă.

Elementele sunt alcătuite din placi subțiri cu fețe netede având grosimea de 7 cm la pereti și planșoul de tavan și ce le unesc la planșoul de pardoseală (fig.2.6.). Se folosesc la clădiri de locuit cu 5 niveluri amplasate în zone seismice cu gradul 7,5 de protecție.

Îmbinările elementelor speciale în construcție se realizează prin turnarea unor monolitizări verticale în spațiile rezultate prin tăierea muchiilor, în care se introduc armături din oțel beton, sau obluri post-tensiune și cu legături orizontale, din bare de oțel beton sudate pe placi metalice înglobate în colțurile elementelor, la nivelul planșelor de tavan.

În sistemul Craiove au fost construite după 1974 clădiri de locuit insuflând circa 3.000 apartamente.

### 2.3.5. Sistemul Iasi [11, 28, 15%]

Elementele spațiale se realizează în tehnologie clăpot. Corespondența fizică de sistemul Craiove constă în faptul că clăpotul este alcătuit din planșoul de tavan și patru peretei turnați monolit; pe peretei de față se stabilesc panouri termoizolațioare. Peretii clăpotului au secțiune variabilă în interior de la 9 la 7 cm pentru decofrarea niciunului. Planșoul de pardoseală este o placă de 4 cm grosime cu nervuri în față exterioară. Elementele spațiale sunt proiectate pentru clădiri de locuit cu 5 niveluri, amplasate în zone seismice de gradul 2,5. Îmbinările verticale între elementele suprapuse sunt prevăzute din baza de oțel beton înglobate în pereti, sudate pe urechile de ridicare, ancorate în colțurile elementelor, iar îmbinările orizontale, între elementele alăturate, din cähine de oțel beton sudate pe plăci metalice înglobate în colțurile acestora, la nivelul planșelor de tavan.

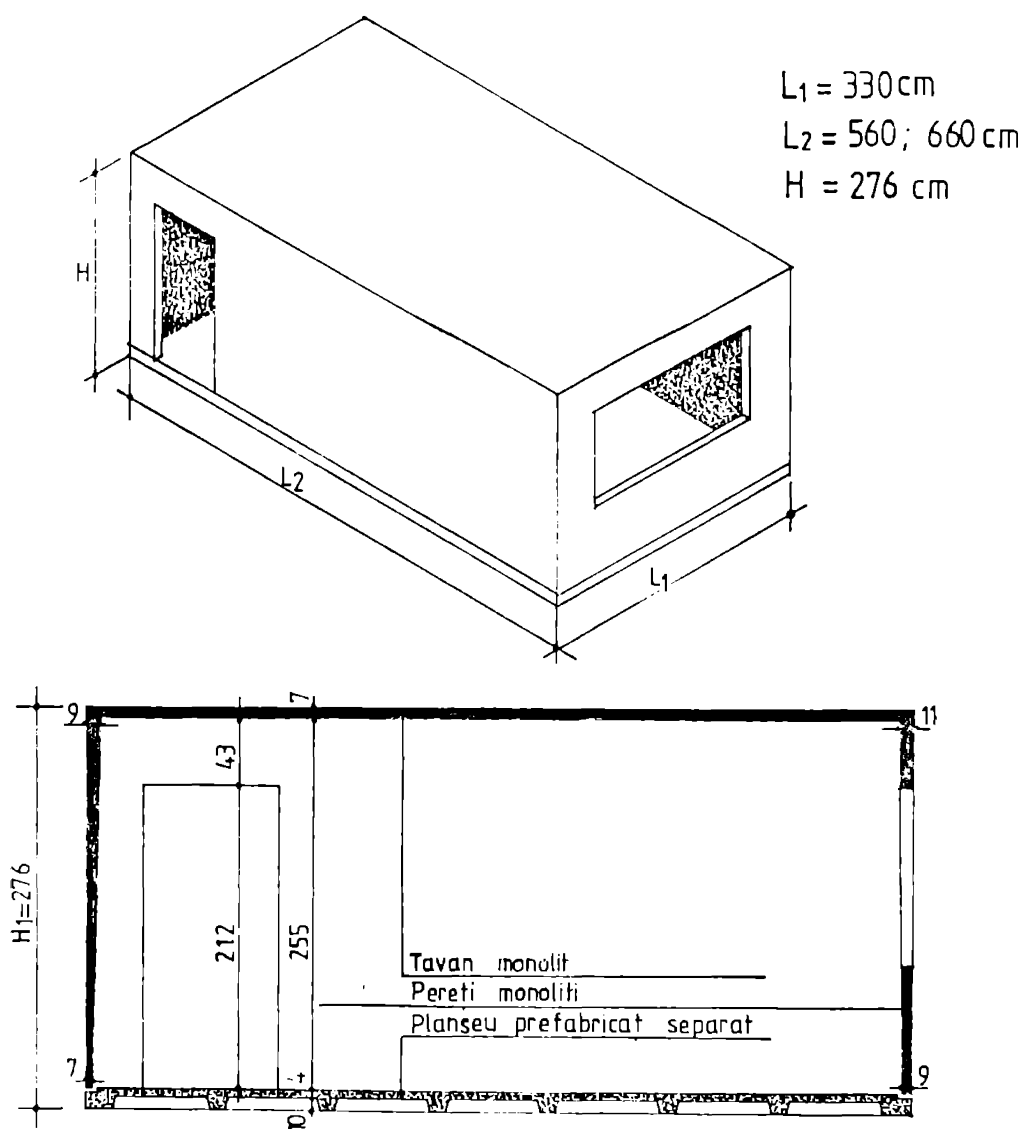


FIG. 2.10 SISTEMUL IASI

### 3. PARCOURIRILELE DE MONTAJE A ELEMENTULUI SPATIAL

#### 3.1. CONCEPTUL DE MODULARITATE.

Pentru proiectarea și realizarea unui sistem de construcție cu elemente spațiale sunt necesare, în primul rînd, tehnice studii de modularitate. În cadrul clădirilor, elementele se vor încadra într-o rețea modulară spațială.

Dimensiunile modulare ale unui element, într-un sistem de axe triortogonale formează modulul spațial. Dimensiunile modulilor spațiali și serii acceptoare, sunt stabilite, cu respectarea precripțiilor de modularare în construcții, în baza următoarelor principii:

a) - fiecare modul spațial să ofere cât mai multe posibilități de rezolvări funcționale ;

b) - într-o anumită clădire să se folosească un număr minim de moduli spațiali.

Proiectarea tipelor și a instalațiilor de formare se face pentru serii acceptate de moduli spațiali.

Prevederile, în cadrul proiectării sistemului, a posibilităților de amplasare a peretilor ușor de compartimentare și a clărilor de uși, ferestre, în orice poziție, cu respectarea unor condiții minime, asigură rezolvări funcționale multiple în același modul spațial.

Stabilirea dimensiunilor nominale ale elementelor spațiale se face în baza preciziei de fabricație și montaj, prevăzută în prescripții, sau caete de cercini și verificată experimental.

Adeptarea conceptului de modularitate asigură tipizarea și industrializarea evansată a elementelor spațiale.

Seria de moduli spațiali, pentru sistemul I.C.I.H., este indicată în fig. 2.7.

#### 3.2. ALGARDELE ELEMENTULUI SPAȚIAL.

În cadrul sistemelor a, B, C, D, E, F, prezentate la 2.1.3, elementele spațiale sunt alcătuite, în general, în următoarele soluții :

a) - platoul de naconșală : placă cu fețe netede sau cu nervuri, la față exterioară, amplasate transversal sau, transversal și longitudinal ;

b) - platoul de bază : de regulă, placă plată, cu fețe netede ;

c) - pereții interioiri (peretii elementelor spațiale, care

în clădire, sunt anglaști la interiorul acestaie): plăci plane cu fețe netede sau plăci cu rigidizări la fața exterioară (rigidizări pe contur, rigidizări în jurul gulerilor, sururi verticale, bulbi etc).

d) - pereți extenziivi (pereții elementelor spațiale care, în clădire, sunt anglaști la exteriorul acestaie) :

- penouri termoizolante, portante sau de rigiditate, asamblate pe elementul spațial, cu une din soluțiile de îmbinare prezentate în fig. 3.1-3.3

- pereți, alcătuși ca la c), pe care se atapează, în fabrică sau pe șantier, penouri termoizolante suplimentare sau termoizolație din materiale ușoare;

- pereți nestructurali din materiale ușoare.

În cazul soluțiilor cu plăci nervurate, sensibile la fisurarea provocată de tensiunile interioare, din contractări și variații ale temperaturii ale betonului tratat tarzic, este necesar ca prin alcătuirea și exploatarea tipelor să se asigure evitarea fisurării. (de ex. realizarea tipelor din trosane cu zonuri de contractie-dilatație, convenabil stabilite, în funcție de poziția nervurilor).

Caracteristică importantă a elementelor spațiale este alcătuirea lor din plăci subțiri. Evoluția sistemelor de construcție cu elemente spațiale a fost condiționată, printre altele, de posibilitățile tehnologice de turnare a unor pereți subțiri și de realizarea cerințelor, teoretice și experimentale, prin care să se ateste rezistența și stabilitatea acestor pereți [24, 130, 116]. În cadrul acestor sisteme, s-a realizat, curând, structuri din elemente spațiale cu pereți portanți având raportul între înălțimea (h) și grosimea (h) de la 35 la 40 și chiar 50. (de exemplu sistemul francesigne folosește pereți cu grosimea  $h = 5$  cm și înălțimea  $H = 250$  cm [1]).

În funcție de sistemul de alcătuire (2.1.3), penourile prefabricate, care intră în compoziția elementelor spațiale, se asamblează în structure acestea, în arhitectura salină :

a) - monolitizări continue, din beton armat, pe conturul penourilor (fig. 3.1, 3.2 variantele 2);

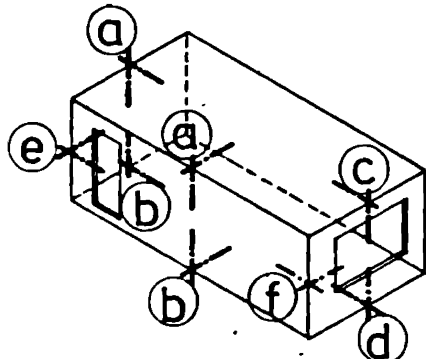
b) - monolitizări discrete, distribuite pe conturul penourilor;

c) - legături cu piezi metalice sudate (plăci metalice, bucle din oțel beton etc. fig. 3.1., 3.2 variantele 1);

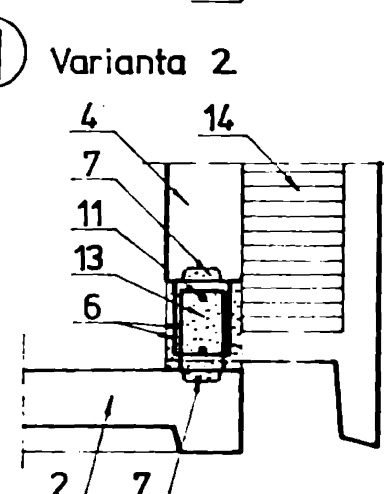
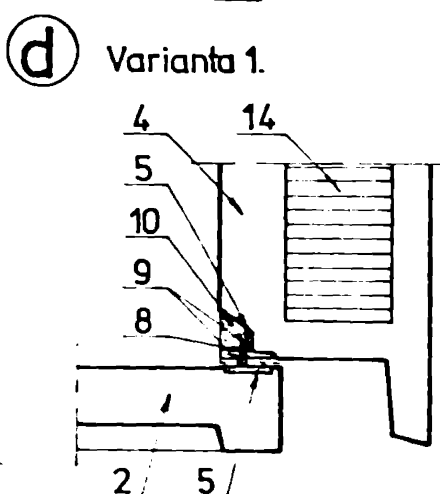
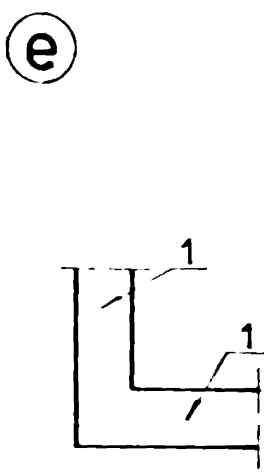
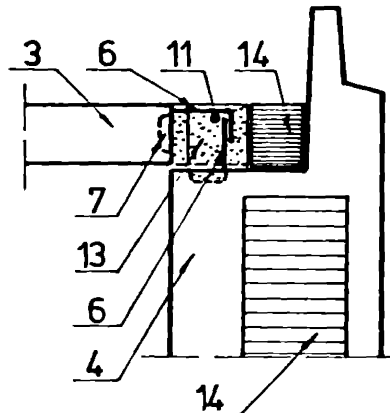
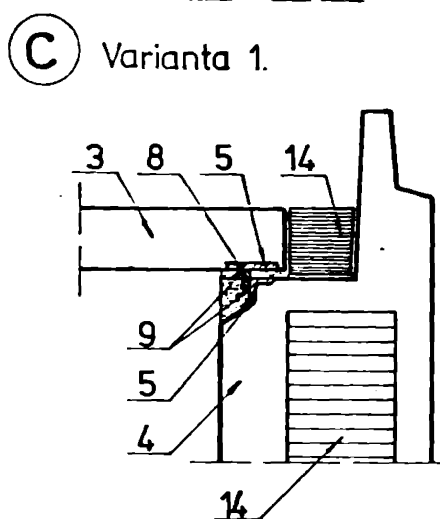
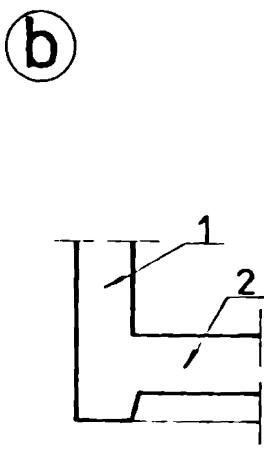
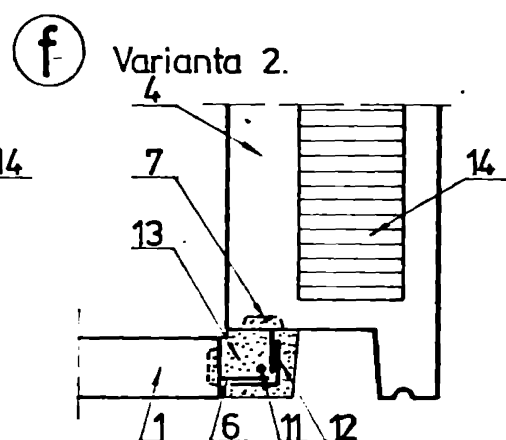
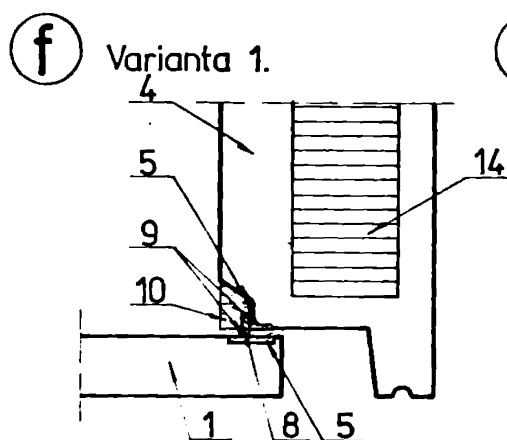
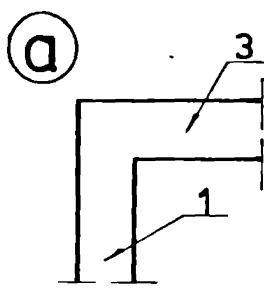
d) - legături cu bulonare (fig. 2.3.); bulonurile pot fi tensionate pentru introducerea unor compresiuni permanente pe suprafețele

# Fig. 3.1 SISTEMUL PAHAR CULCAT.

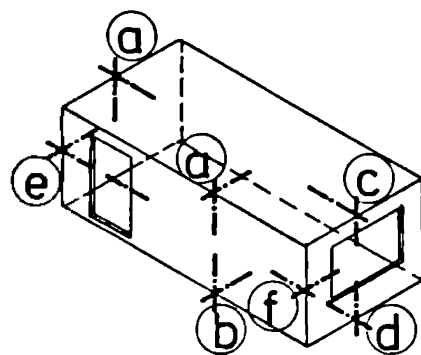
EXEMPLE PENTRU DETALII DE ALCATUIRE A ELEMENTULUI SPATIAL.



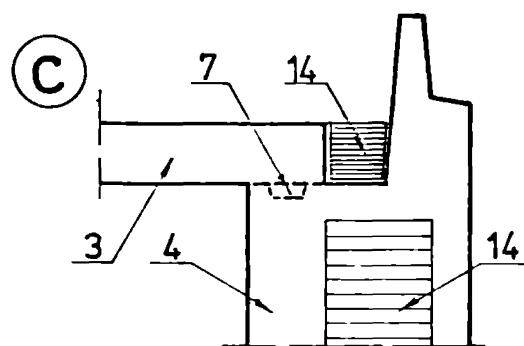
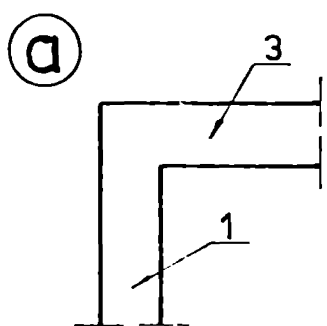
1 - perete ; 2 - planșeu de pardoseală ; 3 - planșeu de tavan ; 4 - panou de fațadă (prefabricat separat) ; 5 - piese metalice înglobate ; 6 - armături de cusătură ; 7 - alveole ; 8 - plăcuță metalică ; 9 - sudură ; 10 - mortar ; 11 - armături din oțel beton ; 12 - coltar din oțel beton ; 13 - beton de monolitizare ; 14 - termoizolație.



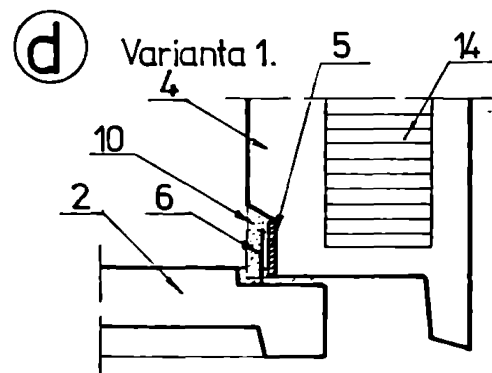
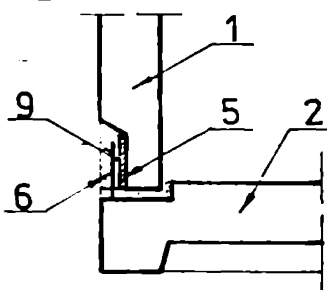
**Fig. 3.2 SISTEMUL CLOPOT.**  
**EXEMPLE PENTRU DETALII DE ALCATUIRE A ELEMENTULUI SPATIAL.**



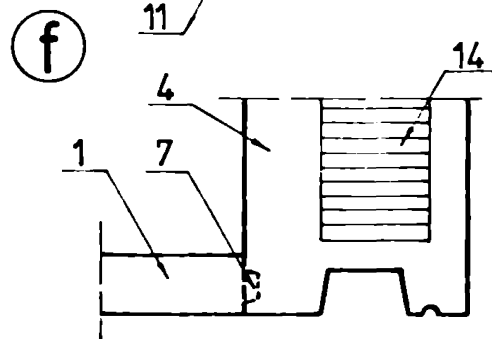
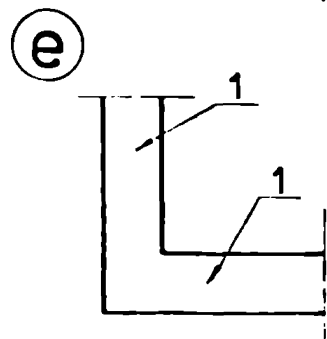
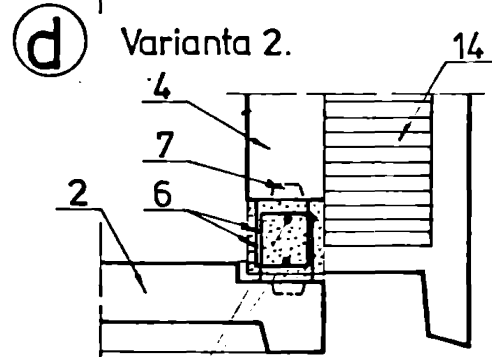
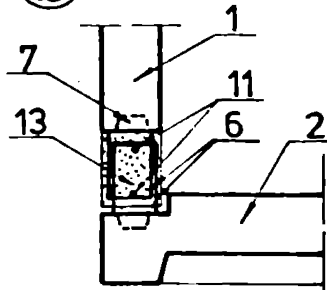
1 - perete ; 2 - planșeu de pardoseală ;  
 3 - planșeu de tavan ; 4 - panou de  
 fațadă ( prefabricat separat ) ; 5-piese  
 metalice înglobate ; 6 - armături de cusă-  
 tură ; 7 - alveole ; 9 - sudură ; 10 - mor-  
 tar ; 11 - armături din oțel beton.; 13 -  
 beton de monolitizare; 14- termoizolație.



**(b) Varianta 1.**



**(b) Varianta 2.**



în contact, în vederea transmiterii forțelor trăsătoare prin frcare.

In cazurile b), c), d), rosturile pe conturul panourilor sără sunt plute cu mortar de ciment.

Emplesarea golurilor de trecere, pentru ugi și ferestre, sau a golurilor mari, se face cu esigurăre, pe muchiile verticale ale elementelor, și unor montanți cu secțiuni corespunzătoare (fig.2.5, 3.3.); în [1] și [2] sunt recomandate prevederile de alcătuire și secțiunile minime ale acestora.

Prefabricatele spațiale sunt prevăzute, la formare, cu piese metalice pentru ridicare și elemente necesare îmbinărilor :

- a) - bulene, bucle ancorate, etc. (fig. 2.3, 3.5) ;
- b) - plăci metalice, bucle sau mustați din oțel beton (fig. 3.7, 3.8, 3.9) ;

c) - neruji convenabil emplesate pentru închiderea spațiilor necesare îmbinărilor de monolitizare [103, 104], (fig.3.9) ;

d) - suprafetele profilate (cu alveole și progruri) pentru esigurarea conlucrării prefabricat - monolitizare ;

e) - profilezi perimetrale, emplesate la partea superioară și la partea inferioară, sub formă de borduri care se interpătrund la suprapunerile în clădire. [24], (fig.3.6) ;

f) - casoale pentru rezistențe unor panouri de plangă (fig. 3.8.) ;

Armatarea părților turnate monolit ale elementelor spațiale se face, de regulă, cu carcase spațiale alcătuite prin esenblarea din carcase plane, carcase încuite din plăci sudate, plăci sudate și bare. În general toate piesele metalice înglobate sunt fixate pe carcase spațiale de armare.

In cazul elementelor spațiale cu părți subțiri, obsterile la caracteristicile geometrice care se produc la fabricație, precum și obsterile de montaj, au ca efect eforturi și deformații suplimentare, semnificative, ale căror valori depind de maximă obsteră admisibilă; urmăre experimentarilor numerice efectuate, (5.3.2) se recomandă limitarea obsterilor admisibili la nivele mai mici decât cele prevăzute în [24, 29], (și sproprietățile toleranțele prevăzute la sistemele prezentate la 2.2.1, 2.2.3, 2.2.4), după cum urmează :

- obsteri limite dimensionale :

- înălțime element, grosime părți       $\pm 2 \text{ mm}$  ;
- lungime, latime                                 $\pm 3 \text{ mm}$  ;

- obsteri limite de la perpendicularitate a fețelor, profilelor, muchiilor                                         $3 \text{ mm}$

- abători de la paralelism a fețelor,

profilelor, muchiilor

3 mm

### 3.3. ALĂTURIUL DE CONSTRUCȚIILE DIN CADRUL SPATIALĂ

Structurile clădirilor se realizează prin combinarea elementelor spațiale partante - combinate eventual cu paneuri - cu legături care le antrenescă în comunicarea spațială; structurile sunt, în general, o formă regulată, constituită din cîteva tipuri dimensionați de elemente, care se repetă sistematic.

Alăturarea structurilor se face din componente specifice acestui sistem constructiv, definite în continuare.

a) Prin simplă suprapunere a elementelor spațiale se obține o structură cu o capacitate de rezistență și stabilitate proprie care a fost denumită stivă.

b) Un șir de elemente spațiale suprapuse întinse cu legături verticale pentru prelucrarea întinderilor în resturile orizontale, formează o coloană elementară.

c) Două sau mai multe colonne elementare alăturate, asociate mecanic prin întinseră muchiilor verticale, cu legături pentru prelucrarea forțelor tăietoare în resturile verticale formează o coloană complexă.

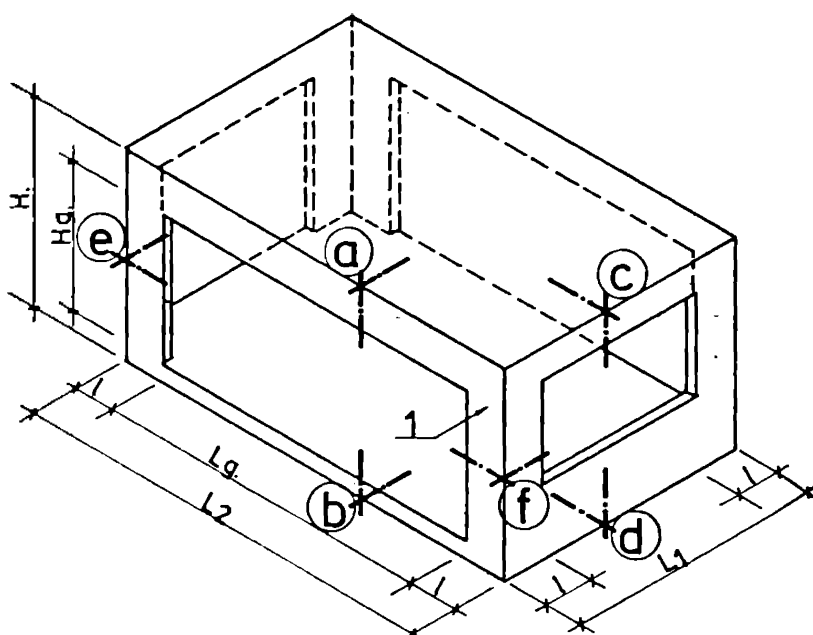
Stivele, coloniale elementare sau cele compuse pot fi amplasate, în cadrul clădirii, alăturat sau distanțate - spații libere fiind ocupate cu paneuri de plănuie - în cazul structurilor mărte.

Stivele nu pot prelua eforturi verticale de întindere în resturile orizontale; în cazul asigurării la lanseare în aceste resturi (prin frecare, întinseră cu praguri, borouri parastatrale, sau alte sisteme, fig. 3.6), stivele pot prelua eforturi din efectul combinat al încărcărilor gravitaționale și orizontale, pînă la atingerea limită de stabilitate a poziției (răsturnare), (fig. 3.66). În acest caz se consideră că stările limite de rezistență și de stabilitate a formei nu sunt depășite.

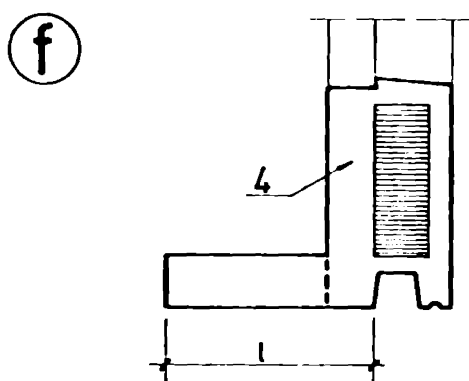
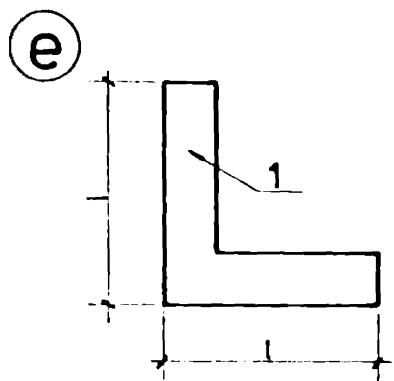
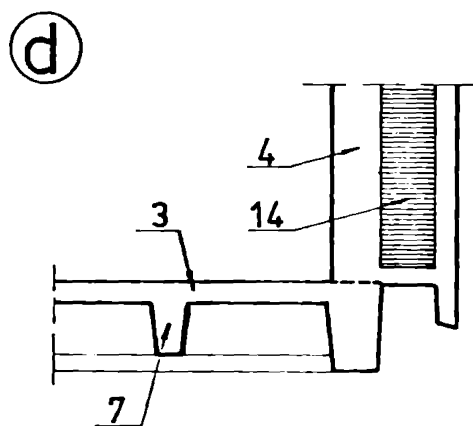
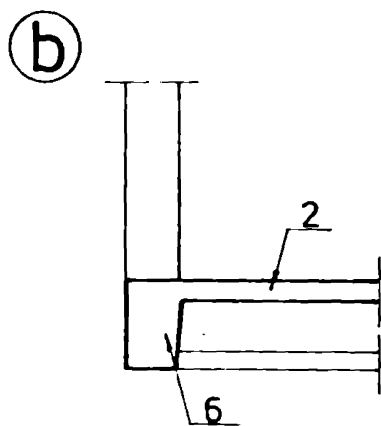
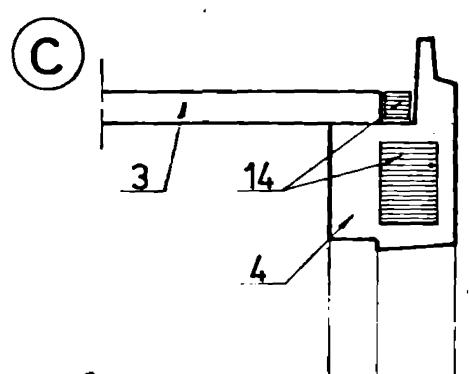
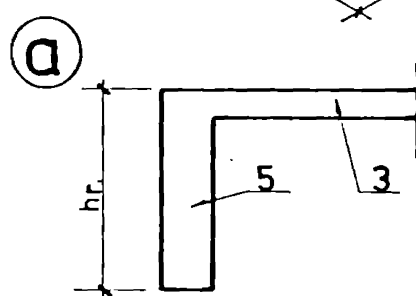
Componentele structurale sunt conectate în cadrul clădirii, de regulă, cu legături amplasate la nivelul planșoanelor, care preiau eforturi axiale și forțe tăietoare în resturile orizontale.

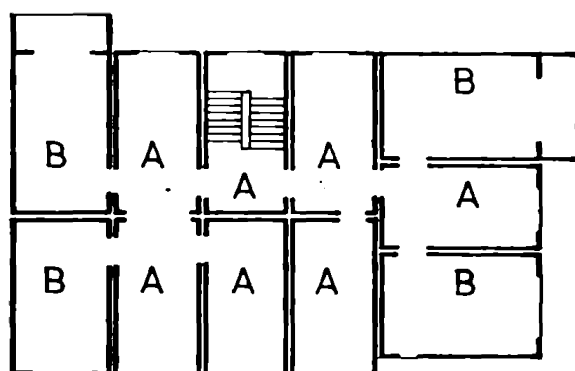
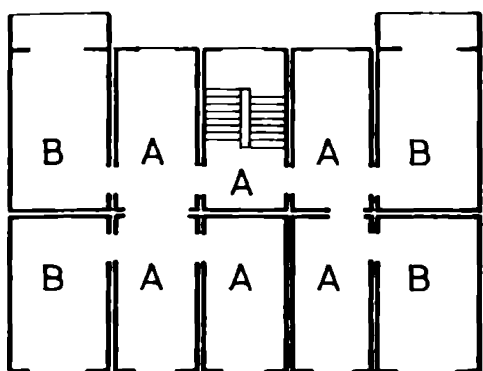
În funcție de înălțimea clădirilor, gradul de intensitate seismică și amplasamentelor, natura și rezistența terenului de fundație, structurile clădirilor pot fi alcătuite din stive, colonne elementare, colonne compuse, sau prin combinații între acestea (fig. 3.4).

Fig. 3.3 EXEMPLU DE ALCATUIRE A UNUI ELEMENT SPATIAL CU GOLURI MARI IN PERETI.



- 1-montant ;
- 2-planșeu de pardoseală ;
- 3-planșeu de tavan ;
- 4-panou de fațadă  
(prefabricat separat) ;
- 5-riglă planșeu tavan ;
- 6-grindă planșeu pardoseală ;
- 7-nervură planșeu pardoseală ;
- 14-termoizolație.





(a)

(b)

FIG.3.4 Exemplu de alcătuire a unor clădiri din elemente spațiale

a,b,d - clădiri de locuit

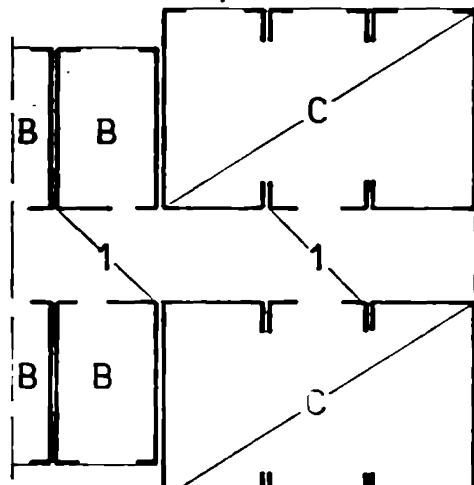
c - școală, clădire administra - tivă.

A - stivă

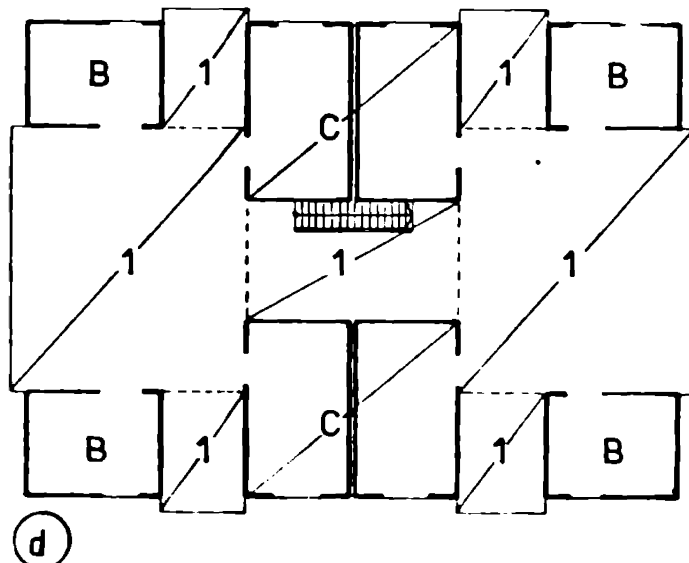
B - coloană elementară

C - coloană complexă

1 - panouri de planșeu



(c)



(d)

Casetele scăriilor, alcătuite din elemente spațiale, nu vor fi amplasate la marginile clădirilor; avind în vedere că aceste elemente au coloane mari în planșee, stabilitatea peretilor va fi asigurată prin prinderea lor, cu suficiente legături, de elementele spațiale susținute.

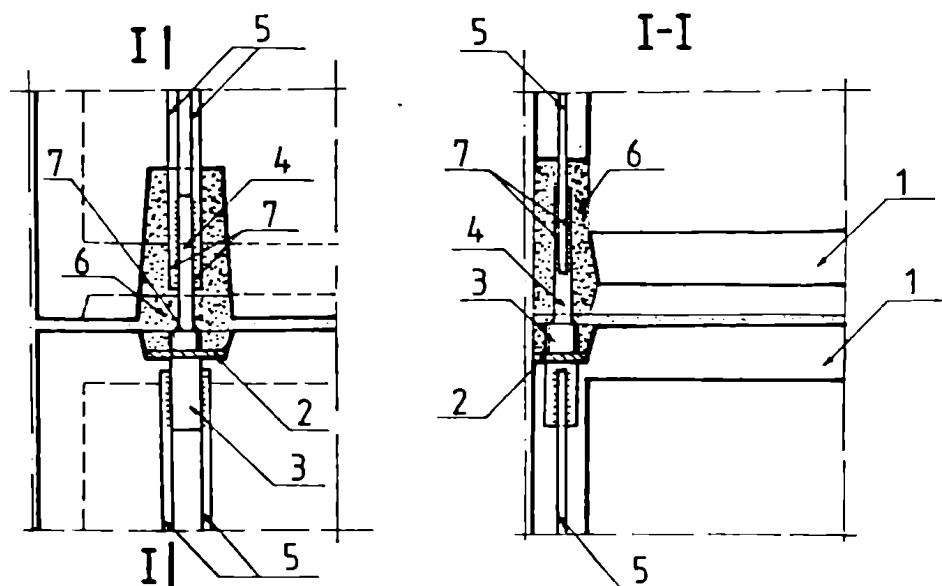
În alcătuirea clădirilor din elemente spațiale, se va pune în vedere posibilitatea oferită de sistemul constructiv, de transmitere convenabilă cu rosturi verticale a acțiunelor în vederea optimizării funcției rezistență-rigiditate.

#### 3.4. ALGAȚIILE ÎMBINĂRII.

Îmbinările sunt legături între elementele spațiale, necesare pentru constituirea componentelor structurale - stive, coloane elementare și coloane complexe - și legături între aceste componente (eventual combinate cu elemente de planșeu), în vederea constituirii și funcționării structurii de rezistență și clădirii în ansamblul ei.

a) Transmiterea eforturilor verticale de întindere între elementele suprapuse, se poate face, în general, prin acceptarea următoarelor soluții de îmbinare :

- soluții din oțel beton, amplasate în penetriile elementelor, concentrate în zonele cu eforturi maxime ; fibinarea lor între nivelelor se realizează cu sudură, sau prin îmbinare (fig. 3.5.).



1 element spațial , 2 placuță met. înglob., 3 șurub pentru ridicare,  
4 bară de cont., 5 armături vert de cont., 6 beton de monolit., 7 sudură

Fig 3.5 Exemplu de îmbinare verticală între elemente spațiale suprapuse

b.2. Algații din oțel beton, prezentate în întinsele verticale de monolitizare, în cazul coloanelor complexe sau a structurilor compuse monolitizante (fig. 3.9).

a.3. Armături postintinse (bare sau cabluri) introduse în peretele elementelor spațiale sau în secțiunile monolitizărilor verticale [137, 2d].

a.4. Legături cu bulogne; bulognale pot fi postintinse [68].;

a.5. Îmbinarea cap la cap a barelor de continuitate, avind profil periodic, în amogenie de oțel - rezultă la interior un peretii transversale - în care se tezău, mortez, fixă contragafie, sau coagării metalice.

b) pentru transmiterea forțelor tăietoare între elementele spațiale suprapuse, se acceptă, în general, următoarele soluții de îmbinare.

b.1. Falosirea frecărăi, pentru cazurile în care efortul tangențial ( $T_f$ ) și efortul normal ( $N$ ), pe unitatea de lungime de zid, îndeplinește condiția :

$$T_f \leq c_f N$$

unde  $c_f$  este coeficientul de făcere admis [29].

b.2. Prevăzerea suprafețelor de rezistență cu praguri și alveole care patrund unele în altele (îmbinări cruce) [29].

b.3. Prevăzerea pe conturul elementelor, la partea angulară și la partea inferioară, a unor profiluri perimetrale sub formă de buloguri, care se întrepătrund la suprapunere (fig. 3.6).

b.4. Prevăzerea unor monolitizări orizontale sub formă de centuri (fig. 3.6 a)

b.5. Introducerea unei compresiuni permanente, prin precompresiune verticală, în vedere transmiterii forțelor tăietoare prin frecare [2d].

c. Legăturile orizontale între elementele spațiale altăfel necesare constituuirii de coloane complexe, amplasate, de regulă, la nivelul planșelor de tavă, se realizează, în general, în următoarele soluții :

c.1. Prevăzerea unor îmbinări de monolitizare, de beton armat, continuu, sub formă de centuri (fig. 3.7.c), sau concentrante în anumite zone (fig. 3.7.b)

c.2. Prevăzerea unor îmbinări cu plăci metalice sudate (3.7.a).

c.3. Introducerea unor compresiuni permanente prin precompresiune orizontală (cu tige, bulogne sau cabluri) [68, 94].

c.4. Îmbinarea muchiilor verticale ale elementelor spațiale altăfel, pentru transmiterea forțelor tăietoare în rosturile verticale și constituirea de coloane complexe, se face, de regulă, prin următoarele următoarele soluții :

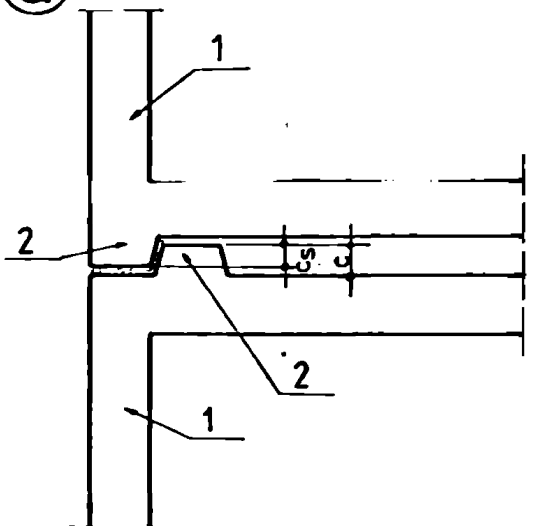
c.4.1. Prevăzerea unor îmbinări de monolitizare sub formă de

FIG. 3.6 Exemple de îmbinări orizontale între elementele spațiale suprapuse.

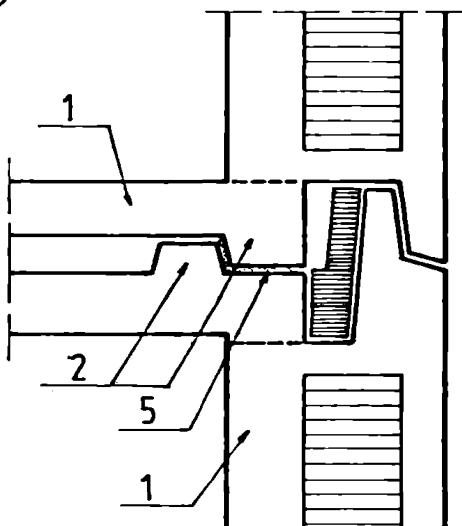
1. element spatial
2. bordură perimetrală
3. prag perimetral
4. alveole
5. mortar
6. carcasa de armare
7. beton de monolitizare
8. bandă de cofraj
9. cordon de polietilenă

$c_s \geq 2$  cm  
 $c \geq 4$  cm, cu realizarea preciziei de execuție conform (3.2)

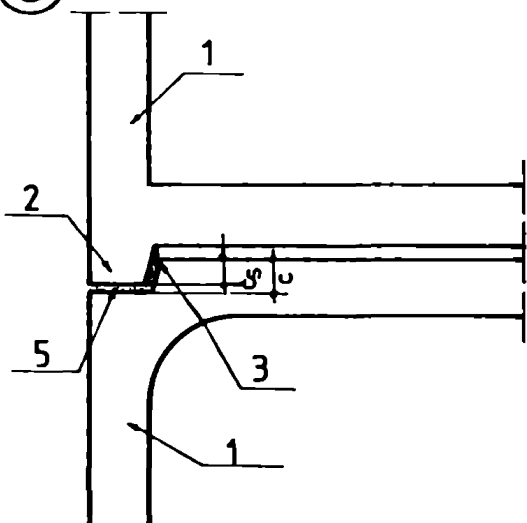
(a)



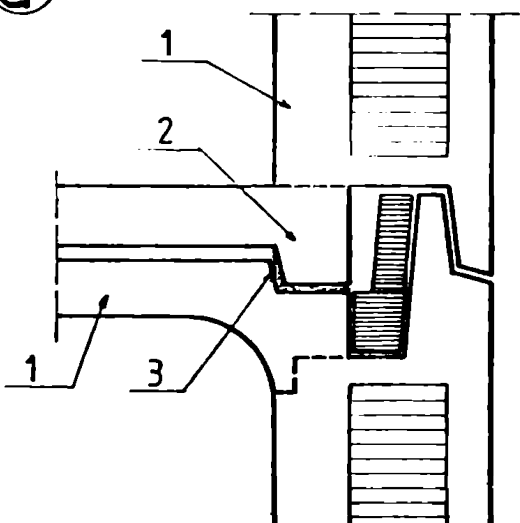
(b)



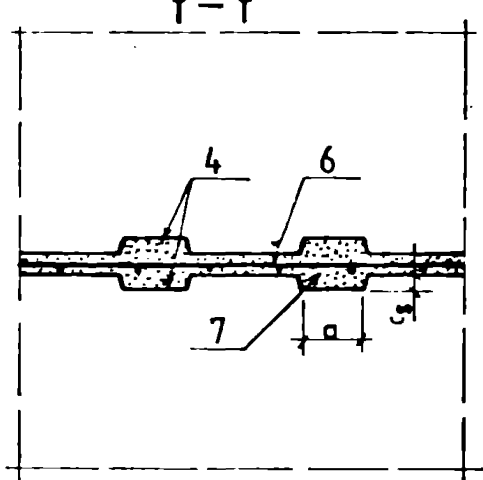
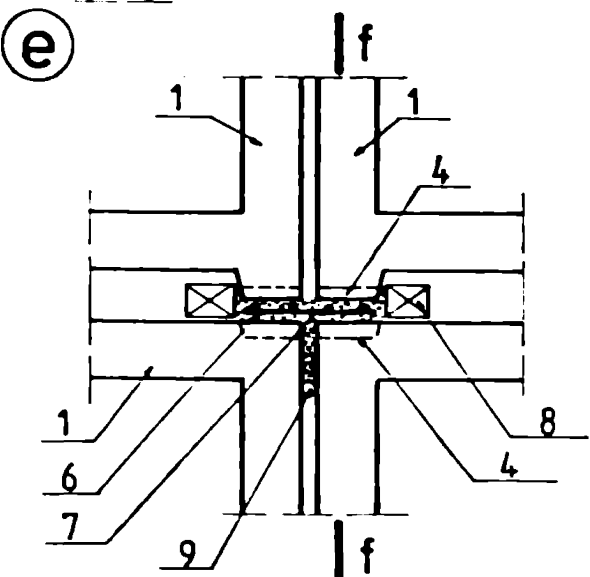
(c)

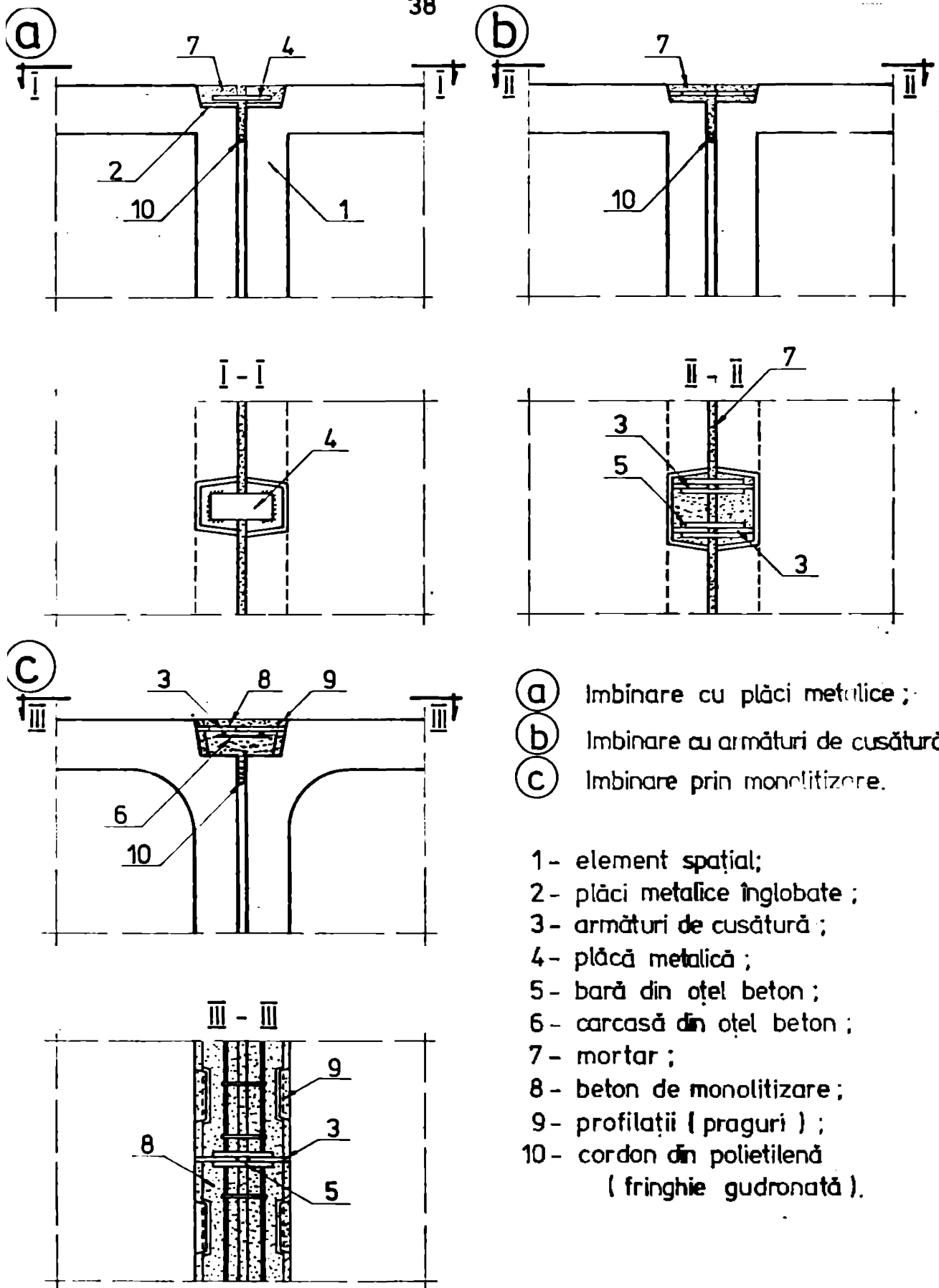


(d)



(e)

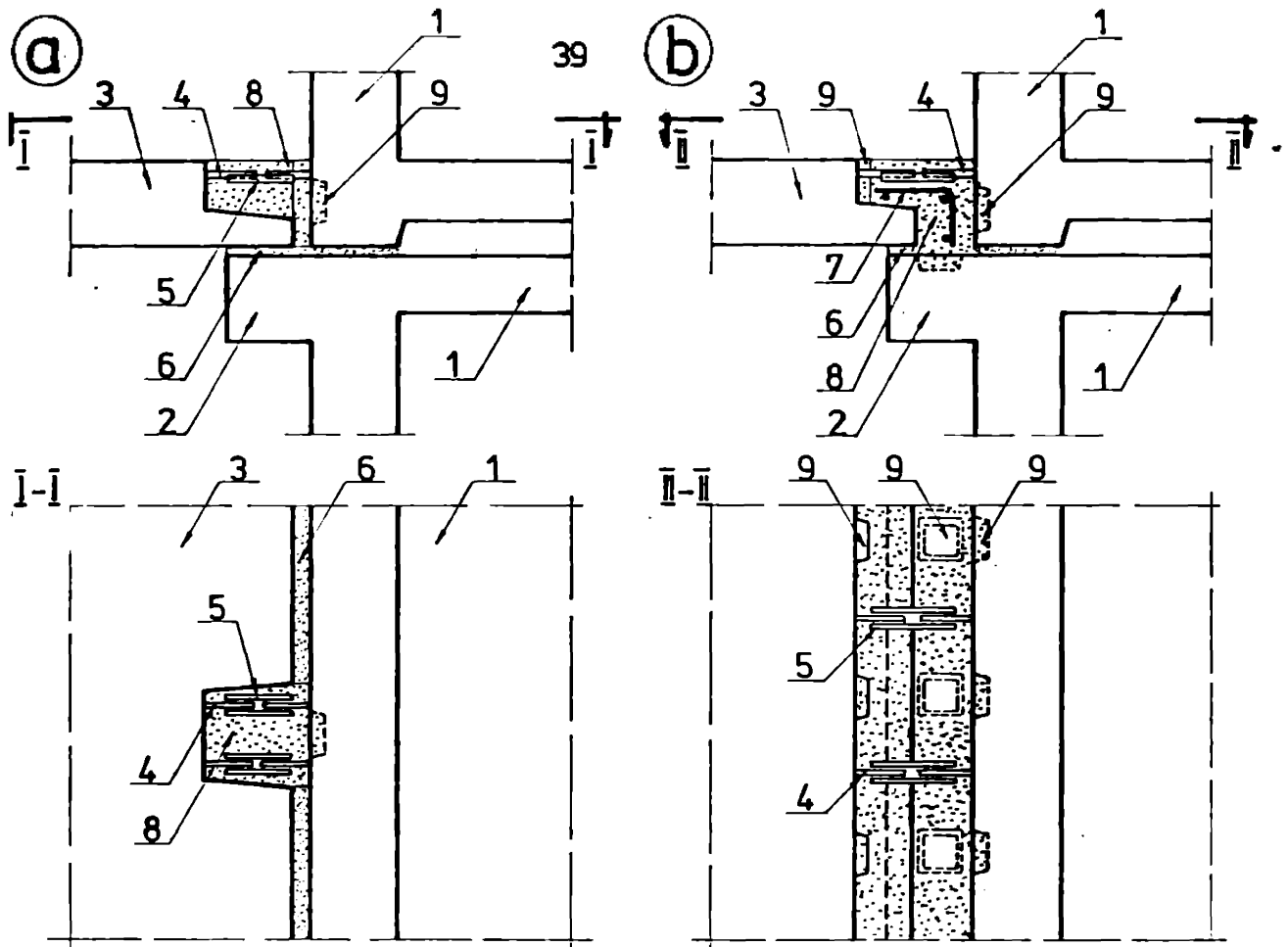




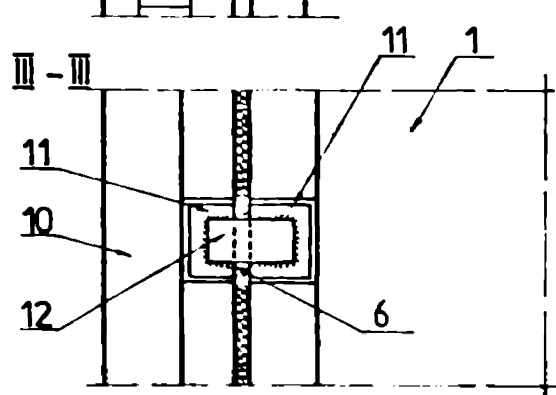
- (a) Imbinare cu plăci metalice ;
- (b) Imbinare cu armături de cusătură ,
- (c) Imbinare prin monolitizare .

- 1- element spațial;
- 2- plăci metalice înglobate ;
- 3- armături de cusătură ;
- 4- plăcă metalică ;
- 5- bară din oțel beton ;
- 6- carcăsa din oțel beton ;
- 7- mortar ;
- 8- beton de monolitizare ;
- 9- profilații ( praguri ) ;
- 10- cordon din polietilenă ( fringhie gudronată ).

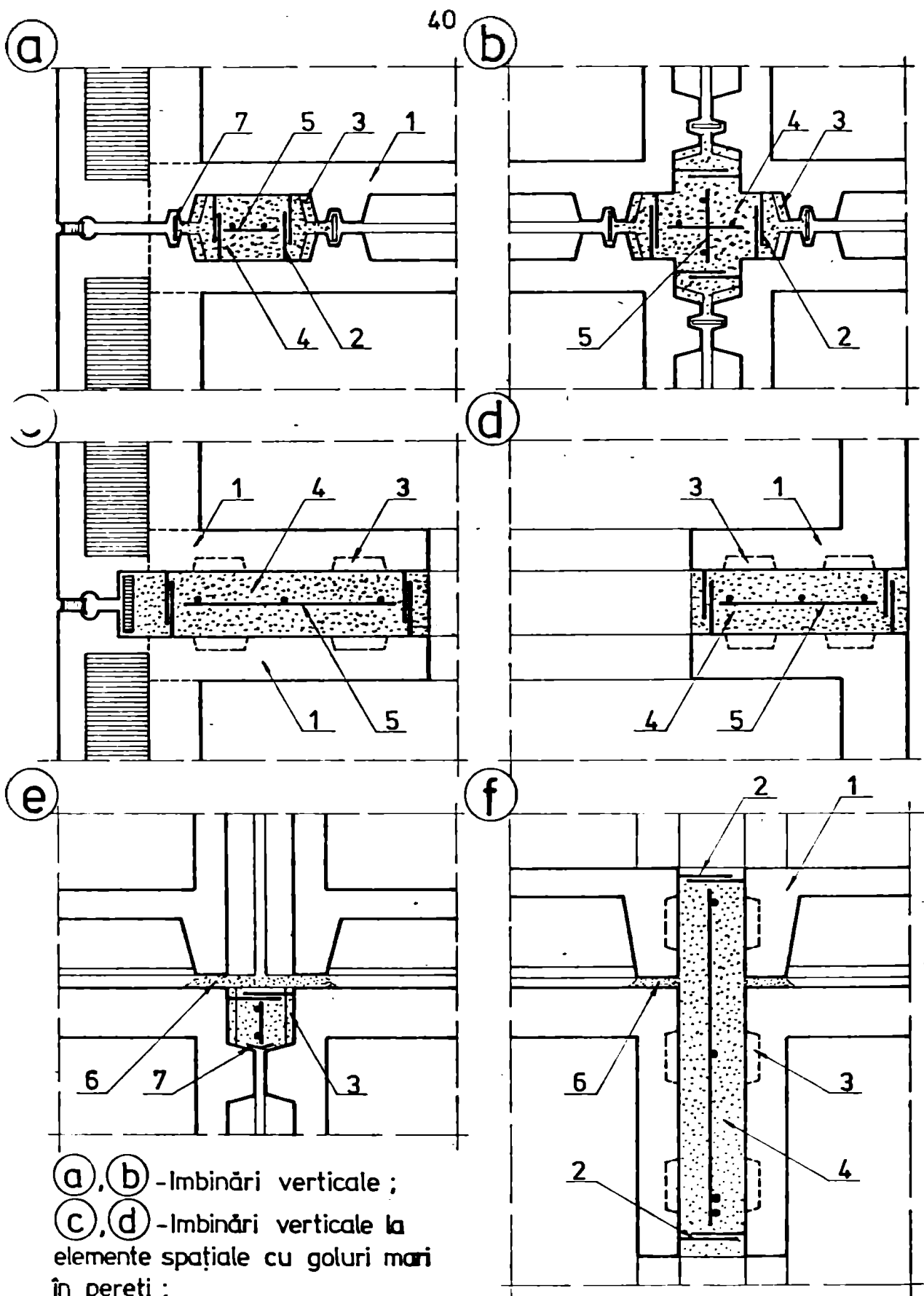
**Fig. 3.7 EXEMPLE DE IMBINARI ORIZONTALE INTRE ELEMENTELE SPATIALE ALATURATE.**



- 1 - element spațial ;
- 2 - consolă ;
- 3 - panou de planșeu ;
- 4 - armături ;
- 5 - eclise din oțel beton ;
- 6 - mortar ;
- 7 - carcasa de armare ;
- 8 - beton de monolitizare ;
- 9 - profilatii (praguri alveole) ;
- 10 - panou termoizolator ;
- 11 - placă metalică înglobată ;
- 12 - placă metalică .



**Fig. 3.8 EXEMPLE DE IMBINARI INTRE ELEMENTE SPATIALE SI PANOURI**



(a), (b) - Imbinări verticale ;

(c), (d) - Imbinări verticale la  
elemente spațiale cu goluri mari  
în pereti :

(e) - Imbinare orizontală ; (f) - Imbinare orizontală la elemente spațiale  
cu goluri mari în pereti.

1 - element spațial ; 2 - armături de cusătură ; 3 - profilații (praguri,  
alveole) ; 4 - beton de monolitizare ; 5 - carcăsa de armătură ;  
6 - mortar de poză ; 7 - bandă de etanșare.

Fig. 3.9 EXEMPLE DE IMBINARI PRIN MONOLITIZARE.

stări pisoare (fig. 3.9 a,b,c,d).

d.2. Introducerea unor compresiuni permanente prin precomprimare orizontală.

e) Legăturile orizontale între componentele structurale (stivu, coloane) în vederea asigurării conectorii acestora în ansamblul structurii de rezistență al clădirii, se realizează, în general, cu soluțiile indicate la punctul c).

f) În cazul construcțiilor amplasate în zone cu grad ridicat de seismicitate (8-9), fundate pe terenuri la care pot să apară tăcări diferențiate importante, sau realizate din elemente spațiale cu goluri mari în pereti, se recomandă adaptarea de structuri complet monolitizate, cu întinări din beton armat, continu, verticale și orizontale (fig. 3.9.); suprafețele de contact prelebricat-monolit vor fi tratate cu amprente și armături, pentru asigurarea conlucrării lor în secțiunea mixtă [119, 29].

g) Lăbinările orizontale între panourile de plasă și coloanele (stivu) de elemente spațiale, în cazul structurilor mixte (fig. 3.4 c.,d) se pot realiza, prin :

g.1. Recomarea pe console și efectuarea unor monolitizari orizontale (fig. 3.8. a,b);

g.2. Recomarea provizorie pe console metalice demontabile și introducerea unor eforturi permanente prin precomprimare orizontală.

h) Panourile termoizolate, autoportante vor fi prinse de elementele spațiale alăturate cu piezi metalice sudate l, (fig.3.8 c) sau cu baze din oțel beton sudate, protejate cu mortar sau beton.

Întrucât abaterile de montaj au ca efect apariție de eforturi și deformații suplimentare, semnificative, în elementele spațiale cu pereti subțiri (§.3.2.) și pentru asigurarea calității corespunzătoare a execuției cu elemente finisate, se consideră necesara limitarea ecuației la valori mai mici decât cele prevăzute în [24] și [29], după cum urmează :

- abateri limită de suprapunere :

. între două niveluri consecutive  $a_s = \pm 2,5$  mm

. pe întreaga construcție  $\Delta_s = \pm 5$  mm

- abateri limită de la verticalitate a peretilor, montenților

$$a_v = 3 \text{ mm}$$

- abateri limite de la orizontalitate a suprafețelor de rezemane

$$a_h = 3 \text{ mm}$$

- diferență maximă de nivel, la față superioară a planșelor de pardoseală finisate,

$$a_d = 3 \text{ mm}$$

### 3.5. ALCATUIREA INFRASTRUCTURILOR.

sensibilitatea la tăcari diferențiate a structurilor alcătuite din stive și colete de elemente spațiale, precum și tendința de concentrare a presiunilor pe teren, datorită rosturilor verticale între aceste componente, impun prevederea unor infrastructuri cu o rigiditate corespunzătoare. Necesitatea de subsoluri pentru instalații, la clădiri multietajate, conduce, în general, la posibilitatea asigurării rigidității cerute.

Pereții de subsol pot fi realizati din beton armat monolit, sau din prefabricate spațiale, cu contur închis [165, 110], sau deschis [122].

Conlucrarea între suprastructură și infrastructură va fi asigurată, prin realizarea legăturilor între acestea, cu folosirea scuturilor de fixare prevăzute la 3.4.a,b.



Fig. 3.10  
Sistemul ICIM Bv.  
Fază de montaj.

**4. ASPECTE REFERINȚA LA COMPORTAREA STRUCTURILOR SI A ELEMENTELOR COMPOZITE. CERCETARI EXPERIMENTALE.**

Avându-se în vedere noutățile problemelor rezultate din aplicarea sistemelor constructive cu elemente spațiale, în țara noastră e foarte desfășurată o veacă activitate de cercetare experimentală de laborator, care a avut drept scop să pună la dispoziție proiectarii și execuției o bază de date, care să suplimenteze lipsei de prescripții, pe plan național și internațional, în acest domeniu. Principalele teme analizate și institutele unde s-au efectuat cercetările sunt următoarele :

a) Comportarea pereților subțiri și elementelor spațiale, la Institutul Politehnic „Teodor Vrăj” Timișoara [143, 149, 150, 96, 97, 98, 138], I.C.C.P.L.C. filialele Timișoara [151, 152] și Cluj-Napoca [153] ;

b) Gradul de conlucrare a nervurilor prefabricate cu miezul monolit și indicații de alcătuire a elementelor mixte (secțiunile armăturiilor de cucițuță și a elementelor precum și distribuția acestora pe suprafețele de contact prefabricate-miez monolit) în vederea comportării acestora ca elemente omogene, la I. P. „Teodor Vrăj” [144, 145] ;

c) Caracteristicile de rezistență și deformabilitate ale iarbăriilor între elementele spațiale suprapuse, în soluție cu borduri perimetrale (fig. 3.6. a, b), la I.C.C.P.L.C. filiale Timișoara 151, 152 și în soluție de asamblare prin precomprimare verticală, la I.C.C.P.L.C. filiale Iași [94] .

d) Comportarea și capacitatea portantă a coloanelor de elemente spațiale, rezultate din încercări la acțiuni de încărcări verticale și orizontale alternate, la I.C.C.P.L.C. filiale Timișoara [151, 152] ;

e) Comportarea în regim dinamic a structurilor din elemente spațiale, asambleate cu armături post-tintinse, introduse în secțiunile monolitizărilor verticale, rezultată prin încercarea unui model de clădire la scară 1 : 5, cu 5 niveluri, la cutremur simulație pe platformă seismică, la I.C.C.P.L.C. filiale Iași [155]

f) Comportarea structurilor mixte realizate în sistemul SME (Vapromal) - coloane de elemente spațiale tip pahar asambleate prin precomprimare verticală și plănuș prefabricate reacumate pe coloane - în regim static și dinamic, rezultată din încercarea unui model de subensemble de structură la scară 1 : 4, constituit din două coloane și două planșee, pe platformă seismică, la

I.C.C.P.D.C. filiala Iași [94] ;

g) Rigiditatea planșelor clădirilor din elemente spațiale, realizate prin imbinarea plăcilor de tavan și elementelor clătăruite cu plăciute metalice sudate, analizată prin încercarea unui model din plexiglas la scara 1 : 20, reprezentând un tronson de clădire cu 5 niveluri la care sunt aplicate forțe statice concentrate, la Institutul de Construcții din București [91] ;

h) Studiul comportării structurilor din elemente spațiale la acțiunile dinamică rezultată din agitație microseismică a terenului, prin măsuratori în „situ” pe clădiri realizate la Brașov și Craiova, a perioadelor și formelor proprii de vibrație, a deplasărilor relative în plan orizontal și vertical între două coloane clătăruite, precum și a rotirii în plan a coloanelor, la INCERC București [158];

i) Tehnologiile de realizare a elementelor spațiale și a construcțiilor, la INCERC București [7, 120], C.M.C. - I.C.P.M.C. București [72, 73], I.C.I.I. Brașov [101, 102, 105, 106] și I.C.P.I.C.I. Iași [157] ;

j) Gradul de izolare fonică a peretilor și planșelor clădirilor din elemente spațiale și propunerile de soluții de izoluire a acestora în vederea reziliării unei izolații fonice corespunzătoare, conformă cu prescripțiile, la INCERC București 142.

Cercetările desfășurate la I.C.C.P.D.C. filiala Timișoara s-au efectuat cu participarea personalului catedrei C.C.I.A. și Institutului Politehnic Timișoara și cu colaborarea întreprinderii I.C.I.U. Brașov.

În continuare sunt prezentate cîteva aspecte privind cercetările experimentale efectuate cu participarea autorului acestei lucrări.

#### 4.1. ASPECTE PRIVIND COMPORTAREA PARETILOR ELEMENTARE SPAȚIALE.

Evoluția sistemelor de construcție cu elemente spațiale a fost condiționată, printre altele, de posibilitățile tehnologice de realizare a unor pereti subțiri și de rezultatele cercetărilor care au arătat rezistență și stabilitatea acestora. Se execută curent structuri multietajate din elemente spațiale cu pereti subțiri, având coeficientul convențional de rezistență  $\lambda'$ , exprimat ca raport între înălțimea (H) și grosimea (h) ale peretelui, de 35 la 40 și chiar 50 (de exemplu în sistemul francez SIGMA peretii au grosimea h = 5 cm și înălțimea H = 250 cm).

Lucrarea [139] conține o analiză sistematică a comportării, din punct de vedere al rezistenței și stabilității, a diferitelor

tipuri de pereți subțiri din beton armat, efectuate în baza cercetărilor experimentale asociate cu unele cercetări teoretice.

In cale ce urmărește se face o prezentare sintetică a unor aspecte referitoare la comportarea pereților subțiri aferenți sistemului I.C.I. de construcție cu elemente spațiale tip "pahar culcat", aspecte rezultate din cercetările experimentale [149, 150, 151, 152] și necesare în activitatea practică de proiectare.

#### 4.1.1. Elementele pereților.

Sunt tratate următoarele scheme ale pereților incercati (fig. 4.1.a., tabel 4.1.):

Cazul 1 : pereți incastrati elastic unilateral pe marginile orizontale în planșee și articulați pe marginile verticale în pereții transversali ;

Cazul 2 : pereți incastrati elastic unilateral pe marginile orizontale în planșee și liberi pe marginile verticale ;

Cazul 3 : pereți articulați pe marginile orizontale și liberi pe marginile verticale ;

Cazul 4 : pereți incastrati elastic unilateral pe marginile orizontale în planșee, articulați pe marginile verticale în pereții transversali și prevăzuti cu două galuri de uși amplasate simetric.

Pereți incercati au fost alcătuși în două soluții :

a) pereți subțiri cu nervuri verticale la față exterioară având grosimea placii  $h_p = 5 \pm 0$  cm, grosimea totală (placă + nervuri)  $h_N = 9 \pm 12$  cm și distanțele între nervuri  $L_N = 10 h_p, 20 h_p$  ;

b) pereți subțiri cu față netedă având grosimea  $h_p = 7 \pm 9$  cm

In ambele soluții lungimea pereților a fost  $L = 630$  cm iar înălțimea interioară  $H = 267$  cm.

Incercările au fost efectuate pe modele de elemente spațiale, la scara 1 : 3 pentru cazurile 1, 2, 3 și pe modele de semielemente la scara 1 : 2, formind un ansamblu cu doi pereți cuplați lateral, în cazul 4, din beton armat având lățimea  $B = 200$  la  $B = 400$ ; dimensiunea modelelor a fost modelată după dimensiunea reală alcătuirea din pieșe suante amplasate la mijlocul grosimii placilor și din cercuri tip soareită pentru nervuri.

#### 4.1.2. Modul de efectuare a incercărilor, Constatări.

Modelele au fost incercate la încarcări uniform repartizate în lungul marginilor orizontale, aplicate în planul median al pereților, crescătoare de la zero pînă la rupeare. S-a înregistrat, între-o serie de puncte amplasate în planul pereților în zonele unde este de așteptat piercerea stabilității, cu mărci tensometrice dispuse pe ambele fațe ale pereților, deformările specifice pe direc-

ție verticală și deplasările  $\Delta$  normale pe planul peretilor, în funcție de mărimea încărcărilor  $P$ . Se trasează curbele caracteristice  $P - \varepsilon$  pentru peretele de puncte A - B de pe fețele peretilor (fig. 4.1.b), curbele caracteristice  $P - \Delta$  (fig. 4.1.c) și suprafețele deformante ale peretilor.

În analiza suprafețelor deformante [133, 143, 149, 150, 96, 97, 98] ale peretilor incercăți se pot face următoarele constatări:

a) Deformările peretilor sunt suprafețe cu dublă curbură, situate în secțiuni de alcătuire din plăci cu fețe netede cît și în secțiuni de alcătuire din plăci subțiri cu nervuri verticale la fețe exterioare; nervurile nu sunt rezente fini pentru plăci subțiri: ele influențează însă comportarea peretilor la stabilitate.

b) Deformările porțiunii de perete dintre galerile de uși, în casul 4, este tot o suprafață cu dublă curbură; curbele pe direcție verticală sunt mai pronunțate cît pe direcție orizontală: deformările se apropie de o suprafață cilindrică.

#### 4.1.3. Definiție încărcării critice.

Adoptind criteriul din [133] se consideră că pierderea stabilității are loc la încărcarea pentru care curbele caracteristice  $P - \varepsilon$  (fig. 4.1.b), aferente peretilor de puncte A - B devin divergente (în fig. 4.1.b, încărcarea la care deformările specifică în B începe să seodă cu creșterea încărcării  $P$ ). Încărcarea critică  $P_{cr}$  este încărcarea minimă la care spore divergențe curbelor  $P - \varepsilon$  pentru o anumită perete de puncte A - B din rețeaua studiată; zonă unde se consideră că spore pierderelor stabilității este marcată de aceste puncte A - B.

Analizându-se curbele  $P - \Delta$  se constată că în punctele de pierdere a stabilității peretilor se schimbă brusc tangentele la aceste curbe (fig. 4.1.c). În fig. 4.1.b sunt prezentate exemplificativ, curbele  $P - \varepsilon$  pentru peretele de puncte A - B unde are loc pierderea stabilității peretului nervosat ( $h_y = 2 \cdot h_p$ ) în schema 1 de alcătuire, iar în fig. 4.1.c este prezentată, exemplificativ, curba caracteristică  $P - \Delta$  în punctul de pierdere a stabilității peretului, în schema de alcătuire 4.

#### 4.1.4. Modul de cedare. Stadii de lucru ale peretilor.

Analizându-se comportarea peretilor la încărcări crescătoare pînă la rupeze, pot fi definite trei stadii de lucru ale acestora (fig. 4.1. c,d):

Stadiul I. În prima fază, la încărcări mici deplasările sunt proporționale cu acestea; la o anumită valoare a încărcării spații fixe în lungul marginilor orizontale, fază care se consideră starea limită a stadiului I.

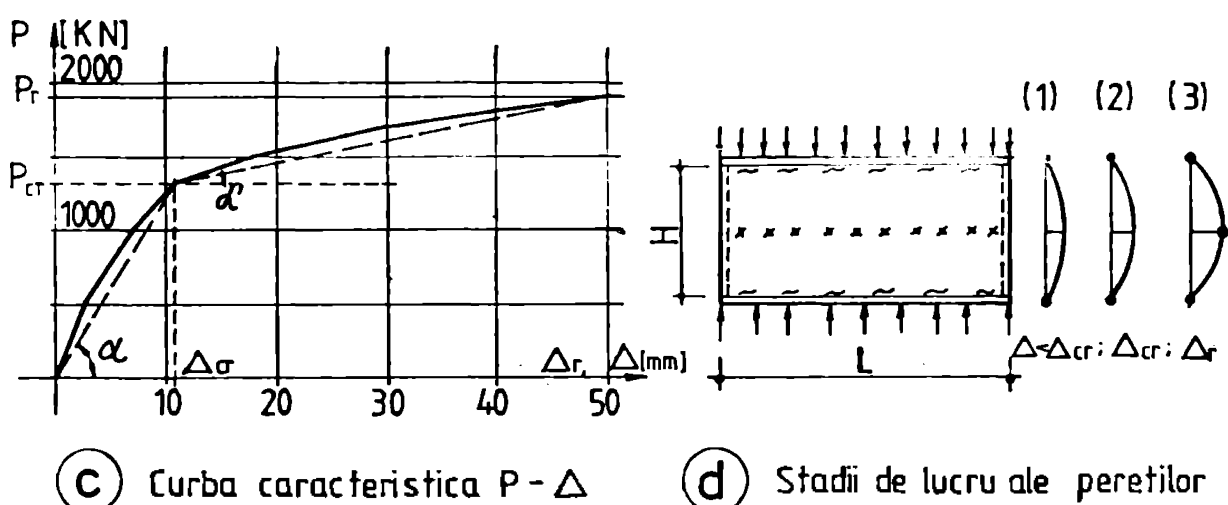
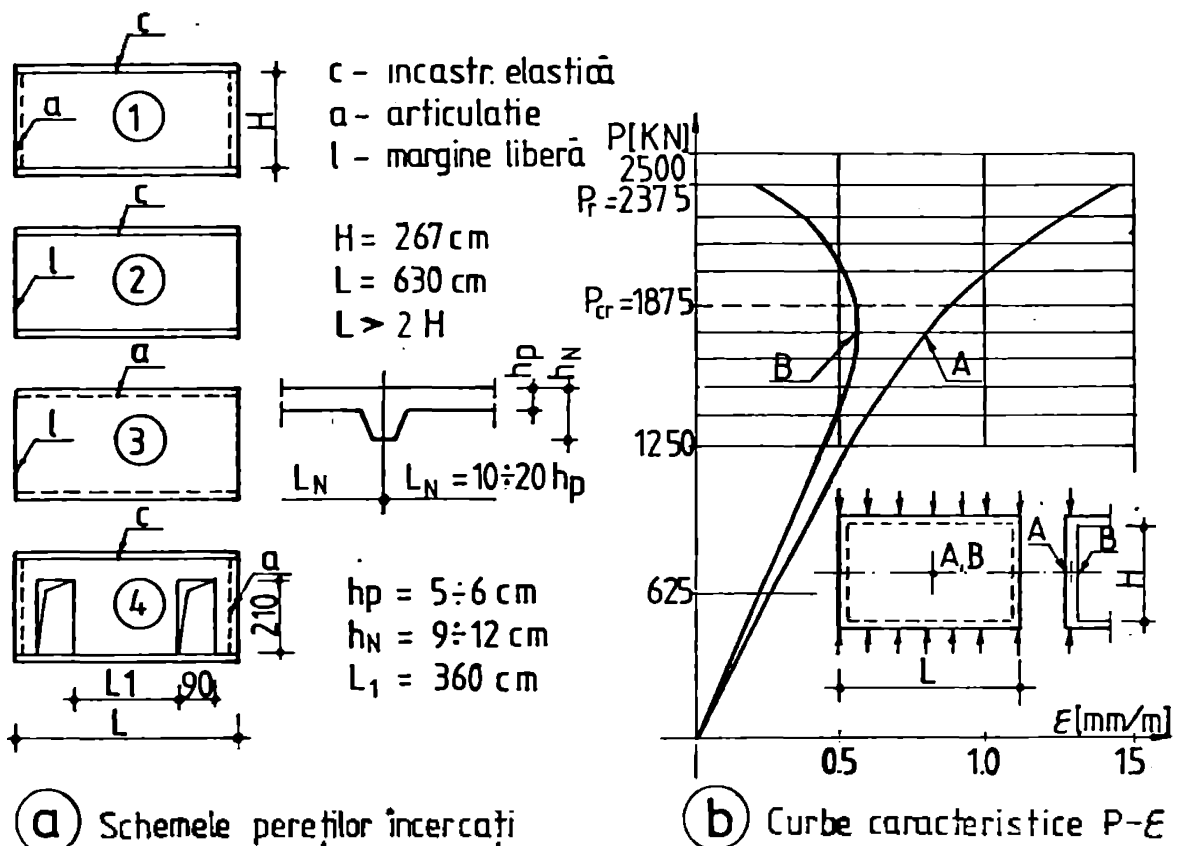


Fig. 4.1

Tabel 4.1

Schema peretelui	Pereti nervurati				Pereti netezi	
	$l_N = 10 \text{ hp}$		$l_N = 20 \text{ hp}$		$hp = 7 \div 9 \text{ cm}$	
	$\sigma_{cr}/R_b$	$\sigma_r/R_b$	$\sigma_{cr}/R_b$	$\sigma_r/R_b$	$\sigma_{cr}/R_b$	$\sigma_r/R_b$
1	0.54	0.74	0.45	0.65	0.74	0.91
2	0.46	0.72	—	—	0.73	0.92
3	0.35	0.48	—	—	0.59	0.72
4	—	—	0.38	0.55	—	—

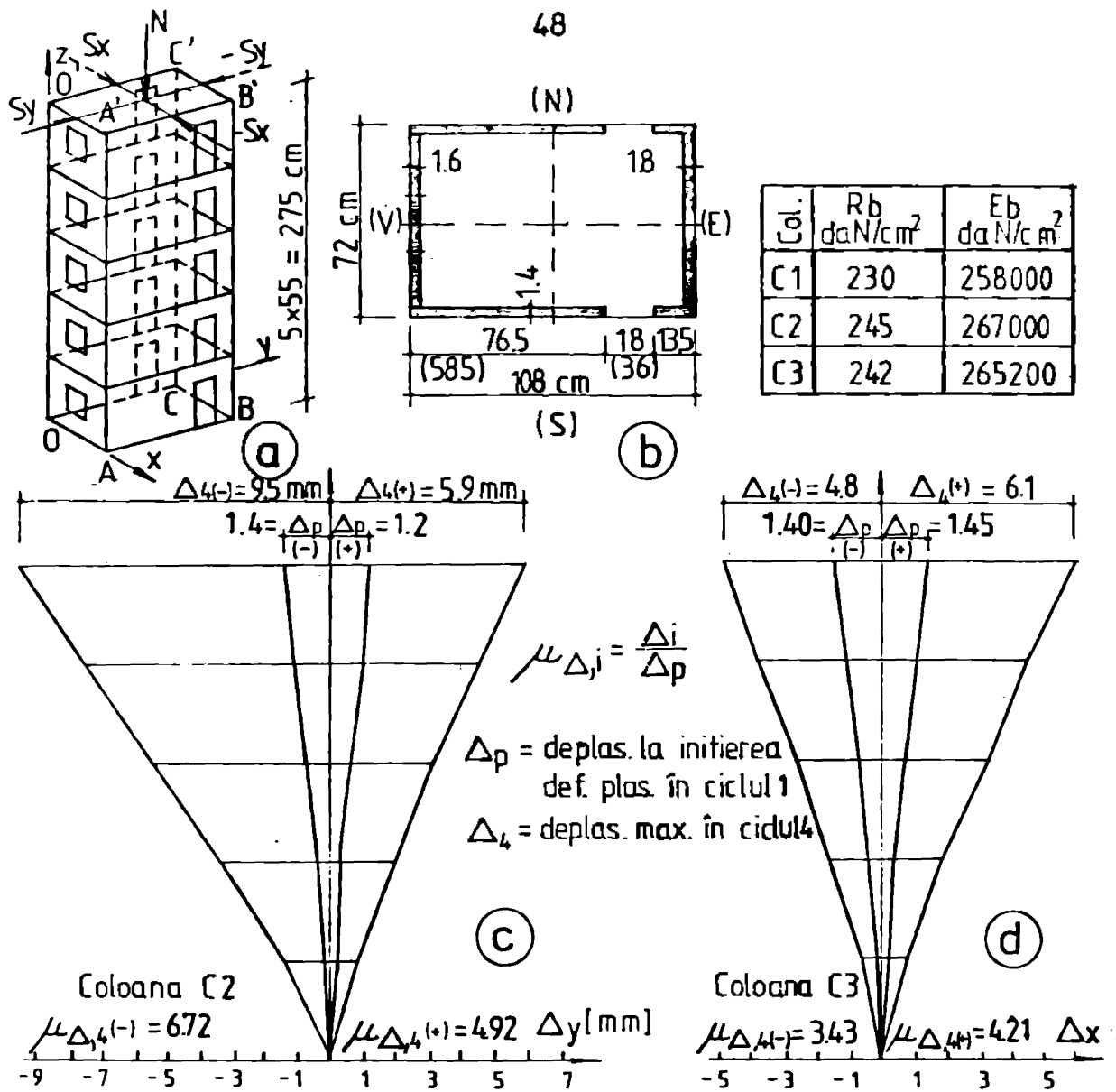


Fig. 4.2

COLOANE C1,C2,C3 ; ÎNCĂRCĂRI PE CICLURI Tabel 4.2

Ciclu	COLOANA C1			COLOANA C2			COLOANA C3		
	$S_y(H_E)$ atm daN	$S_y(H_V)$ atm daN	N atm daN	$S_y(H_E)$ atm daN	$S_y(H_V)$ atm daN	N atm daN	$S_x(H_N)$ atm daN	$-S_x(H_S)$ atm daN	N atm daN
1	17.5 1225	17.5 1225	60 4200	15 1050	15 1050	60 4200	10 700	10 700	60 4200
2	17.5 1225	17.5 1225	60 4200	17.5 1225	17.5 1225	60 4200	15 1050	15 1050	60 4200
3	22 1540	22 1540	60 4200	22 1540	22 1540	60 4200	17.5 1225	17.5 1225	70 4900
4	25 1750	25 1750	60 4200	25 1750	28 1960	75 5250	20 1400	20 1400	80 5600
5	27 1890	33 2310	81 5670	112 7840	—	—	22.5 1575	22.5 1575	90 6300
6	29 2030	—	100 7000	—	—	—	32 2240	—	180 12600

Nota: Coloana C2 are lățimea usilor, dublă față de ale coloanelor C1,C3 (dimensiuni în paranteză)

Stadiul 2. Creșterea în continuare a încărcării conduce la deschiderea fisurilor care devin echivalente cu articulații în lungul marginilor orizontale ; deplasările orizontale  $\Delta$  sunt proporționale cu încărcările. Starea limită a stadiului 2 este momentul pînă pierderea stabilității la încărcare critică.

Stadiul 3, este caracterizat prin creșteri mari ale deplasărilor  $\Delta$ , în zonele de pierdere a stabilității, la creșteri neînsemnante ale încărcării. Starea limită a stadiului 3 sporește la cedarea peretelui printre linie de rupere care se producă aproximativ la mijlocul înălțimii peretelui.

În cazul 4 de alcătuire - pereti cu galuri de uși - a cedat în prima etapă porțiunee dintre goluri și spații spațiale.

Peretii alcătuși după schema 3 au numai două stadii de lucru (2 și 3).

Raportul între deplasarea la cedare a peretelui ( $\Delta_r$ ) și deplasarea critică ( $\Delta_{cr}$ ), reprezentă capacitatea sosească de a acumula energie în domeniul postcritic; la peretii incercăți acest raport a avut valoasă de 4 la 10.

Eforturile unitate critice ( $\tilde{\sigma}_{cr}$ ) și de supere ( $\tilde{\sigma}_r$ ), în funcție de schemele de alcătuire și marca betonului ( $R_b$ ), rezultate din incercări, sunt indicate în tabelul 4.1. Analizind comparațiv aceste rezultate cu eforturile unitate de calcul ( $\tilde{\sigma}_{calc}$ ) în faze de exploatare (încărcări gravitaționale și seismice convenționale), se poate constata că pentru clădiri cu 5 niveluri, amplasate în zone cu gradul 7 de protecție antiseismică ( $\tilde{\sigma}_{max,calc} \geq 0,1 R_b$ ) coeficientii de siguranță la pierderea stabilității peretilor ( $C_f = \tilde{\sigma}_{cr}/\tilde{\sigma}_{max,calc}$ ) variază între 3,5 și 7,5, iar coeficientii de siguranță la pierderea capacitatii portante ( $C_r = \tilde{\sigma}_r/\tilde{\sigma}_{max,calc}$ ) între 4,0 și 9,1.

#### 4.2. ASPECTE REFERITOARE LA COMPUTAREA CLĂDIRILOR DE ELEVATORI SPATIALE [151, 152].

În cele ce urmăresc să fie prezentate aspecte referitoare la comportarea coloanelor de elemente spațiale, rezultate din incercările de laborator, efectuate pe trei coloane cu 5 niveluri, la scară 1 : 5, la încărcări gravitaționale permanente și încărcări orizontale alternante, crescătoare de la zero pînă la rupere. Creșterile prototipuri și sunt considerate coloanele reale, folosite la construcțiile proiectate și realizate de către I.C.I.I. Brașov, pentru amplasamente cu gradul 7 de protecție antiseismică.

##### 4.2.1. Elemente experimentale. Încărcări.

Coloanele sunt asamblate din nocele de elemente spațiale

tip peher culcat (cinci fețe turnate înnalit și un panou de fațădă prins cu legături sudate, fig. 2.7, 3.1.) Modelale au fost executate din mortar de ciment și au avind caracteristicile mecanice indicate în tabelul din fig. 4.2. Înărcarea lor a să se facă cu plase și cercase modelate după structurile elementelor prototip. Asamblarea în coloane a fost efectuată cu îmbinări verticale de continuitate de tipul celor din fig. 3.5. și resturi orizontale din mortar de poală; elementul de la baza coloanei este amintit, cu același tipuri de legături, pe un suport metalic rigid (care face parte din dispozitivul de incarcare) avind rol de fundație.

Incarcările au fost aplicate la vîrful coloanelor cu ajutorul unor prese. Incarcările verticale au fost distribuite uniform pe conturul peretilor, în planul acestora, prin intermediul unui planșă rigid; mărimile ei au fost stabilită pentru a se asigura un efort unitor de compresiune echivalent cu cel precum la baza coloanei reale de incarcările gravitaționale de exploatare în gruparea specială ( $G \approx 8,5 \text{ daN/cm}^2$ ). Incarcările orizontale au fost aplicate alternant (incarcare - descarcare) în trepte, de la zero pînă la rupere. Însepta la care a constat inițierea deformațiilor plastică a fost considerată ciclul 1 al încărcării, înstă ce referință pentru determinarea utilității globale a coloanei. Caracteristicile coloanelor incarcate sunt prezentate în fig. 4.2 a, b, iar încărcările pe etaperi în tabelul 4.2.

Coloana C.1 are două găuri de goluri pentru apă în peretii longitudinali și un găuri de goluri pentru fereastră în peretile de fațădă; încarcările orizontale au fost aplicate pe direcție longitudinală în planul de simetrie (fig. 4.2).

Coloana C.2 are goluri de apă de lățime dublă față de ale coloanei C.1, iar încărcările orizontale se aplică tot în planul longitudinal de simetrie.

Coloana C.3 este identică cu coloana C.1 dar încărcările orizontale sunt aplicate transversal în centrul de torsion (fig. 4.2).

În timpul incercărilor au fost măsurate deplasări (cu micro-comparatoare) și deformații specifice liniare (cu măsoi tensometrice) în funcție de incarcare, după cum urmărește :

- a) deplasări orizontale la nivelul planșelor;
- b) deplasări normale pe planul peretilor între-o rețea de puncte la elementele de la partea;
- c) deschiderea resturilor orizontale de la băsă și între nivalele 1 - 2;
- d) Deformații specifice ale betonului pe direcție verticală

intr-o rețea de puncte unde este de săptămat pierderea stabilității, la ambele fețe ale peretilor de la partea ;

a) Deformării specifice liniare ale betonului, pe direcții orizontale și inclinate, la peretii de la partea ;

f) Deformării specifice liniare ale armăturilor verticale la baza coloanelor.

#### 4.2.2. Comportarea coloanelor la încarcare.

Analizându-se comportarea coloanelor la efectul combinat al încărcării verticale constante și al încărcării orizontale, crescătoare în trepte, aplicată în cicluri alternante și modul de fisurare-degradare-odăre, se pot face următoarele constatări :

a) Până la o anumită treaptă de încărcare în ciclul 1 - pentru coloane C.1,  $S = 1.225 \text{ daN}$  (17,5 atm), ( $S/N = 0.29$ ), coloane C.2,  $S = 1.650 \text{ daN}$  (15 atm), ( $S/N = 0.25$ ) și coloane C.3,  $S = 700 \text{ daN}$ , (10 atm), ( $S/N = 0.17$ ) - coloanele se comportă elastic ; la aceste valori ale încărcărilor orizontale apar primele fisuri (înțial în secțiunile de încastrare ale buiandrugilor și apoi în montanii, la partea, usor cedare la inițierea de deformări plastice ( $\Delta p$ )).

Această limită este considerată referință pentru determinarea ductilității. Curbele deplasărilor laterale, la inițierea deformațiilor plastice, au forme caracteristică consolelor (fig.4.2 a, d; 4.3. a).

b) În ciclul 2, la coloanele C.1, C.2 au apărut noi fisuri în buiandrugi și montanii la partea și etajul 1, și s-au dezvoltat cele existente; la coloana C.3 au apărut fisuri orizontale în tâlpile peretelui transversal și s-au continuat cu fisuri inclinate în sus, la partea (fig. 4.7; 4.d; 4.9).

c) În ciclul 3, la coloanele C.1, C.2, pentru o încărcare  $S = 1400 \text{ daN}$  ( $S/N = 0.33$ ) și proces primele fisuri în zosturile orizontale de la bază și dintr-o nivelurile 1 - 2, și s-au înregistrat despicări de tip "glisare" de ordinul a două la  $0.03 \text{ mm}$ ; apar primele fisuri orizontale (de întindere) în peretii longitudineli (montanii și) și se dezvoltă altfel noi în montanii mici, la partea și etajul 1. La acestea se dezvoltă fisuri noi, verticale, în secțiunile de încastrare ale buiandrugilor, la partea și etajul 1 (fig. 4.5; 4.8). La coloane C.3 apar noi fisuri înclinante în buiandrugi, orizontale în tâlpile peretelui transversal și fisuri înclinate în peretele longitudinal și transversal (fig.4.7;4.9;4.10).

d) În ciclul 4, procesul de fisurare și degradare este caracterizat în continuare :

Coloana C.1 - apar fisuri noi de întindere (orizontale) în montantul mic și în peretele longitudinal, la partea și etajul 1;

într-o fâșie încărcată în boiandrujigii la perete, se deschide mult restul orizontal de la bază ( $\Delta z = 0.27$  mm).

Coloana C.2. Înşirarea din lucru a boiandrugilor prin transformarea fisurilor verticale din zonele de încastrare a secțiunii în perețele longitudinale, în linii de rupere, care s-a dezvoltat și în planșee și a condus la o separare a celor doi muntanți pe întreaga înălțime a coloanei. A urmat cederea momentului mic prin formare și deschiderea unor linii de rupere inclinate și verticale; cedarea propriu-zisă a avut loc prin aderarea betonului în secțiunea cuprinsă (fig.4.8); se deschide mult restul orizontal de la bază ( $\Delta z = 0.55$  mm).

Coloana C.3. Se produce o fisură în restul orizontal, între perete și etajul I, în pereții longitudinale (fig. 4.9; 4.10); apoi noi fisuri orizontale și inclinate în perețele transversal și în pereții longitudinale.

Curbele deplasărilor laterale în ciclul 4 sunt, pentru toate coloanele (fig.4.2.c,d; 4.3 e) forme caracteristice consolelor cu articulație plastică la bază.

e) La încărcările orizontale superioare celor aferente ciclului 4, s-a produs, la toate coloanele, deformații excesive ale armaturilor verticale, în zonele de îmbinare de la bază, mult peste limitele admise ( $\varepsilon_a \gg \varepsilon_{a,lim} = 50\%$ ), având ca rezultat deschideri foarte mari ale restului orizontal (practic secția se transformă într-o articulație). Pentru conducerea încărcării pînă la cedarea betonului comprimat a fost necesară creșterea încărcării verticale (avind rolul de a suplini armătura verticală, dimensionată atît pentru prototipuri aî și pentru modelele încercăte, la încărcări semnificative corespunzătoare gradului 7 de protecție anti-seismică). Cedarea coloanei C.1 s-a produs, în ciclul 6, prin aderarea betonului comprimat în pereții longitudinale, la bază și flansarea armăturilor de îmbinare.

Cedarea coloanei C.3 s-a produs, în ciclul 6, prin deplasarea transversală pe planul inclinat de rupere (la circa  $30^\circ$ ) din perețele transversal și expulzarea betonului din tălpile acestuia, la bază, și de pe linia orizontală de rupere formată în perețele longitudinale, la nivelul boiandrugului (fig. 4.7).

f) În pereții prefabricați ai coloanelor au apărut primele fisuri normale în stadiul final de cedare; din această constatăre decurge concluzia că exceptă pereți nu au fost antrenanți în prealab directă de eforturi din încărcările verticale și orizontale. Față de modul cum au fost îmbinăți pe elementul spațial (prin sudarea unor plăciute metalice distribuite pe contur, (fig.3.1)

acestora pereti li se poate atribui numai un rol de rigidizare (contravintuire) și nu un rol portant. De altfel, din diagramele deforțărilor specifice liniare  $E_z$ , măsurate la mijlocul înălțimii elementelor spațiale de la pereteul coloanei C.1, pentru încarcarea orizontală aferentă ciclului I (fig. 4.3 c), rezultă un salt al acestora pe muchia verticală între peretele transversal prefabricat și peretele longitudinal monolit.

g) Din analiza diagramei deforțărilor specifice liniare determinate pe cale experimentală și prin calcul cu metoda elementelor finite (ANSYS), rezultă conlocarea tălpiei, pe toată secțiunea acesteia, cu inimă, chiar dacă inima are o înălțime mult mai mică decât talpa (fig. 4.3 c).

h) La încarcările efectuate nu s-a produs pierderea stabilității peretilor; din curbele specifice de tipul  $P - E$  și  $P - \Delta$  (fig. 4.1.b,c) rezultă menținerea stabilității peretilor până în stadiul de eodare a coloanelor. Modul de elodătură al elementelor spațiale și ai coloanelor conduce la folosirea capacitatii de rezistență însărcinării pierderii stabilității.

i) Pentru toate coloanele au fost determinați coeficienții de ductilitate globală  $\mu_{\Delta}$  pe cicluri. Acești sunt enalizați, de exemplu, factorii de ductilitate pentru ciclul 4, (fig. 4.2.c,d; 4.3.c), care sunt 4,30 respectiv 5,90 pentru coloana C.1, 6,79 respectiv 4,92 pentru coloana C.2 și 3,43 respectiv 4,21 pentru coloana C.3), coloanele pot fi considerate ca „ductile” conform criteriului general ( $\mu_{\Delta j} = 4 \dots 6$ ) din [56]. În cazul coloanei C.1 sunt prezentate, în fig. 4.3, ciclograma încercării, factorii de ductilitate pe cicluri și ductilitățile acumulate în patru cicluri successive.

j) Necesitatea sporirii armăturii verticale pentru a se asigura conlocarea încercării până la rupearea betonului prin compresiune indică rezerve de rezistență ale secțiunilor de beton și deci posibilitatea folosirii elementelor spațiale cu aceleasi grosimi de pereti, dar cu o armătură verticală corespunzătoare, la clădiri cu mai mult de cinci niveleuri, sau amplasate în zone cu grad de protecție antiseismică mai mare decât 7.

#### 4.3. CARACTERIISTICI EXPERIMENTALE ASUPRA LEGUMARILOR REALIZATE IN SOLUTIA CU BORIIURI PERIMETRALE.

Sunt testate încercările realizate în laborator asupra imbinărilor între elementele spațiale suprapuse, executate în soluție cu borduri perimetrale (fig. 3.6 a,b,c,d) [151, 152]. Au fost efectuate experimentări pe 26 de ensemble de elemente experimentale (fig. 3.1 a), realizate la casete naturale, în segmente de

**De la îngrăsimi (tabel 4.3).**

Tabel 4.3

Element experim	Proc.de arm. p %	Rb [daN/cm <sup>2</sup> ]	$\sigma$ [daN/cm <sup>2</sup> ]	Tu daN	$\sigma_{max}$ [daN/cm <sup>2</sup> ]	$\Delta_{max.}$ mmx 10 <sup>-2</sup>	Contract an elab.
P1 (P11)	0.00	226	2.71	3250	15.5	55	170,1980
P2 (P12)	0.00	226	4.71	4500	21.4	60	170,1980
P3 (P21)	0.00	230	5.00	4250	20.2	37	303,1979
P4 (P13)	0.00	226	6.71	5250	25.0	56	170,1980
P5 (P14)	0.00	226	8.71	6500	30.9	44	1980
P6 (P15)	0.00	226	10.71	3500	16.7	93	1980
P7 (P2.1)	0.23	242	2.71	4250	20.2	27	1980
P8 (P1.1)	0.23	245	2.71	6000	28.6	34	1981
P9 (P2.1)	0.23	301	2.71	6600	31.4	101	1981
P10 (P3.1)	0.23	386	2.71	7000	33.3	98	1981
P11 (P2.2)	0.23	242	4.71	5950	28.3	55	1980
P12 (P2.3)	0.23	242	6.71	6250	29.7	90	1980
P13 (P12)	0.23	245	6.71	6400	30.5	25	1981
P14 (P2.2)	0.23	301	6.71	7750	36.9	90	1981
P15 (P3.2)	0.23	386	6.71	8450	40.2	64	1981
P16 (P2.4)	0.23	242	8.71	7550	35.9	90	1980
P17 (P2.5)	0.23	242	10.71	7250	34.5	63	1980
P18 (P13)	0.23	245	10.71	6750	32.1	122	1981
P19 (P2.3)	0.23	301	10.71	8800	41.9	76	1981
P20 (P3.3)	0.23	386	10.71	9000	42.9	93	1981
P21 (P3.1)	0.46	193	2.71	5.500	26.2	60	1980
P22 (P3.2)	0.46	193	4.71	5.000	23.8	55	1980
P23 (P3.1)	0.46	230	5.00	5.400	25.7	68	303,1979
P24 (P3.3)	0.46	193	6.71	6250	29.7	73	1980
P25 (P3.4)	0.46	193	8.71	6000	28.6	37	1980
P26 (P3.5)	0.46	193	10.71	5500	26.2	40	1980

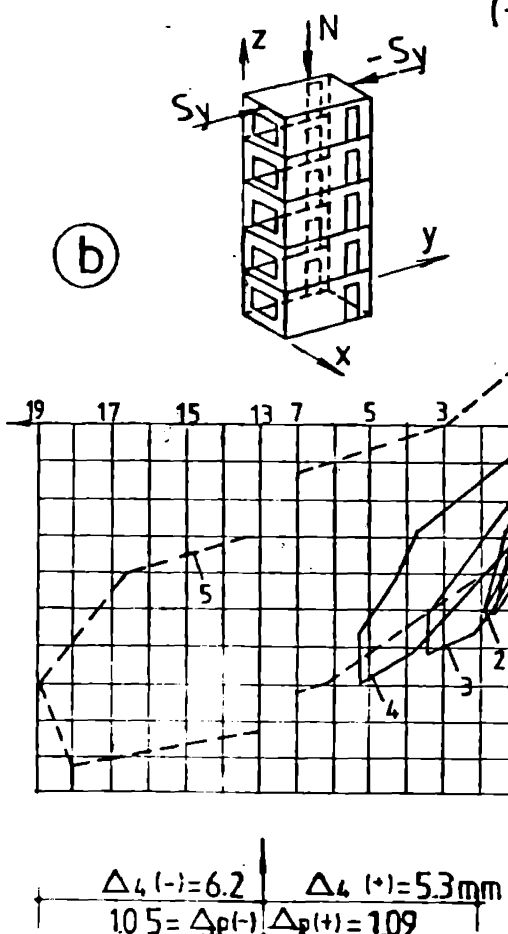
#### 4.3.1. Elemente experimentale

În efectuarea încărcărilor se sunt folosite două tipuri de elemente experimentale : tipul A, cu coadă undulată borduri neînlă și tipul B, realizat din beton de rezistență mai mare și arăt suplimentar, pentru ca cedarea să se producă în toate canalele la elementul de tip A, folosit pentru rezistență și transmitere a încărcărilor.

Asamblarea elementelor experimentale s-a făcut cu anțări M.Ico.

Pentru expunerele de la determină caracteristicile de rezistență și deformabilitate ale imbinărilor, încărcate cu forțe le-

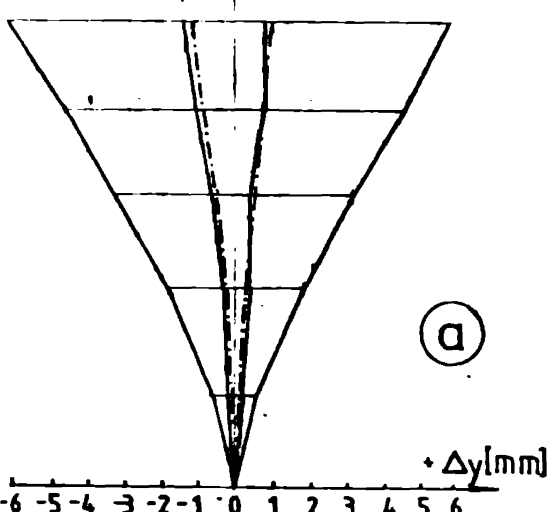
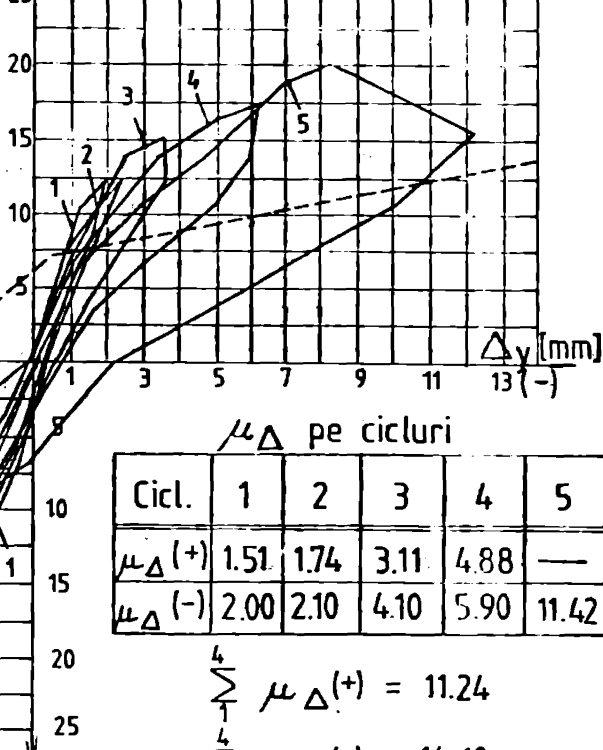
COLOANA C1



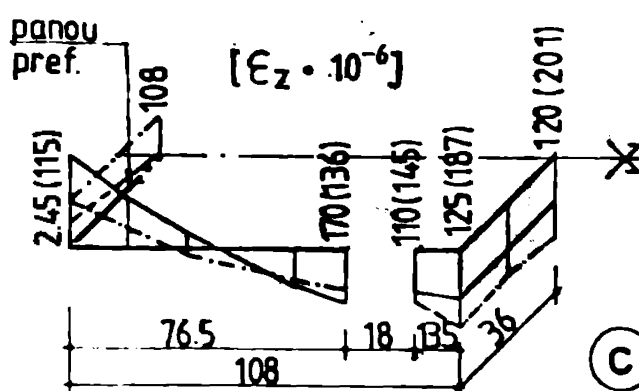
55.

(-)

$S_y, K_N$



- valori măsurate
- - - valori calculate cu MEF
- $\Delta_p$  = deplas. la inițierea def. plastice în ciclul 1
- $\Delta_4$  = deplas. max. în ciclul 4



Deform spec.  $E_z$  la parter din  $S_y = 1225 \text{ daN}$

- valori experimentale
- - - valori din calc. cu MEF

Fig. 4.3

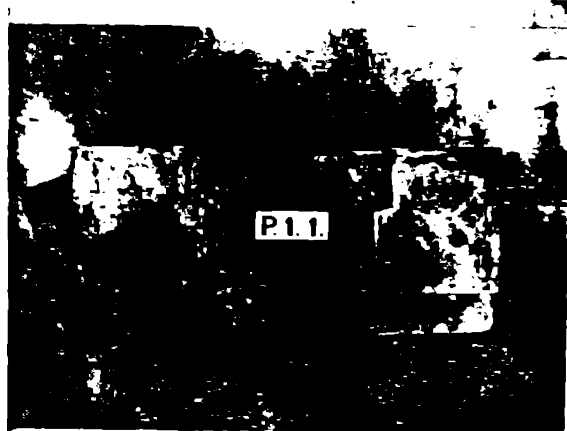
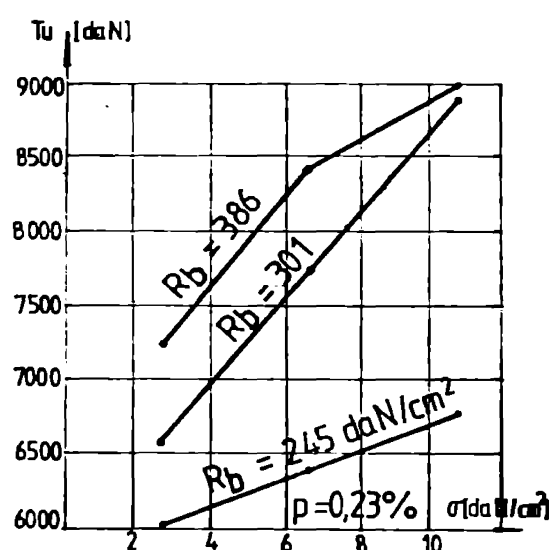
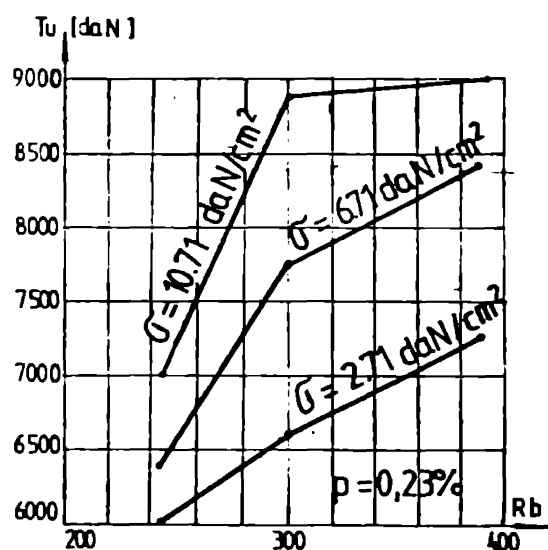
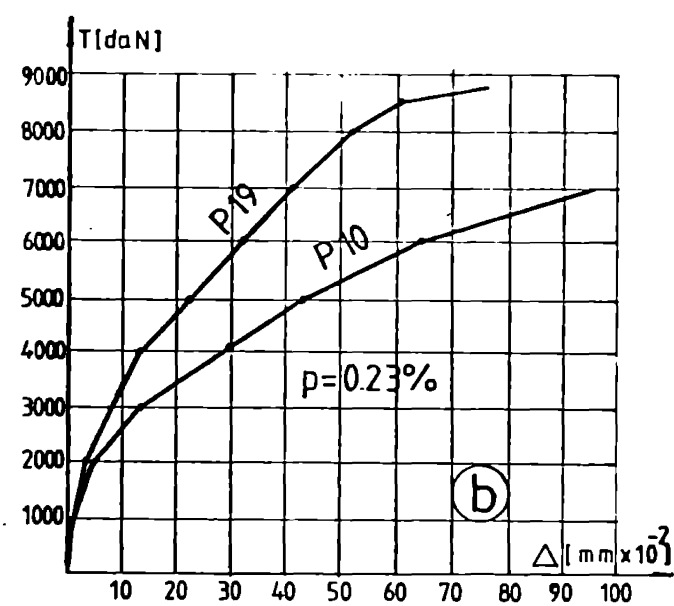
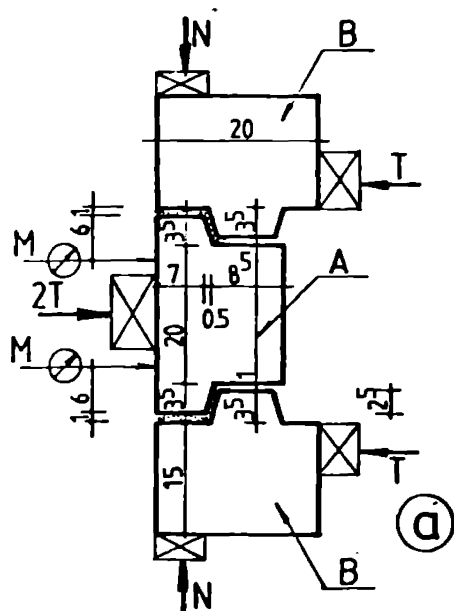


Fig. 4.4

57



Fig.4.5  
Coloana C<sub>2</sub>

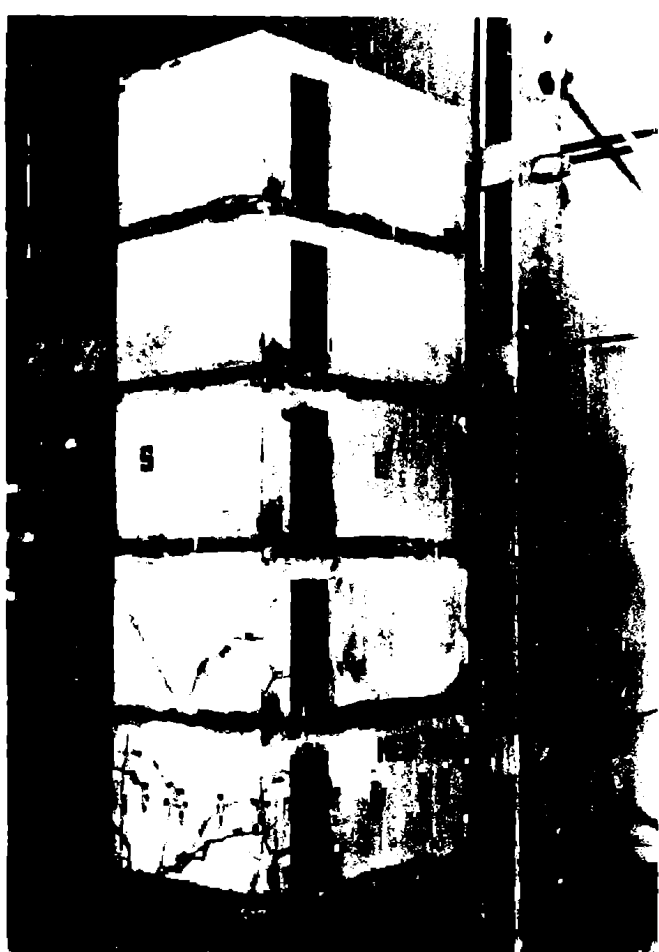


Fig.4.6  
Coloana C<sub>3</sub>

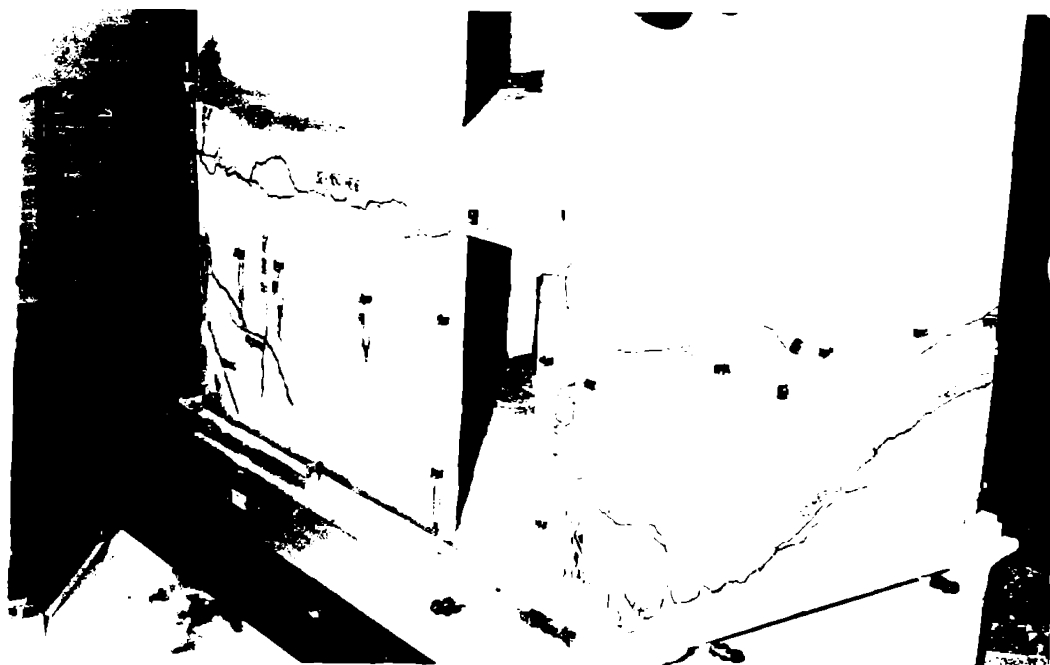


Fig. 4.7 Column C<sub>3</sub>

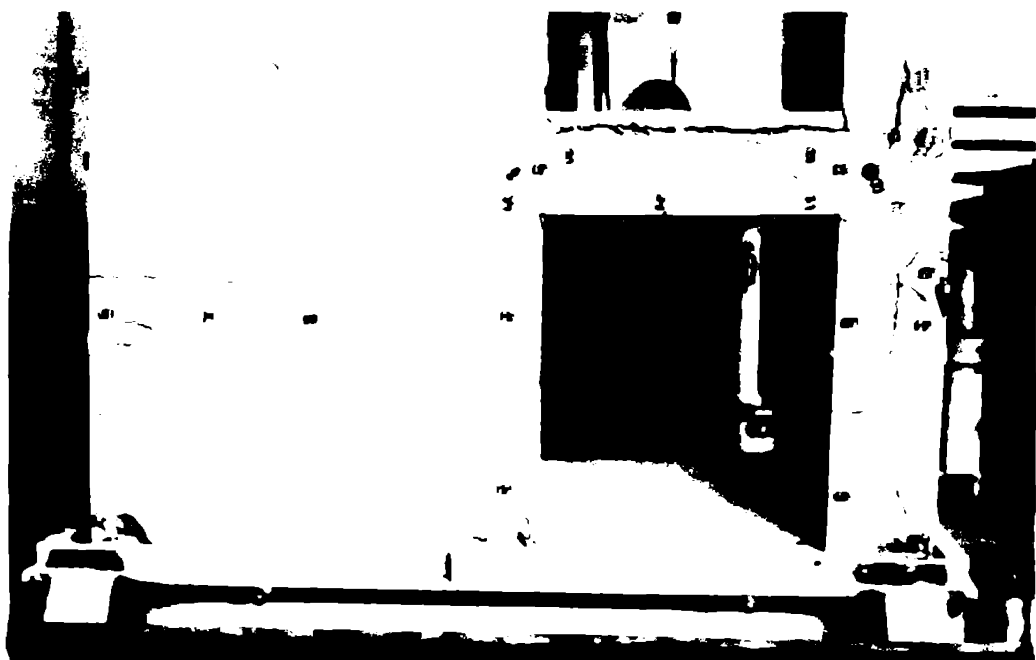


Fig. 4.8 Column C<sub>2</sub>

terale  $T$ , în prezență forțelor verticale (normale)  $N$  (fig. 4.4 a), în funcție de rezistență (marșa) betonului, procentul de armare al bordurii și mărimea efortului unitar de compresiune  $\sigma$  în rost (produs de forță normală  $N$ ). Încărcările  $N$  și  $T$  au fost efectuate cu ajutorul unor prese prevăzute cu manometru. Au fost măsurate, cu microcomprătoare (H) deplecările orizontale ( $\Delta$ ) ale elementelor de tip A în raport cu elementele B (fig. 4.4 a)

Elementele experimentale (tabel 4.3.) au fost încărcate cu forțe orizontale ( $T$ ) crescătoare, în trepte, de la zero pînă la rupere ( $T_u$ ).

#### 4.3.2 Rezultatele încercărilor.

Pentru toate elementele încercate au fost trase curbele caracteristice  $T - \Delta$ , exemplificate în fig. 4.4.b. Deplecările maxime ( $\Delta_{max}$ ) și forțele orizontale de rupere ( $T_u$ ) sunt înregistrate în tabelul 4.3. Ruperea elementelor încercate să se producă, în toate cazurile, în secțiuni inclinate, la eforturi unitare principale (fig. 4.4. e, f).

Diagrama caracteristică  $T - \Delta$  a elementului experimental P.14 (fig. 5.55 b) a fost utilizată la experimentările numerice pe coloane de elemente spațiale (5.4.2).

Analizindu-se rezultatele experimentărilor (tabel 4.3) se pot face următoarele constatări :

- Incărcările orizontale de rupere ( $T_u$ ) cresc cu creșterea rezistenței betonului (fig. 4.4 d);
- Incărcările orizontale de rupere ( $T_u$ ) cresc odată cu creșterea procentului de armare (tabel 4.3.);
- Incărcările orizontale de rupere ( $T_u$ ), cresc funcție de mărimea efortului unitar de compresiune în rost (fig.4.4. b,c);
- Avîndu-se în vedere modul de rupere apărut necesar armării transversale a bordurii; procentul optim de armare este de 0.2 la 0.5 %.
- Comparând eforturile unitare tangențiale de rupere ( $\tau_{max}$ ), cu eforturile unitare de calcul ( $\tau_{calc.}$ ) în faza de exploatare, pentru elădiri cu 5 niveluri, amplasate în zone cu gradul 7 de protecție antiseismică, în cazul preluării integrale a forțelor tăietoare din rosturile orizontale prin borduri perimetrale ( $\tau_{calc,max} = 5...7 \text{ daN/cm}^2$ ), rezultă coeficienți de siguranță de 4 la 6. Se cunoaște însă că o bună parte din aceste eforturi tangențiale sunt preluate prin fricare, coeficienții de siguranță fiind și mai mari.

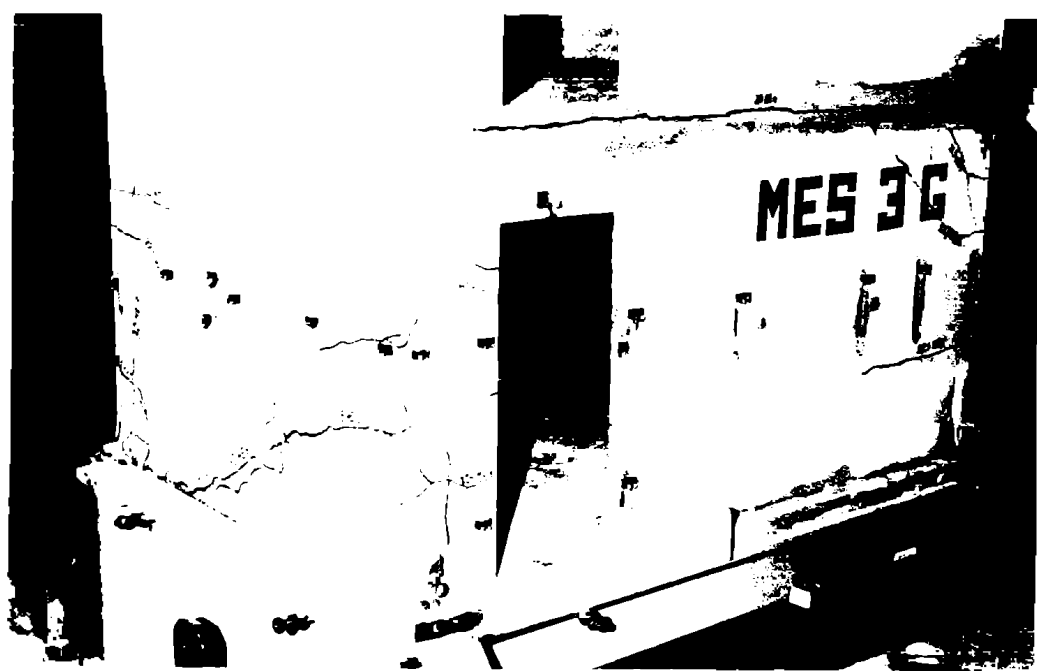


Fig.4.9 Colaana C<sub>3</sub>



Fig.4.10 Colaana C<sub>3</sub>

## 5. ANALIZA PRIN CALCUL A STRUCTURILOR SI A ELEMENTELOR COMPOZITE.

### 5.1. METODI PENTRU CALCULUL STRUCTURILOR DIN ELEMENTE SPATIALE.

#### 5.1.1. Metode de calcul aplicate în străinătate.

Metoda Drezdov. Prima metodă de calcul specifică structurilor din elemente spațiale, a fost elaborată, în U.R.S.S., de către prof. P.F.Drezdov [53, 54, locul nu se referă la structuri alcătuite din coloane de elemente spațiale, legate între ele cu plăcuțe metalice sudate, amplasate la colțuri, în planul planșelor de tavan. Legăturile între coloane fiind deformabile, nu pot asigura compoziția de șaibe rigide a planșelor clădirii; planșele sunt considerate indeformabile numai în limita centurului coloanei. Legăturile de tip plăcuță metalică, pot prelua numai eforturi axiale și forțe tăietoare în plane orizontale. În metoda de calcul, coloanele de elemente spațiale sunt tratate ca bare cu pereti subțiri, rigidizate în plan orizontal prin planșele elementelor suprapuse, și conectate între ele, în cadrul structurii, cu legături deformabile, presupuse uniform repartizate pe înălțime. Încărcările verticale (din greutate proprie și sarcină utilă pe planșe) și cele orizontale (din vînt sau seism) considerate uniform, respectiv trapezoidal repartizate pe înălțime, aplicate direct pe coloană, produc asupra acesteia o stare de solicitare spațială compusă din forță axială, încovoiare oblică și torsionă impiedicată. Deplasările verticale ale coloanelor sunt independente între ele ; deplasările și rotirile în plane orizontale se influențează reciproc. Relațiile de interdependență a acestor mărimi se exprimă prin sisteme de ecuații diferențiale pentru fiecare coloană. Prin rezolvarea sistemului de ecuații diferențiale referent tuturor coloanelor structurii se obțin eforturile și deformațiile în barele cu pereti subțiri și în legăturile acestora (5.5).

Metoda MIILIP [110]. A fost elaborată de către institutul cu același nume de la Moscova, pentru structuri alcătuite din elemente spațiale rezemate pe colțuri și fabricate cu legături prevăzute la colțuri. În ansamblul structural se folosește un model de elemente spațiale, având toti pereti plini, care încreasă numai la torsionă din încărcarea cu sarcini concentrate la colțuri și are fețele solicitate la forfecare pură. Legăturile între elementele spațiale sunt modelate cu bare elastice care preiau numai eforturi axiale. Procedeul de calcul al structurii în ansamblu se înscrie în metoda

generală a forțelor din statica construcțiilor. Sistemul de bază inițial al structurii este elementul spațial exterior static determinat cu legături elastic-deformabile. Deplasările unitare pe direcțiile gradelor de libertate elastice, care formează matricea de flexibilitate a elementului, sunt alcătuite din două componente: deplasarea rezultată din deformațiile unghiulare ale fețelor elementului solicitate la forfecare pură și deplasarea rezultată din deformațiile legăturilor. Pentru calculul ansamblului s-a elaborat programe la calculatorul electronic. La stabilirea algoritmului s-a amplificat treptat sistemul de bază, de la elementul spațial exterior static determinat cu legături deformabile, la coloanele de elemente spațiale static determinată, pînă la profilul transversal alcătuit din două coloane (fig.5.68 b). Pereti î cu goluri sint înlocuiți cu pereti plini avînd rigiditatea la forfecare echivalentă. Aceasta este aplicată și la calculul de ansamblu al structurilor din elemente spațiale rezemate liniar; în acest caz rigiditatea resturilor orizontale este concentrată în colțurile elementelor [116], [156].

Metoda prezentată se folosește în calculul deplasărilor structurii și a efectelor în legături; calculul elementelor spațiale se face cu metodele teoriei elasticității la încărcările direct aplicate și la forțele din legături, rezultate din calculul de ansamblu.

Jean Laguez, de la CSTB, Paris, a elaborat principiile de calcul a structurilor din elemente spațiale, executate cu procedeu SIGMA, în sistemul constructiv SCCT [1]. Sunt indicate două metode :

- În prima metodă (simplificată), coloanele de elemente spațiale sunt considerate independente; fiecare coloană echilibrează efecturile provenite din încărcările direct aplicate. Se fac verificări asupra posibilității de transmitere prin freare a forțelor orizontale între elementele suprapuse, în absența ridicării de rezemă a acestora.

- În a doua metodă se ia în considerație posibilitatea de repartizare a forțelor orizontale prin legăturile din planele planșelor. Această repartiție se face proporțional cu rigiditatea coloanelor astfel legate. Se presupune că legăturile nu transmit solicitarea tangențială verticală. Rigiditățile coloanelor sunt calculate plecind de la deformațiile de încovciere și de forfecare ale peretilor paraleli cu direcția forțelor orizontale considerate și ținînd cont de goluri. Se fac verificări asupra posibilității

de transmitere a forțelor orizontale prin freare între elemente spațiale și rezeme și asupra condiției ca elementele spațiale să nu se ridice de pe rezeme.

#### 5.1.2. Metode de calcul aplicate în R.S. România.

Structurile din elemente spațiale asamblate cu îmbinări de monolitizare din beton armat, continuu, verticale și orizontale, executate de I.C.I.M. Brașov în prima perioadă (pînă în 1974), au fost assimilate cu structuri din diafragme și calculate cu metodele aplicate acestora [20, 108].

La structurile alcătuite din coloane de elemente spațiale îmbinate între ele cu legături care nu preiau solicitări tangențiale în plane verticale, dar asigură comportarea de șaibe rigide a planșelor, au fost adoptate trei modele de calcul (5.4.1), [23], [24, 165].

Modelul barelor - MEB : coloanele sunt echivalente cu bare verticale de tip consolă caracterizate prin aria și momentele de inerție ale secțiunii nete (se admite că întreaga secțiune orizontală a coloanei este activă și că rigile de cuplare sunt pene rigide) [167].

Modelul diafragmelor - MED : coloanele sunt fragmentate în diafragme pline și cu goluri conectate între ele, la nivelul planșelor, cu penduli indeformabili (fig. 5.46 b). Diafragmele pline sunt înlocuite cu bare verticale iar diafragmele cu goluri, cu cadre etajate (fig. 5.46 c). Secțiunile active ale diafragmelor și rigile de cuplare, modulii de elasticitate convenționali pentru rigle ( $\nu_r$ ) și deschiderile de calcul ( $L, l_r$ ), sunt stabilite în conformitate cu prevederile din instrucțiunile P.65-82 [163], (fig. 5.46 a).

- Modelul de calcul cu elemente finite - MEF : elementele spațiale componente sunt discretizate în elemente finite de membrană (fig. 5.45 a) și sunt asamblate în coloană ca în schema din fig. 5.45 d; (în această schemă sunt folosite și elemente finite de bază – denumite cu două cerculete la extremități – cu care sunt modelate secțiunile active ale rigilelor de cuplare – determinate după instrucțiunile P.65-82 – și efectul de rigidisare orizontală a planșelor – înlocuite în schema din fig. 5.45 d cu cîte un singur element finit de membrană).

Analiza statică și seismică a structurilor din elemente spațiale, cu aplicarea uneia din modelele prezentate, se face prin parcurserea următoarelor etape :

a) determinarea rigidităților la deplasări laterale ale coloanelor, (rigiditatea unei coloane este definită prin încărcarea orizontală, distribuită triunghiular pe muchile coloanei, ca în fig. 5.59, care produce o deplasare unitară la nivelul caracteristic egal cu 0.8 din înălțimea construcției [3]);

b) Coloanele sunt assimilate cu consola verticală de secțiune constantă, caracterizată prin momente de inertie echivalente, care au aceleși rigidități la deplasări laterale;

c) Calculul de ansamblu al structurii alcătuite din console echivalente legate între ele ca planșe indeformabile. În această etapă calculul se poate face pe baza unui program de calcul a structurilor din bare (de exemplu programul CAS8 [172]);

d) Determinarea stărilor de efort - deformare ale coloanelor în baza ferțelor seismice rezultate în etapa c, pe modelul de calcul adoptat (MEB, MAD, MAF).

În calculul cu modelul MEB nu sunt necesare etapele a) și b); momentele de inertie ale secțiunilor nete ale coloanelor sunt, în acest caz, toamă momentele de inertie echivalente.

Modelul MEB a fost folosit la elaborarea de ICI în 1977 a proiectelor tip pentru clădiri de locuit cu structuri din elemente spațiale; în revizuirile din 1979 a acestora s-a aplicat modelul MAF [165].

În vederea efectuării unui calcul spațial unitar pentru structură și elementele componente, se prezintă în continuare procedeul macroelementelor, adoptat de autorul prezentei lucrări.

### 5.2. ANALIZA DE PUNZI LAU ALE ELEMENTE SPATIALE CU PROCEDEUL MACROELEMENTELOR

Structura unei clădiri din elemente spațiale fiind foarte complexă, calculul ei în ansamblu, precum și a elementelor componente pune probleme deosebite. Metoda generală de analiză, care conduce la rezolvări corespunzătoare, ca folosirea calculatoarelor electronice, este metoda elementelor finite (MIF), [12], [17], [6]. Se poate afirma că cu MIF, pein adoptarea unor programe mari și utilizarea unor calculatoare adaptate, orice structură poate fi rezolvată satisfăcător.

Calea de optimizare a analizei și de reducere a timpului necesar, constă în extinderea conceptului de modularitate de la alcătuirile structurilor (Cap. 3), la calculul sectoare. În acest sens, se adoptă în prezenta lucrare, procedeul de analiză

prin fragmentarea ansamblului structural în substructuri sub formă elementelor componente din care acesta este alcătuit. Elementele componente, denumite macroelemente, sunt considerate, în prima fază de analiză, ca structuri separate, discretizate în elemente finite, iar în faza a doua sunt asambleate în structură după principiile stabilite în metoda elementelor finite. Procedeul se înscrise în Metoda generală a deplasărilor ca metodă de analiză matricială a structurilor [66, 40, 65]. În funcție de alcătuire, structura poate fi schematizată și divizată în macroelemente și elemente finite (fig. 5.1, 5.9). Macroelementele pot fi : elemente spațiale, panouri de plăci sau, panouri de pereti, coloane de elemente suprapuse, nuclee structurale alcătuite din pereti și plăci etc. Imbinările reale ale elementelor componente în structură, realizate prin monolitizări de beton armat (fig. 3.7, 3.9), sau cu plăci metalice (fig. 3.7) sunt modelate în cadrul schemei, cu baze echivalente articulare la capete. Condiția de echivalență, exprimată prin egalitatea rigidității modelului cu a imbinării reale, conduce la stabilirea caracteristicilor geometrice și de rigiditate ale barelor echivalente. Rigiditatea luată în considerare pentru imbinarea reală poate fi stabilită analitic sau în baza cercetărilor experimentale. Macroelementele sunt tratate ca elemente finite complexe, caracterizate prin numărul și poziția nodurilor de conexiune în structură, numite noduri caracteristice, numărul și tipul gradelor de libertate elastice ale acestora și prin matricele de rigiditate referitoare la nodurile caracteristice.

Principial, analiza stărilor de eforturi și deformații, cu procedeul macroelementelor, se face în două faze.

In prima fază, pe sistemul de bază geometric nedeterminat al macroelementului, obținut prin blocarea deplasărilor pe direcțiile gradelor de libertate ale nodurilor caracteristice ( $\alpha$ ), se scrie ecuația generală de echilibru a macroelementului ca structură separată, discretizată în elemente finite:

$$\text{unde : } M\Delta = F \quad (5.1)$$

$M$  este matricea de rigiditate a structurii macroelementului asamblată din matricele elementelor finite componente ;

$\Delta$  este vectorul deplasărilor tuturor nodurilor ;

$F$  este vectorul care colectează încărcările nodale echivalente.

Dacă matricea de rigiditate  $M$  se reordonează și se partajează după deplasările nodurilor interioare (libere)  $\Delta_{i,M}^{(1)}$  și caracteristice (blocate)  $\Delta_{C,M}^{(1)}$ , grupate separat, sistemul de ecuații (5.1) devine :

$$\begin{bmatrix} M_{ii} & M_{iC} \\ -M_{Ci} & M_{CC} \end{bmatrix} \begin{Bmatrix} \Delta_{i,M}^{(1)} \\ \Delta_{C,M=0}^{(1)} \end{Bmatrix} = \begin{Bmatrix} F_{i,M} \\ F_{C,M} \end{Bmatrix} \quad (5.2)$$

unde  $F_{i,M}$  și  $F_{C,M}$  sunt vectorii încărcărilor echivalente în nodurile interioare (i), respectiv caracteristice (c).

Rezolvat (5.2) se poate scrie :

$$M_{ii} \Delta_{i,M}^{(1)} = F_{i,M} \quad (5.3a); \quad M_{Ci} \Delta_{i,M}^{(1)} = F_{C,M} \quad (5.3b)$$

din (5.3a) rezultă deplasările nodurilor interioare ale macro-elementului ca structură separată (în prima fază).

$$\Delta_{i,M}^{(1)} = M_{ii}^{-1} F_{i,M} \quad (5.4a)$$

și din (5.3b) vectorul reacțiunilor din blocajele nodurilor caracteristice.

$$F_{C,M} = M_{Ci} M_{ii}^{-1} F_{i,M} \quad (5.4b)$$

Reacțiunile din blocaje cu semn (semn) schimbat se aplică drept încărcări echivalente în nodurile caracteristice ale macro-elementului [40].

Vectorul încărcărilor nodale echivalente ( $F_{e,M}$ ) se determină cu relația :

$$F_{e,M} = F_{n,M} - M_{Ci} M_{ii}^{-1} F_{i,M} \quad (5.5)$$

unde  $F_{n,M}$  este vectorul încărcărilor direct aplicate în nodurile caracteristice.

În fază a doua este analizat ansamblul structural, alcătuit din macroelemente și elemente finite conectate în nodurile structurii (n). Macroelementele, cu nodurile caracteristice deblocate, sunt tratate ca elemente finite complexe.

Relațiile constitutive ale acestora, similare cu ale elementelor finite, exprimă legătura între eforturile nodale (forțele generalizate)  $Q_M$  și deplasările nodurilor caracteristice (deplasările generalizate)  $\Delta_{C,M}^{(2)}$

$$K_M \Delta_{C,M}^{(2)} = Q_M \quad (5.6)$$

unde  $K_M$  este matricea de rigiditate a macroelementului referitoare la nodurile caracteristice.

În analiza pe structură, macroelementele sunt considerate încărcate numai în nodurile caracteristice. Forțele care asigură echilibrul acestora sunt eforturile nodale de intersecție  $Q_M$ .

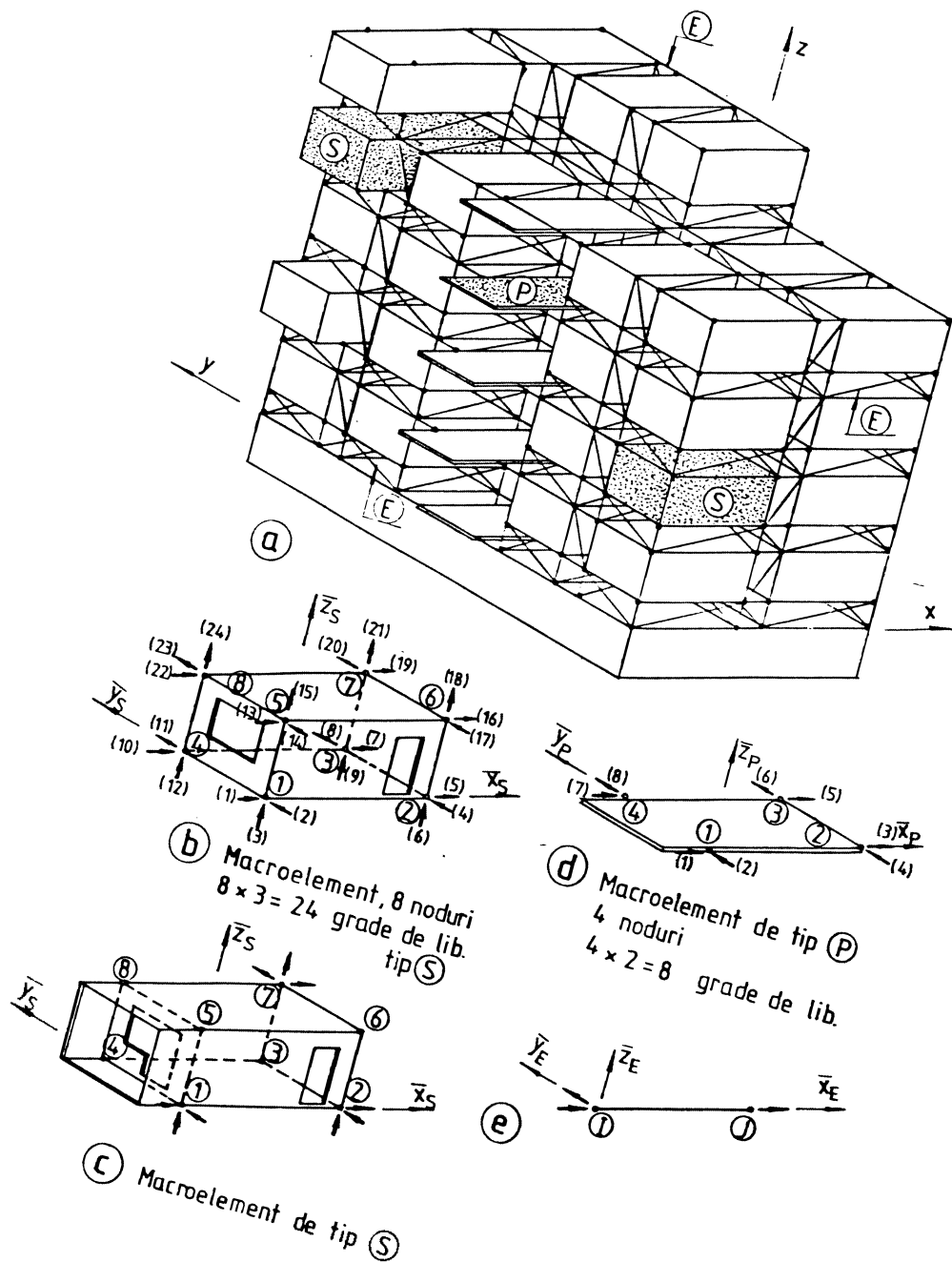


Fig. 5.1

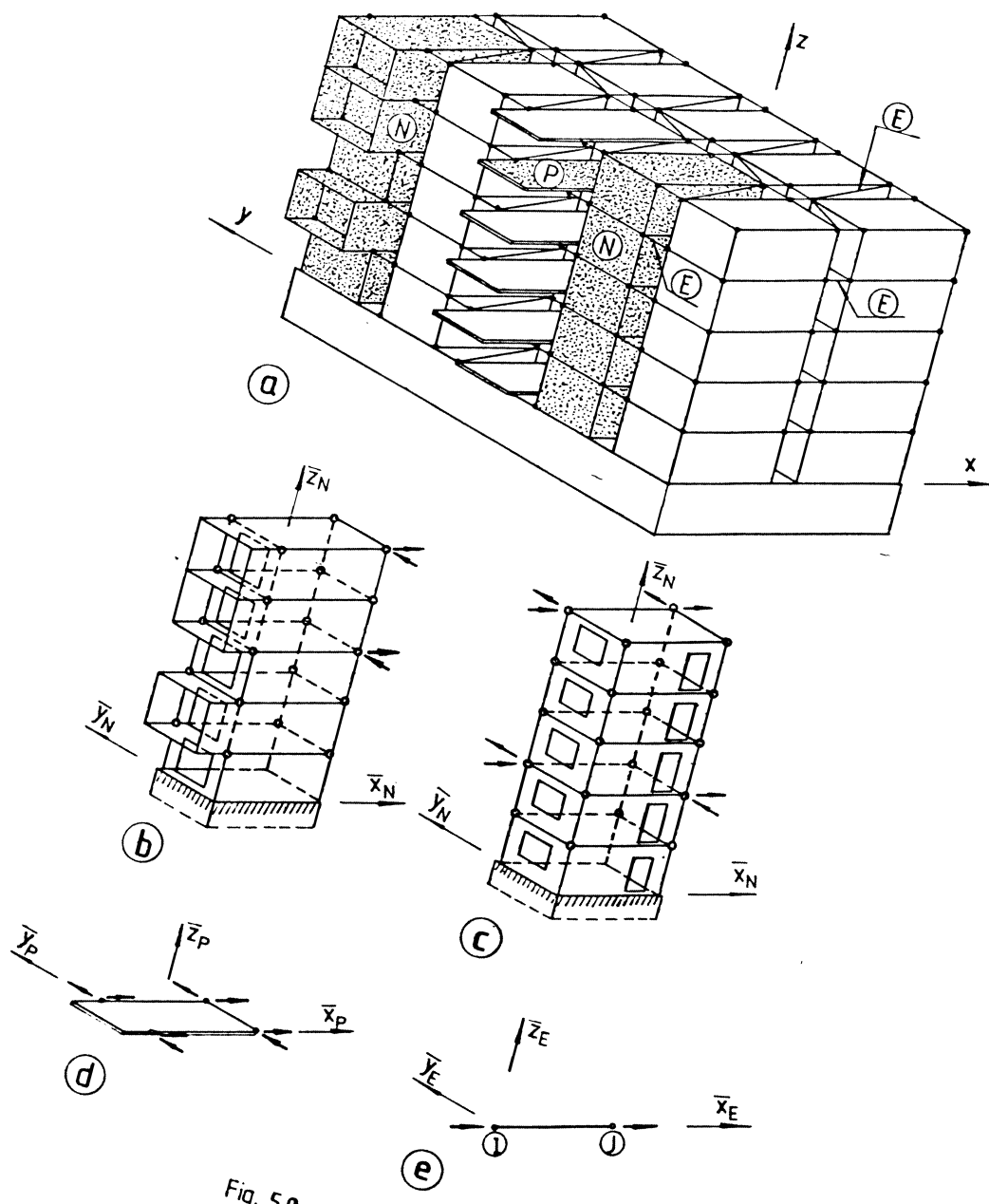


Fig. 5.9

În aceste condiții sistemul de ecuații (5.2.) poate fi scrisă :

$$\begin{bmatrix} M_{ii} & M_{ic} \\ M_{ci} & M_{cc} \end{bmatrix} \begin{Bmatrix} \Delta_{i,M}^{(2)} \\ \Delta_{c,M}^{(2)} \end{Bmatrix} = \begin{Bmatrix} F_{i,M} = 0 \\ Q_M \end{Bmatrix} \quad (5.7)$$

care dezvoltat este :

$$M_{ii} \Delta_{i,M}^{(2)} + M_{ic} \Delta_{c,M}^{(2)} = 0 \quad (5.8a); \quad M_{ci} \Delta_{i,M}^{(2)} + M_{cc} \Delta_{c,M}^{(2)} = Q_M \quad (5.8b)$$

în (5.8a) rezultă vectorul deplasărilor nodurilor interioare ale macroelementului ( $\Delta_{i,M}^{(2)}$ ) din încărcările pe structură (fiecare două),

$$\Delta_{i,M}^{(2)} = -M_{ii}^{-1} M_{ic} \Delta_{c,M}^{(2)} \quad (5.9)$$

care înlocuit în (5.8b) conduce la relație :

$$(M_{cc} - M_{ci} M_{ii}^{-1} M_{ic}) \Delta_{c,M}^{(2)} = Q_M \quad (5.10)$$

Cuprindând (5.10) cu (5.6) rezultă matricea de rigiditate a macroelementului

$$K_M = M_{cc} - M_{ci} M_{ii}^{-1} M_{ic} \quad (5.11)$$

care are semnificația unei matrice condensate.

În baza proprietății de continuitate a deplasărilor, care exprimă egalitatea în fiecare nod (I) al structurii, dintre vectorul deplasărilor nodului ( $D^{(I)}$ ) și vectorul deplasărilor nodurilor caracteristice ale macroelementelor ( $\Delta_{c,M}^{(2)}$ ) și elementelor finite ( $\Delta_E^{(I)}$ ), care concordă în acel nod, se poate scrie :

$$\Delta_{c,M}^{(2)} = \Delta_E^{(I)} = D^{(I)} \quad (5.12)$$

Tinând cont de (5.12) relațiile constitutive ale unui macroelement, respectiv ale unui element finit care intră în compoziția ansamblului structural, sunt :

$$Q_M = K_M D \quad (5.13a); \quad Q_E = K_E D \quad (5.13b)$$

unde  $K_E$  reprezintă matricea de rigiditate a elementului finit iar  $Q_E$  este vectorul forțelor generalizate din nodurile elementului finit.

Condiția de echilibru static, din metoda generală a deplasărilor, exprimă egalitatea în fiecare nod (n) al structurii, între vectorul acțiunilor exterioare de pe nod ( $A_n$ ) și suma forțelor generalizate ale macroelementelor și elementelor finite din nodurile caracteristice, care sunt conectate în nodul respectiv.

Pentru întregă structură, alcătuită din (N) macroelemente și (E) elemente finite, conectate în (n) noduri, condiția de echilibru se exprimă prin relație :

$$A = \sum_1^M Q_M + \sum_1^E Q_E \quad (5.14)$$

unde :

$$A = A_n + \sum_1^M F_{e,M} + \sum_1^E F_{e,E} \quad (5.15)$$

$\cdot A_n$  este vectorul acțiunilor exterioare pe întreaga structură;

$\cdot F_{e,M}$  este vectorul acțiunilor aplicate direct în nodurile structurii;

$\cdot F_{e,E}$  este vectorul încărcerilor echivalente aplicate în nodurile caracteristice ale macroelementului (5.9);

$\cdot F_{e,S}$  este vectorul încărcerilor echivalente aplicate în nodurile elementului finit.

Prin înlocuirea expresiile (5.15), (5.13a) și (5.13b) în (5.14) obținem :

$$A = \sum_1^M K_M D + \sum_1^E K_E D \quad (5.16a)$$

$$A = (\sum_1^M K_M + \sum_1^E K_E) D \quad (5.16b)$$

Notind

$$K = \sum_1^M K_M + \sum_1^E K_E \quad (5.17)$$

se obține relația (5.18), care reprezintă sistemul general al ecuațiilor de echilibru al structurii.

$$A = K \cdot D \quad (5.18)$$

În care :

$K$  este matricea de rigiditate a structurii asamblată din matricile de rigiditate ale macroelementelor și elementelor finite.

$D$  este vectorul deplasărilor tuturor nodurilor structurii, cunoscute problemei.

Pentru rezolvarea sistemului de ecuații (5.18) [17 dd., 40] se cauță deplasările nodurilor ( $\Delta$ ) și reacțiunile din nodurile structurii, cu relația (5.12) se determină deplasările nodurilor caracteristice ale macroelementelor și elementelor finite ( $\Delta_c$  și  $\Delta_E$ ), iar cu relația (5.9) deplasările nodurilor interioare ale macroelementelor, în fază a doua de calcul ( $\Delta_i^{(2)}$ ). Deplasările finale vor fi calculate prin înmulțirea deplasărilor obținute în cele două faze.

$$\Delta_i = \Delta_i^{(1)} + \Delta_i^{(2)} \quad (5.19)$$

În baza deplasărilor  $D, \Delta_c, \Delta_i$ , cunoscute se pot determina eforturile, deformările specifice și tensiunile din elementele finite aferente macroelementelor și structurii, atât pe fazele cînd și finale.

Pentru simplificarea scrierii relațiilor, se consideră, în prezentarea procedeului, un sistem unic de axe de coordonate

și un sistem unic de numerotare a nodurilor pentru macroelemente, elemente finite și structura.

Schemă bloc a operațiilor în analiza cu procedeul macroelementelor este redată în fig. 5.15.

Calculul practic al structurilor, conform proceseului macroelementelor, este desvoltat în continuare în trei variante, stabilite funcție de alcătuirea ansamblului structural și schematizarea acestuia.

### 5.2.1. Procedeul macroelementelor. Varianta A.

Asta o particularizare a procedeului descris la §.2., pentru a fi aplicat la :

a) structuri alcătuite din elemente spațiale rezonante concentrat,

b) structuri mixte, alcătuite din elemente spațiale rezonante concentrat și penouri de plasă.

Elementele spațiale și penourile sunt tratate ca macroelemente; asocierea lor în structură se poate face direct, prin conectarea nodurilor caracteristice, sau prin intermediul unor elemente de îmbinare care sunt echivalente cu bare și tratate ca elemente finite. Analiza efectivă a unei structuri necesită parcurserea etapelor prezentate în continuare.

#### 5.2.1.1. Schematizarea structurii.

Schematizarea structurii constă în modelarea acesteia în vedere calculului. În cadrul schemei se stabilesc : tipurile de macroelemente ( $S$  = element spațial,  $P$  = penou), modelele îmbinărilor cu bare echivalente (tratate ca elemente finite,...) numărul și poziția nodurilor de conexiune, sistemul general de axe ( $X, Y, Z$ ) al structurii, sistemele locale de ale ale macroelementelor ( $\bar{X}_S \bar{Y}_S \bar{Z}_S$  respectiv  $\bar{X}_P \bar{Y}_P \bar{Z}_P$ ) și al elementelor finite ( $\bar{X}_E \bar{Y}_E \bar{Z}_E$ ). Pentru fiecare tip de macroelement se stabilesc numărul și tipul gradișelor de libertate elastică ale nodurilor caracteristice.

În fig. 5.1.a este prezentată schema unei structuri alcătuite din elemente spațiale rezonante pe colțuri și penouri de plasă rezonante liniar pe poziții elementelor spațiale adiacente. Elementele spațiale și penourile de plasă sunt îmbinate cu legături prevăzute în culturile acestora. Îmbinările au capacitatea de a suporta forțe normale și forțe tăietoare în rosturile verticale și orizontale.

În acestuia schemă, elementele spațiale ( $s$ ) sunt tratate ca macroelemente cu cîte trei grade de libertate pe fiecare nod ce-

caracteristic (translațiiile după axele  $\bar{X}_S \bar{Y}_S \bar{Z}_S$ ), penourile (P) ca macroelemente cu cîte două grade de libertate pe fiecare nod caracteristic (translațiiile după axele  $\bar{X}_P \bar{Y}_P$ ), iar bazele echivalente de îmbinare ca elemente finite cu un grad de libertate pe fiecare nod (translație după axa  $\bar{X}_E$  a barei).

Funcție de elocuirișe constructivă și poziție legăturilor în structură, macroelementele pot avea noi și caractereistice suplimentare (fig. 5.2.).

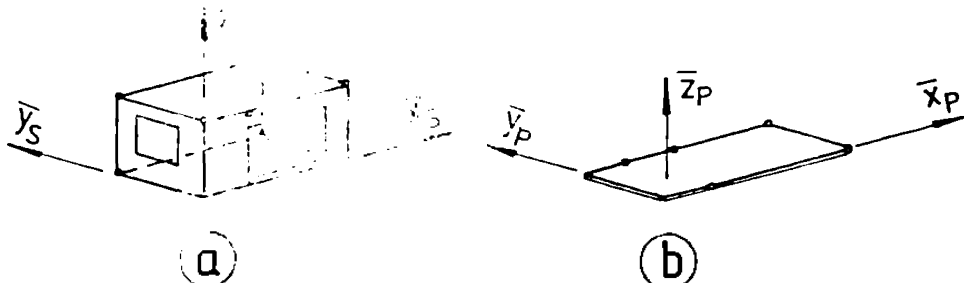


Fig. 5.2

În cazul curent de îmbinare, cu plăcuțe metalice care leagă elementele spațiale adiacente în plan orizontal la nivelul planșelor, amplasate în cărări, scheme de calcul se simplifică prin eliminarea bazei echivalente prevăzute pentru prelucrare forțelor tristării din resturile verticale.

În această etapă se stabilește și topologia structurii: numerotarea nodurilor de conexiune, gruparea și numerotarea macroelementelor și elementelor finite.

#### 5.2.1.2. Calculul macroelementelor ca structuri separate.

Calculul macroelementelor ca structuri separate, se efectuează pe sistemele de bază geometric nedeterminate, stabilite funcție de tehnologie de execuție și de modelarea structurii (fig. 5.1.), la încărările care se aplică pe acestea.

În fig. 5.3, 5.4 și 5.5. sunt prezentate, exemplificativ, cîteva sisteme de bază geometric nedeterminate.

Calculul elementelor spațiale și a penourilor de planșă, în ipoteza de montaj (de prindere în dispositivale de ridicare), se face folosind schemele din fig. 5.3. Ipoteza încărcării perpendiculare este analizată pe schemele din fig. 5.4. Pentru încărările care se aplică pe elementele spațiale, după îmbinarea acestora în structură (de exemplu încărările utile pe planșă), respectiv pe penouri în planul acestora, sistemele de bază geometric nedeterminate se obțin prin blocarea de miscărilor pe direcțiile gradelor de libertate ale nodurilor caracteristice ale macroelementelor (fig. 5.5.).

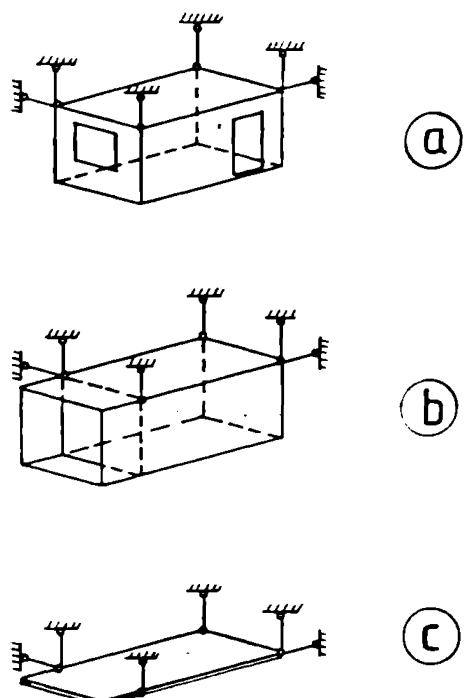


Fig. 5.3

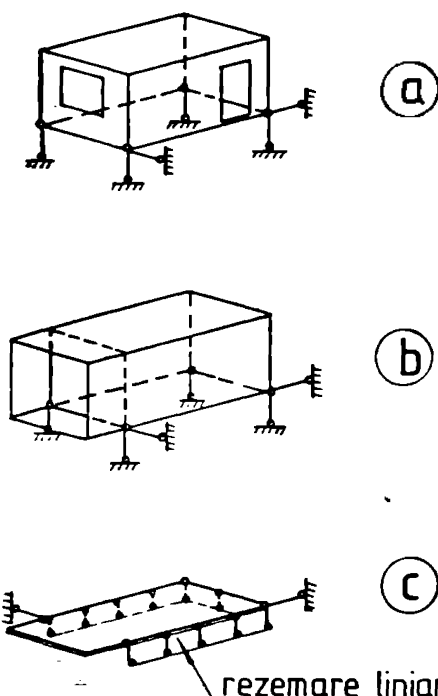


Fig. 5.4

Punctele de suspendare-rezemare sunt în general alese în nodurile caracteristice, cu excepția panourilor, care sunt de regulă rezemate liniar pe elementele spațiale adiacente (fig. 5.4.c.). În ipotezele de manipulare, transport și montaj, încărările se multiplică cu coeficienți dinamici, stabiliți în prescripții de proiectare sau caicte de sarcini [24, 29].

Pe sistemele de bază geometric nedeterminate sunt scrise în sistemele lungale de axe, ecuațiile generale de echilibru ale macroelementelor, ca structuri separate, discretizate în elemente finite,

$$S \bar{\Delta}_S = \bar{F}_c \quad (5.20a)$$

$$P \bar{\Delta}_P = F_p \quad (5.20b)$$

unde:

$S, P$  sunt matricele de rigiditate ale elementelor spațiale ( $S$ ), respectiv panourilor ( $P$ ) asamblate din matricele elementelor finite componente;

$\bar{\Delta}_S, \bar{\Delta}_P$  sunt vectorii deplasărilor generalizate ale nodurilor rețelei de discretizare, necunoscuți;

$\bar{F}_c, \bar{F}_p$  sunt vectorii încărărilor generalizate din nodurile rețelei de discretizare (pentru o anumită ipoteză de încarcare).

Locul matricele  $S$  și  $P$  sunt reșanțate și partitionate după deplasările nodurilor libere ( $\bar{\Delta}_l$ ) și de rezem ( $\bar{\Delta}_r$ ), grupate separat, sistemele de ecuații (5.20a) și (5.20b), devin

$$\begin{bmatrix} S_{ll} & S_{lr} \\ S_{rl} & S_{rr} \end{bmatrix} - \left\{ \frac{\bar{\Delta}_{l,s}}{\bar{\Delta}_{r,s}=0} \right\} = \begin{bmatrix} \bar{F}_{l,s} \\ \bar{F}_{r,s} \end{bmatrix} \quad (5.21a)$$

$$\begin{bmatrix} P_{ll} & P_{lr} \\ P_{rl} & P_{rr} \end{bmatrix} - \left\{ \frac{\bar{\Delta}_{l,p}}{\bar{\Delta}_{r,p}=0} \right\} = \begin{bmatrix} \bar{F}_{l,p} \\ \bar{F}_{r,p} \end{bmatrix} \quad (5.21b)$$

în care :

$\bar{F}_{l,s}, \bar{F}_{r,s}$  sunt vectorii încărcărilor echivalente în nodurile libere ale macroelementelor,

$\bar{F}_{l,p}, \bar{F}_{r,p}$  sunt vectorii reacțiunilor în rezanemile macroelementelor.

În relațiile (5.21a) și (5.21b) pot fi determinați :

a) Vectorii deplasărilor nodurilor libere, în fază (1) de analiză, cu relațiile :

$$\bar{\Delta}_{l,s}^{(1)} = \bar{S}_{ll}^{-1} \bar{F}_{l,s} \quad (5.22a) ; \quad \bar{\Delta}_{l,p}^{(1)} = \bar{P}_{ll}^{-1} \bar{F}_{l,p} \quad (5.22b)$$

din care sunt selectați vectorii deplasărilor nodurilor interioare

$\bar{\Delta}_{js}^{(1)}, \bar{\Delta}_{ip}^{(1)}$  și ai nodurilor caracteristice  $\bar{\Delta}_{cs}^{(1)}, \bar{\Delta}_{cp}^{(1)}$ . Se menționează că în sistemele de bază, prezентate în fig. 5.3a, b și 5.4 a, b unele noduri caracteristice au deplasări libere în fază (1) de analiză.

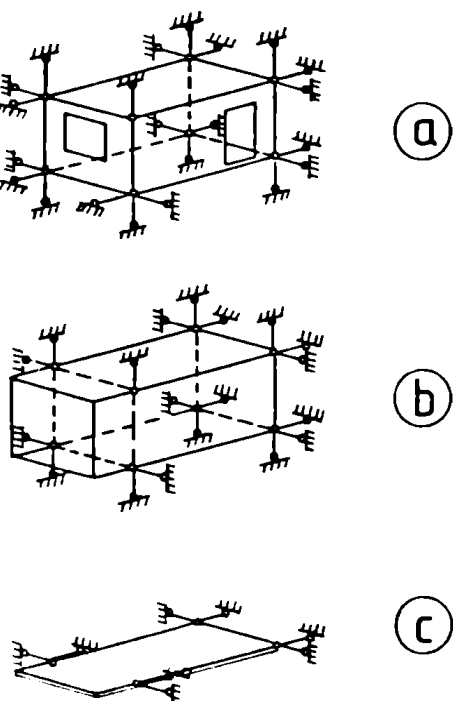


Fig. 5.5

b) Vectorii încărcărilor echivalente pe liniile de rezanare ale panourilor, cu relație :  $\bar{F}_{e,p} = \bar{F}_{n,p} - P_{rl} P_{ll}^{-1} \bar{F}_{l,p}$  (5.23)

unde  $\bar{F}_{n,p}$  este vectorul încărcărilor direct aplicate în nodurile de rezanare. Vectorul  $\bar{F}_{e,p}$  se aplică drept încărcare echivalentă pe elementele spațiale pe care rezană panourile; acea panouri rezană cu excentricitate pe planuri elementelor spațiale, componentele vectorului conțin forțe și momente încovoiaștoare (forțe generalizate).

c) Vectorii încărcărilor echivalente în nodurile caracteristice ale elementelor spațiale, cu relație :

$$\bar{F}_{e,s} = \bar{F}_{n,s} - S_{r,l} \bar{S}_{ll}^{-1} \bar{F}_{l,s} \quad (5.24)$$

în care  $\bar{F}_{n,s}$  este vectorul încărcărilor direct aplicate în nodurile caracteristice.

În această etapă de calcul se determină stările de efort – deformatie ale elementelor prefabricate componente pentru încărcările din perioade de execuție (fabricație, transport, montaj), deplasările nodurilor în faza (1) de analiză și vectorii încărcărilor echivalente, care se aplică în nodurile caracteristice ale macroelementelor, pentru analiza structurii în faza a doua.

#### 5.2.1.3. Determinarea matricelor de rigiditate ale macroelementelor.

În baza relațiilor (5.7.) și (5.1c), determinarea matricelor de rigiditate ale macroelementelor, referitoare la nodurile caracteristice, se face, prin partionarea matricelor acestora ca structuri separate ( $S$ ,  $P$ ), după deplasările nodurilor interioare (i) și caracteristice (a), cu relație (5.11).

$$\bar{K}_s = S_{CC} - S_{Ci} \bar{S}_{ll}^{-1} S_{iC} \quad (5.25a); \quad \bar{K}_p = P_{CC} - P_{Ci} \bar{P}_{ll}^{-1} P_{iC} \quad (5.25b)$$

Matricile  $\bar{K}_s$  și  $\bar{K}_p$  sunt matrice patrate, simetrice și singulare, având numărul de linii și coloane egal cu numărul gradielor de libertate elastice ale macroelementelor.

Pentru elementele spațiale și panourile din fig. 5.1,  $\bar{K}_s$  și  $\bar{K}_p$  au dimensiunile  $2^4 \times 2^4$  respectiv  $8 \times 8$ .

În altă cale de determinare a tensorilor matricelor de rigiditate ale macroelementelor rezultă din aplicarea definitiei acestora : tensorul  $K_{ij}$  este rezultat din aplicația unei deplasări unitărie aplicată pe direcția  $j$ . În exemplu, pe sistemul de bază al elementului spațial (fig.5.5a) discretizat în elemente finite, aplicându-se o deplasare unitărie pe direcția  $j$  și unui nod caracteristic (celalalte deplasări ale nodurilor caracteristice rămânind blocați), se obțin tensorii din coloane  $j$  ai matricii de rigiditate a macroelementului  $s$ .

În acest caz, relația generală de echilibru pentru elementul s (24 de grade de libertate elastică) se poate scrie :

$$\text{și dezvoltat : } K_s \Delta_s = F_s \quad (5.26)$$

1	2	...	i	...	j	...	24
1					$K_{1j}$		
2					$K_{2j}$		
:					:		
i					$K_{ij}$		
:					:		
j					$K_{jj}$		
:					:		
24					$K_{24j}$		

 $(\times)$ 

$\Delta_1=0$
$\Delta_2=0$
:
$\Delta_i=0$
:
$\Delta_j=1$
:
$\Delta_{24}=0$

 $(=)$ 

$F_1$
$F_2$
:
$F_i$
:
$F_j$
:
$F_{24}$

 $(5.27)$ 
  

$$K_s \quad (24 \times 24) \qquad \qquad \qquad \Delta_s \quad (24 \times 1) \qquad \qquad \qquad F_s \quad (24 \times 1)$$

Afectuindu-se în (5.27) înmulțirile matricelor  $K_s$  și  $\Delta_s$  se obțin elementele de pe coloana j ale matricei de rigiditate ( $\Delta_j=1$ ).  $K_{1j} = F_1$ ;  $K_{2j} = F_2$ ; ...  $K_{ij} = F_i$ ; ...  $K_{jj} = F_j$ ; ...  $K_{24,j} = F_{24}$  (5.28) egale cu reacțiunile în blocaje. Se observă că rigiditatea  $K_{jj}$  este forță care trebuie aplicată pe direcție j pentru a produce, pe această direcție, o deplasare unitară.

Pentru determinarea tuturor elementelor matricei, se aplică succesiv deplasări unitare pe direcție grădine de libertate și se calculează reacțiunile în blocaje. În calculul practic se vine cont că numai o parte din termenii matricii de rigiditate se determină efectiv, intrucât în baza teoremei reciprocității în-cruicii mecanice, aceasta este simetrică ( $K_{ij} = K_{ji}$ ).

#### 5.2.1.4. Formarea sistemului general al ecuațiilor de echilibru al structurii.

Acu anumitul structural este compus din S macroelemente de tip element spațial, P macroelemente de tip panou și E elemente finite, ecuația generală de echilibru (5.14), în sistemei general de axe, devine

$$\text{în care : } A = \sum_1^S Q_S + \sum_1^P Q_P + \sum_1^E Q_E \quad (5.29)$$

- A este vectorul acțiunilor (încărărilor) exterioare pe întreaga structură, aplicat în nodurile acestaia,

- $Q_S$ ,  $Q_P$ ,  $Q_E$  sunt vectorii ferțelor nodale generalizate din nodurile macroelementelor (- și +) și elementelor finite (E).

Vectorul  $\mathbf{A}$  se determină cu relația (5.15).

$$\mathbf{A} = \mathbf{A}_n + \sum_1^S \mathbf{F}_{e,S} + \sum_1^E \mathbf{F}_{e,E} \quad (5.30)$$

unde :

•  $\mathbf{A}_n$ ;  $\mathbf{F}_{e,S}$  au semnificație prevăzută în relație (5.15).

•  $\mathbf{F}_{e,S}$  este vectorul încărcărilor echivalente din nodurile caracteristice ale macroelementului tip  $s$ . Se menționează că vectorii încărcărilor echivalente din nodurile macroelementului de tip  $r$ , ( $\mathbf{F}_{e,r}$ ), în cazul schemei de modelare din fig. 5.1., se aplică direct încărcările, pe elementele spațiale pe care rezervă, în feze 1 de analiză.

Relațiile constitutive (5.13), în sistemul general de axe, sint :

$$Q_S = K_S \Delta_{C,S} \quad (5.31a) \quad Q_P = K_P \Delta_{C,P} \quad (5.31b) \quad Q_E = K_E \Delta_E \quad (5.31c)$$

iar în sistemele locale :

$$\bar{Q}_S = \bar{K}_S \bar{\Delta}_{C,S} \quad (5.32a) \quad \bar{Q}_P = \bar{K}_P \bar{\Delta}_{C,P} \quad (5.32b) \quad \bar{Q}_E = \bar{K}_E \bar{\Delta}_E \quad (5.32c)$$

Trecerea vectorilor (forță, deplasare) din sistemul de referință propriu în sistemul de referință general și invers, se face cu ajutorul matricelor de transformare. Fie un anumit vector  $\mathbf{V}$  în spațiu cu trei dimensiuni și două sisteme de referință : sistemul propriu  $\bar{x} \bar{y} \bar{z}$  și sistemul general  $x \bar{y} z$ .

Vectorul poate fi reprezentat prin componente  $\bar{V}_x$ ,  $\bar{V}_y$ ,  $\bar{V}_z$  în sistemul propriu și  $V_x$ ,  $V_y$ ,  $V_z$  în sistemul general. Între cele două tipuri de componente pot fi scrise relațiile :

$$\begin{Bmatrix} \bar{V}_x \\ \bar{V}_y \\ \bar{V}_z \end{Bmatrix} = \begin{bmatrix} l_x & m_x & n_x \\ l_y & m_y & n_y \\ l_z & m_z & n_z \end{bmatrix} \times \begin{Bmatrix} V_x \\ V_y \\ V_z \end{Bmatrix} \quad (5.33a)$$

$$\begin{Bmatrix} V_x \\ V_y \\ V_z \end{Bmatrix} = \begin{bmatrix} l_x & l_y & l_z \\ m_x & m_y & m_z \\ n_x & n_y & n_z \end{bmatrix} \times \begin{Bmatrix} \bar{V}_x \\ \bar{V}_y \\ \bar{V}_z \end{Bmatrix} \quad (5.33b)$$

unde  $l_i$ ,  $m_i$ ,  $n_i$  sunt coecinșările direcției și axelor  $x$ ,  $y$ ,  $z$  ( $i$ ) ale sistemului de referință local cu axele  $\bar{x}$ ,  $\bar{y}$ ,  $\bar{z}$  ale sistemului general. Conform, relațiile (5.33) pot fi scrise :

$$\bar{V} = T_0 V \quad (5.34a) \quad V = T_0^T \bar{V} \quad (5.34b)$$

în care  $T_0$  este matricea ortogonală a coecinșărilor direcției.

Pentru mulți vectori care se grupă sub formă unui vector unic (vectori forțelor și deplasările generalizate), relația 5.34 a) în forma :

$$\begin{Bmatrix} \bar{V}_1 \\ \bar{V}_2 \\ \vdots \\ \bar{V}_n \end{Bmatrix} = \begin{bmatrix} T_0 & & & \\ & T_0 & & \\ & & \ddots & \\ & & & T_0 \end{bmatrix} = \begin{Bmatrix} V_1 \\ V_2 \\ \vdots \\ V_n \end{Bmatrix} \quad (5.35a)$$

respectiv, conformat :  $\bar{V}_n = T V_n$  (5.35b)

matricea  $T$  se numește matrice de transformare; ea este ortogonală, deci avem :

$$V_n = T^T \bar{V}_n = T^T \bar{V}_n \quad (5.36)$$

Numărul de submatrice  $T$  care constituie matricea  $T$  depinde de numărul de vectori lărgi în considerație, respectiv de tipul elementului tratat. Trecerea vectorilor și  $\Delta$  (5.32) din sistemele de referință proprii, în sistemul de referință global, se face cu relațiile :

$$\begin{aligned} \bar{Q}_S &= T_S Q_S & \bar{Q}_P &= T_P Q_P & \bar{Q}_E &= T_E Q_E \\ \bar{\Delta}_{C,S} &= T_S \Delta_{C,S} & \bar{\Delta}_{C,P} &= T_P \Delta_{C,P} & \bar{\Delta}_E &= T_E \Delta_E \end{aligned} \quad (5.37a) \quad (5.37b) \quad (5.37c)$$

Inlocuind valorile din (5.37) în (5.32) se obțin relațiile :

$$Q_S = T_S^T \bar{K}_S T_S \Delta_{C,S} \quad (5.38a) ; \quad Q_P = T_P^T \bar{K}_P T_P \Delta_{C,P} \quad (5.38b)$$

$$Q_E = T_E^T \bar{K}_E T_E \Delta_E \quad (5.38c)$$

Combinând relațiile (5.38) și (5.31) se obțin expresiile matricelor de rigiditate ale macroelementelor și elementelor finite în sistemul general de axe.

$$K_S = T_S^T \bar{K}_S T_S \quad (5.39a) ; \quad K_P = T_P^T \bar{K}_P T_P \quad (5.39b)$$

$$K_E = T_E^T \bar{K}_E T_E \quad (5.39c)$$

Făcindu-se transformările de axe, vectorul acțiunilor aplicat în nodurile structurii (5.30) se determină cu relație :

$$A = A_n + \sum_1^S T_S^T \bar{F}_{e,S} + \sum_1^E T_E^T \bar{F}_{e,E} \quad (5.40)$$

Inlocuindu-se valorile din relațiile (5.38) în ecuația generală de echilibru (5.29) se obține :

$$A = \sum_1^S T_S^T \bar{K}_S T_S \Delta_{C,S} + \sum_1^P T_P^T \bar{K}_P T_P \Delta_{C,P} + \sum_1^E T_E^T \bar{K}_E T_E \Delta_E \quad (5.41)$$

Dacă se ține cont de condiția de continuitate a deplasărilor (5.12), exprimată pentru un nod (I) al structurii prin egalitatea :

$$\Delta_{C,S}^{(I)} = \Delta_{C,P}^{(I)} = \Delta_E^{(I)} = D^{(I)} \quad (5.42)$$

și de relațiile (5.39) sistemul de ecuații (5.41) poate fi scris :

$$A = (\sum_1^S T_S^T \bar{K}_S T_S + \sum_1^P T_P^T \bar{K}_P T_P + \sum_1^E T_E^T \bar{K}_E T_E) D \quad (5.43a)$$

$$A = (K_S + K_P + K_E) D \quad (5.43b)$$

$$\text{unde } K = \sum_1^S T_S^T \bar{K}_S T_S + \sum_1^P T_P^T \bar{K}_P T_P + \sum_1^E T_E^T \bar{K}_E T_E \quad (5.44a)$$

sau

$$K = \sum_1^S K_S + \sum_1^P K_P + \sum_1^E K_E \quad (5.44b)$$

este matricea de rigiditate a structurii  $\bar{K}$  asamblată din matricile de rigiditate ale macroelementelor și elementelor finite componente. Relația (5.44) poate fi scrisă:

$$K = T^T \bar{K} T \quad (5.45)$$

unde  $T$  este matricea de transformare a structurii întregi, iar  $\bar{K}$  este matricea diagonală formată din matricile macroelementelor și elementelor finite exprimate în sistemele locale de coorunete ale acestora.

$$\bar{K} = \begin{bmatrix} [\bar{K}_1]_S & & & & & \\ & [\bar{K}_S]_S & & & & 0 \\ & & [\bar{K}_1]_P & & & \\ & & & [\bar{K}_P]_P & & \\ & & & & 0 & [\bar{K}_1]_E \\ & & & & & [\bar{K}_E]_E \end{bmatrix} \quad (5.46)$$

$$\text{Relația (5.45) scrisă condensat } A = K D \quad (5.47)$$

reprăzintă sistemul general al ecuațiilor de echilibru al structurii.

Pentru determinarea matricei de rigiditate  $K$  din matricile de rigiditate elementare ( $K_S$ ,  $K_P$ ,  $K_E$ ) și a vectorului încărările exterioare pe structură (a) din încărările echivalente ( $F_{e,S}$ ;  $F_{e,E}$ ), este necesară stabilirea unei corespondențe între numerele de identificare a nodurilor elementelor și numerele nodurilor structurii, respectiv între numărul de ordine al deplasărilor nodurilor elementelor și numărul de ordine al deplasărilor nodurilor structurii. Acest lucru se face prin matricea conexiunilor, respectiv prin matricea indicilor [17]. Acestea vor fi determinate exemplificativ pe un caz concret, tratat în fig. 5.6, care conține o structură alcătuită din patru elemente spațiale conectate în nodurile caracteristice.

Elementele spațiale sunt tratate ca macroelemente cu cîte trei grade de libertate elastice pe fiecare nod (în total  $3 \times 8 = 24$ ). Vectorului de deplasări generalizate din nod li se asociat un vector de blocaj (LD) care conține codul condițiilor cinematice

ale acestuia ; în cod cifre „0” reprezintă o deplasare generalizată posibilă, iar cifre „1” o deplasare generalizată împiedicată. Pentru nodurile cu trei grade de libertate elastică - translațiiile după axele X Y Z - vectorul de blocaj (LB) va conține trei cifre. După numerotarea nodurilor structurii, fiecărui nod i se aleasă automat cele trei numere, reprezentând numărările deplasărilor posibile ale structurii, care formează o matrice (fig.5.7.c). Pe urmă ordinea succesiv tuturor nodurilor în cadrină de numerotare a acestora și la fiecare din ele cele trei grade de libertate, calculul sănătății va analiza pentru fiecare cifre de cod corespondența prin matricea vectorială de blocaj (fig.5.7b) : dacă aceasta este „0” va fi înlocuită cu o cifră care reprezintă numărul de ordine al deplasării libere; dacă cifra de cod este „1”, acest număr se înlocuiește cu „0” introducăt nu există deplasare pe direcția respectivă. În acest fel se formează matricele legăturilor nodale (fig. 5.7a), prin care calculatorul numărătoare deplasările libere ale structurii. Elementele acestei matrice reprezintă numările de ordine ale constițiilor de echilibru după cireșările deplasărilor generalizante respective.

Pentru fiecare element (macroelement) se formează un vector al conexiunilor care face corespondență între numărările nodurilor elementului respectiv și numărările nodurilor structurii. Vectorii de conexiune și tuturor elementelor săracuiesc matricele conexiuniilor (fig. 5.8 a). Fiecarui nod numerotat în matricea conexiunilor i se aplică trei poziții în care sunt trecute automate numările de ordine ale deplasărilor libere din matricele legăturilor nodale.

Aceste numere de ordine ale deplasărilor nodurilor structurii, pentru fiecare element formează vectorii de localizare ( $L_{(S)}$ ,  $L_{(P)}$ ,  $L_{(E)}$ ) și vectorii de localizare și tuturor elementelor săracuiesc matricele indicilor (fig. 5.8 b). Deși matricele indicilor fac legături între numările de ordine ale deplasărilor nodurilor elementelor (i,j) și numările de ordine ale deplasărilor nodurilor structurii (i,j). Cu ajutorul matricelor indicilor se poate forma matricele de rigiditate a structurii din matricele de rigiditate ale elementelor, prin depunerea coeficienților de rigiditate  $K_{ij}$  din matricele  $K_S$ ,  $K_P$ ,  $K_E$  în matricea  $K$ , cu relația de atribuire :

$$K_{L(i),L(j)} = \sum K_{L(i)L(j)} \quad (5.48)$$

unde :

- I,J sunt numere de ordine ale deplasărilor nodurilor structurii din matricele indicilor ;
- i, j sunt numere de ordine ale deplasărilor elementelor

(macroelemente, elemente finite) din matriceas indicilor;

$K_{L(I)} L(J)$  este termen al matricei de rigiditate a structurii;

$K_{L(i)} L(j)$  este termen din matricea de rigiditate a elementului, în care numerele de ordine ale deplasărilor structurii ( $I, J$ ) din matriceas indicilor sunt înlocuite cu numerele de ordine corespondătoare ale deplasărilor nodurilor elementelor ( $i, j$ ).

Folosindu-se relația (5.48) în locația de memorie rezervată termenului  $K_{L,I}$  al matricei de rigiditate a structurii se face o sumărire a apărărilor de rigiditate ale elementelor ( $K_{L,I}$ ).

Forma finală a matricei  $K$  se obține după parcurserea tuturor elementelor (macroelementelor și elementelor finite).

MATRICEA INDICILOR

Fig. 5.8b

$L(S)$	1	2	3	4	5	6	7	8	Nod macroel.
$L(P)$	1	2	3	4	5	6	7	8	$(i, j)$
$L(E)$	10	11	12	13	14	15	16	17	
$L(1)$	0	0	0	1	2	0	5	6	Numar.
$L(2)$	1	2	0	3	0	0	7	8	deplas.
$L(3)$	9	10	11	12	13	14	21	22	nod
$L(4)$	12	13	14	15	16	17	24	25	struct.
	25	26	27	28	29	30	31	32	
	33	34	35	36	37	38	39	40	$(I, j)$
	41								

$L_{(S)}, L_{(P)}, L_{(E)}$  = vectorii de localiz. ai macroelem. și elem. finite

$(i, j)$  = numerotarea grad. de lib. ale macroelem. (element)

$(I, J)$  = numerotarea deplas. nodurilor structurii

De exemplu, termenii  $K_{11}, K_{12}, K_{13}$  și matricei de rigiditate a structurii se determină cu relația (5.48) folosind matriceas indicilor (fig. 5.3b).

$$K_{11} = K_{44}^{(1)} + K_{11}^{(2)} ; K_{12,13} = K_{16,17}^{(1)} + K_{13,14}^{(2)} + K_{4,5}^{(3)} + K_{1,2}^{(4)}$$

Determinarea componentelor vectorului incărărilor exterioare în nodurile structurii, pentru o anumită ipoteză de incărcare, se face tot cu ajutorul matricei indicilor, prin folosirea relației de distribuție :

$$\text{In care: } \Delta L(I) = \Delta_{D(I)} + P_{el(I)} \quad (5.49)$$

•  $\Delta L(I)$  este componenta vectorului incărărilor pe direcție deplasării  $I$  a structurii;

•  $\Delta_{D(I)}$  este componenta pe direcție deplasării ( $I$ ) a incărărilii aplicate direct.

•  $P_{el(I)}$  componenta vectoarei incărării echivalente din nodurile elementului, în care numărul de ordine al deplasării ( $I$ ) din matriceas indicilor este înlocuit cu numărul de ordine corespondator al deplasării ( $I$ ) a elementului.

De exemplu componente pe direcția (12) a vectorului încărca-rii exterioare pe structură se obține cu relația (5.49) folosind matricele indicilor astfel :

$$A_{12} = A_{12}^{(d)} + F_{e,16}^{(1)} + F_{e,13}^{(2)} + F_{e,4}^{(3)} + F_{e,1}^{(4)}$$

În vederea rezolvării sistemului general al ecuațiilor de echilibru (5.47) se elimină deplasările nedeterminate de cimp rigid prin fixarea structurii în nodurile de rezanare; urmăre rezolvării se desfășoară, cu una din metodele cunoscute [17, 40], rezultă deplasările libere ale nodurilor ( $\Delta_{ij}$ ) și reacțiunile în rezanarele struc-turii ( $A_{ij}$ ).

#### 5.2.1.5. Determinarea stărilor de efort și deformație.

Deplasările nodurilor caracteristice ale elementelor în siste-mul general de axe, se pot determina din deplasările nodurilor struc-turii, folosind vectorii de localizare  $L_{(S)}$ ,  $L_{(P)}$ ,  $L_{(c)}$  cu re-lătia :

$$\Delta_{L(i)} = D_{L(i)} \quad (5.50)$$

unde numărul de ordine al deplasării (I) a struc-turii, din matricee indicilor, este înlocuit cu numărul de ordine corespunzător depla-sării (i) a elementului. Transformarea deplasărilor din sistemul general de axe în sistemul local se face cu relațiile (5.37). Aceste deplasări, care rezultă din calculul de ansamblu al struc-turii, sunt deplasările în fază a două de calcul,  $\bar{\Delta}_{c,i}^{(2)}$ . Cu relația (5.9) se determină deplasările nodurilor interioare ale macroelementelor, în fază a două de calcul.

$$\bar{\Delta}_{i,s}^{(2)} = -\frac{1}{S_{ii}} S_{ic} \bar{\Delta}_{c,s}^{(2)} \quad (5.51a) ; \quad \bar{\Delta}_{i,p}^{(2)} = -\frac{1}{P_{ii}} P_{ic} \bar{\Delta}_{c,p}^{(2)} \quad (5.51b)$$

Deplasările finale ale nodurilor caracteristice și interio-are ale macroelementelor vor fi calculate prin însumarea deplasări-ler obținute în cele două faze.

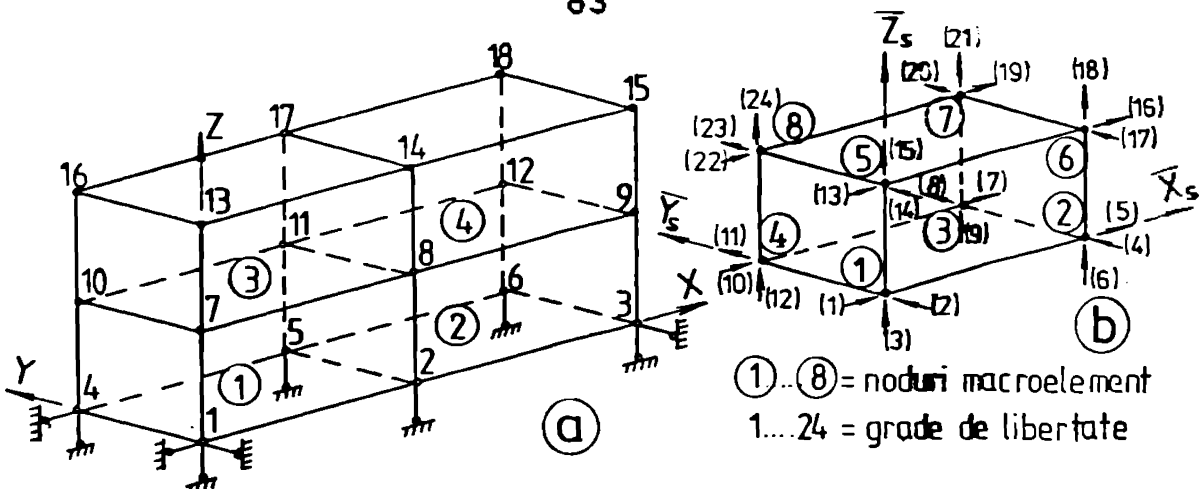
$$\bar{\Delta}_{c,s}^{(1)} = \bar{\Delta}_{c,s}^{(1)} + \bar{\Delta}_{c,s}^{(2)} \quad (5.52a) ; \quad \bar{\Delta}_{c,p}^{(1)} = \bar{\Delta}_{c,p}^{(1)} + \bar{\Delta}_{c,p}^{(2)} \quad (5.53a)$$

$$\bar{\Delta}_{i,s} = \bar{\Delta}_{i,s}^{(1)} + \bar{\Delta}_{i,s}^{(2)} \quad (5.52b) ; \quad \bar{\Delta}_{i,p} = \bar{\Delta}_{i,p}^{(1)} + \bar{\Delta}_{i,p}^{(2)} \quad (5.53b)$$

Pentru elementele finite care intră direct în alcătuirea ansamblului structural, deplasările din fază a două de calcul sunt și deplasările finale.

Cunoscute fiind deplasările nodurilor caracteristice ale macroelementelor și elementelor finite, rezultate din calculul de ansamblu al struc-turii, pot fi determinate eforturile de interac-tiune și eforturile din elementele de fibinare cu relațiile (5.32).

În cuprinsul fiecărui macroelement pot fi determinați, vec-to-rii calco-nu și deformații specifice  $\xi$ , și respectiv și tensiu-nilor  $T$ , cu relațiile cunoscute din metoda elementelor finite



1.....18 = noduri structura  
 ① ④ = macroelemente

Fig. 5.6

Matricea deplas. posb.

Nod. struct.	Num. depls. posb.	X	Y	Z
1	1	2	3	
2	4	5	6	
3	7	8	9	
4	10	11	12	
5	13	14	15	
6	16	17	18	
7	19	20	21	
8	22	23	24	
9	25	26	27	
10	28	29	30	
11	31	32	33	
12	34	35	36	
13	37	38	39	
14	40	41	42	
15	43	44	45	
16	46	47	48	
17	49	50	51	
18	52	53	54	

Fig. 5.7a

Matricea vectorilor (ID)

Nod. struct.	(ID)	X	Y	Z
1	1	1	1	1
2	2	0	0	1
3	3	0	1	1
4	4	1	0	1
5	5	0	0	1
6	6	0	0	1
7	7	0	0	0
8	8	0	0	0
9	9	0	0	0
10	10	0	0	0
11	11	0	0	0
12	12	0	0	0
13	13	0	0	0
14	14	0	0	0
15	15	0	0	0
16	16	0	0	0
17	17	0	0	0
18	18	0	0	0

Fig. 5.7b

Matricea leg. nodale

Nod. struct.	Num. depls. efect	X	Y	Z
1	0	0	0	0
2	1	2	0	0
3	3	0	0	0
4	0	4	0	0
5	5	6	0	0
6	7	8	0	0
7	9	10	11	0
8	12	13	14	0
9	15	16	17	0
10	18	19	20	0
11	21	22	23	0
12	24	25	26	0
13	27	28	29	0
14	30	31	32	0
15	33	34	35	0
16	36	37	38	0
17	39	40	41	0
18	42	43	44	0

Fig. 5.7c

Matricea conexiunilor

Vect. de conex. ai macroel. (elem.)	Nodurile macroelement (element)								Numerotarea nod. macroel. (elem.)
	1	2	3	4	5	6	7	8	
R (1)	1	2	5	4	7	8	11	10	
R (2)	2	3	6	5	8	9	12	11	
R (3)	7	8	11	10	13	14	17	16	
R (4)	8	9	12	11	14	15	18	17	

Numerotarea nodurilor structurii

Fig. 5.8a

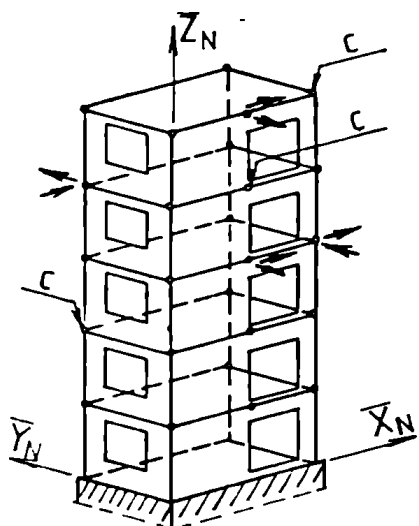


Fig. 5.10

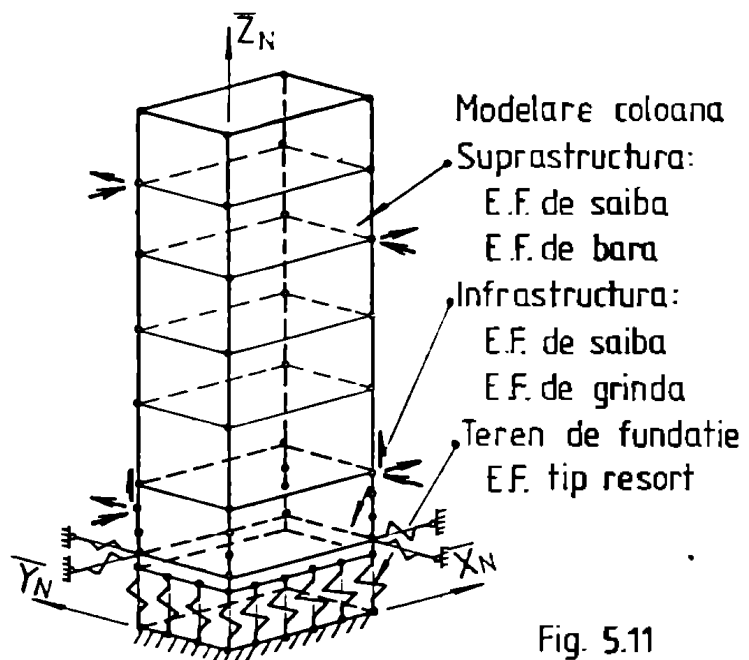


Fig. 5.11

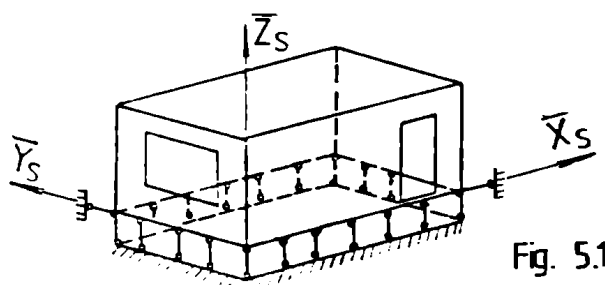
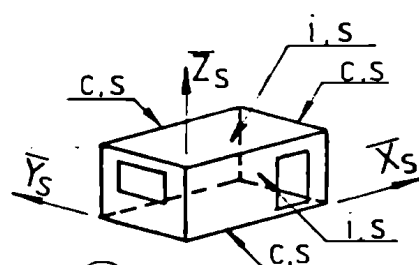
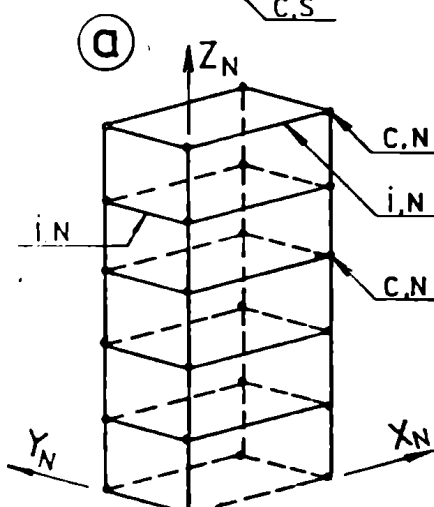


Fig. 5.13



(b)

Fig. 5.14

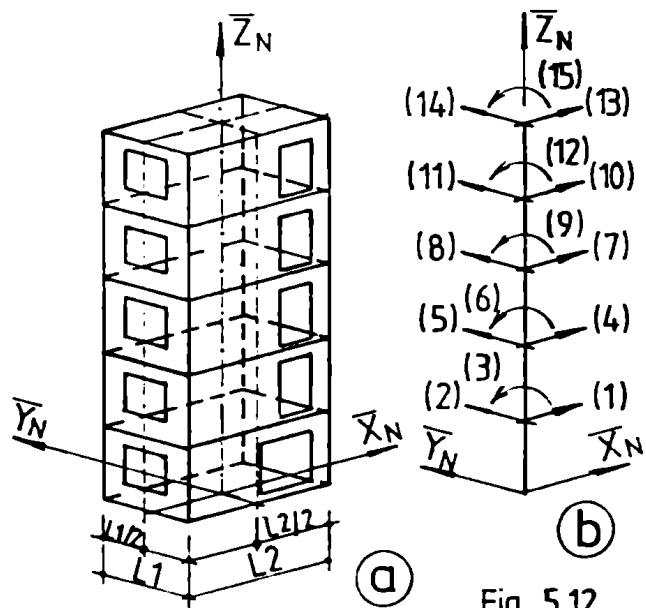


Fig. 5.12

(12, 17, 80).

$$\mathcal{E} = B \{ \bar{\Delta}_i : \bar{\Delta}_d \} \quad (5.54) ; \quad \tilde{\sigma} = [ \mathcal{E} ] \quad (5.55)$$

în care :

- $B$  este o matrice care depinde de tipurile de elemente finite și funcțiile de modelare a deplasărilor acceptate;
  - $C$  este matricea de elasticitate a materialului;
- Calculul ansamblului structural și al elementelor se face pe ipoteze de încărcare; fiecărei ipoteze îi corespunde cîte o coloană separată în matricea încărcărilor și respectiv a deplasărilor, din sistemul general al ecuațiilor de echilibru al structurii.

#### 5.2.2. Procedeul macroelementelor. Varianta A.

Asta o particularizare a procedeului descris la 5.2., în vederea aplicării la :

- a) structuri alcătuite din colonne de elemente spațiale;
- b) structuri mixte alcătuite din colonne de elemente spațiale și panouri de plasou;
- c) structuri alcătuite din nucleu, realizate din panouri prefabricate sau din beton armat monolit și plasoue prefabricate.

În aceste structuri colonale, respectiv nucleare, sunt considerate elemente componente și sunt tratate în calcul ca macroelemente.

Varianta B se aplică cu prioritate în cazul rezonării liniare a elementelor în cadrul coloniei, respectiv a nucleului; se poate aplica însă și în cazul alcăturirii acestora din elemente rezonante concentrat.

Analiza structurii necesită parcursarea etapelor descrise la Varianta A, cu particularizările prevăzute în continuare.

##### 5.2.2.1. Schematicarea structurii.

În fig. 5.9. este exemplificată schema unei structuri mixte, alcătuită din colonne de elemente spațiale și panouri de plasou. Coloanele și panourile sunt conectate cu legături de tip placă metalică amplasate în colțuri, la nivelul plasouelor de tavan.

Legăturile au capacitatea de a prelua forțe axiale și forțe trăietoare în planele orizontale ale plasouelor de tavan. Panourile și fibinăurile sunt modelate la fel ca în varianta a. Coloanele (...) sunt tratate ca macroelemente rezonante liniar la bază, cu cîte patru noduri caracteristice pe nivel, fiecare nod avind două grane

de libertate elastică (translațiiile după axele  $\bar{X}_N, \bar{Y}_N$ ) (fig. 5.9b).

Funcție de alcătuirea constructivă și poziția legăturilor în structură, coloanele pot avea noduri caracteristice suplimentare (fig. 5.10). Iarbările între elementele suprapuse în cadrul coloanei (nucleului) pot fi modelate cu bare echivalente (montanți și diagonale), modelare prin care poste fi lăsată în considerare rigiditatea reală a acestora. (a se vedea paragr. 5.4.2.)

Înfrastructura construcției poste fi tratată separat ca o substructură încărcată cu reacțiunile din nodurile de rezistență ale coloanelor, luate cu sens schimbat. În cazul alcătuirii infrastructurii din prefabricate spațiale monolitizate, iarbările verticale pot fi modelate cu bare echivalente (fig. 5.56a); o schema a coloanei, tratată ca macroelement, pe care se analizează și interacțiunea suprastructură-infrastructură-teren, este prezentată în fig. 5.11. Modelarea terenului de fundație poste fi făcută cu elemente finite în starea plană de eforturi sau cu resorturi, în cazul adoptării ipotezei Winkler. Nodurile caracteristice aparținând infrastructurii su trei grade de libertate.

Iată iarbările orizontale între coloane și între coloane și plăsoare, asigură comportarea plăsoanelor ca șelbe rigide, calculul structurii la forțe orizontale poste fi simplificat prin zidurarea coloanelor cu bare echivalente tip consolă avind cîte trei grade de libertate elastică la nivelul fiecărui plăsoare : translațiiile după axele  $\bar{X}_N, \bar{Y}_N$  și rotația  $\bar{\theta}_z$  în planul  $\bar{X}_N, \bar{Y}_N$  (fig. 5.12) [23], [173].

#### 5.2.4.2. Calculul macroelementelor ca structuri separate.

În vederea analizei, în această etapă, coloanele sunt divizate în elementele spațiale componente.

Calculul elementelor prefabricate (elemente spațiale, panouri) în ipoteza de montaj se face pe sistemele de bază geometric nedeterminate rezultante din tehnologia de execuție (fig. 5.3.).

În calculul la încărcări verticale (permanente și utile) au fost adoptate, scheme din fig. 5.4.c pentru panouri și cea din fig. 5.13 pentru elementele spațiale. Sistemele de bază sunt discretizate în elemente finite. Pentru panouri și elemente spațiale sunt folosite elemente finite de șelbă-dali. Exemple de discretizare sunt date în fig. 5.17.

Sistemul de bază geometric nedeterminat al coloanei se obține prin blocarea deplasărilor pe direcțiile gradelor de libertate elastică ale nodurilor caracteristice. În vederea analizei coloanele sunt modelate cu elemente finite de șelbă și de bare articula-

tă (fig. 5.45), intrucât în ansamblul structurii, (echivalentă din coloane), interesează capacitateile de rezistență și rigiditate ale peretilor și plaselor în planul lor.

În cadrul acestei etape se efectuează următoarele operații de calcul (în sistemele de referință locale).

a) Determinarea vectorilor deplasărilor nodurilor interioare ale panoarilor în fază I de analiză ( $\bar{\Delta}_{ip}^{(1)}$ ), cu relație (5.2.2b)

b) Determinarea vectorilor încărcarilor echivalente pe linii de rezistență ale panoarilor ( $\bar{F}_{ep}$ ), cu relație (5.23). Acești vectori, care conțin forțe și momente încovoietoase, se aplică pe elementele spațiale pe care rezamă panoarile.

c) Determinarea vectorilor încărcarilor echivalente pe linii de rezistență ale elementelor spațiale, cu relație (5.24).

Acești vectori se aplică drept încărcari pe coloanele de elemente spațiale.

d) În cadrul acestei operații sunt determinate direct, prin folosirea unui program de calcul cu elemente finite (de ex. programul PALMS [173]), deplasările ( $\bar{\Delta}_S^{(1)}$ ) și stările de efort-conformitate ( $\bar{U}_S^{(1)}, \bar{E}_S^{(1)}$ ) ale elementelor spațiale în fază (I) de analiză.

e) Determinarea vectorilor deplasărilor nodurilor interioare ale coloanelor în fază (I) de analiză, ( $\bar{\Delta}_{iN}^{(1)}$ ), cu relație (5.40) pe sistemul de bază al acestora.

f) Determinarea vectorilor încărcarilor echivalente în nodurile caracteristice ale coloanelor ( $\bar{F}_{eN}$ ) cu relație (5.5). Acești vectori se aplică drept încărcari pe structura sămbătă din coloane și panoari.

### 5.2.2.3. Determinarea matricelor de rigiditate ale macro-elementelor.

Matricele de rigiditate ale panoarilor, tratate ca macro-elemente, au fost determinate la varianta a. Matricele de rigiditate ale coloanelor (referitoare la nodurile caracteristice) rezultă prin partitionarea matricelor de rigiditate ale structurii acurate (a) după deplasările nodurilor interioare (i) și caracteristice (c), cu relație (5.11).

$$\bar{K}_N = N_{CC} - N_{CI}^{-1} N_{II}^{-1} N_{IC} \quad (556)$$

Matricea  $\bar{K}_N$  este patrată, simetrică și singulară, are suma rul de linii și coloane egal cu numărul gradelor de libertate elastice ale coloanelor tratate ca macroelement (o coloană cu 5 niveluri de tipul din fig. 5.9b are 40 de grade de libertate elastice).

Determinarea termenilor matricii de rigiditate ai coloanei poate fi făcută, ca și la varianta 4, prin aplicarea succesivă de deplasări unitare pe sistemul de bază împărtășind direcțiile gradelor de libertate, valoile acestora fiind chiar reacțiunile din blocaje.

U altă cale de determinare a matricii  $\bar{K}_N$ , aplicată în cadrul programului PALM [173], constă în inversarea matricii de flexibilitate, rezultată prin aplicarea succesivă de forțe unitare după direcțiile gradelor de libertate ale coloanei, fixată în nodurile de rezemare.

#### 5.2.2.4. Formarea sistemului general al ecuațiilor de echilibru al structurii.

În formarea sistemului general al ecuațiilor de echilibru se respectă prevederile de la 5.2.1.4. Deoarece ensemboul structural este alcătuit din  $N$  macroelemente de tip coloană,  $P$  macroelemente de tip panou și  $n$  elemente finite, ecuația generală de echilibru, exprimată în sistemul general de referință (XYZ) (5.47) este

$$\text{în care : } A = K D \quad (5.57)$$

• A este vectorul încărărilor aplicat pe întreaga structură în nodurile acestora, compus din vectorul încărărilor direct aplicate și vectorii încărările echivalente pe coloane  $F_{EN}$ , și pe elementele finite  $F_E$ , conform relației :

$$A = A_N + \sum_1^N F_{EN} + \sum_1^P F_E \quad (5.58)$$

cu ajutorul matricei indicilor (fig.5.8b) și prin relația (5.49).

• K este matricea cu rigiditatea a structurii compusă din matricele macroelementelor ( $K_N$  și  $K_P$ ) și elementelor finite ( $K_E$ ), conform relației (5.44).

$$K = \sum_1^N K_N + \sum_1^P K_P + \sum_1^E K_E \quad (5.59)$$

cu ajutorul matricei indicilor și prin folosirea relației de atribuire (5.4d).

• D este vectorul necunoscut al deplasărilor nodurilor structurii.

Înainte de asamblare, vectorii încărărilor și matricele elementelor sunt transformați din sistemele locale de referință în sistemul general, cu relația (5.36) și (5.39). Prin rezolvarea sistemului general de ecuații rezultă deplasările libere ale nodurilor ( $Z = D^0$ ) și reacțiunile în rezemale structurii ( $A_r$ ).

### 5.2.2.5. Determinarea stărilor de eforturi și deformații

În vectorul deplasărilor nodurilor structurii sunt selecțiați vectorii deplasărilor nodurilor caracteristice ale macroelementelor (și elementelor finite care intră direct în alcătuirea structurii), în fază a două de analiză ( $\bar{\Delta}_C^{(2)}$ ) folosindu-se matricele indicatoare și relație de atribuire (5.50). Prin efectuarea transformărilor cu relațiile (5.37) se obțin deplasările nodurilor caracteristice în sistemele locale de referință  $\bar{\Delta}_{C,P}^{(2)}$ ,  $\bar{\Delta}_{C,N}^{(2)}$  și  $\bar{\Delta}_E^{(2)}$ . Determinarea deplasărilor nodurilor interioare, în fază a două de analiză, pentru perechi se face cu relația (5.51 b) iar pentru coloane cu relație

$$\bar{\Delta}_{i,N}^{(2)} = -N_{ii}^{-1} N_{iC} \bar{\Delta}_{C,N}^{(2)} \quad (5.60)$$

Deplasările finale ale nodurilor caracteristice și interioare ale perechii se determină cu relațiile (5.53) iar deformații specifice și eforturile unitare cu relațiile (5.54) și (5.55). Deplasările finale ale nodurilor caracteristice și interioare ale coloanelor se calculează cu relațiile :

$$\bar{\Delta}_{C,N} = \bar{\Delta}_{C,N}^{(1)} + \bar{\Delta}_{C,N}^{(2)} \quad (5.61a); \quad \bar{\Delta}_{i,N} = \bar{\Delta}_{i,N}^{(1)} + \bar{\Delta}_{i,N}^{(2)} \quad (5.61b)$$

Determinarea deformației specifice și a eforturilor unitare în cuprinsul coloanelor ( $\bar{U}_S^{(1)}, \bar{E}_S^{(1)}$ ) se face cu relațiile (5.54) și (5.55).

Stările finale de eforturi și deformații ale elementelor spațiale se obțin prin însumarea eforturilor unitare, respectiv deformației specifice, rezultate în fază (1) de analiză pe elementele spațiale ( $\bar{U}_S^{(1)}, \bar{E}_S^{(1)}$ ), cu eforturile unitare, respectiv deformații specifice finale rezultate din calculul coloanelor ( $\bar{U}_S^{(N)}, \bar{E}_S^{(N)}$ ).  $\bar{U}_S = \bar{U}_S^{(1)} + \bar{U}_S^{(N)} \quad (5.62a); \quad \bar{E}_S = \bar{E}_S^{(1)} + \bar{E}_S^{(N)} \quad (5.62b)$

Procedeul macroelementelor, variante b a fost folosit la elaborarea, în cadrul I.C.I.A., de către ing. Loga A., în colaborare cu autorul acestei lucrări și cu asistență tehnică a ing. D. Căpățind și met. Dr. Cocozza de la I..C.T., a programului PALSS (Program pentru analiza Liniară a structurilor din Elemente Spațiale) [52, 173]. Primele variante ale programului au fost专sionate pentru structuri din elemente spațiale [23, 51], iar ultima variantă [173] are un domeniu de utilizare extins la analiza structurilor etajate plane sau spațiale, formate din bare de codru spațial, plăci plane încoviate și diafragme secționate static și/ sau seismic.

### 5.2.3. Procedeu macroelementelor. Varianta C.

Conform cu varianta B, elementele spațiale sunt discretizate în elemente finite de șerbă-dală încolțite, în elemente finite de șerbă și de bază articulată; acest mod de discretizare conduce la falosirea judecătoarei memoriei calculatorului și facilitează modelarea comportării imbinărilor, dar necesită discretizare separată a elementelor spațiale și a coloanelor.

Aici se renunță la aceste avanaje, principial, analina unei structuri alcătuite din coloane de elemente spațiale și panouri (fig. 5.9), se face în trei faze. În prima fază elementele spațiale și panourile sunt considerate ca structuri separate discretizate în elemente finite, în fază a doua elementele spațiale, tratate ca macroelemente, sunt asamblate în coloane, iar în fază a treia coloanele și panourile, tratate ca macroelemente, sunt asamblate în structură generală.

#### Faza I : analiza panourilor și a elementelor spațiale ca structuri separate.

Ipoteza de montaj și ipoteza de încărcări permanente (care se aplică pe elemente insinătă efectuării imbinărilor în structură), se tratează pe sistemele de bază prezentate în fig. 5.3, 5.13 și conform celor stabilite la pct. 5.2.2.2. operațiile a, b, c, d. pentru aceste ipoteze se determină direct, vectorul deplasărilor nodurilor ( $\Delta^{(e)}$ ), încărările echivalente pe liniiile de rezistență ( $P_e^{(e)}$ ), și stările de efort-deformare ( $\sigma^{(e)}$ ,  $E^{(e)}$ ) ale elementelor prefabricate.

În această fază elementele prefabricate (panouri și elemente spațiale) sunt discretizate în elemente finite de șerbă-dală.

Sistemul de bază, geometric nedeterminat al panourilor tratate ca macroelemente, este prezentat în fig. 5.5.c.

Sistemul de bază al elementelor spațiale, tratate ca macroelemente ale coloanei, se stabilește ținând cont de conexiunile care se efectuează în lungul muchiilor orizontale ale elementelor suprapuse. Intrucât conexiunile influențează numai starea plană de eforturi a elementelor spațiale, sistemul de bază se obține prin blocarea, pe muchiile orizontale, a deplasărilor aferente acestei stări (translațiile după axele X, Y, Z). (fig. 5.14 a). Elementele spațiale sunt discretizate, pe sistemele de bază, în elemente finite de șerbă-dală. Deoarece matricile de rigiditate ale acestora ( $S$ ), asamblate din matricele elementelor finite, sunt rezanjate și partionate după direcțiile deplasărilor libere (l) și blocate (x)

ale nodurilor, pot fi determinate, pe sistemul de bază :

- Încărcările echivalente după direcțiile blocate cu relația (5.24)  $F_{e,s} = F_{n,s} - S_{r,l} S_{ll}^{-1} F_{l,s}$  (5.63a)

- Matricele de rigiditate ale elementelor spațiale ca macroelemente ( $K_s$ ), cu relația (5.11).

$$K_s = S_{rr} - S_{rl} S_{ll}^{-1} S_{lr} \quad (5.63b)$$

- Vectorul deplasărilor libere, în prima fază de analiză, ( $\Delta_{l,s}^{(1)}$ ) cu relația (5.22a), și anulindu-se deplasările pe direcțiile blocate.

$$\Delta_{l,s}^{(1)} = S_{ll}^{-1} F_{l,s} \quad (5.63c) ; \quad \Delta_{r,s}^{(1)} = 0$$

În aceste deplasări se selectează vectorii deplasărilor nodurilor interioare și vectorii deplasărilor nodurilor caracteristice în prima fază de analiză.  $\Delta_{i,s}^{(1)}$ ;  $\Delta_{c,s}^{(1)}$

aza 2 : asamblarea coloanelor din elemente spațiale tratate ca macroelemente

În această fază coloanele se consideră structuri independente; sistemul de bază, geometric nedeterminat, se stabilește prin blocarea translațiilor cupă axele  $X_N, Y_N, Z_N$ , ale nodurilor de conexiune ( $c,N$ ) din structura generală (fig. 5.14b); nodurile de pe liniile de conexiune a elementelor spațiale în coloană (muchiile orizontale ale elementelor spațiale) sunt notate cu  $i,N$  (interioare, pentru coloana  $N$ ).

Pentru fiecare coloană, tratată ca structură independentă, se efectuează următoarele operații de calcul :

a) Determinarea încărcărilor pe coloană cu relație (5.15) și respectând principiile de la pct. 5.2.1.4.

$$F_N = F_{n,N} + \sum F_{e,s} + \sum F_{e,s}^{(e)} \quad (5.63d)$$

b) Determinarea matricelor de rigiditate a coloanei prin asamblarea matricelor macroelementelor componente după principiile stabilite la pct. 5.2.1.4.

$$N = \sum K_s \quad (5.63e)$$

c) Menținerea sistemului ecuațiilor de echilibru al coloanei

$$N \Delta_{i,N}^{(2)} = F_N \quad (5.63f)$$

și determinarea deplasărilor consecutive ale nodurilor interioare ( $\Delta_{i,N}^{(2)}$ ).

Deplasările  $\Delta_{i,N}^{(2)} = N F_N$  și  $\Delta_{c,N}^{(2)} = 0$ , alcătuind vectorul deplasărilor nodurilor caracteristice ale elementului spațial în fază (2) de analiză ( $\Delta_{c,S}^{(2)}$ ).

Cu relația (5.51) se determină deplasările libere în fază (2) ale nodurilor elementelor spațiale.

$$\Delta_{l,s}^{(2)} = -S_{ll}^{-1} S_{lr} \Delta_{c,s}^{(2)} \quad (5.63g)$$

Din care se selectează vectorul deplasărilor nodurilor interioare ale acestora în fază (2) ( $\Delta_{l,s}^{(2)}$ ).

d) Determinarea matricei de rigiditate a coloanei, ca macro-element al structurii generale, prin partionarea matricei de rigiditate a acesteia ca structură independentă ( $N$ ) după disetaile nodurilor interioare ( $i,N$ ) și caracteristice ( $c,N$ ) cu relație (5.11)

$$K_N = N_{CC} - N_{Cj} N_{jj}^{-1} N_{jC} \quad (5.63h)$$

e) Determinarea vectorului încărcărilor echivalente din nodurile caracteristice ale coloanei ca macroelement, cu relație (5.5.)

$$F_{e,N} = F_{N,N} - N_{Cj} N_{jj}^{-1} F_{j,N} \quad (5.63i)$$

~~rezolvarea sistemului general al ecuațiilor de echilibru~~  
~~în fază (2) este realizată ca macroelement.~~

Această fază de calcul se desfășoară conform celor stabilite la pt. 5.4.4.

În rezolvarea sistemului general al ecuațiilor de echilibru (5.57) rezultă deplasările nodurilor de conexiune  $\Delta_{c,N}^{(3)}$ . Cu relația (5.56) se determină deplasările nodurilor interioare ale coloanelor în fază (3) de analiză ( $\Delta_{i,N}^{(3)}$ ).  $\Delta_{i,N}^{(3)} = -N_{jj}^{-1} N_{jC} \Delta_{c,N}^{(3)} \quad (5.63j)$

Vectorii  $\Delta_{c,N}^{(3)}$  și  $\Delta_{i,N}^{(3)}$  alcătuiesc vectorul  $\Delta_{l,s}^{(3)}$ , și cu relația (5.51) se calculează vectorul deplasărilor libere ale elementului spațial în fază (3) ( $\Delta_{l,s}^{(3)}$ ).

$$\Delta_{l,s}^{(3)} = -S_{ll}^{-1} S_{lr} \Delta_{c,s}^{(3)} \quad (5.63k)$$

în care se selectează vectorii deplasărilor nodurilor interioare, respectiv caracteristice  $\Delta_{l,s}^{(3)}$ ;  $\Delta_{c,s}^{(3)}$ .

Vectorul deplasărilor totale, ale nodurilor elementelor spațiale, din calculul pe structură rezultă prin însumarea vectorilor deplasări aferenți celor trei faze:

$$\Delta_{l,s} = \Delta_{l,s}^{(1)} + \Delta_{l,s}^{(2)} + \Delta_{l,s}^{(3)}; \quad \Delta_{c,s} = \Delta_{c,s}^{(1)} + \Delta_{c,s}^{(2)} + \Delta_{c,s}^{(3)} \quad (5.63l)$$

Pentru ~~puncturi~~ există numai ~~trei~~ fazele 1 și 3.

Cunoscindu-se deplasările totale ale nodurilor, cu relațiile (5.54) și (5.55) pot fi determinate vectorii coloană și deformațiilor specifice ( $\varepsilon$ ), respectiv ai tensiunilor ( $\sigma$ ) aferenți calculului pe structură.

$$\sigma_f = \sigma^{(e)} + \sigma^{\text{de}}; \quad \varepsilon_f = \varepsilon^{(e)} + \varepsilon^{\text{de}} \quad (5.63m)$$

Stările finale de eforturi și deformații ale elementelor prefabricate incorporate în structură se obțin prin însumarea eforturilor, respectiv deformațiilor, rezultante din calculul pe elemente în fază (1) ( $\sigma^{\text{de}}, \varepsilon^{\text{de}}$ ) cu cele rezultante din calculul pe structură ( $\sigma, \varepsilon$ ) (5.63m).

SCHEMA BLOC A OPERATIILOR IN ANALIZA UNEI STRUCTURI  
CU PROCEDEUL MACROELEMENTELOR

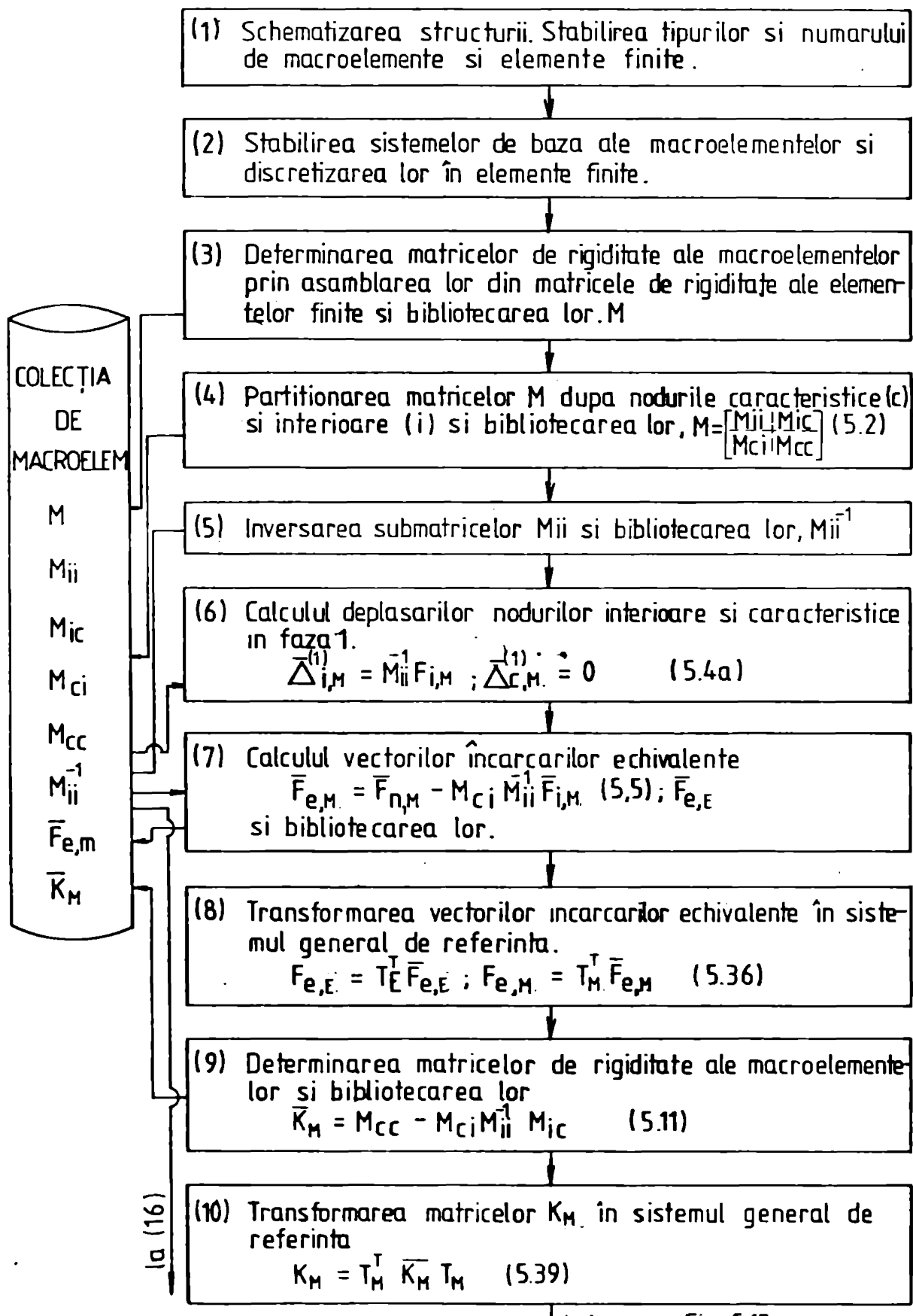


Fig. 5.15

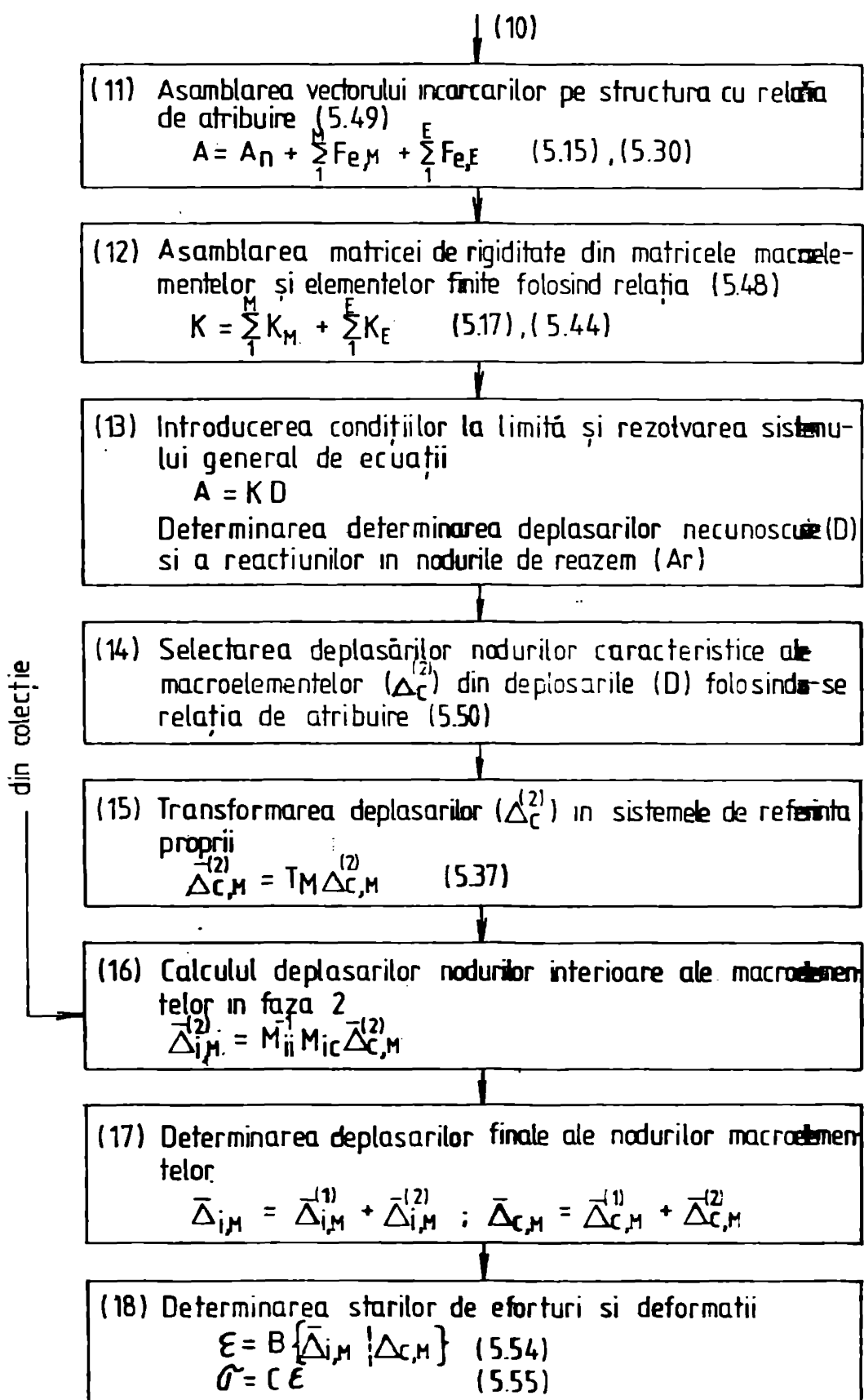


Fig. 5.15 (continuare)

stările finale de eforturi și deformații pot fi determinate prin program, pentru diferite ipoteze de încarcare, separat pe elemente și pe structura și/sau însușite.

### 5.3. EXPERIMENTAȚII NUMERICE ALE ORGANISMULUI SPATIAL

În vederea cunoașterii diferențelor stări de eforturi și deformații, au fost efectuate experimentări numerice pe trei serii de elemente spațiale. În cadrul seriilor 1 și 2 a fost analizată influența următorilor parametrii :

- prezența, poziție și numărul golurilor pentru uși și ferestre,
- locul de rezervare a elementelor în structură : linier și concentrat pe colțuri,
- sistemul constructiv de alcătuire a elementelor spațiale rezultat din tehnologie de fabricație.,
- Imperfecțiunile de fabricație și montaj. .

În cadrul seriei 3 au fost analizate elementele spațiale neconvenționale, sub formă de cuvă. A fost adoptat un model de calcul prin care s-a luat în considerație interacțiunea structurii cu terenul de fundație.

Experimentările au fost efectuate cu metoda elementelor finite, în stadiul elastic, folosindu-se programele de calcul SAR 4 [171] și PALAS [173].

#### 5.3.1. Experimentări numerice pe elemente spațiale. seria 1

Elementele spațiale sunt de tip panier culcat (5 fețe turnate monolit și panoul de fată că articulet pe contur). Seria 1 cuprinde următoarele elemente : elementele spațiale E1L...E4L reprezintă linier (L), elementele spațiale E1C...E4C reprezintă concentrat pe colțuri (C), elementele spațiale E3M și E4M suspendate în dispozitivul de montaj (M) și placile de plasaj P 1 (articulate pe contur) și P 2 (încastrate pe trei laturi și articulată pe a patra), (fig. 5.1a) Poziție și numărul golurilor sunt prezentate în figură : elementele - 1 sunt fără goluri, iar elementele - 4 au goluri mari. În perioade de manipulare, elementele cu goluri mari sunt prevăzute cu tiranți demontabili care susțin plaseul de percoșere. Reste elementele sunt prevăzute din beton armat F250 (Bv.20); grosimea plaseelor este 9 cm iar a peretilor 7 cm. Experimentările au fost efectuate în următoarele ipoteze de încarcare :

- Ipoteza 1 : încărcarea verticală  $q_1 = 100 \text{ daN/m}^2$  aplicată pe planșeul de tavan (E1L).

- Ipoteza 2 : încărcarea verticală  $q_2 = 100 \text{ daN/m}^2$  aplicată pe planșeul de pardoseală (E1L).

- Ipoteza 3 : încărcari din greutate proprie (elementele sunt finisate) și sarcini utilă pe planșeul de pardoseală în gruparea fundamentală (încărcarea echivalentă pe planșe  $q_1 = 250 \text{ daN/m}^2$ ,  $q_2 = 560 \text{ daN/m}^2$  (E1L...E4L, E1C...E4C, P1, P2)).

- Ipoteza 4 : încărcari normale din greutatea proprie a elementelor finisate, măritate cu coeficientul cinematic ( $\zeta_d = 1.25$  (3/3 + 4 + 1)).

Deoarece utilizat elemente finite de șabă - delă, schema de discretizare este prezentată în fig. 5.17.

Intrucit planșele de pardoseală și de tavan ale elementelor E4L au rigidități diferite, interacțiunile între ele, la suprapunere în coloană, a fost analizată cu modelul din fig. 5.18. Stratul de mortor de grosime de 2 cm, a fost modelat cu elemente finite sub formă de pandă. Forțele de interacțiune rezultante (fig. 5.18b) au fost aplicate ca forțe suplimentare pe elementul E4L.

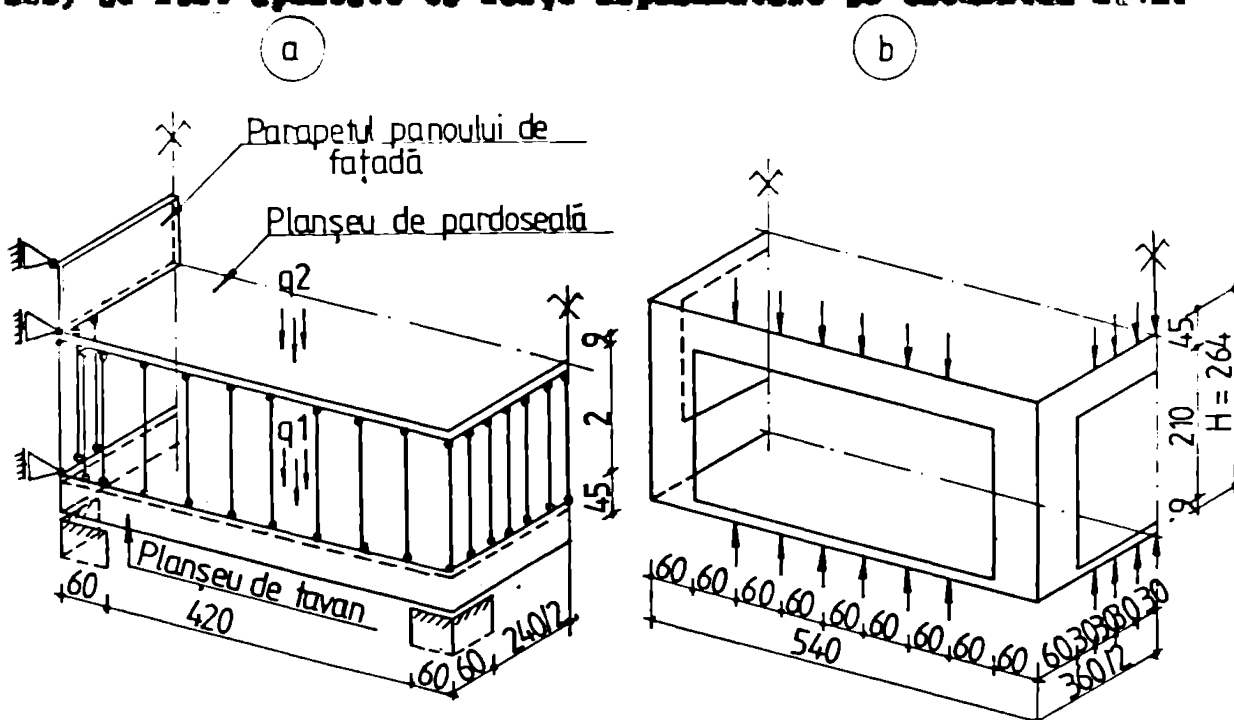
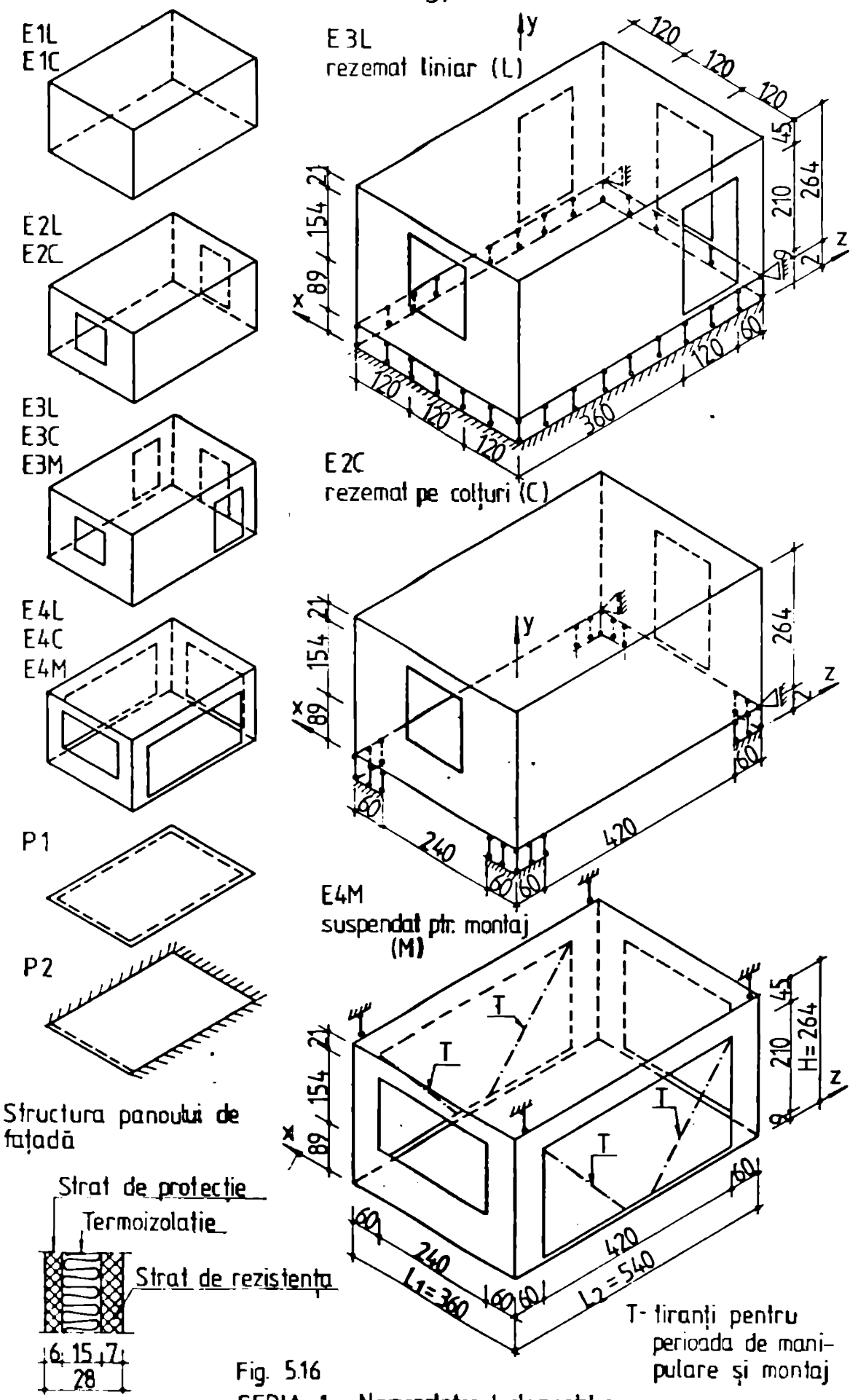


Fig. 5.18

(a) - Modelul de calcul a forțelor de interacțiune între planșele suprapuse în coloană ale elementelor E4L

(b) - Forțele de interacțiune aplicate pe elementul E4L

**Rezultatele experimentărilor sunt prezentate în figurile 5.20 la 5.28 și tabelele 5.1 la 5.8.**



98

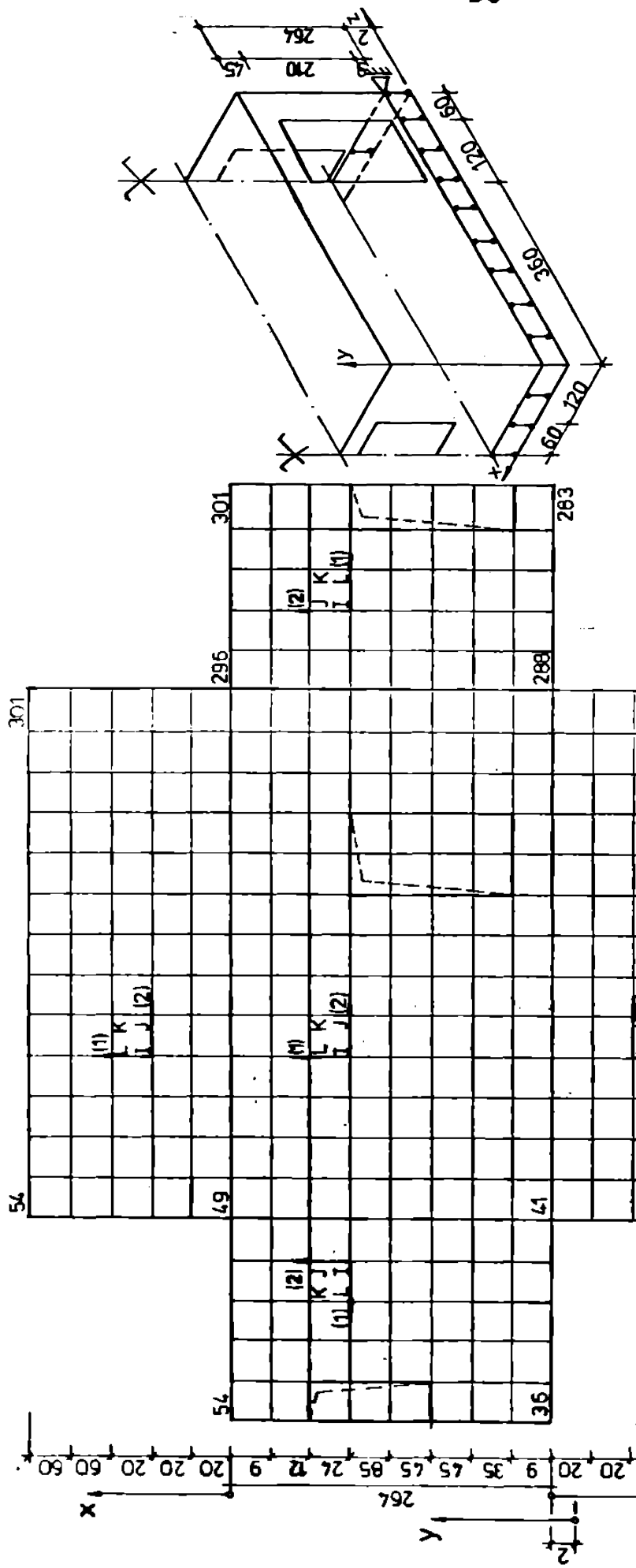
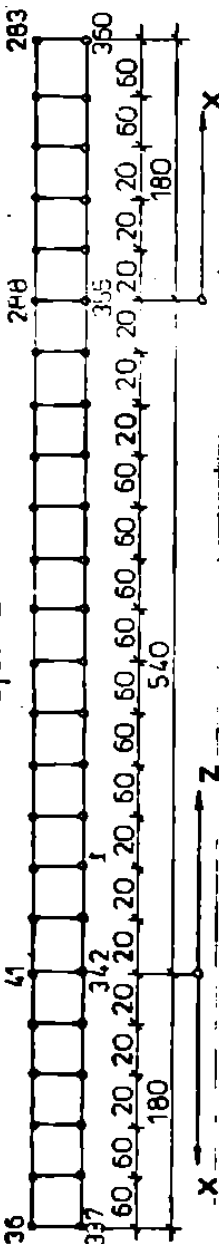


Fig. 5.17

SERIA 1 de elemente spatiale  
Schema de discretizare în  
elemente finite.



Analizindu-se distribuția rezistenților pe liniile de rezemare ale elementelor SLL, nSL (fig. 5.19) se pot face următoarele constatări :

- Încărcarea uniform repartizată pe planșoul de tevan conduce la o distribuție cu creșterea compresiunilor pe colțuri (fig. 5.19 a),

- Încărcarea uniform repartizată pe planșoul de pardoseală conduce la o distribuție cu concentrări de întinderi pe colțuri (fig. 5.19 b),

- Încărcarea din greutatea proprie a elementului și din sarcina utilă aplicată pe planșoul de pardoseală (ipoteza 3), conduce la o distribuție neuniformă cu descărcarea colțurilor (fig. 5.19 c, d). Distribuția este explicabilă prin tendința planșelor de a ridica colțurile (fig. 5.20).

- Prezența galurilor de ușă în peretele longitudinal (nSL) conduce la o scădere a coeficientului de uniformitate a distribuției de la 0.90 la 0.73.

Analizindu-se variația deplasărilor și distribuția momentelor încovoietașre, în diferite secțiuni caracteristice (fig. 5.21... 5.26 și tabelele 5.1...5.6), se pot face următoarele constatări :

- Creșterea numărului și mărimii galurilor în peretii elementelor spațiale conduce la creșterea săgeților și momentelor încovoietașre în peretii și planșele acestora.

- Încastriile elastice în lungul anchiilor micșorează săgețile și momentele încovoietașre ale planșelor elementelor spațiale; acestea se inseră între valoarele pentru plăcile etajelor P1 (articulată pe centură) și P2 (încastrată pe trei laturi și articulată pe o parte). Fecă exceptie elementele cu goluri mari SLL și SAC, ale căror planșe au deplasări și momente încovoietașre mai mari decât ale plăcii P1.

- Deplasările și momentele încovoietașre ale planșelor de pardoseală sunt mai mari în cazul rezemării pe colțuri față de rezemări liniare.

- Săgețile și momentele încovoietașre, în ipoteza de montaj, sunt mai mici decât în ipoteza 3, de exploatare, (planșele de pardoseală ale elementelor cu goluri mari sunt susținute cu tiranți în perioada de execuție).

Din analiza eforturilor unitare în starea plană (fig. 5.27; 5.28) se pot face următoarele constatări :

- Afurările unitare de membrană au valori mici, nesemnificative, în cazul elementelor curante rezemate liniar (nLL și nSL).

- Veloxile secrete devin semnificative la elementele rezente pe colțuri (fig.5.27 a), la elementele cu galazi mari (fig. 5.27 b,c) și la teste elementele spațiale în ipoteza de montaj (fig. 5.27 d; 5.28).

- În secțiunee transversale curență a elementelor rezente pe colțuri, distribuția eforturilor unitare  $\tilde{\sigma}_z$  indică compresiuni în planșeul de tavan și întinderi în planșeul de pereteșală. Elementul cu pereti plini lucrează ca o grină comună (fig.5.27 a). În distribuție eforturilor unitare  $\tilde{\sigma}_z$  în planșeul de tavan al elementului cu galuri (fig. 5.27 b), se observă conlucrarea plăcii cu rigle buiandregului în testă secțiunee transversale. Determinarea unei lățimi active de placă (bp) din condiție de egalitate a efortului total de compresiune din placă rezală cu efortul echivalent rezultat din efortul unitar  $\tilde{\sigma}_z$  reprezentat uniform în secțiunee sețivă (bp,hg) și având valoarea marimă de la întinerarea plăcii cu rigle ( $\tilde{\sigma}_z = 2,396 \text{ daN/cm}^2$ ), conduce, în cazul concret, la o valoare bp = 69.9 cm. După STAS 1a107/o-76 rezultă o valoare bp = 42 cm, iar după Instrucțiunile P.85-82 [163] o valoare bp = 70 cm.

- În ipoteza de montaj, eforturile unitare de mărișană se concentrează în zonele buoniilor și în jurul galuzilor (fig.5.28).

Referitor la elementele spațiale cu galazi mari în pereti se fac următoarele constatări :

- În cazul rezecării liniare, din intersecțiunile planșeelor cu rigidități diferite, care se suprapun, rezultă deschiderea planșeelor de pereteșală și supraîncărcarea planșeelor de tavan (mai rigide), (fig.5.18);

- Planșele elementelor spațiale cu galazi mari au momente-incovoiștoare și deplasări mai mari, (respectiv rigidități mai mici), decât placă etalon articulată pe centru (P1), (fig. 5.21; 5.24);

- Eforturile unitare aferente stârpii plane, se valozi semnificative în cazul elementelor cu galazi mari (fig.5.27 b,c), care indică solicitarea cu momente încovoiștoase mari a buiandregilor și montanților; pentru prelucrarea acestora este necesară o alcătuire conformă cu stările de efort-deformare, prin care să se asigure secțiuni corespunzătoare de beton și armătura [29].

### 5.3.2. Experimentări numerice pe elemente spațiale Seria 2

În cadrul seriei 2 au fost analizate comparativ șapte sisteme constructive de elemente spațiale, rezultate din tehnologiile de fabricație : la cintările și ... F prezentate în paragraful 2.1

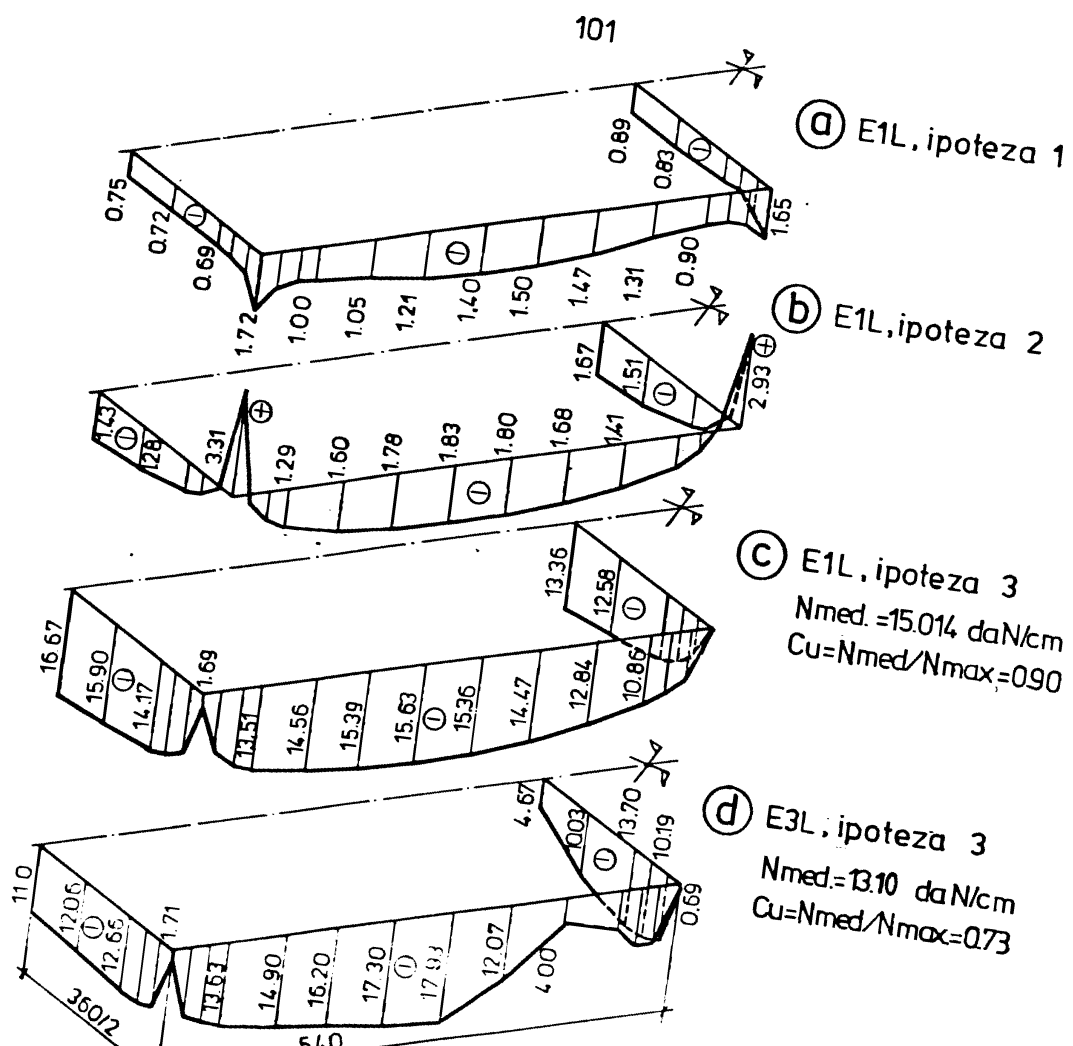


Fig.5.19 @..@ Reactiuni pe suprafata de rezemare [da N/cm]

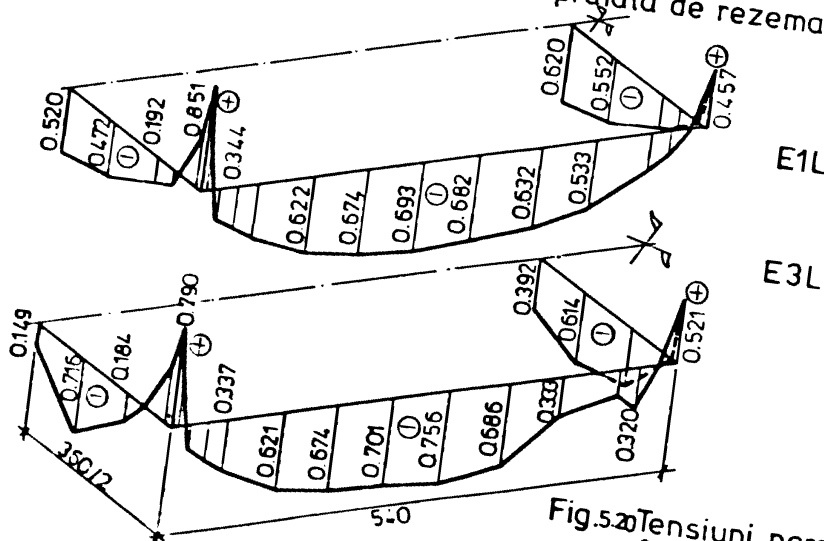
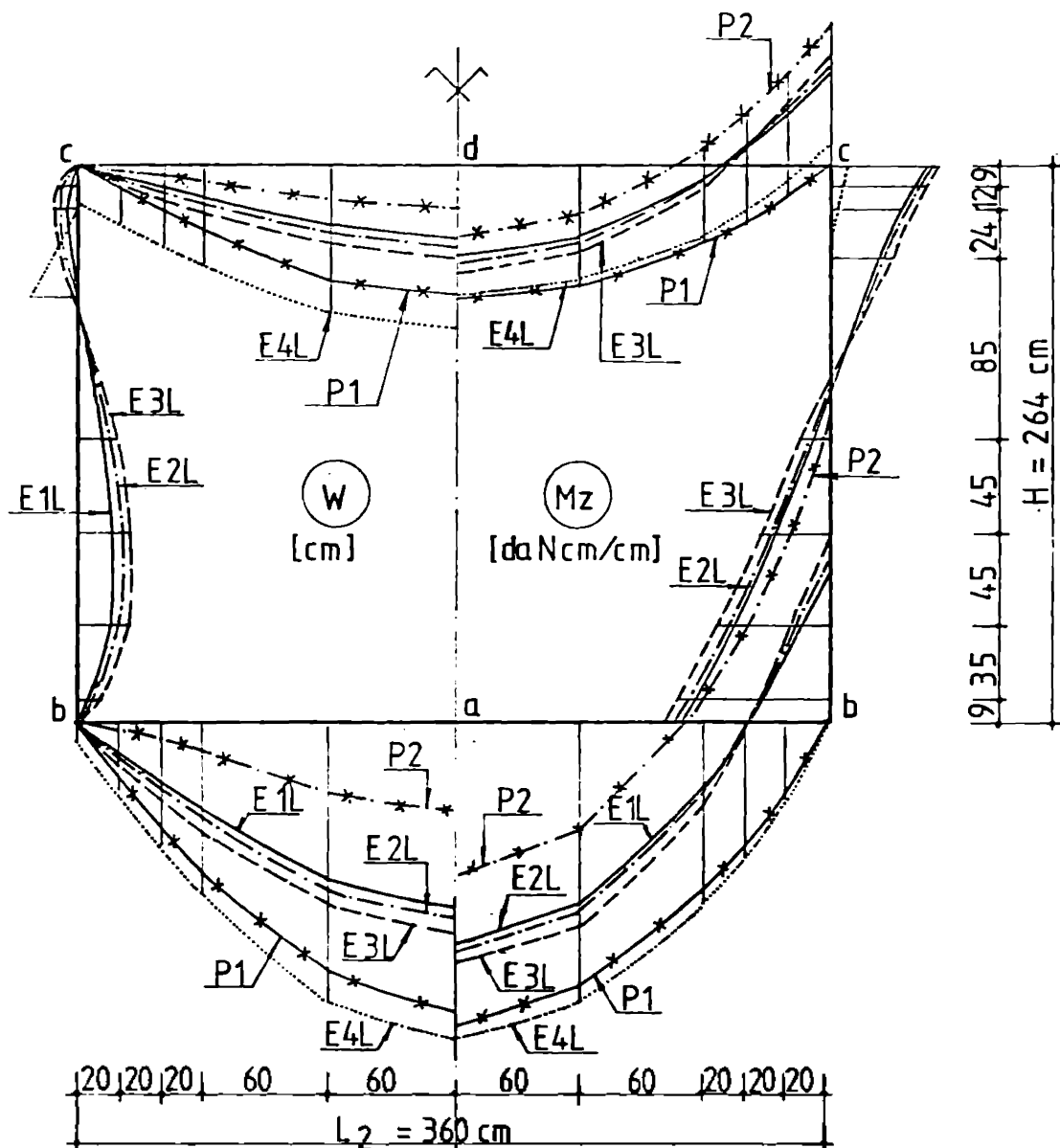
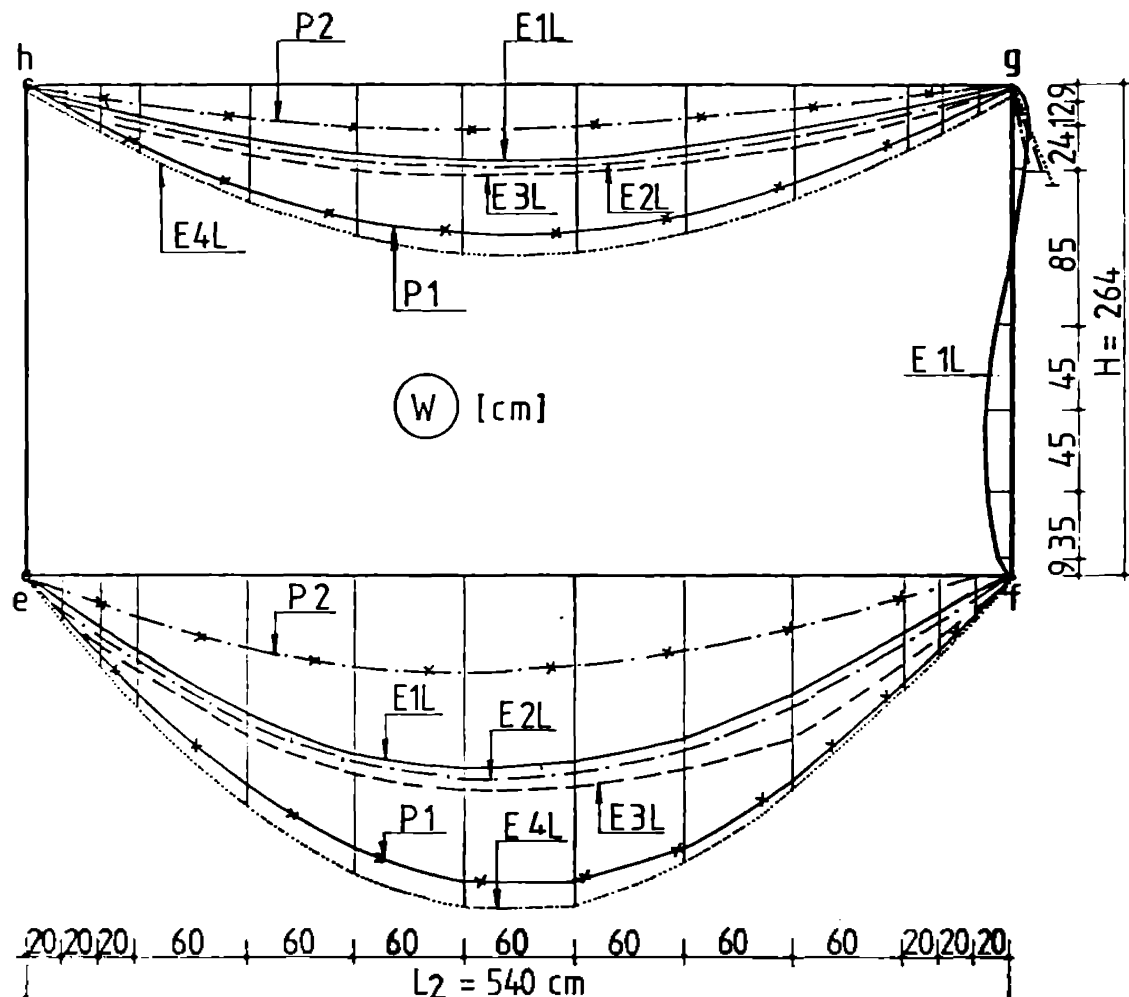


Fig.5.20 Tensiuni normale  $\sigma_y$  [daN/cm<sup>2</sup>]  
 în secțiunea  $y=257\text{cm}$ ,  
 ipoteza 3

Fig. 5.21 - Săgeți  $W$  și momente încov.  $M_z$  în secț. transv.  $z = 240\text{cm}$ 

Tabel 5.1

Elem.	Momente încov. [da Ncm/cm]				Săgeți, cm		
	$M_a$	$M_b$	$M_c$	$M_d$	$W_a$	$W_d$	$W_{max.b,c}$
$E_{1L}$	422	285	178	173	0.2673	0.1020	0.0564
$E_{2L}$	428	288	180	175	0.2713	0.1029	0.0575
$E_{3L}$	444	301	185	177	0.2846	0.1054	0.0610
$E_{4L}$	597	14	26	252	0.4524	0.2282	0.0642
$P_1$	565	0	0	256	0.4143	0.1880	0
$P_2$	291	572	260	132	0.1288	0.0584	0
$E_{1C}$	422	285	177	173	0.2726	0.1055	0.0564
$E_{2C}$	428	287	179	174	0.2768	0.1061	0.0575
$E_{3C}$	443	310	194	176	0.2996	0.1184	0.0609
$E_{4C}$	519	0	23	231	0.4999	0.1804	0.0606
$E_{3M}$	301	230	187	206	0.2090	0.1447	0.0329
$E_{4M}$	375	0	30	257	0.3010	0.2008	0.0680

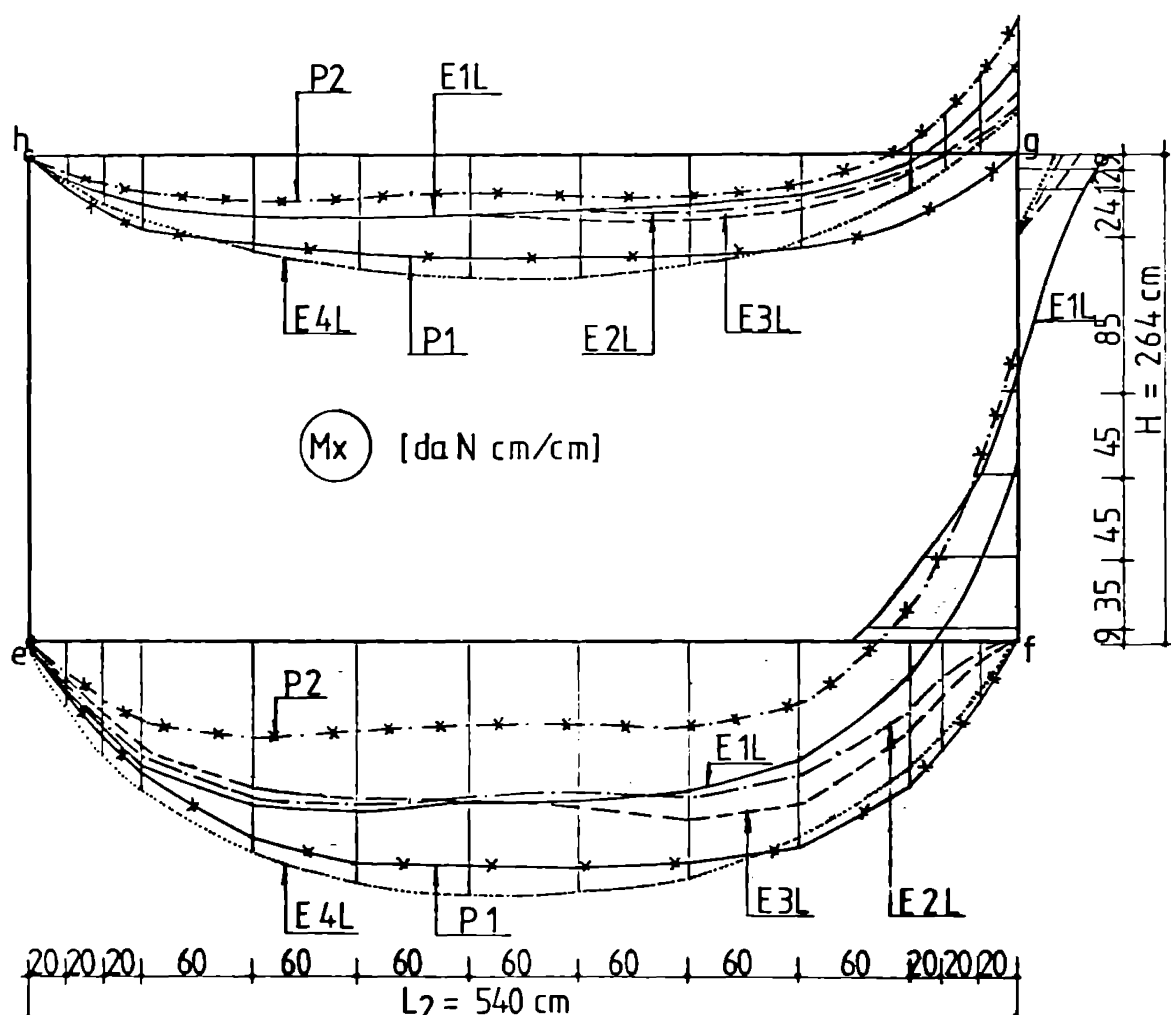
Fig. 5.22 Sägefläche in sect long.  $x = 180$  cm.

Tabel 5.2

Element	E1L	E2L	E3L	E4L	P1	P2
W <sub>e,f</sub>	0,2673	0,2716	0,2856	0,4524	0,4143	0,1288
W <sub>g,h</sub>	0,1020	0,1029	0,1054	0,2282	0,1880	0,0584
W <sub>f,g</sub>	0,0296	0,0176	0,0181	0,0450	—	—

Tabel 5.3

Element	E1C	E2C	E3C	E4C	E3M	E4M
W <sub>e,f</sub>	0,2726	0,2733	0,3016	0,4986	0,2090	0,3010
W <sub>g,h</sub>	0,1055	0,1061	0,1184	0,1806	0,1447	0,2008
W <sub>f,g</sub>	0,0299	0,0169	0,0339	0,0384	0,0359	0,0387

Fig. 5.23 Momente încov.  $M_x$  în secț. long.  $x = 180 \text{ cm}$ 

Tabel 5.4

Element	$E_{1L}$	$E_{2L}$	$E_{3L}$	$E_{4L}$	$P_1$	$P_2$
$M_x, \text{max}$ daN cm/cm	$M_{g-h}$ 84	$M_g$ 83	$M_f$ 86	$M_{g-f}$ 168	$M_0$ 139	$M_{g-f}$ 56
	$M_g$ 118	$M_f$ 67	$M_0$ 74	$M_{g-f}$ 26	$M_{g-f}$ 0	$M_g$ 188
	$M_f$ 231	$M_0$ 26	$M_{g-f}$ 28	$M_{g-f}$ 0	$M_{g-f}$ 0	$M_f$ 414
	$M_{g-f}$ 215	$M_g$ 214	$M_{g-f}$ 230	$M_g$ 245	$M_f$ 307	$M_g$ 118

Tabel 5.5

Element	$E_{1C}$	$E_{2C}$	$E_{3C}$	$E_{4C}$	$E_{3M}$	$E_{4M}$
$M_x, \text{max}$ daN cm/cm	$M_{g-h}$ 85	$M_g$ 84	$M_f$ 94	$M_{g-f}$ 136	$M_0$ 110	$M_g$ 150
	$M_g$ 118	$M_f$ 69	$M_0$ 82	$M_{g-f}$ 44	$M_g$ 83	$M_f$ 49
	$M_f$ 231	$M_0$ 39	$M_{g-f}$ 45	$M_{g-f}$ 0	$M_g$ 52	$M_{g-f}$ 0
	$M_{g-f}$ 217	$M_g$ 216	$M_{g-f}$ 215	$M_g$ 378	$M_f$ 165	$M_g$ 204

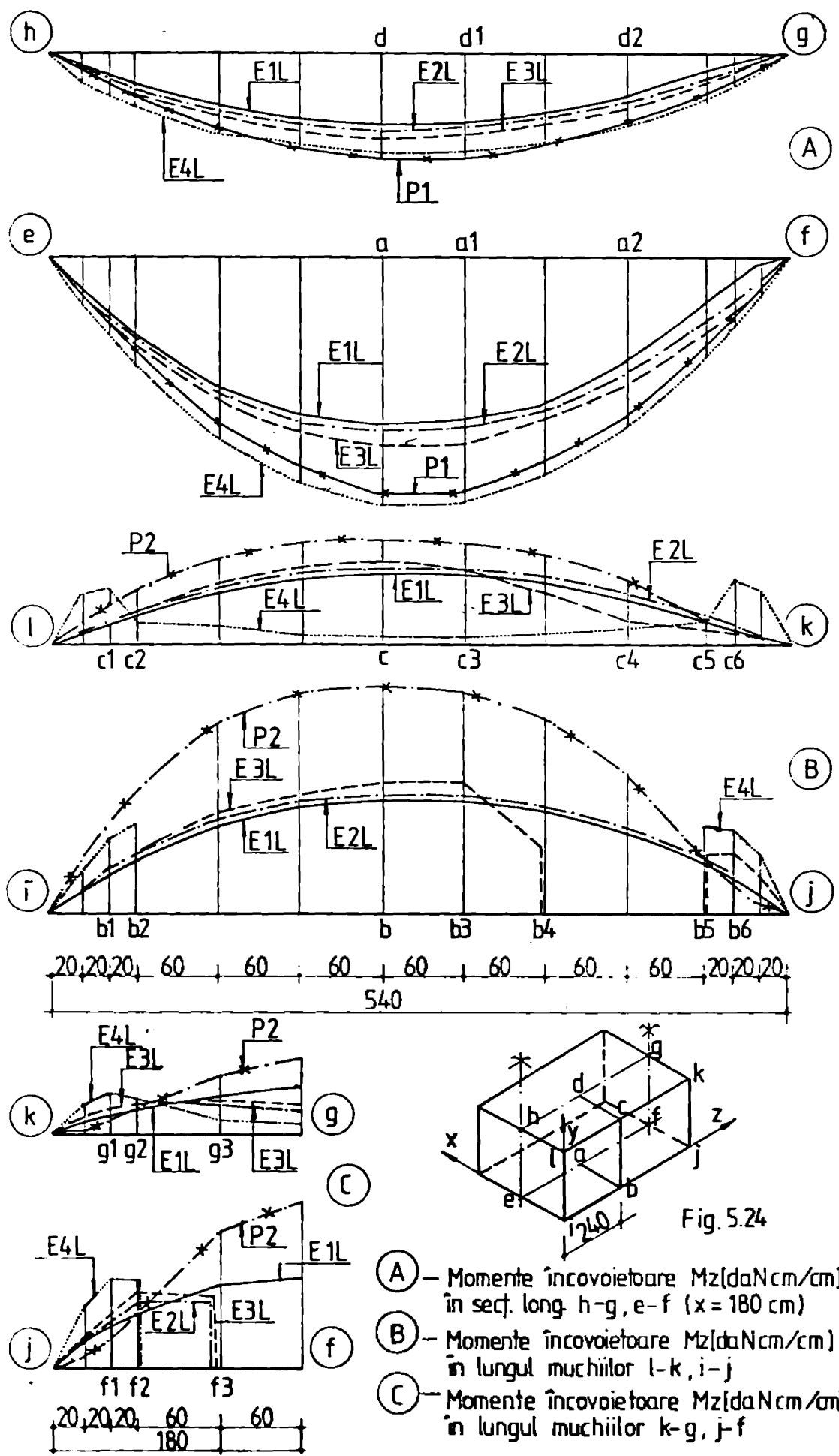


Fig. 5.24

- (A) - Momente încovoietoare  $M_z$ [daNcm/cm] în secț. lung. h-g, e-f ( $x = 180$  cm)
- (B) - Momente încovoietoare  $M_z$ [daNcm/cm] în lungul muchiilor l-k, i-j
- (C) - Momente încovoietoare  $M_z$ [daNcm/cm] în lungul muchiilor k-g, j-f

## 106

Mz [da N cm/cm] in sect. long. x = 180 cm, h-g, e-f, Tabel 5.6

	ELEMENT										
	E1L	E2L	E3L	E4L	P1	E1C	E2C	E3C	E4C	E3M	E4M
d	173	174	177	252	256	173	174	176	231	206	257
d1	169	172	174	249	256	169	171	171	228	202	253
d2	108	115	115	180	176	108	114	112	158	135	176
a	422	428	444	597	565	422	428	443	519	301	375
a1	413	423	440	594	565	414	423	437	518	296	375
a2	268	292	301	422	397	269	295	303	402	204	277

Mz[da N cm/cm] in lungul muchiilor l-k, i-j

Tabel 5.7

	ELEMENT										
	E1L	E2L	E3L	E4L	P2	E1C	E2C	E3C	E4C	E3M	E4M
c1	53	59	56	149	99	56	56	56	68	194	124
c2	77	80	79	51	138	76	76	64	66	33	55
c	178	179	186	22	260	176	178	184	17	162	19
c3	174	176	180	21	251	173	175	171	17	162	18
c4	110	114	62	45	157	108	115	60	44	111	47
c5	60	62	37	51	64	52	59	42	59	31	42
c6	43	44	36	115	32	38	45	55	72	150	141
b1	95	96	97	168	218	107	107	117	185	71	155
b2	133	134	136	227	304	139	139	150	327	82	138
b	285	287	301	0	572	283	286	300	0	221	0
b3	280	285	313	0	553	278	283	311	0	230	0
b4	251	260	160	0	484	250	259	122	0	86	0
b5	121	129	143	207	140	126	135	188	356	144	145
b6	93	98	147	216	70	104	109	149	215	62	161

Mx[da N cm/cm] in lungul muchiilor k-g, j-f

Tabel 5.8

	ELEMENT										
	E1L	E2L	E3L	E4L	P2	E1C	E2C	E3C	E4C	E3M	E4M
g1	34	11	20	95	32	41	45	15	72	59	71
g2	49	71	67	68	64	54	77	97	67	100	73
g3	97	72	82	35	153	99	72	93	56	94	61
g	118	67	74	36	188	118	67	82	42	83	46
f1	99	118	129	222	70	107	125	150	119	86	162
f2	130	167	183	214	140	134	174	207	165	145	147
f3	203	168	179	0	336	199	170	190	0	146	0
f	231	0	0	0	414	231	0	0	0	0	0

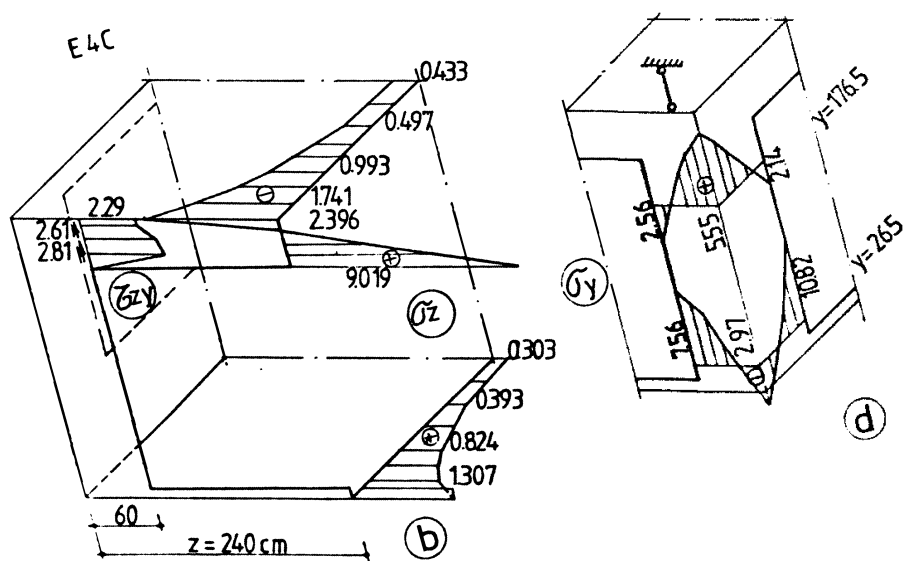
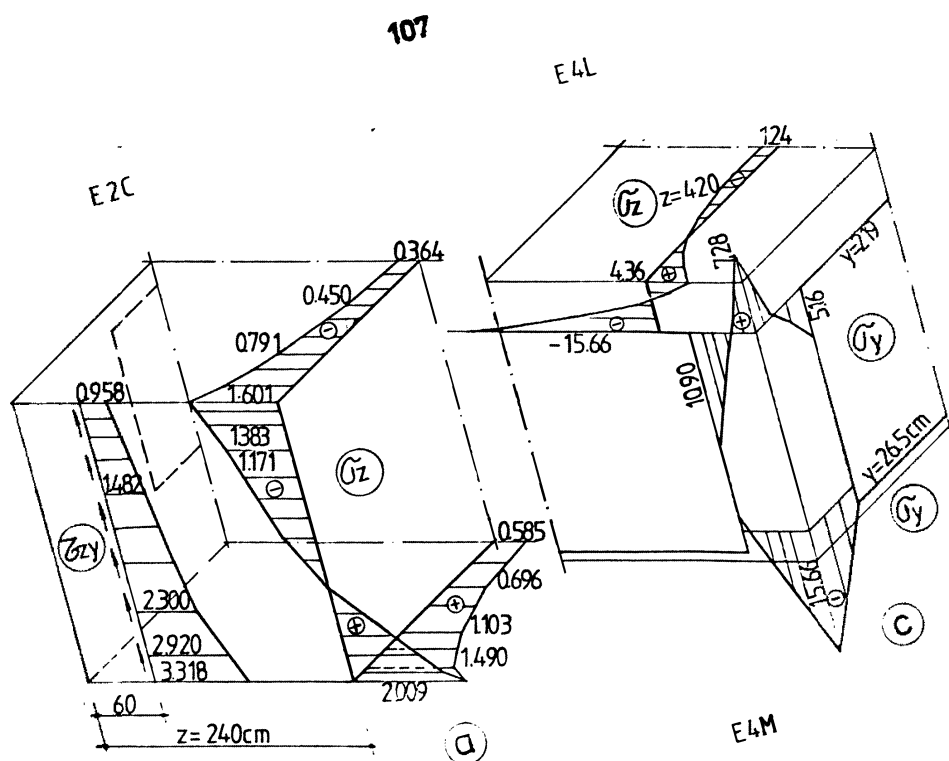


Fig. 5.27

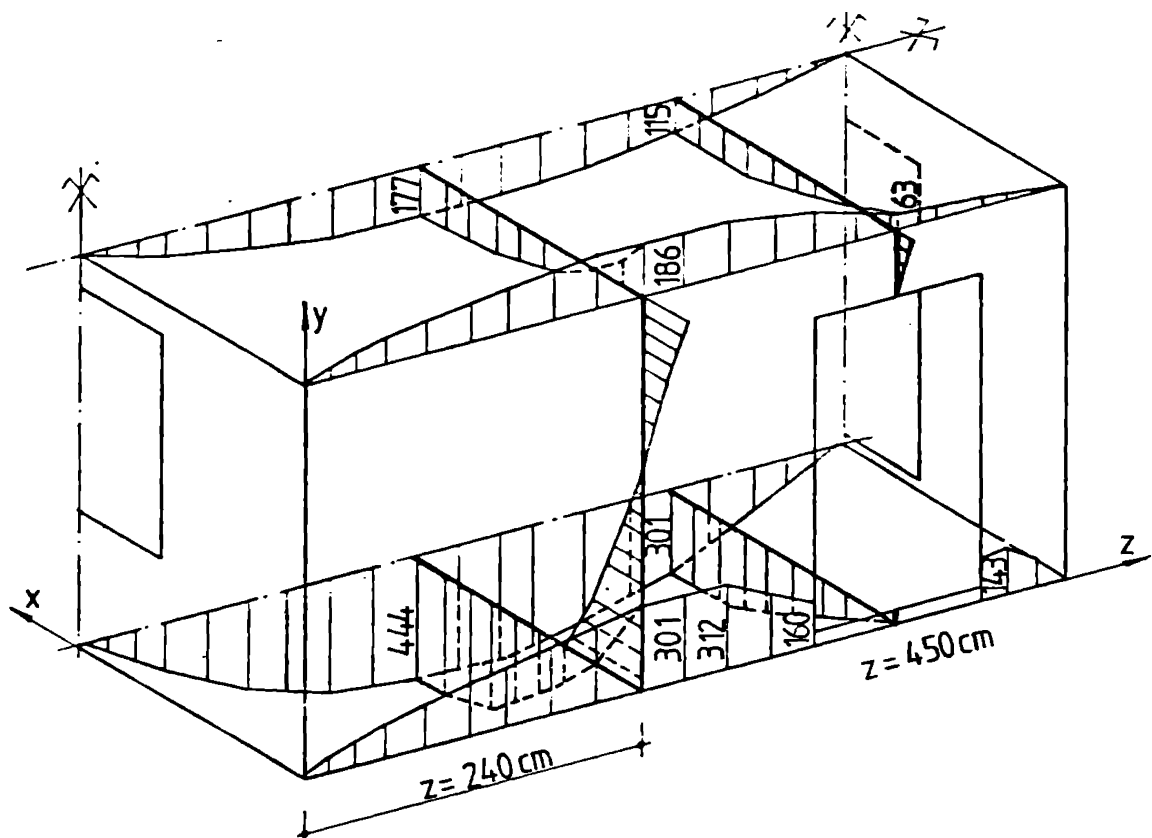


Fig. 5.25 E3L Momente încovoietoare  $M_z$  în secțiuni caracteristice [da N cm/cm]

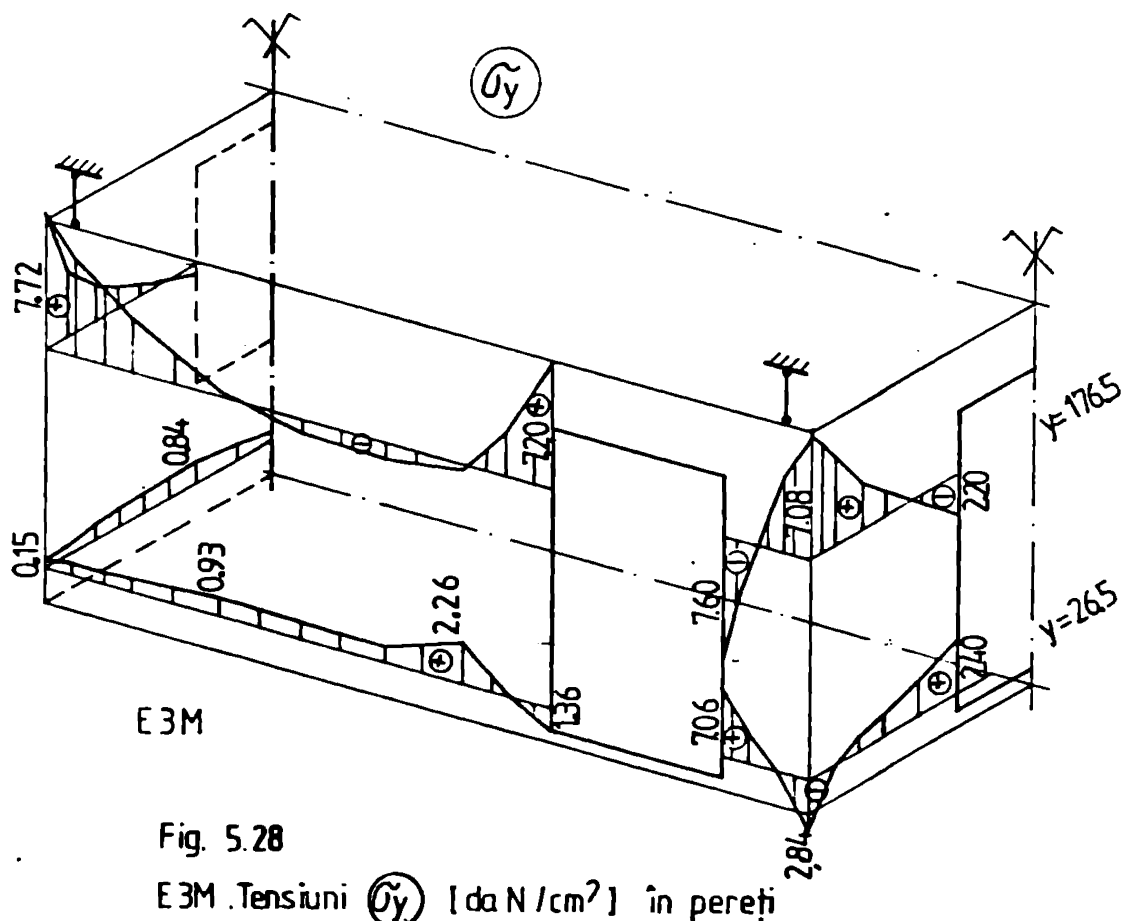


Fig. 5.28  
E3M . Tensiuni  $\sigma_y$  [da N/cm<sup>2</sup>] în pereti

(fig. 2.2.), să se adaugeat sistemul G - lăsat ca etalon - în care elementul spațial este alcătuit din patru fețe turnate monolit. Sistemul G nu să se realizeze la nivel industrial intrucât nu poate fi extins cofrajul interior după turnarea betonului.

Piecare sistem este reprezentat printr-un element spațial care are particularitățile de alcătuire structurală ale sistemului respectiv. Pentru efectuarea comparațiilor să se stabilească caracteristici geometrice și de încărcare comune tuturor elementelor, prezentate în fig. 5.29.

Elementele spațiale au pereti portanți și sint rezemat linieri. În cadrul analizei au fost utilizate elemente finite dreptunghiulare încovoiante (cu trei grade de libertate pe nod). Schema de discretizare este prezentată în fig. 5.30. Studiul urmărește să evidențieze capacitațile de rezistență și rigiditate ale elementelor spațiale funcție de sistemul de alcătuire structurală.

Răsultatele studiului, reprezentând distribuțiile momentelor încovoiatoare și ale deplasărilor în secțiuni caracteristice, sunt sintetizate în fig. 5.31 la 5.33 și tabelele 5.9 la 5.11.

Momentele încovoiatoare și săgețile elementului B, nereprezentate în diagrame, sunt identice cu planșoul de paralelă cu ale elementului C, iar la teava cu oale ale elementului A. Planșele, fiind articulate în lungul muchiilor, din încărările studiate nu rezultă momente încovoiatoare și deplasări în pereti.

Analizând rezultatele experimentărilor se pot face următoarele constatări :

- săgețile și momentele încovoiatoare cele noi nici sint înregistrate la elementul etalon, G (aze încastrări elastice în lungul tuturor muchiilor).

- măsurile maxime ale elementelor studiate, variază între 1,67 (elementul F), 1,69 (elementul A) și 1,97, fără de cele corespunzătoare ale elementului etalon.

- momentele încovoiatoare maxime ale elementelor studiate, variază între 1,67 (elementul F), 1,69 (elementul A) și 1,91, fără de cele corespunzătoare ale elementului etalon.

In cadrul acestei serii de experimentări s-a enunțat și efectele provocate de imperfecțiunile de fabricație și montaj asupra stăriilor de efort-deformare ale elementelor spațiale. Efectele au fost luate în considerație prin prevederile în cadrul unei excentricități axiale de rezistență a elementelor spațiale suprapuse, la nivelul cărui în formă sau cauză de surdină; în cazul concret să se adopte valoarea  $\epsilon = 1$  cm [29, 110].

Analiza s-a efectuat asupra unui element spațial tip F, compus la parterul unei construcții cu 5 niveluri, în ipotezele de încarcare indicate în fig. 5.34. În calcul se sunt introduse momente încovoietoare distribuite în lungul muchiilor, provocate de forțe verticale  $N_y$ , rezultată din ipoteza I de încarcare a elementelor spațiale în coloane.

Eforturile și coperțile obținute, sunt prezentate comparativ cu cele corespunzătoare, rezultate din încarcarea cu sarcini verticale și utile în grădina fundației (ipoteza I), în fig. 5.35 la 5.38 și în tabelele 5.12 la 5.15. În analiza acestora, în cazul concret studiat, pot fi făcute următoarele constatări:

- Imperfecțiunile de fabricație și montaj conduc la eforturi și deformări suplimentare ale căror valori depind de mărimea absterilor;

- Jăgășile și momentele încovoietoare suplimentare sunt de circa 20% la planșele de pardoseală și la pereti, și de circa 30% la planșele de tavan, fără ca valurile corespunzătoare în ipoteza I de încarcare.

- Momentele încovoietoare suplimentare cresc în jurul golurilor, la circa 40% pentru planșe și circa 50% pentru pereti (fig. 5.38) față de valurile corespunzătoare în ipoteza I de încarcare.

### 5.3.3. Experimentări numerice pe elemente spațiale. Seria 3

În cadrul acestei serii s-a făcut analiza unor soluții constructive pentru ouvele de beton armat ale fundațiilor ciocanelor de forță [30].

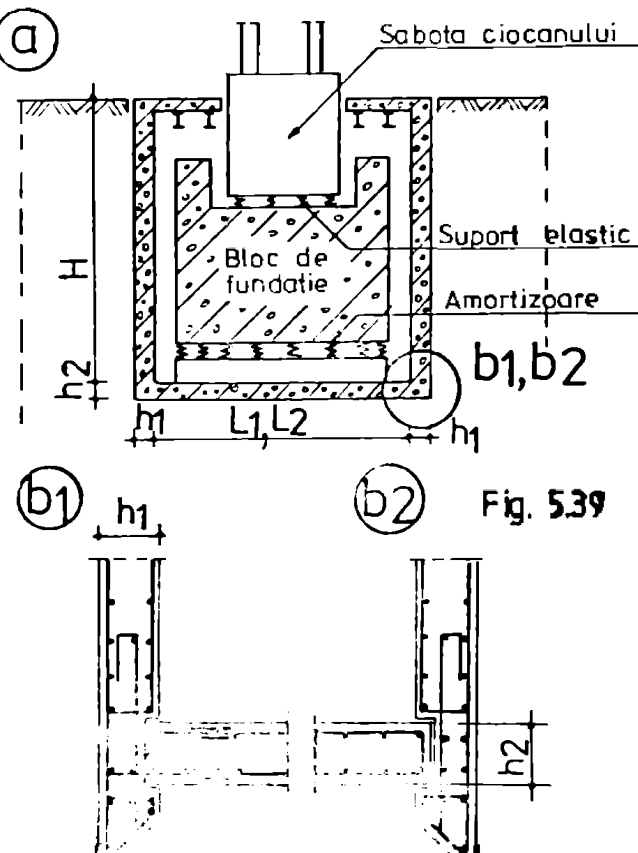


Fig. 5.39

acestea sunt construcții spațiale, subterane, cu dimensiuni și încarcări importante. Sistemul ouvei susține, prin intermediul unui sistem de amortizare (realizat în casul nostru din arcuri de oțel), blocul de fundație și ciocanul și transmite încărcările la terenul de fundare (fig. 5.39a). Analiza constă într-un studiu comparativ pentru patru soluții constructive:

- Soluție A.1 : pereti încastriți la partea inferioară în radier și liberi la partea superioară;

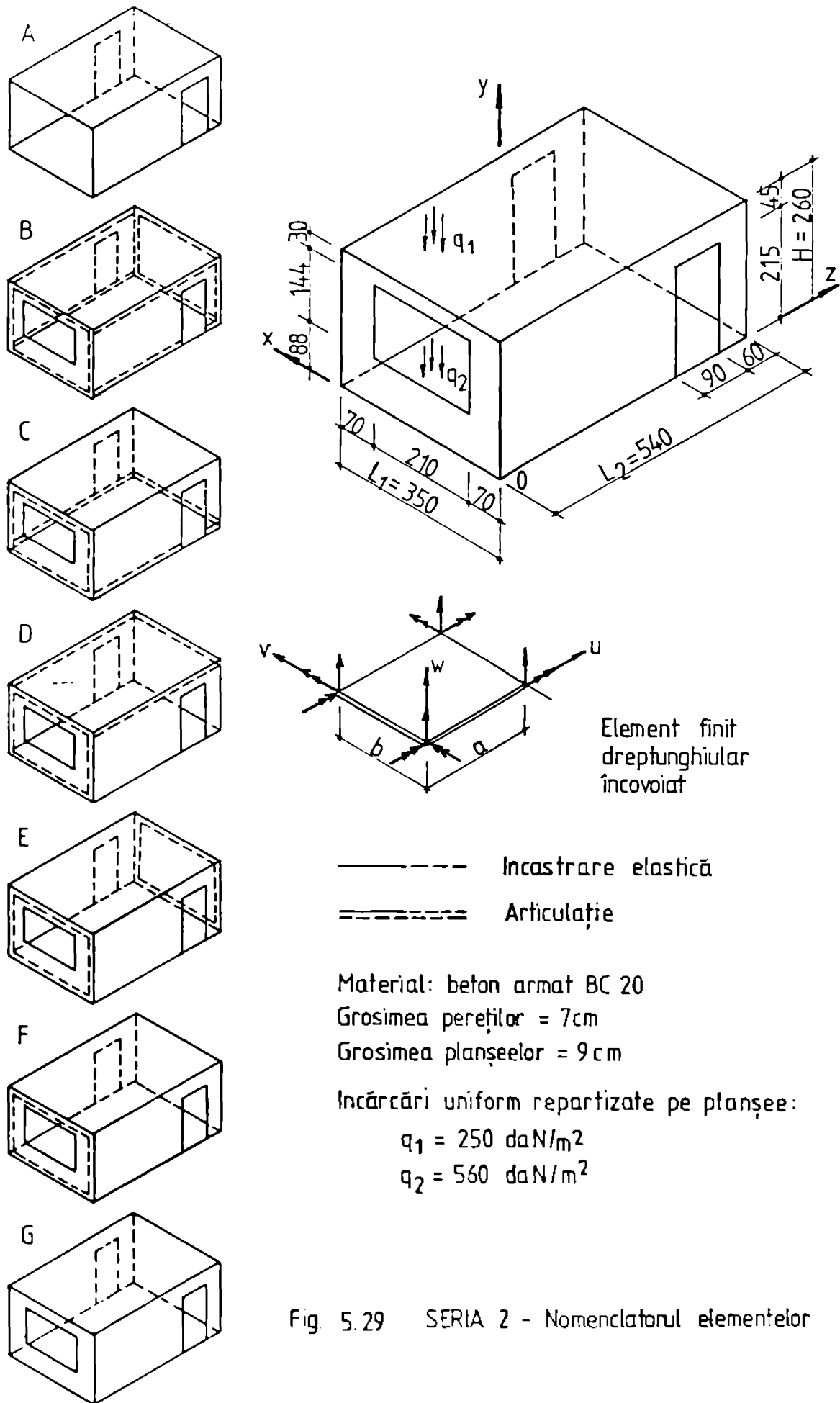
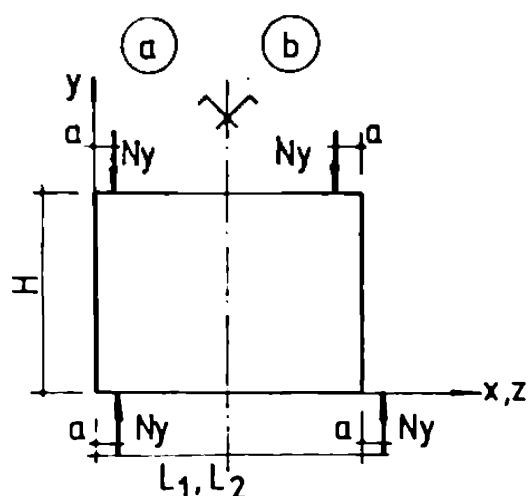
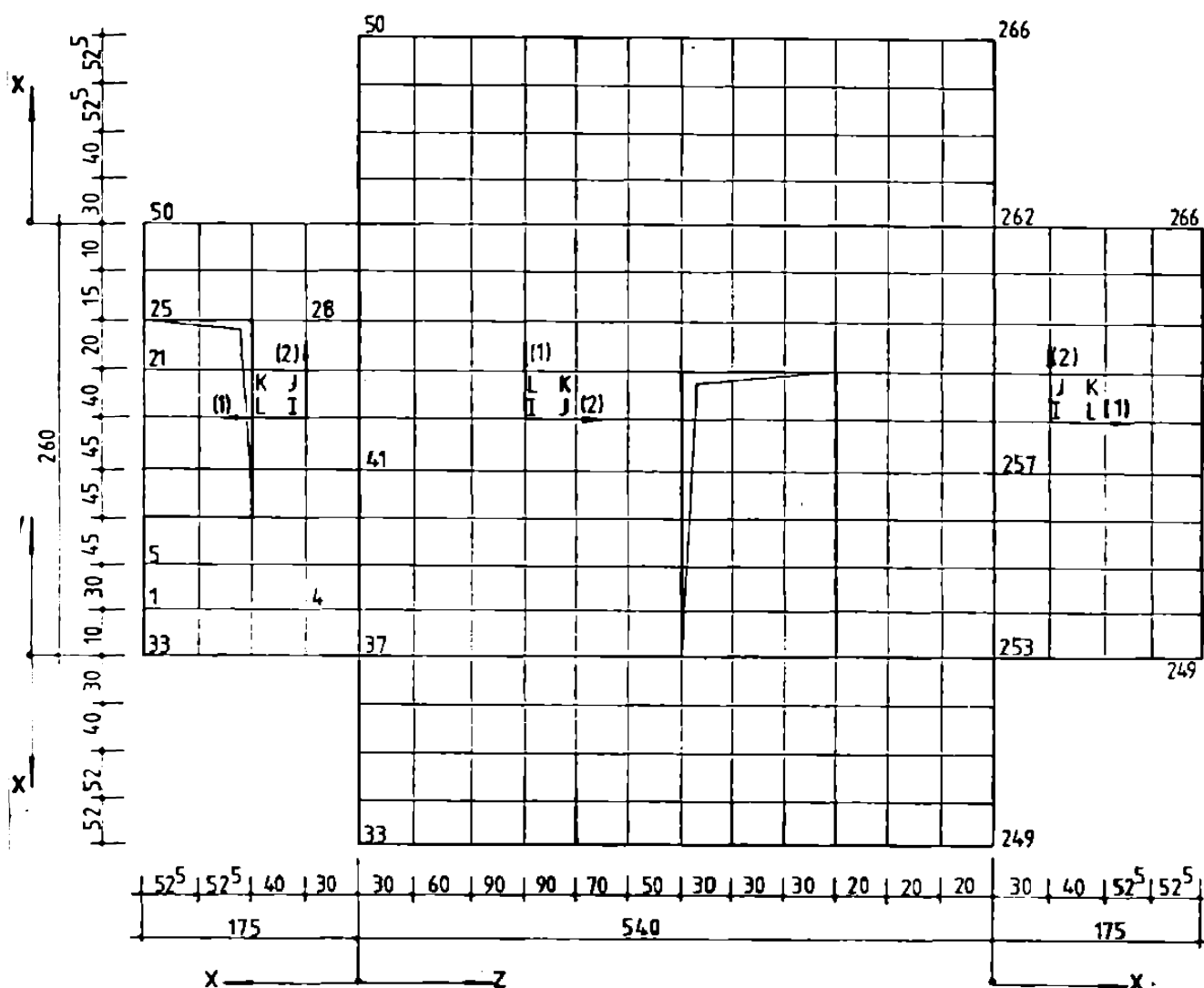


Fig. 5.29 SERIA 2 - Nomenclatorul elementelor

Fig. 5.30 Desfășurată rețelei de discretizare



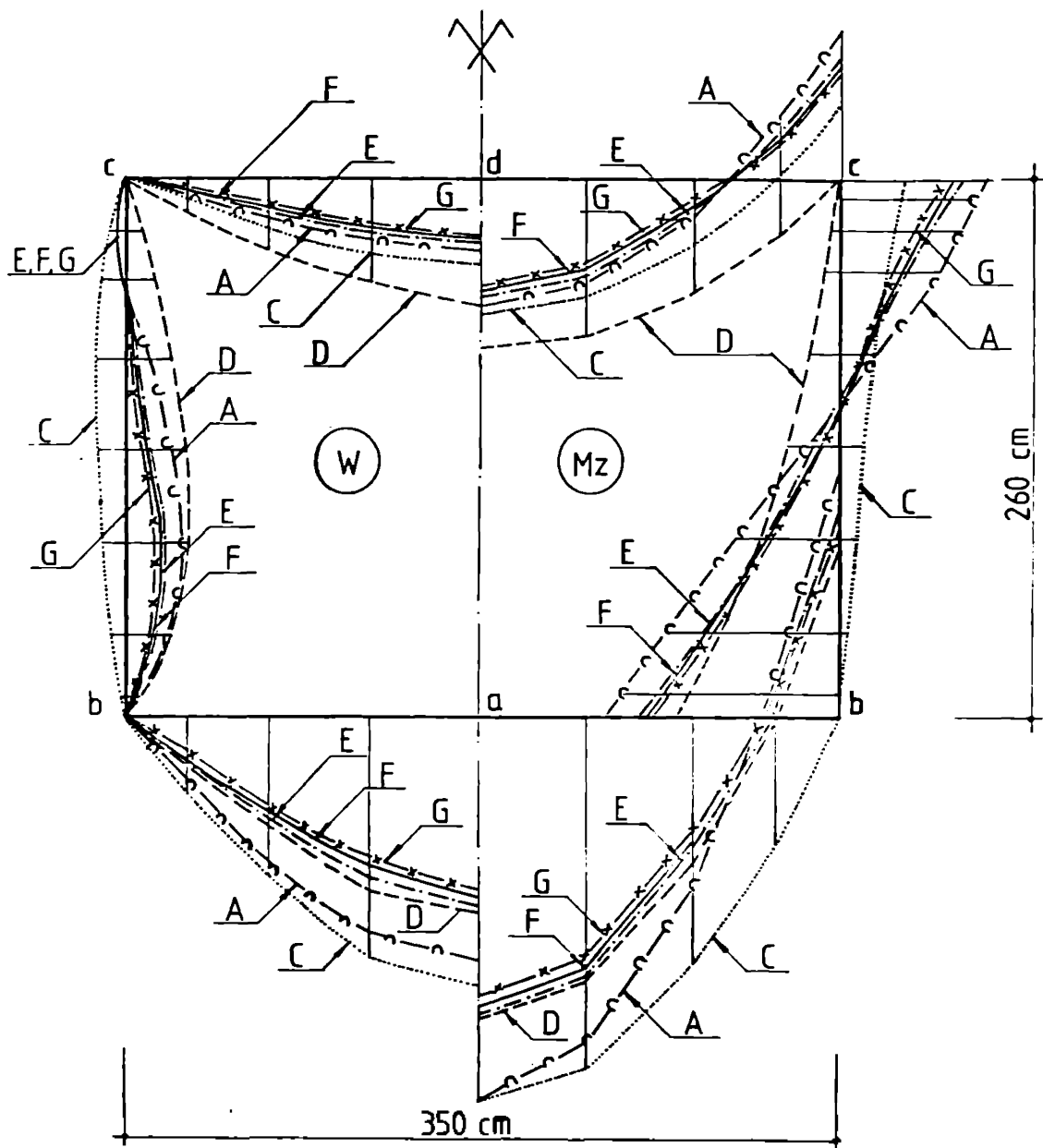
Ipoteza 1 -  $q_1 = 250 \text{ daN/m}^2; q_2 = 560 \text{ Kg/m}^2$   
aplicate  $\perp$  pe planșee

Ipoteza 2 -  $N_y$ , aplicată cu excentricitatea  
 $a=1\text{cm}$ , pe schema (a)

Ipoteza 3 -  $N_y$ , aplicată cu excentricitatea  
 $a=1\text{cm}$ , pe schema (b)

Fig. 5.34

Fig. 5.31 Variația momentelor încov. ( $M_z$ ) și a săgețiilor ( $W$ ) în secț. transv.  $z = 270\text{cm}$



Momente încov. ( $M_z$ ) și săgeți ( $W$ ) în secț. transv  $z = 270\text{cm}$

Tabel 5.9

	Momente daN cm/cm				Sägeți cm		
	$M_a$	$M_b$	$M_c$	$M_d$	$W_a$	$W_d$	$W_{max,bc}$
Elementul	A	552	344	213	0,355	0,103	0,088
	B	557	0	0	0,389	0,174	—
	C	557	0	104	0,389	0,121	0,040
	D	440	240	0	0,276	0,174	0,090
	E	441	291	191	0,270	0,096	0,060
	F	422	283	174	0,258	0,092	0,057
	G	407	276	169	0,248	0,092	0,053

Valori ale săgeților max.  
în secți long.  $x=175$  cm

Tabel 5.10

Elementul	Săgeți max. cm		
	$W_{e,f}$	$W_{q,h}$	$W_{f,g}$
A	0,423	0,124	—
B	0,389	0,174	—
C	0,389	0,121	0,018
D	0,276	0,174	0,043
E	0,270	0,096	—
F	0,258	0,092	0,032
G	0,248	0,092	0,032

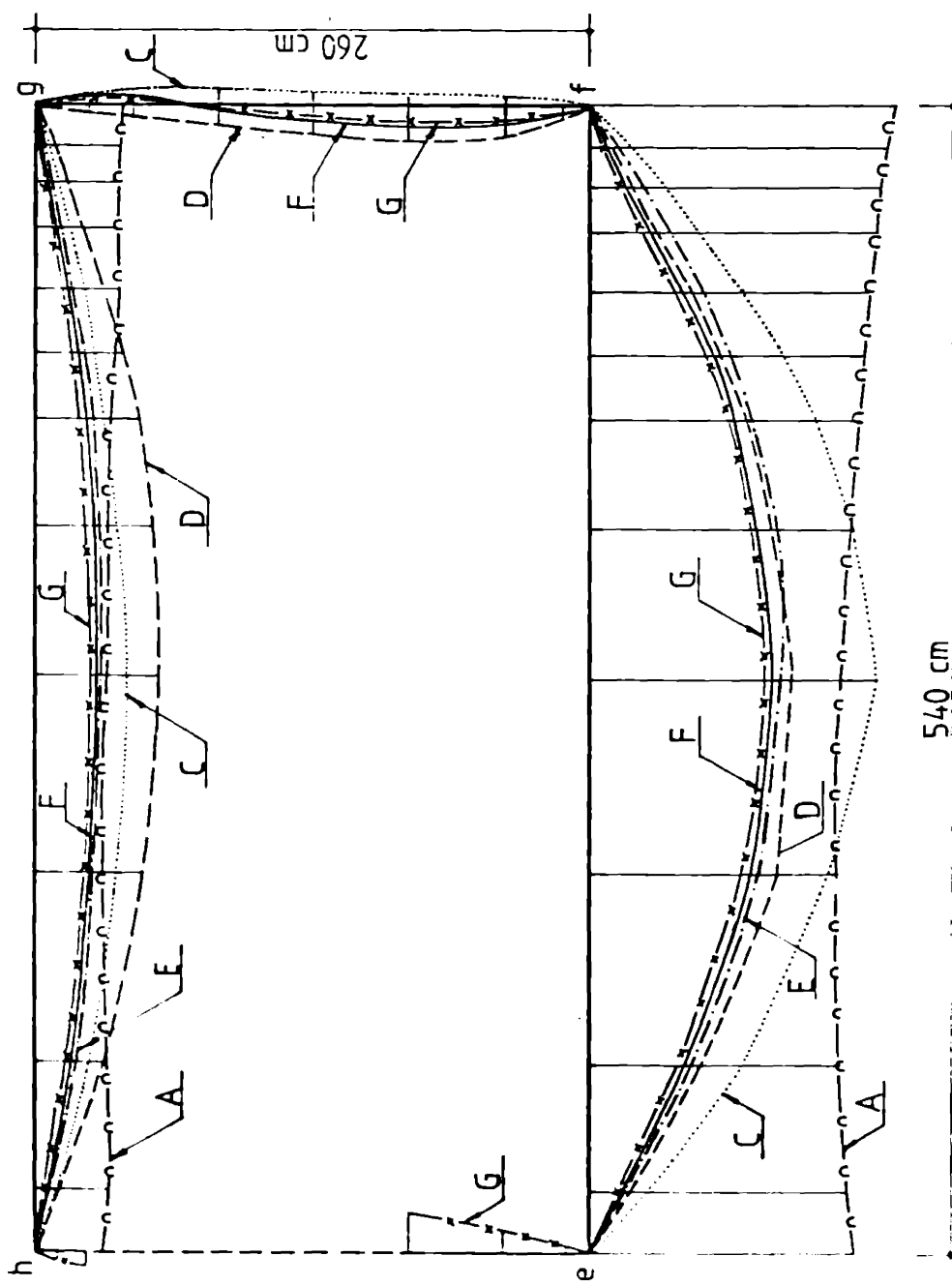
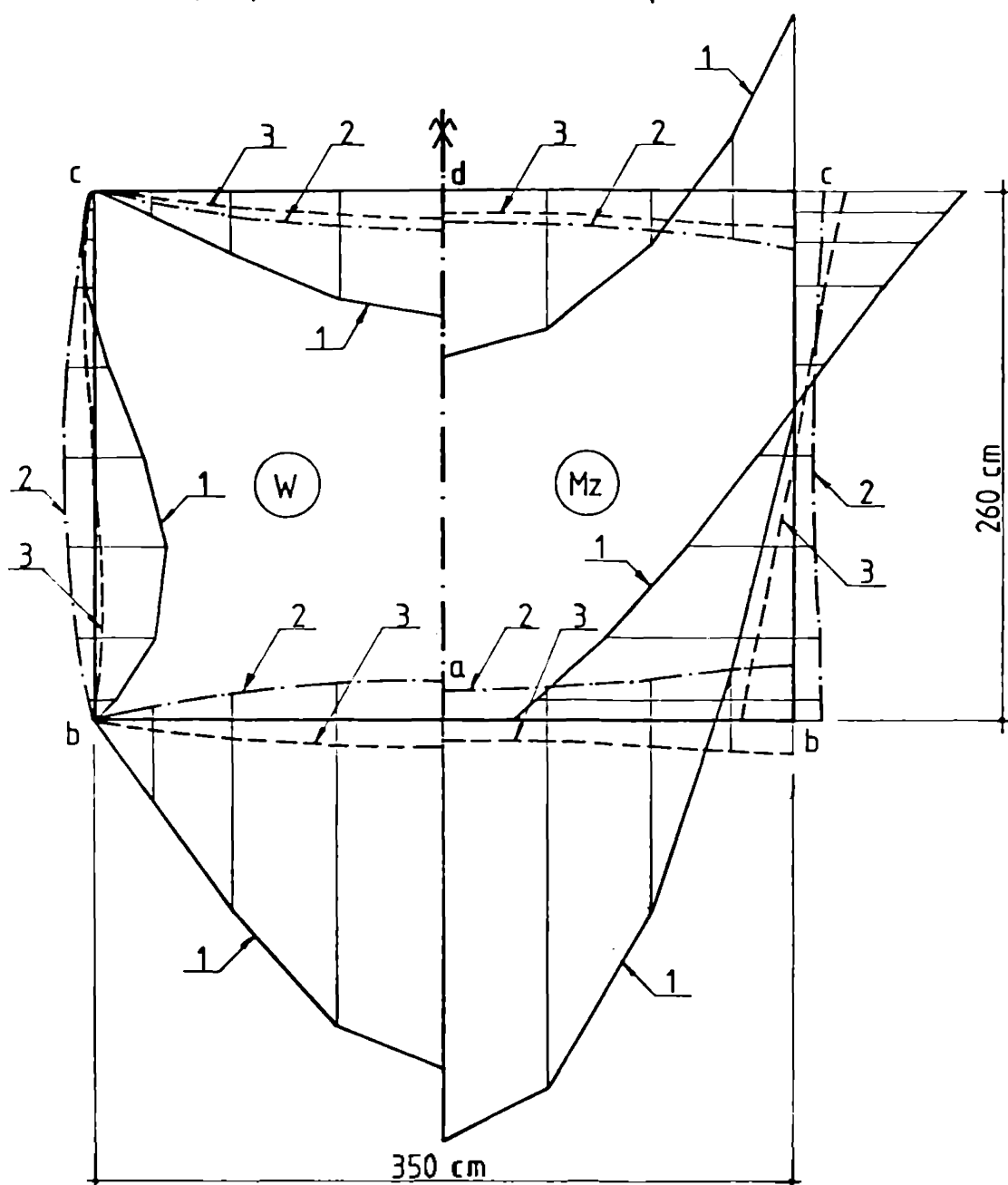
Fig. 5.32 Variatia săgeților  $W$  în secți long.  $x=175$  cm

Fig. 5.35 Variația momentelor încov.  $M_z$  și a săgețiilor  $W$  pe ipoteze de încărcare, în secț. transv.  $z = 270$  cm.



Valori ale momentelor încov.  $M_z$  și ale săgețiilor  $W$   
în secț. transv.  $z = 270$  cm.

Tabel 5.12

	Momente daN cm/cm						Sägeți cm		
	$M_a$	$M_{ba}$	$M_{bc}$	$M_{cb}$	$M_{cd}$	$M_d$	$W_a$	$W_d$	$W_{bc \max}$
ipoteza 1	422	283	283	174	174	165	0,258	0,092	0,057
2	30	55	31	30	56	30	0,029	0,029	0,023
3	22	35	51	51	35	22	0,021	0,021	0,006

116

Valori ale săgeților max. în secți.  
long.  $x = 175$  cm.

Tabel 5.13

	Săgeți max. cm		
	$w_{e,f}$	$w_{f,g}$	$w_{g,h}$
1	0,258	0,032	0,092
2	0,029	0,015	0,029
3	0,021	0,005	0,021

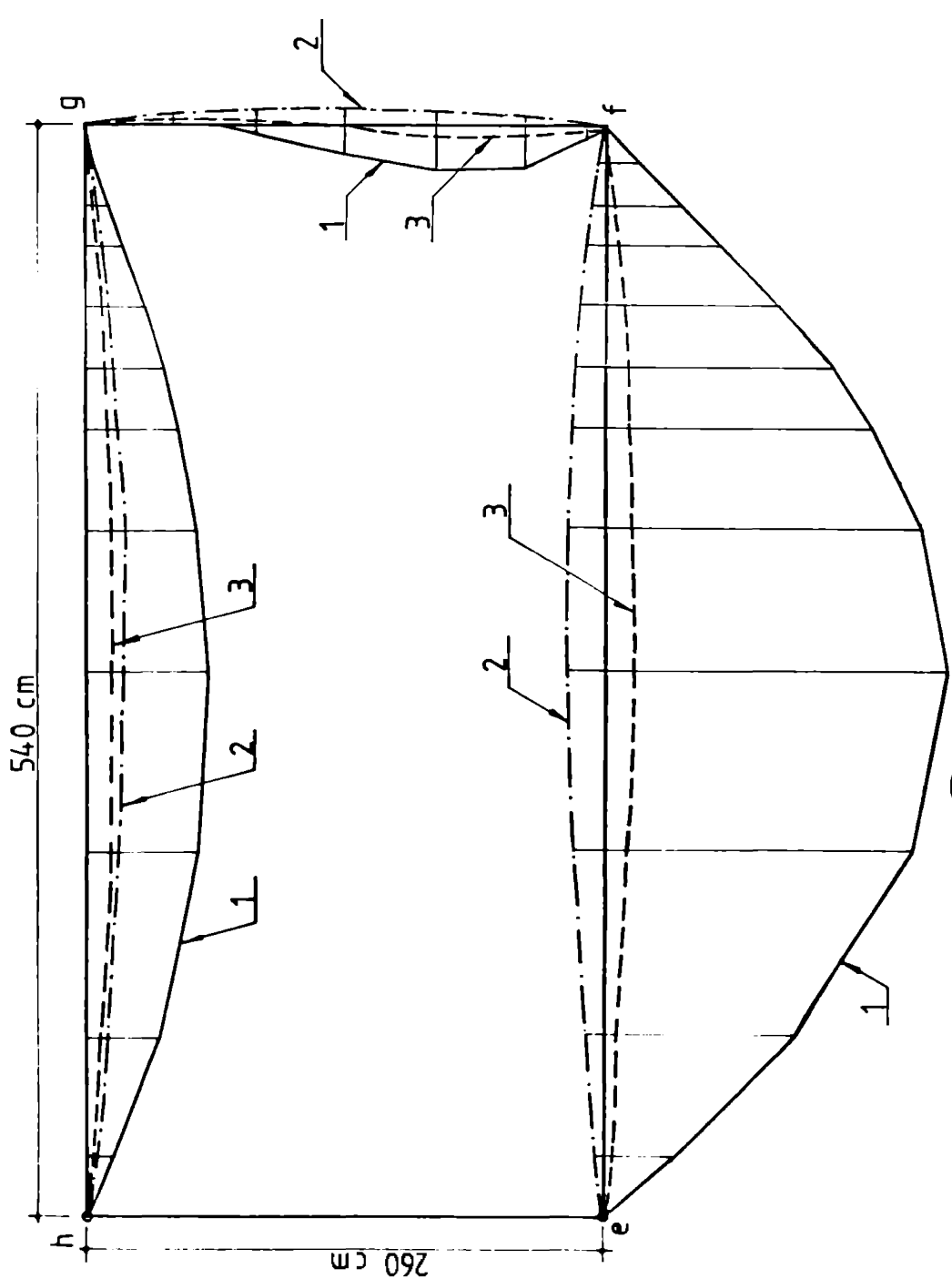


Fig. 5.36 Variatia săgeților  $W$  pe ipoteze în secț. long.  $x = 175$  cm.

Tabel 5.14

Momente da Ncm/m	Ipoteza		
	1	2	3
M <sub>fe</sub>	231	48	38
M <sub>fq</sub>	231	39	49
M <sub>qf</sub>	119	37	49
M <sub>qh</sub>	119	50	38
M <sub>ef max.</sub>	208	—	—
M <sub>gh max.</sub>	75	—	—

Valori ale mom. încov.  $\textcircled{M}_x$   
în secți. long.  $x = 175 \text{ cm}$

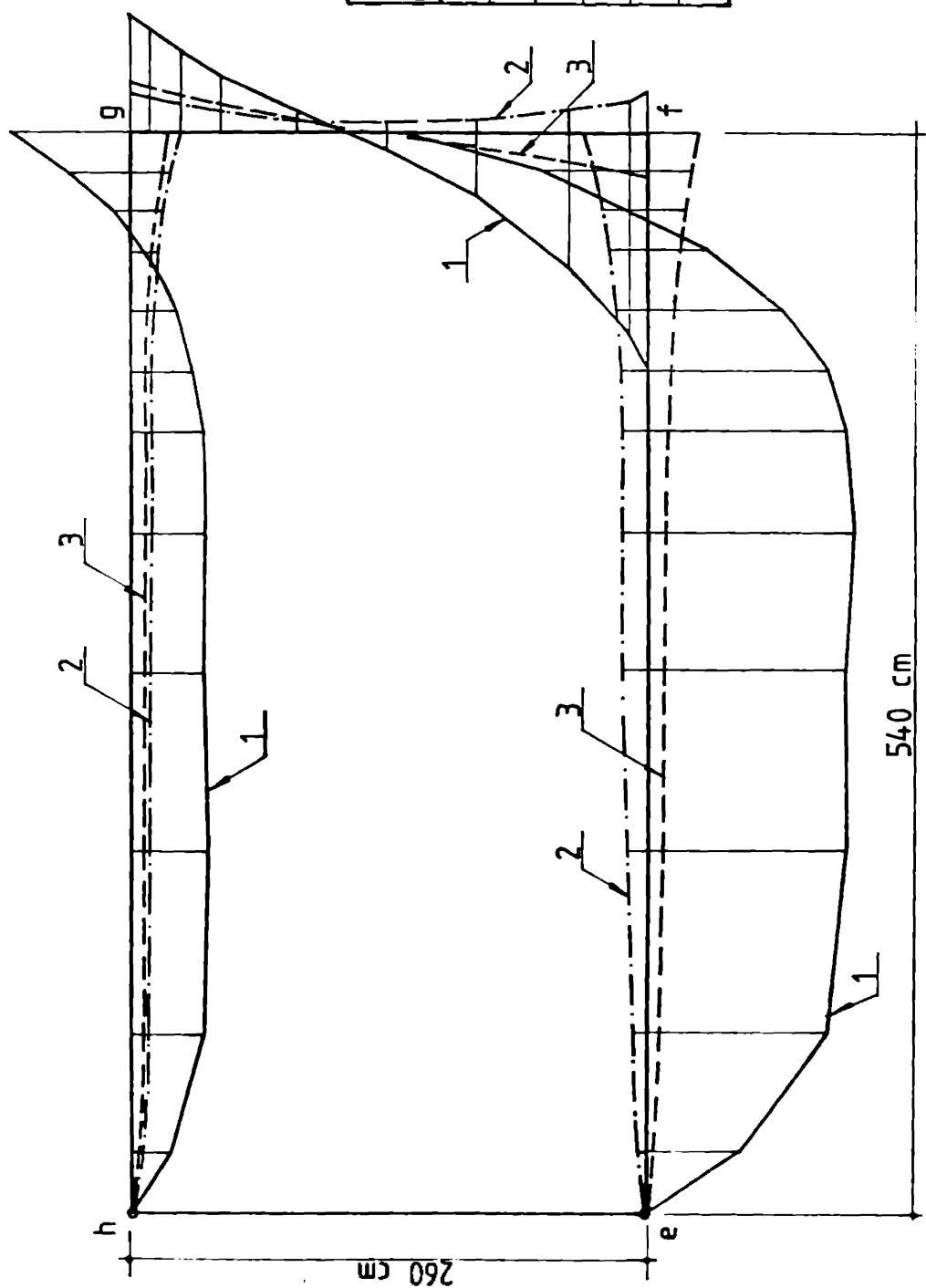
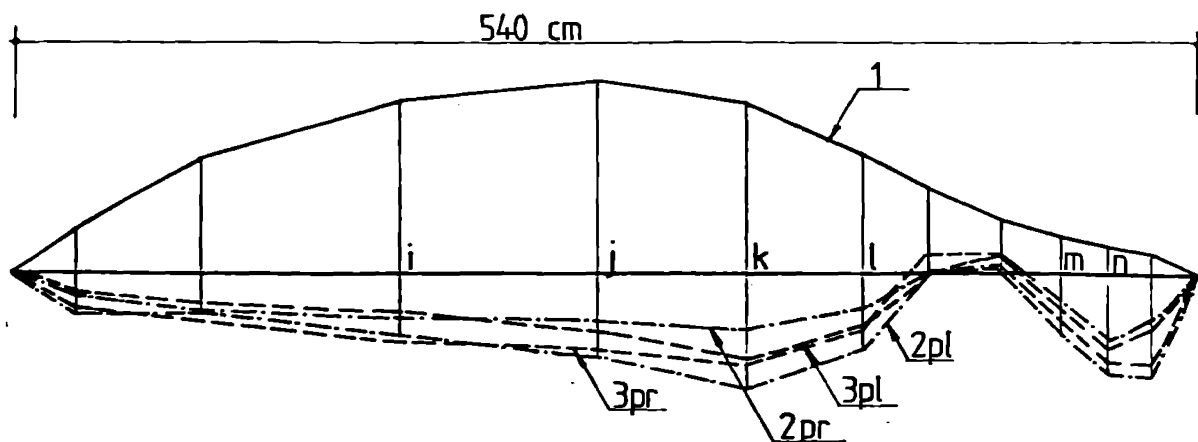


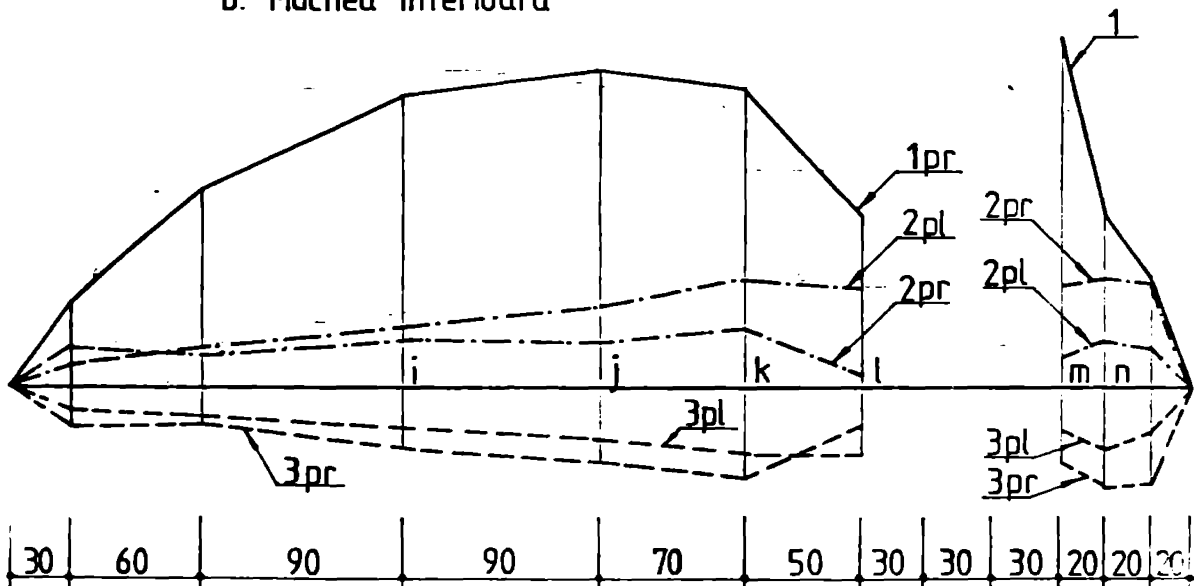
Fig. 5.37 Variatia mom. încov.  $\textcircled{M}_x$  pe ipoteze, în secți. long.  $x = 175 \text{ cm}$ .

Fig. 5.38 Variația mom. încov.  $M_z$  în lungul muchiilor longitudinale

## a. Muchea superioară



## b. Muchea inferioară

Valori ale mom. încov.  $M_z$  (daNcm/cm) în lungul muchiilor long.

Tabel 5.5

Punct		i		j		k		l		m		n	
		pr	pl										
Muchia sup.	1	158	158	173	173	154	154	111	111	35	35	26	26
	2	27	43	30	56	36	74	20	47	38	13	65	43
	3	43	27	51	35	56	54	36	32	31	19	58	50
	1	260	260	283	283	265	265	160	160	320	320	155	155
	2	27	44	31	55	39	73	7	68	69	20	76	30
	3	43	28	51	35	61	48	29	48	49	28	67	40

pr - valori în perete

pl - valori în planșeu

- Soluția A.2 : pereți încastrăti la perete inferioară în radier și rigidizați la perete superioară prin planșoul de acoperire;

- Soluția B.1 : pereți articulați la perete inferioară în radier și liberi la perete superioară ;

- Soluția B.2 : pereți articulați la perete inferioară în radier și rigidizați la perete superioară prin planșoul de acoperire.

Studiul s-a efectuat pe un caz concret de cuvă din beton B.300, avind dimensiunile în plan de  $10,80 \times 10,80$  m, adâncimea de  $10,40$  m, grosimea pereților și radierului de  $0,80$  m, iar grosimea planșoului de acoperire de  $0,25$  m. Cuve suportă blocul de fundație și unui ciocan de farajă de  $3$  tf. (fig. 5.39a). Încarcările luate în calcul sunt : încărcarea amortizată din ciocan și blocul de fundație  $P_1 = 22,24$  tf./m<sup>2</sup>, aplicată pe suprafața de  $0,04 \times 0,04$  m<sup>2</sup>. și radierului, forțele  $P_2$  aplicate la perete superioară în planul pereților, rezultate din încărcarea planșoului cu o sarcină uniformă distribuită de  $12,60$  tf./m<sup>2</sup> și încărcările din împingerea pavimentului și acțiunee suprasarcinii pe percoarellă în jurul ciocanului ( $12,0$  tf./m<sup>2</sup>)  $P_{30} = 4,00$  tf./m<sup>2</sup>,  $P_{31} = 12,30$  tf./m<sup>2</sup> (fig. 5.40a).

Determinarea stării de efort - deformatie s-a făcut printr-un calcul spațial care se în considerație și interacțiunea structurii cu terenul de fundație prin adoptarea modelului de calcul prezentat în fig. 5.40c. Pentru conlucrarea radier - teren s-a adoptat ipoteza Winkler : reacțiunea mediului într-un punct pe suprafața de contact cu piele  $q(x,y)$ , este proporțională cu depresiunea pe verticală din acel punct  $w(x,y)$ , [17], conform relației :

$$q(x,y) = K(x,y)W(x,y) \quad (5.64)$$

unde  $K(x,y)$  este coeficientul de tensare sau de rigiditate al terenului.

Schemă de calcul s-a făcut modelată cu elemente finite (fig. 5.40c), pereții și radierul cu elemente finite de șabă-delă, planșoul de acoperire (prevăzut cu goluri tehnologice de întreținere) cu elemente finite de șabă (solicitarea de încovoiere este prelungită de grăsimi metalice), iar prisenele de perimetru de sub zonă, cu elemente finite de bară elastică - deforțăriile, solicitare axială (zastari). La determinarea caracteristicilor de rigiditate ale terenului s-a considerat că deformările se amortizează pe o adâncime de  $10,0$  m. Modulul de deformare al terenului este determinat experimental, la ocazie de războiere (~  $10,40$  m)  $E_0 = 480$  dell/cm<sup>2</sup>, s-a făcut corectat cu adâncimea de calcul ( $10,0$  m), cu relație :

$$E_z = E_0 (1 + \alpha) z \quad (5.65)$$

în care :

$\alpha = 0.2$ , coeficient adoptat din [17]

$Z = adâncimea în m.$

rezultând o valoare medie  $E_z = 960 \text{ GPa/cm}^2$ .

Intrucât structura are două planuri verticale de simetrie, calculurile au fost făcute pe un efect de cuvâță.

Analizele numerice au fost efectuate cu programul **RALAN** [52, 173], rezultatele fiind prezentate în figuri 5.41 la 5.43 și tabelul 5.16. Momente încovoiatoare maxime [daNm/m] Tabel 5.16

soluție constructivă	M <sub>x</sub> max.					M <sub>z</sub> max.				
	muchia AB	perete BB		radier BC		perete BB	muchia AA		M <sub>z</sub>	$M_z / M_{z,A_1,A_2}$
		M <sub>x</sub>	M <sub>x</sub>	$M_x / M_{x,A_1,A_2}$	M <sub>x</sub>		M <sub>z</sub>	$M_z / M_{z,A_1,A_2}$		
A <sub>1</sub>	48850	17084	1.00	18853	1.00	33128	1.00	64988	1.00	
B <sub>1</sub>	000	23202	1.36	33505	1.78	35600	1.07	71928	1.11	
A <sub>2</sub>	48168	21344	1.00	18853	1.00	24436	1.00	57074	1.00	
B <sub>2</sub>	0.00	25450	1.19	33505	1.78	31362	1.28	66630	117	

În 5.41 este prezentată deformație spațială a cuvei în soluție constructivă A.1, din poziția inițială A B C D și B' D' cuva se deplasează în poziție deformată A<sub>1</sub> B<sub>1</sub> C<sub>1</sub> D<sub>1</sub> și B'' D''.

Analizând rezultatele obținute, se pot trage următoarele concluzii :

- Presiunile pe terenul de fundare cresc către marginile radierului, mai mult în cazul soluției constructive B.1 decât în soluția A.1, deterioră scăderii siguranței radierului articulat pe contur față de celui încastrat.

- Soluțiile constructive B.1, B.2 (radier articulat) concordă la creșterea momentelor încovoiatoare maxime, fără de soluțiile A.1, A.2, în radier cu 70% și în pereti cu 7 - 30%. Totuși, având în vedere scăderea momentelor de încovoiatoare pe muchie AB și simplificarea legăturilor între radier și pereti, soluțiile B.1, B.2 devin eficiente în cazul adaptării tehnologice de execuție în cheamă (fig. 5.39 b.1, b.2), aplicată mai ales cind cuvile se amplasă în bule existante.

- Soluțiile constructive A.2, B.2 (margini superioare rigidizate) concordă la scăderea cu 12 - 20% a momentelor încovoiatoare și fără de soluțiile A.1, B.1 și la creșterea menajătoare, în

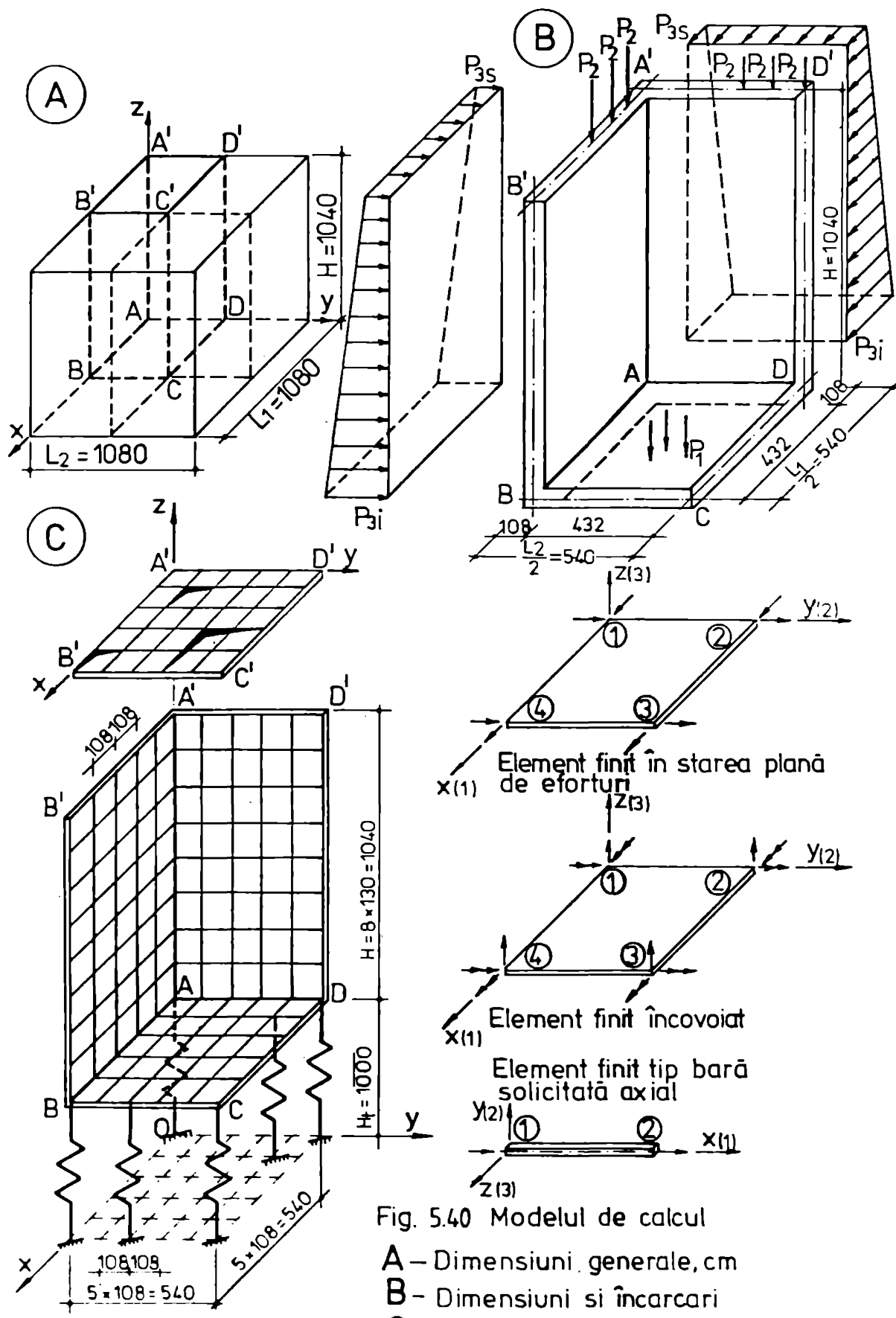
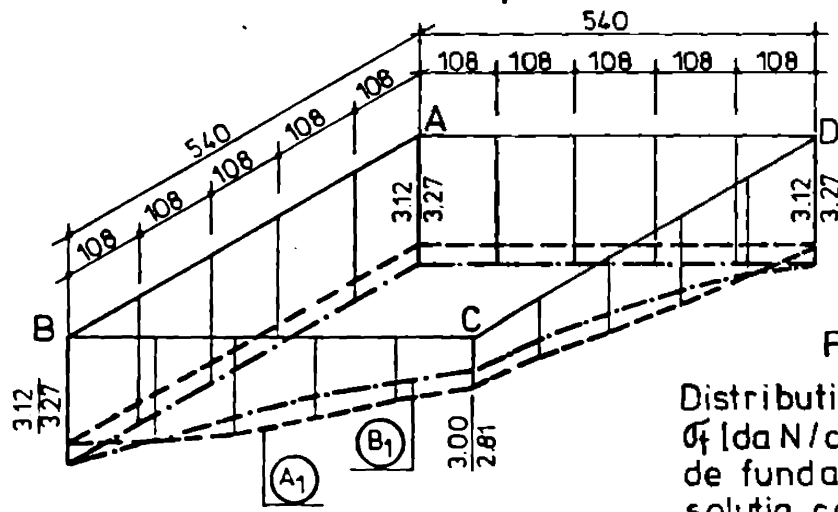
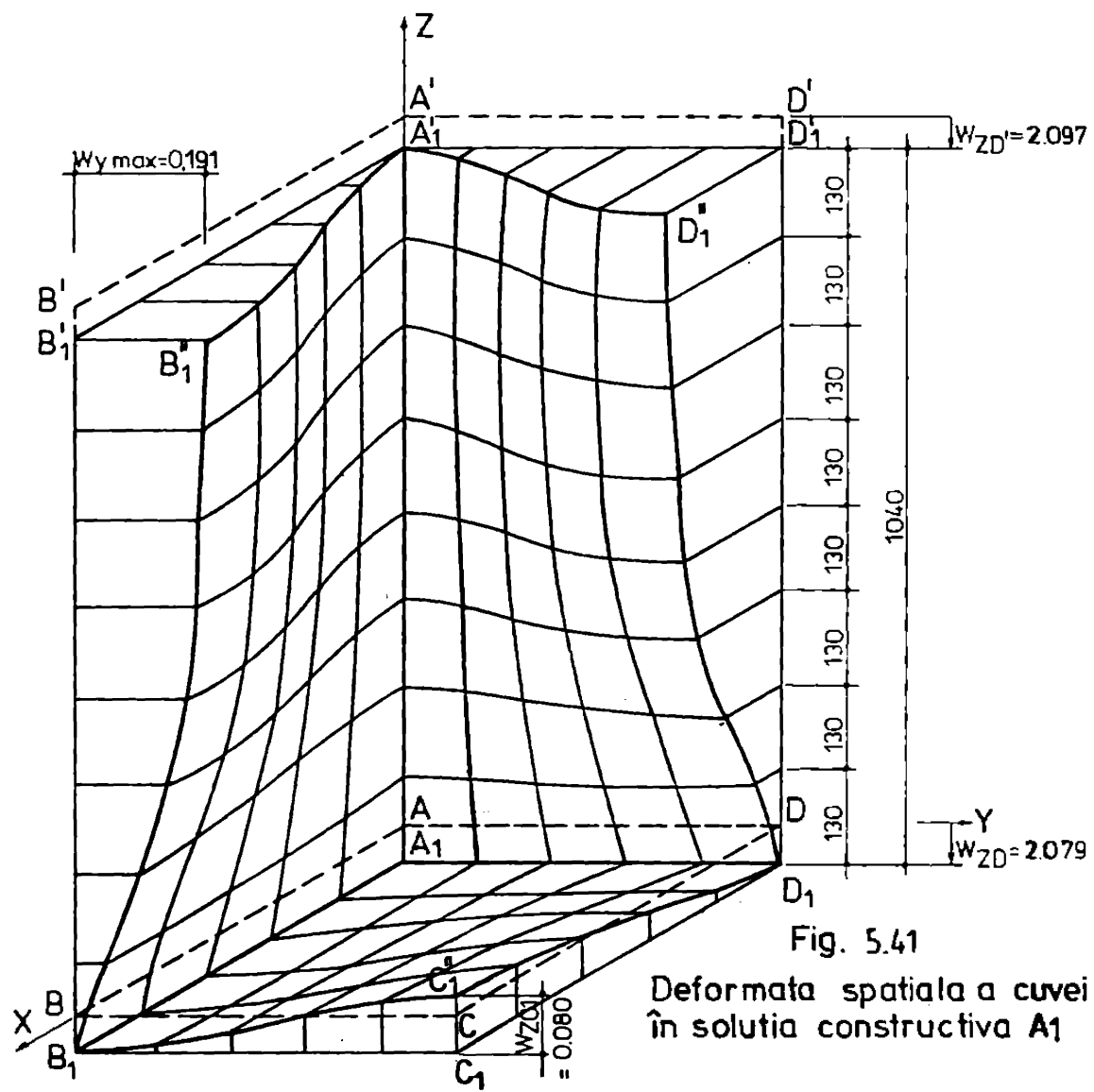


Fig. 5.40 Modelul de calcul

**A - Dimensiuni generale, cm****B - Dimensiuni si încarcări****C - Discretizarea în elemente finite**



veloare absolută a momentelor ax; aceasta constatăre conduce la indicarea adoptării la proiectare, oricind este posibil, a soluțiilor constructive cu planșeu de rigidizare a marginilor superioare.

#### 5.3.4. Concluzii rezultate din experimentările numerice pe elemente spațiale.

##### a) Referitor la sistemele de alcătuire.

Capacitatea de rezistență și rigiditatea elementului spațial sint cea mai mare cu cît gradul de monolitism al acestuia este mai mare; în acest sens este înțeleasă preocuparea unor titușeri de sisteme de elemente spațiale pentru realizarea unor instalații și adoptarea unor tehnologii care să asigure un înalt grad de monolitism. [180, 131, 110, 104]. Cele mai eficiente, din punct de vedere al alcătuirii structurale, sunt sistemele F și S, eforturile și depresările lor se îndepărtează cel mai puțin de ale elementului etalon G. Sistemul I (peher) este mai eficient, din punct de vedere structural, decât sistemul C (clopot) întrucât încărcările, mai mari pe planșeu de perimetru decât pe cel de tavan, se transmit la rezistență pe o schema mai avantajoasă. Sistemul B (cutie amfibiată din panouri) folosește o tehnologie simplă dar conduce la eforturi mari în planșee (considerate articulare pe contur).

Crescerea numărului și mărimea golurilor în peretii elementelor spațiale conduce la crescerea eforturilor și reducerea rigidității acestora. La alcătuirile elementelor spațiale cu goluri mari în toți peretii, se vor avea în vedere urmatoarele condiții [2], 1] :

- asigurarea, pentru menținerea rigidei buildei și a unor secțiuni corespunzătoare de beton și armătura, care să nu coboare sub anumite limite;
- prevenirea montăriilor cu spații pe două direcții;
- rigidizarea în plan vertical a planșelor de perimetru într-o manieră perimetrală.

##### b) Referitor la modul de rezanare.

In cazul rezanării liniare a elementelor spațiale, din încarcarea cu greutate proprie și sarcine utilă aplicata pe planșeu de perimetru, rezultă o distribuție neuniformă a reacțiunilor, cu descărcarea salțarilor; coeficientul de uniformitate a distribuției depinde de prezenta și mărimea golurilor în pereti.

Pentru casuluri curente, cind elementele spațiale au goluri de mărimea ușilor și ferestrelor, eforturile unitare în starea

plană din încărcările direct aplicate pe acestea (greutate proprie, sarcină utilă), au valori mici, nesemnificative.

In cazul elementelor spațiale rezemate concentrat, din aceleși încărcări, apar eforturi suplimentare, semnificative, în starea plană (de ex. peretii lucrează ca grinzi-pereti).

c) referitor la efectele imperfecțiunilor de fabricație și montaj

Imperfecțiunile de fabricație și montaj ale elementelor spațiale, au ca efect eforturi și deformări suplimentare, ale căror valori depind de mărimea abaterilor. Pentru abateri la nivelul prevederilor din normale [29, 11c], sintetizate prin eccentricitatea adițională de rezemare  $e = 1$  cm., în cazul elementelor spațiale având grosimea peretilor de 7 cm. folosite la clădiri cu 5 niveuri, eforturile și deplasările suplimentare sunt de 20 - 30% față de cele corespunzătoare încurcurilor de exploatare; aceste eforturi suplimentare cresc la 40 - 50% în jurul galeriilor. Avinde că în vechea ciorturile suplimentare destul de mari provocate de imperfecțiuni se recomandă limitarea la nivale mai mici a abaterilor admisibile, prin adoptarea unei tehnici, îi care să asigure precizia sporite la fabricația și montajul elementelor spațiale. (se menționează că proceșale VAMIL [7c] și SIGMA [1] admit abateri la dimensiunile elementelor spațiale de max. 2-3 mm.).

De asemenea se recomandă întărirea constructivă a elementelor spațiale în jurul galerilor, prin prevederea unor secțiuni corespunzătoare de boieri drugi și montanți.

5.4. EXPERIMENTAȚII NUMERICE ASUPRA CĂRĂBUNIRII ÎN ELEMENTELE SPAȚIALE

Au fost efectuate experimentări numerice, în stadiul elastic, pentru încărcări aferente fazei de exploatare, pe 20 de coloane de elemente spațiale, grupate în două serii.

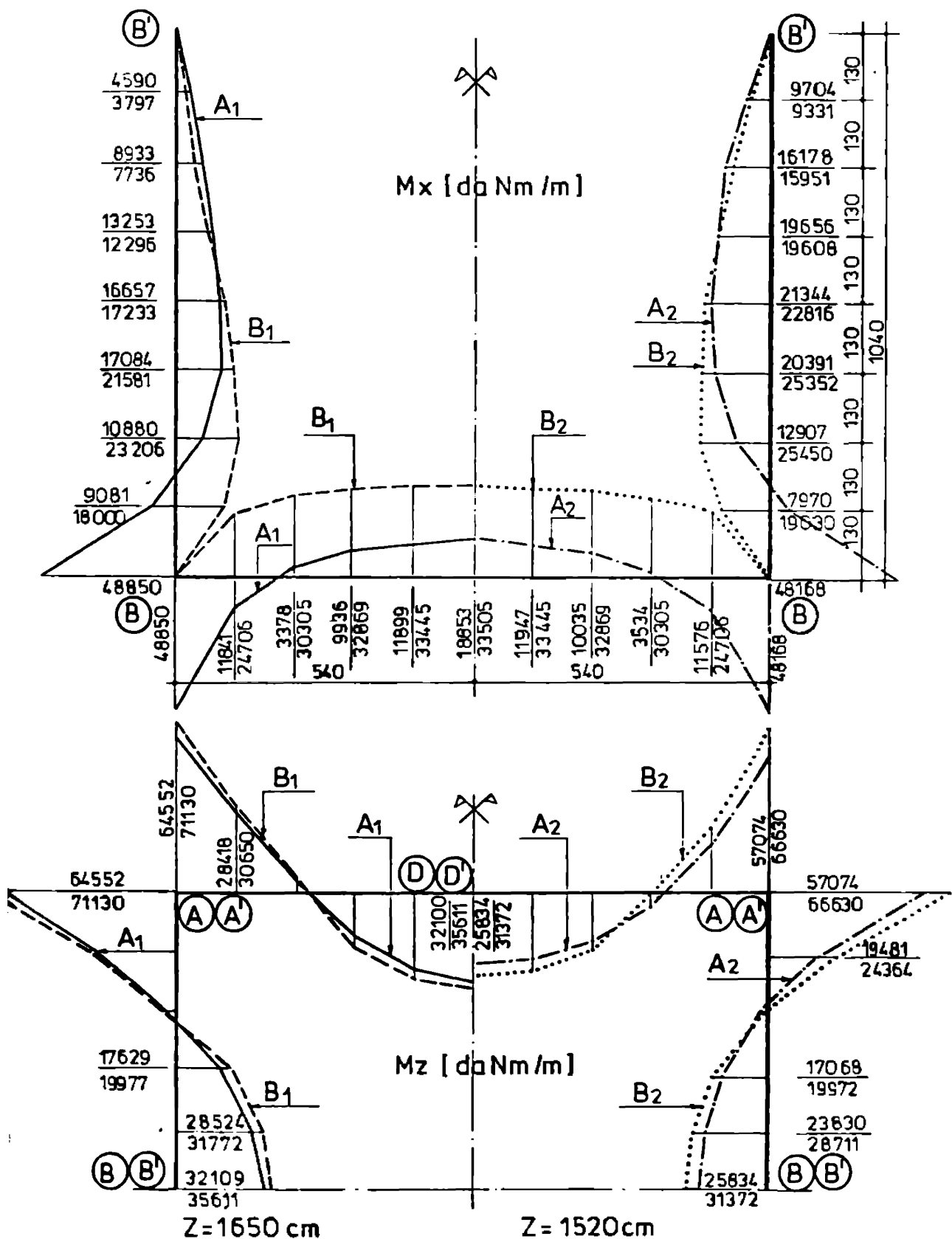
Prima serie de experimentări, efectuate pe coloane cu 5 și 10 niveuri (fig. 5.44) are ca obiectiv principal :

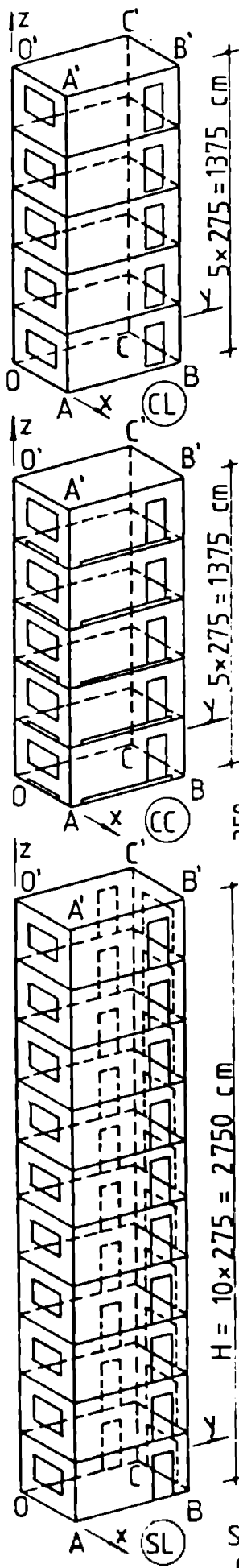
- . analiza comparativă a modelelor de celele MEB, MEL și MLP (5.1.2);

- . studiul influenței modului de rezemare a elementelor spațiale în coloană : liniară, concentrată pe colțuri și cu imperfecțiuni ;

- . analiza comparativă a coloanelor având penosurile de fete de portante sau numai de rigidizare ;

Fig. 5.43 Variatia mom. încov. în functie de solutia constructiva [A<sub>1</sub>,B<sub>1</sub>,A<sub>2</sub>,B<sub>2</sub>]



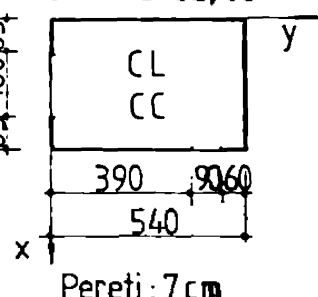


## NOMENCLATORUL COLOANELOR , SERIA 1

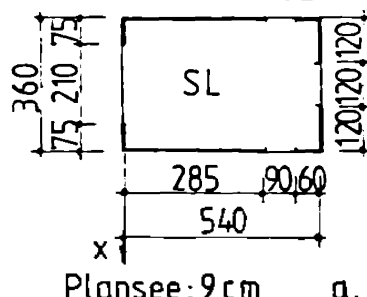
Nr. crt.	Denum. coloana	Legaturi cu structura	Er	Ipoteze de inc.	Obiectul experimentarii
1	C1L	Tors. imp.	0,5 Eb	2	Analiza modelelor de calc. MEF, MED, MEB
2	S1L	- II -	0,5 Eb	2	
3	C2L	Col. libera	0,15 Eb	2,3	Analiza mod. de rezemare:
4	C2C	- II -	0,15 Eb	2,3	- rez. liniara (CL)
5	C2L-IR1	- II -	0,15 Eb	2,3	- rez. concentrata (CC)
6	C2L-IR2	- II -	0,15 Eb	2,3	- imprf. de rez. (IR1, IR2)
7	C3L-P	Tors imp.	0,5 Eb	1,3	Analiza panouri fatada - portante (P)
8	C3L-R	- II -	0,5 Eb	1,3	- de rigidizare (R)
9	C4L	- II -	0,15 Eb	2,3	Infl. legat cu struct.
10	C5L1	Col. libera	0,5 Eb	4	Stud. tens. si deform. produse de cupluri de forte.
11	C5L2	- II -	0,5 Eb	4	

## CARACTERISTICI GEOMETRICE

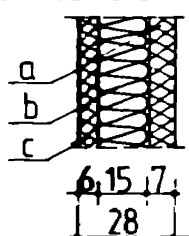
Coloane CL,CC



Coloana SL



Panou fatada



MATERIAL: Beton armat BC 20

INCARCARI Ipoteza 1- Incarcari seismice (-Sx)

Ipoteza 2- Incarcari seismice (Sy)

Ipoteza 3- Incarcari gravit. din gr. proprie si sarcina utila (Gz)

Ipoteza 4- Incarcarea cu cuplurile de forte (P)

$$Q_{10} = 405 \text{ daN}$$



$$S/\text{coloana} = 8900 \text{ daN}$$

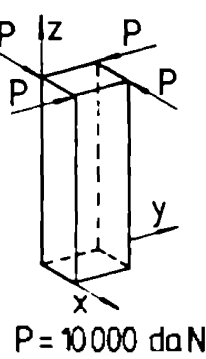
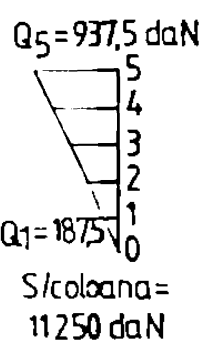


Fig. 5.44

. analiza comparativă a coloanelor tratate ca libere sau facind parte din structura clădirii ;

. studiul efectului gulerilor din pezzi în solicitarea coloanelor la torsionare.

A doua serie de experimentări, efectuate pe coloane cu 5 niveluri (fig. 5.59), are drept scop :

. analiza efectului rigidității reale a îmbinărilor între elementele suprapuse, comparativ cu ipoteza monoliticului perfect;

. studiul comportării în stadiul elastic, a coloanelor ca elemente spațiale realizate cu îmbinări simple : rost orizontal din mortez de ciment, surâuri verticale de continuitate concentrată în colțuri și profiluri perimetrale pentru prelucrarea lunocârlilor din rosturi.

Experimentările au fost efectuate cu metoda elementelor finite, folosindu-se programul PALIS [173]. S-a utilizat elemente finite de șeibă și de bară. Un exemplu de discretizare în elemente finite a coloanelor cu 5 niveluri este indicat în fig. 5.45; rețea de discretizare are 368 puncte. Pentru coloana b.c (fig. 5.59), urmare discretizării, au rezultat 650 elemente finite de șeibă și 200 de elemente finite de bară; pentru două ipozite de încarcare (1.750 ecuații), durata de rezolvare la calculatorul FELIX C.250 a fost de 41 minute.

#### 5.4.1. Experimentări numerice pe coloane de elemente spațiale. Seria I.

Experimentările au fost efectuate pe coloane cu 5 și 10 niveluri alcătuite din elemente spațiale tip penez cuicăs (sistemul 2), considerând ca facind parte din structura unei clădiri cu planșee rigide (torsionare individuală împiedicată), s-a fiind testată ca structuri independente (coloane libere). Număratorul coloanelor, dimensiunile geometrice, ipotezele de încarcare și obiectul experimentărilor, sunt indicate în fig. 5.44. Încărările seismice convenționale, corespondătoare gradului 8 de protecție antiseismică pentru coloanele cu 5 niveluri și respectiv gradul 7 pentru coloanele cu 10 niveluri, au fost distribuite triunghiular pe cele patru muchii ale coloanelor; valurile forțelor concentrante la nivelul planșelor sunt date în fig. 5.46.

Sunt prezentate în continuare obiectul experimentărilor și rezultatele obținute.

a) Analiza comparativă a modelelor de calcul AB, MEL și MAF (5.1.2.)

Analizindu-se rezultatele calculelor calcanelor Calab (5 niveluri) și Salas (10 niveluri) la forțe seismice convenționale, cu modelele AB, MEL și MAF, sintetizate în fig. 5.47 și 5.48, pot fi făcute următoarele constatări:

- Din distribuția eforturilor unitare normale  $\bar{f}_z$  în secțiuni de la bază (fig. 5.47 a,b,c și fig. 5.48 a,b), rezultă că, în general acestea cresc cu complexitatea modelului de oselui folosit (de la AB la MAF); modelul MAF evidențiază în ceea ce mărește măsură capacitatea de rezistență a structurii;

- În cazul montantilor cu rigiditate mică modelul de calcul AB conduce la o subevaluare a eforturilor unitare  $\bar{f}_z$ , fără ca modelul MAF;

- Din distribuția eforturilor unitare  $\bar{f}_z$ , determinată cu modelul MAF, rezultă că tulpile diafragmelor sunt active pe întregul secțiunie;

- În variațiile pe niveluri ale forțelor tăietoare în riglele de cuplare  $Q_z$ , prezentate în fig. 5.47 c și 5.48 d, rezultă că MEL conduce la o subevaluare a acestora la nivelurile inferioare (cucca 2a) și o supravaluează la nivelurile superioare (cucca 9c la 13a);

- Replasările laterale  $W_y$ , la nivelul caracteristic ( $0.8H$ ), determinate cu modelele AB și MEL, se îndepărtașă puțin de valoarea determinată cu MAF (-9% la +16%).

b) Analiza modalni de rezemare a elementelor spațiale în coloană.

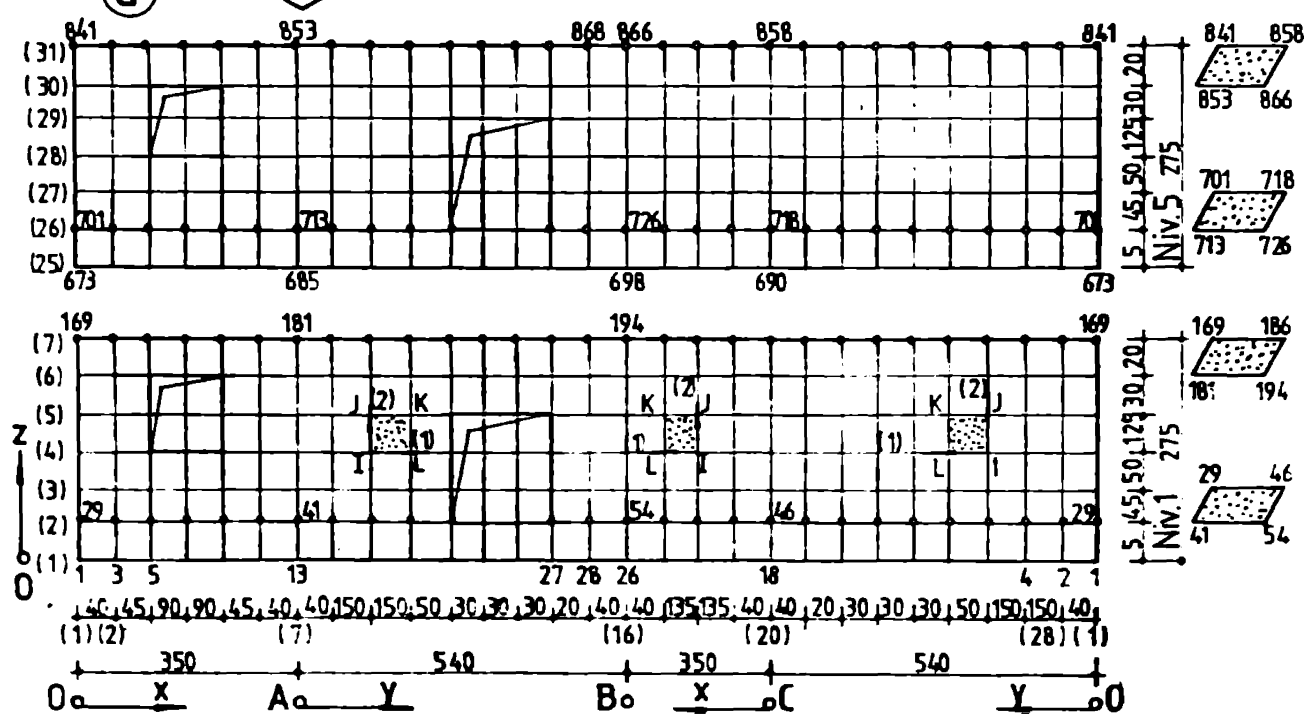
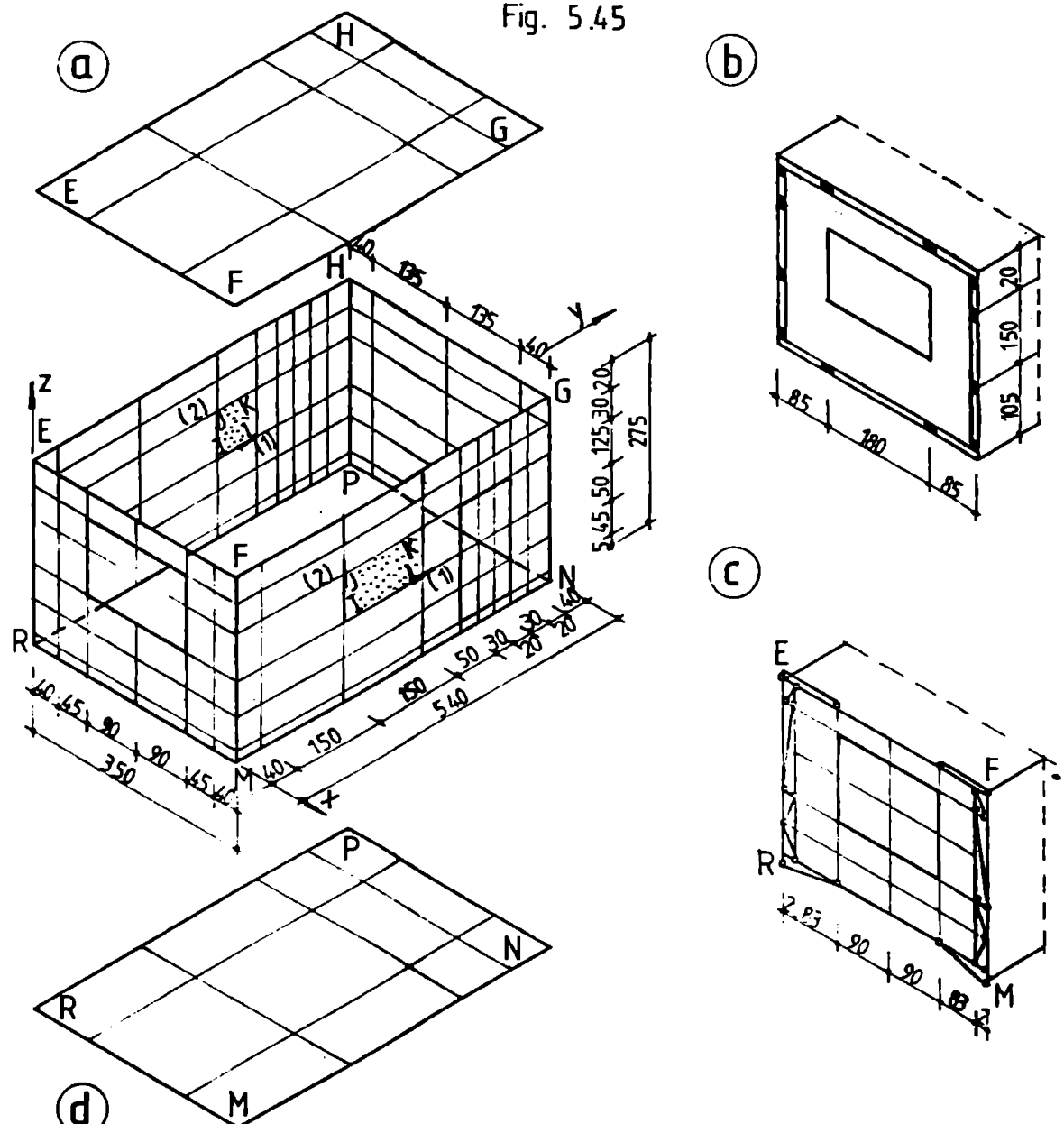
În coloane cu 5 niveluri, libere, au fost studiate trei rezemări de rezemare:

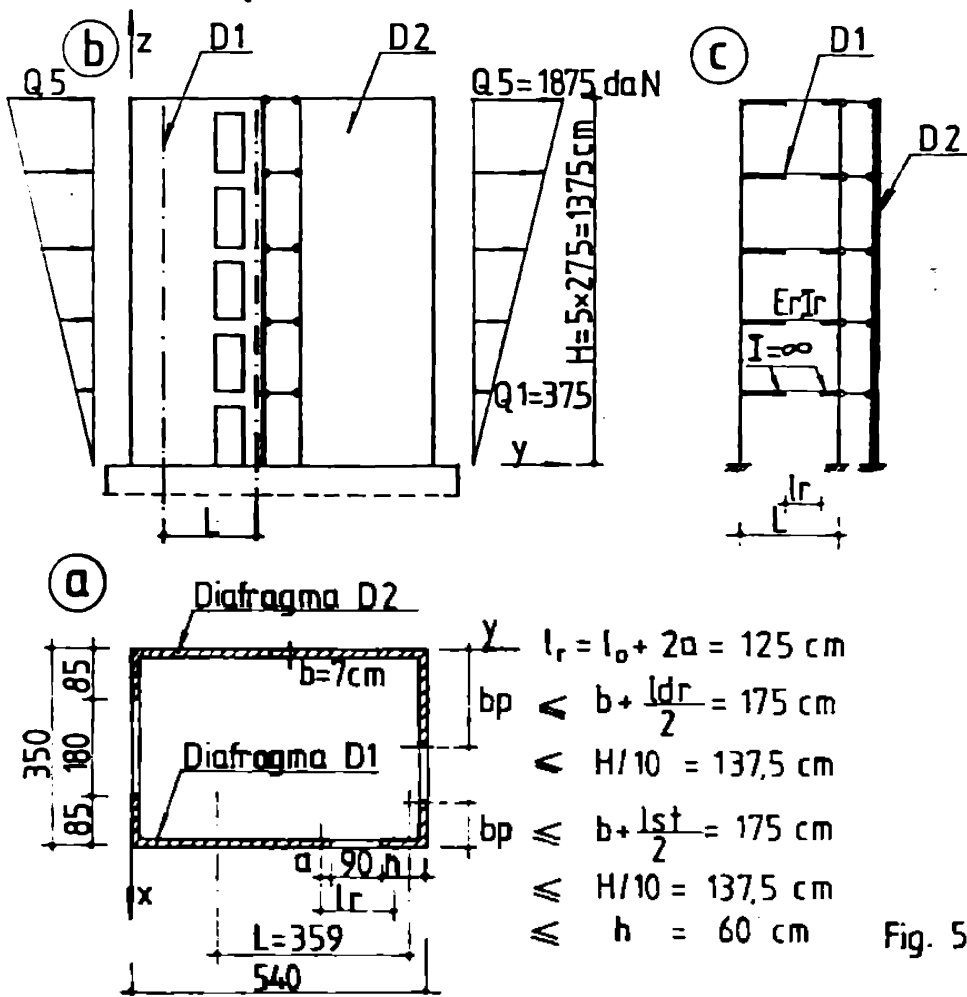
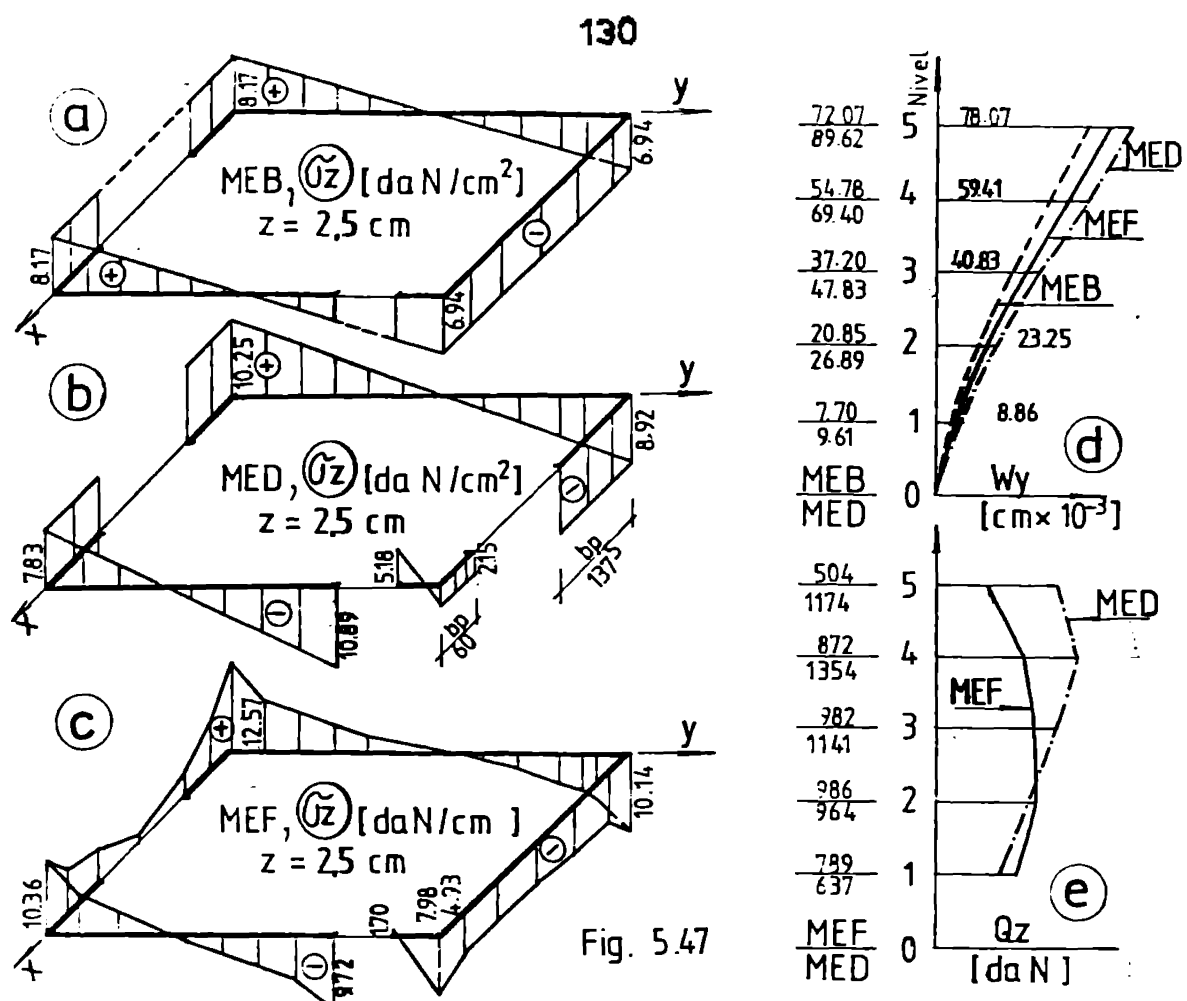
- Rezemare linisită, pe contur, a elementelor spațiale în coloană (coloana C2L);

- Rezemare concentrată pe colțuri (pe zone de cîte 60 cm lungime adiacente colțurilor) a elementelor spațiale în coloană (coloana C2C);

- Imperfecțiuni de rezemare a coloanei C2L la bază: casul I - cînd coloana este rezemată pe zonele BR.1 și BL (40 + 175 cm lungime) adiacente colțului P - și casul II - cînd coloana este rezemată pe zonele BR.2 și BL (zone de rezemare din planul ABB'A' și făst extinsă peste golul de ușă) (fig. 5.50 a).

Fig. 5.45





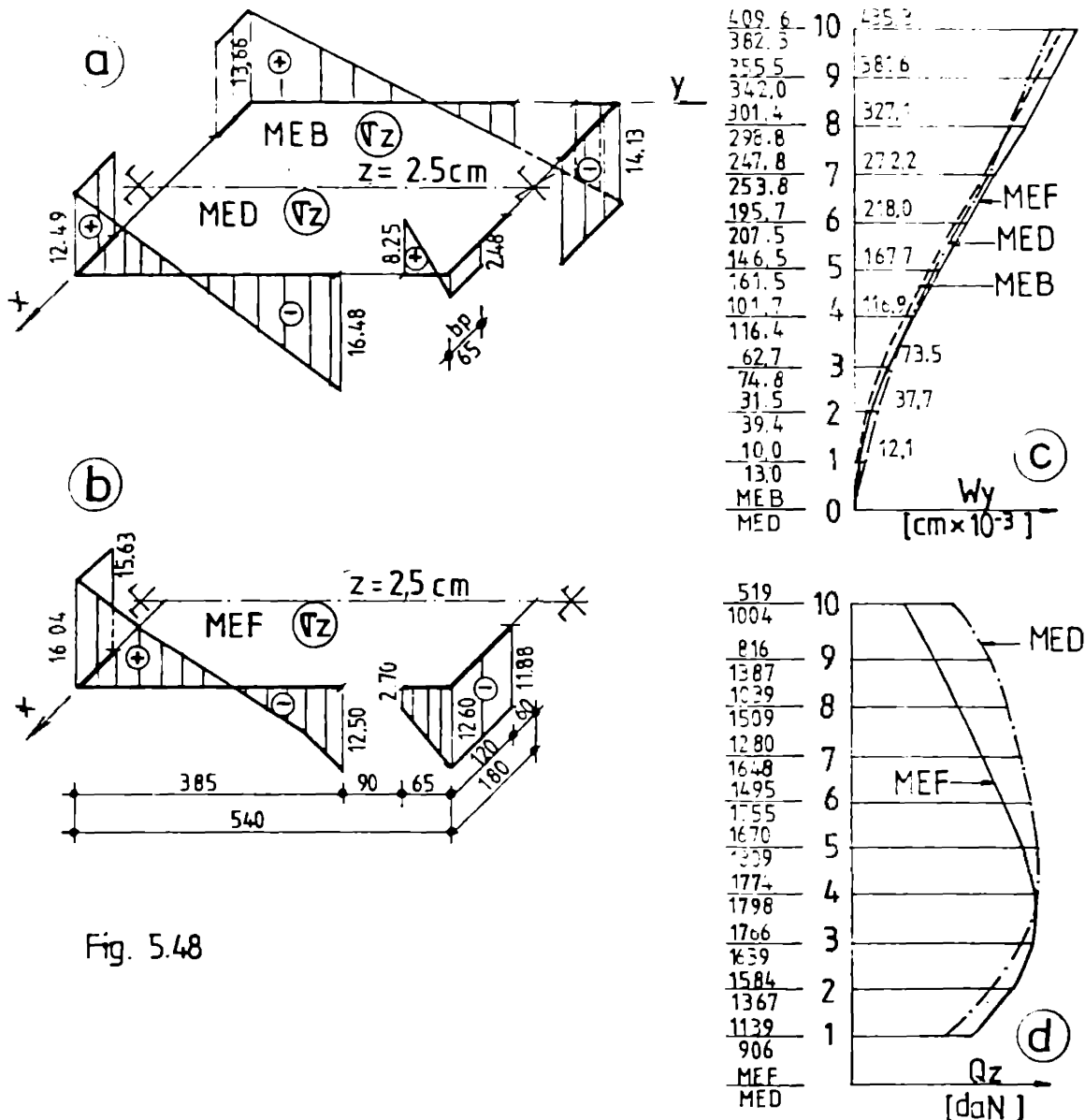


Fig. 5.48

Analizindu-se rezultatele studiului, sintetizate în fig. 5.49 și 5.50a, pot fi făcute următoarele constatări :

- Din distribuția eforturilor unitare normale  $\sigma_z$  la baza coloanei (fig. 5.49 a,b) se remarcă concentrări mari de eforturi în zonele de colț, în cazul coloanei C.2c; pentru încărcari gravitaționale ( $I_p = 3$ ) acestea ajung la doar sau trei ori valoarea corespunzătoare rezemării liniare; pentru încărcările seismice diferențele sunt ceea ce mai mici, dar semnificative. La această stare de eforturi se adaugă, în cazul rezemării pe colțuri, eforturile de undă rezultate din solicitarea de grindă a elementelor spațiale (5.3.1.).

- Nigile de cuplare sunt mult mai solicitate în cazul rezemării concentrate: eforturile ( $Q_z \sigma_y$ ) ajung, la primele niveluri la de 3 - 4 ori mai mari decât valoarea corespunzătoare rezemării liniare (fig. 5.49 c,d, d2.).

- din deformata spațială a coloanei, reprezentată în fig. 5.49c, rezultă că rigiditatea la deplasări laterale este cu circa 40% mai mare în cazul zonelor liniare (C2L), față de rezemarea pe colțuri (C2C).

- efectul imperfectiunii de rezemare de tip IIa.1 (nu sunt afectate zone cu goluri), se limitează la creșteri moderate a eforturilor unitare normale  $\tilde{\sigma}_z$  în pereti (la valori de maxim. două ori mai mari decât cele corespondente coloanei etalon C2L), pe zone slăturate defectului (fig. 5.50b).

- efectele imperfectiunilor de rezemare de tip IIa.2 se manifestă prin :

- . redistribuirea eforturilor unitare normale  $\tilde{\sigma}_z$  în pereti, pe zone care afectează înălțimea parțelui, constând în creșteri a efortului unitar  $\tilde{\sigma}_z$  pînă la valori de 3-4 ori mai mari decât cele corespondente coloanei etalon C2L (fig. 5.50 b,c,d,e,f) și în schimbarea de semn (apariția de eforturi unitare de întindere) a eforturilor în zone anghiești nerezemante (fig. 5.50 g);

- . creșterea importantă a eforturilor în teste rigide de cuplare ( $Q_z + \tilde{\sigma}_y + Z_{yz}$ ) (fig. 5.50 h,i);

- . apariția de eforturi unitare de grindă pe zete  $\tilde{\sigma}_x$  și  $Z_{xz}$  (fig. 5.50 j,k), semnificative, în secțiuni verticală ce trece prin punctul I (fig. 5.50 e) pe înălțimea parțelui.

c) analiza comparativă a coloanelor cu panouri de față portante (?) și de rigidizare (h).

Intrucît în sistemul de elemente spațiale descris pe hărți culcat se pune în cîscutie comportarea panoului de față și a panou portant (este imbinat pe elementul spațial cu plăcuțe metalice sedate, distribuite pe oastur și prin metare cu mortar, fig. 5.45 b, fig. 3.1 ), au fost studiate cooperativ, o coloană etalon avînd toti peretii portanți (C3L-P) și o coloană în care panourile de față și au fost considerate numai de rigidizare (C3L-R). Peretii de rigidizare (nu rezemă unui peste altul în cadrul coloanei), sunt modelați cu elemente finite de membrană, iar legăturile acestora pe elementul spațial, cu bare echivalente (fig. 5.45 c, fig. 5.58).

Analizîndu-se rezultatele studiului sintetic în fig. 5.51, pot fi făcute următoarele constatări :

- în coloane cu panouri de rigidizare (C3L-R) are loc o redistribuire a eforturilor în pereti avînd ca efect :

- . creșterea eforturilor unitare  $\tilde{\sigma}_z$  în peretii portanți (la maxim, pentru încărările gravitaționale cu circa 15-25% și pentru încărările seismice cu 10 - 12%, fig. 5.51 a,b);

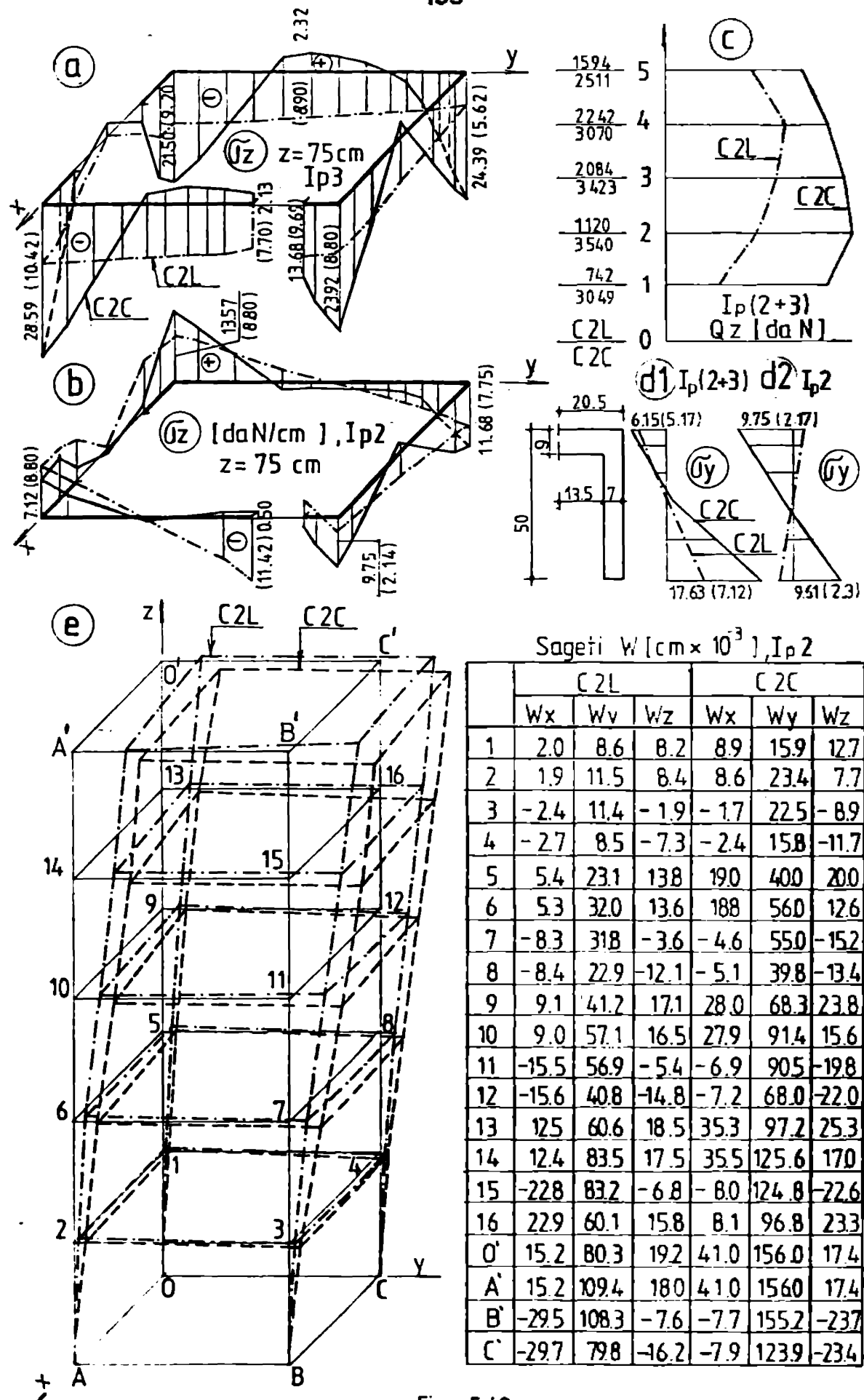
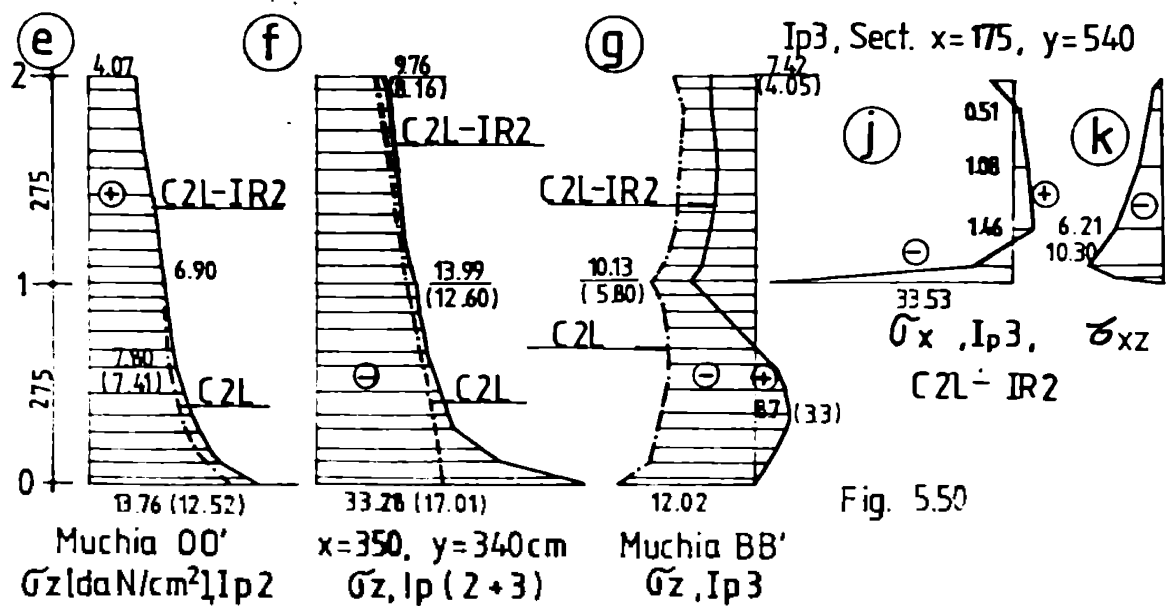
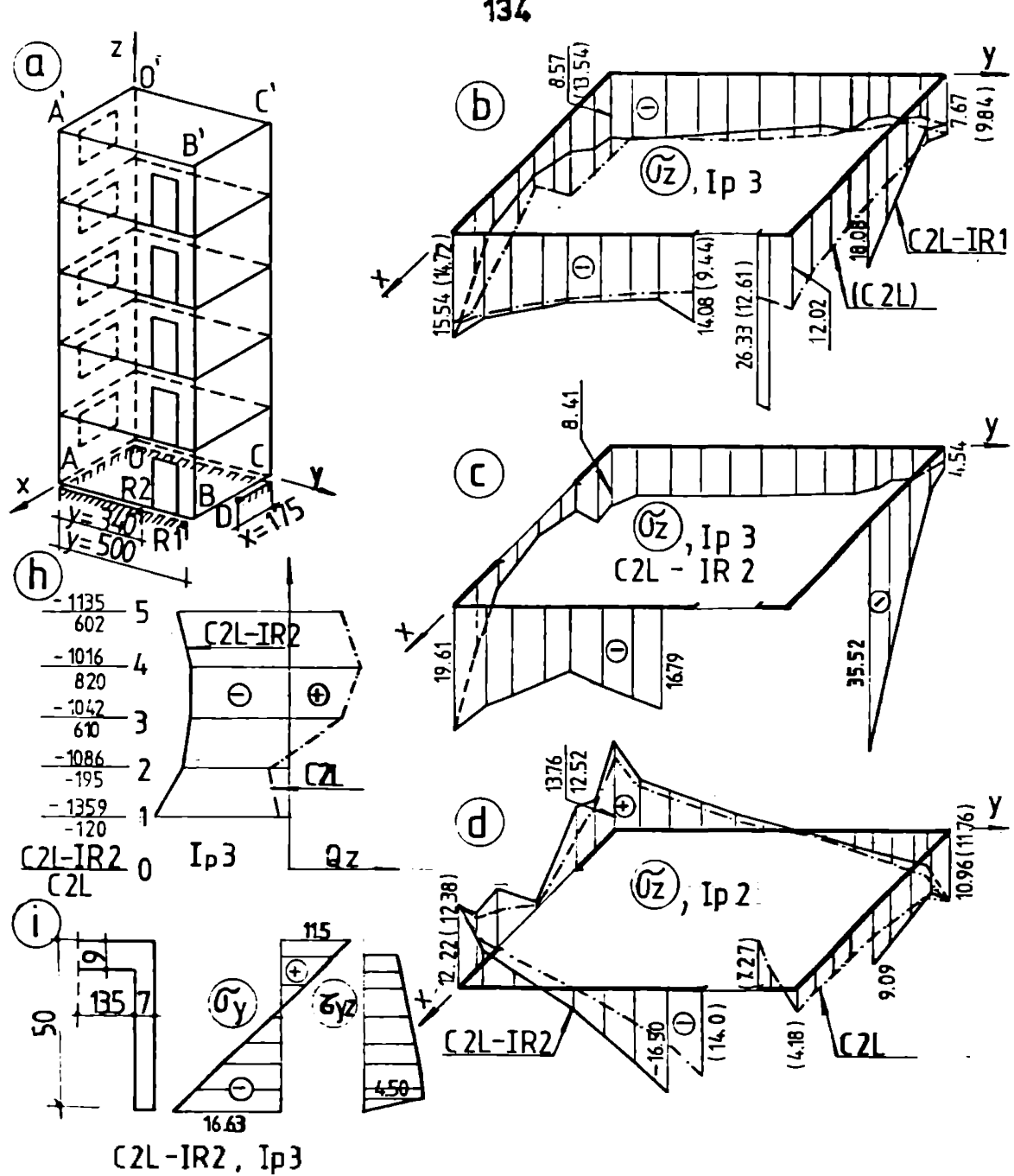


Fig. 5.49



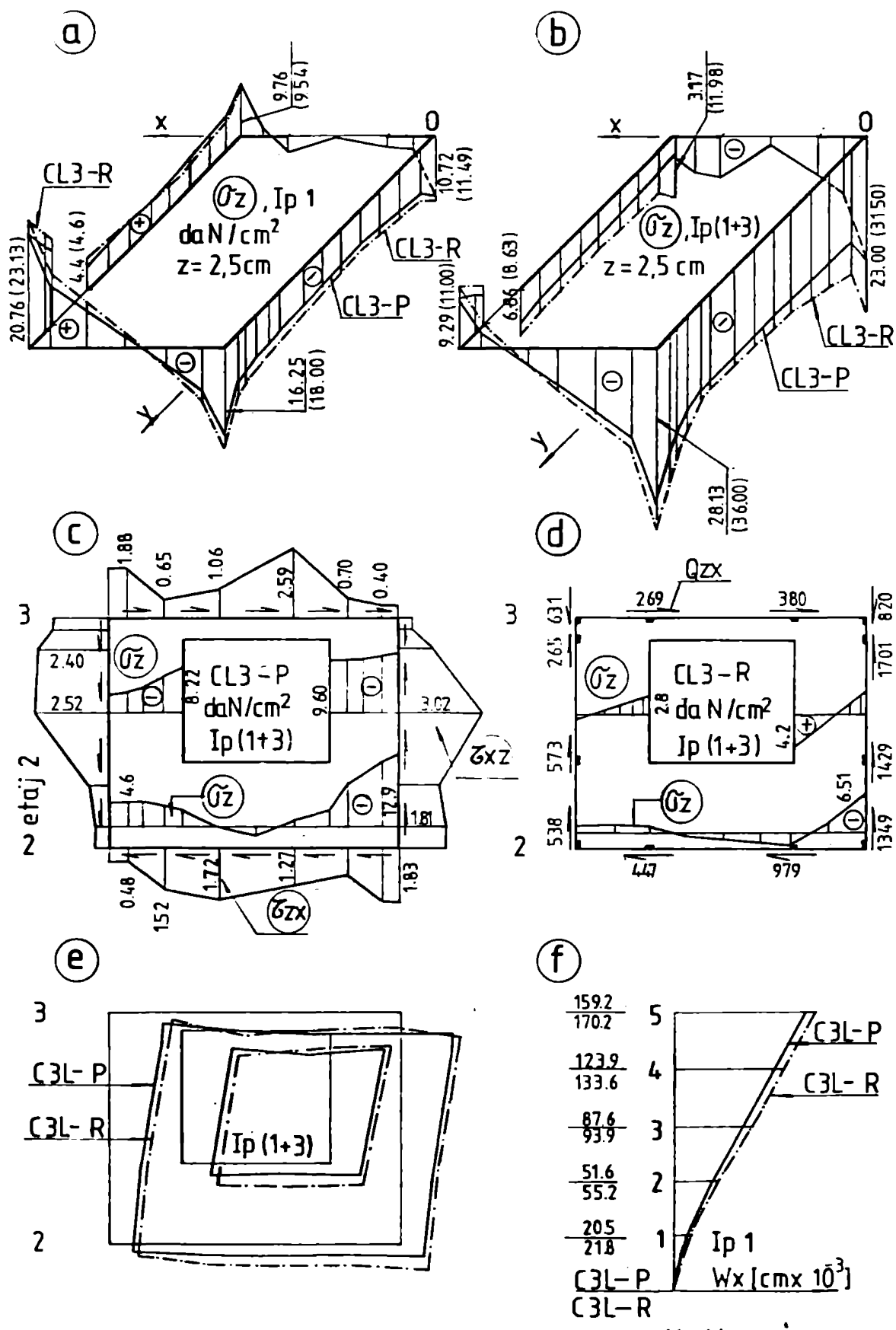


Fig. 551

Muchia 00'

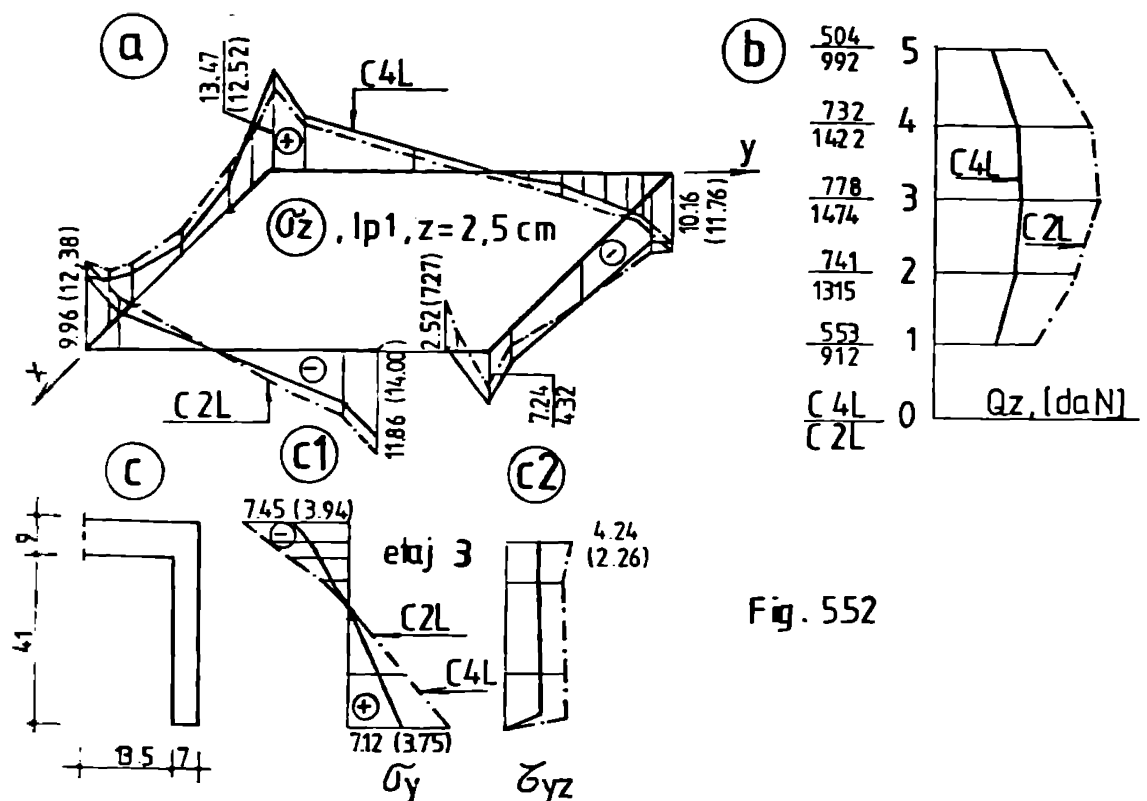


Fig. 552

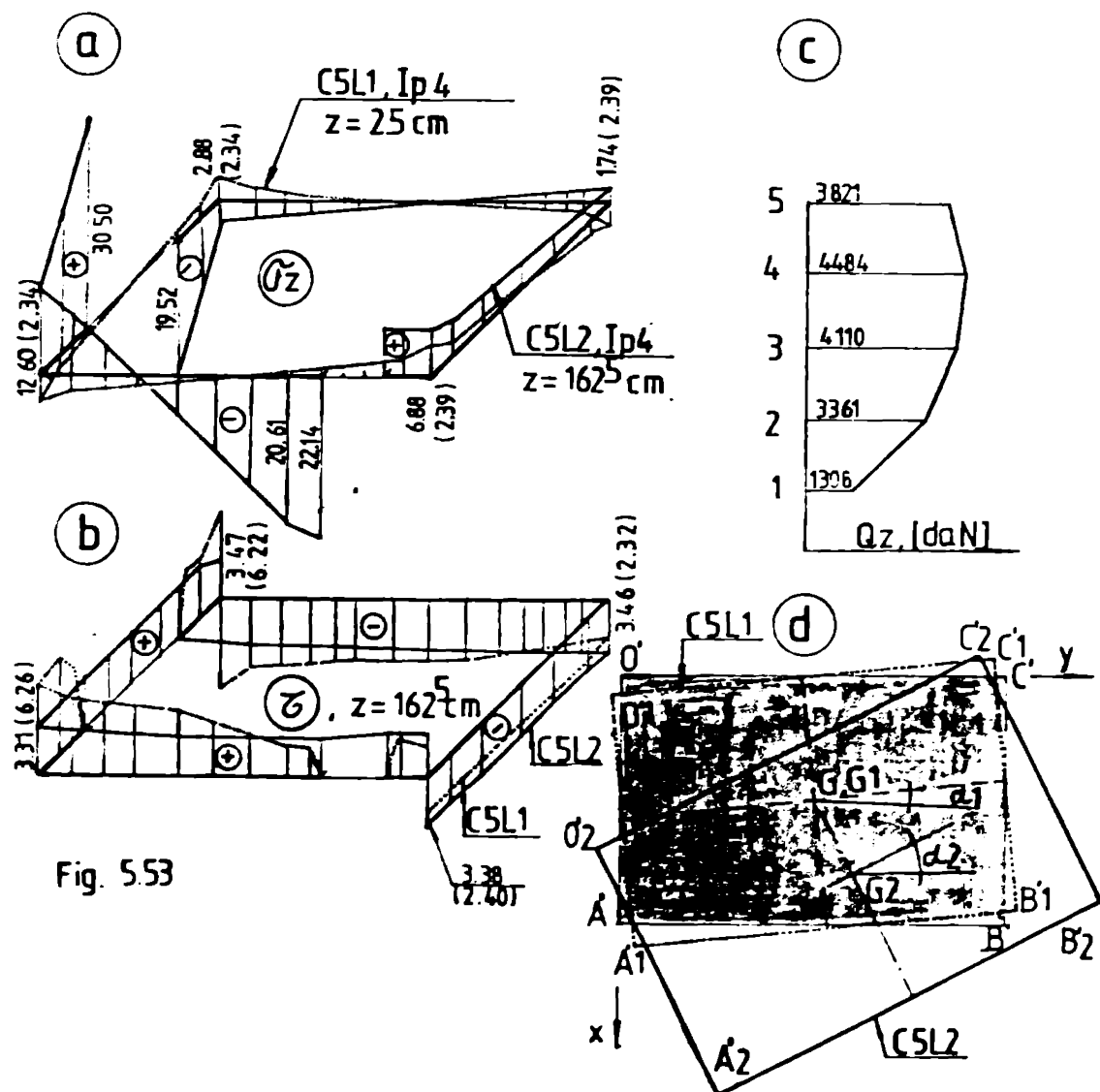


Fig. 553

- scăderea eforturilor unitare în pereții de față (fig. 5.51 c, d); forțele trăietoare în placutele metalice ( $Q_{xz}, Q_{zx}$ ) au valori reduse care pot fi preluate cu secțiuni de max. 2-3 cm<sup>2</sup>.

- Deformările penourilor, în cele două soluții și deplasările laterale ale coloanelor su forme, respectiv valori apropiate (fig. 5.51 e,f); rigiditatea laterală a coloanei cu penouri de rigidizare este mai mică ca cea a făță de cea a coloanei cu penouri portante.

d) Analize comparative a coloanelor tratate ca facind parte din structura clădirii (C2L) și libere (C4L).

Legăturile cu structura clădirii ale coloanei tratate ca facind parte din aceasta, sunt modelate cu penduli indeformabili care împiedică tensiunile individuală la nivelul planșelor. Studiul s-a efectuat în ipoteza de încercare cu forțe seismice convenționale corespondătoare gradului 8 de protecție.

Analizându-se rezultatele, sintetizate în fig. 5.52, se constată că efectele tratării coloanelor ca libere în structura clădirilor se manifestă prin :

- creșterea eforturilor unitare normale în pereți ( $\tilde{U}_z$ ); în cazul studiat, creșterea eforturilor unitare  $\tilde{U}_z$  la baza coloanei, este de circa 7 la 12% (fig. 5.52a);

- scăderea eforturilor în buiandruji, în cazul studiat scădere este de circa 40 la 50% (fig. 5.52 b,c)

e) Analize efectului golurilor din pereți în solicitarea coloanelor la torsion.

În studiu, comparativ, o coloană cu pereți plini (C5L1) și o coloană cu goluri (C5L2), solicitată de cupluri de forțe, aplicate la vîrf (fig. 5.44).

În analiza rezultatelor, sintetizate în fig. 5.53, se constată că influența golurilor în comportarea la torsion a coloanelor se manifestă prin :

- creșterea forței normale a eforturilor unitare normale  $\tilde{U}_z$ , în pereți, în jurul golurilor; în cazul studiat, la baza coloanei, creșterea este de 10 la 15 ori (fig. 5.53 a);

- creșterea moderată a eforturilor unitare tangențiale în pereți (fig. 5.53 b).

- apariția de forțe trăietoare ( $Q_z$ ) în buiandruji, crescătoare de la pereți spre ultimul nivel (fig. 5.53 c);

- creșterea semnificativă a rotirii efective a planșelor; în cazul studiat, planșoul de la ultimul nivel are rotirea efec-

ativă de circa 3 ori mai mare în cazul coloanei cu galuri compara-

tiv cu coloana avind pereti plini.

#### 5.4.2. Experimenturi numerice pe coloane de elemente spa- tiale. Secția 2.

În cercetările experimentale ale imbinărilor structurilor din panouri mari [121, 59] și din elemente spațiale [151, 152], rezultă că marginile (suprafețele) elementelor prefabricate în contact cu imbinarea suferă deplasări relative (glisare) chiar și în faza de explodare a clădirilor. Aceste deplasări conduc la discontinuități de deformare, respectiv de rigiditate, care pun în discuție ipoteza monolitismului perfect între imbinare și elementele prefabricate adiacente, ipoteză acceptată, în general, în calculul structurilor din elemente prefabricate (panouri mari, elemente spațiale).

În cadrul experimentelor numerice se analizează efectul rigidității reale a imbinărilor asupra stărilor de efort-deformare ale structurilor din pereti prefabricați. Au fost studiate două tipuri de imbinări:

- Imbinare tip A : imbinare orizontală din beton armat cu bare verticale distribuite pe lungime și baze orizontale; marginile prefabricatelor sunt prevăzute cu amprente.(imbinare specifică structurilor din panouri mari, fig. 5.54a).

- Imbinare tip B : imbinare orizontală a elementelor spațiale suprapuse, prevăzută cu profiluri perimetrale care se întrepătrund, strat de mortier de poza și șanțuri verticale amplasate în colectoarele elementelor (fig. 5.55a). Curbele caracteristice forță-tăietoare - deplasare ( $T - \Delta^T$ ) ale imbinărilor studiate, determinate experimental [121, 151, ] sunt reprezentate în fig. 5.54 b și 5.55 b. Caracteristicile de rigiditate ale imbinărilor sunt sintetizate prin modulul de deformare secant  $K_s$ , definit cu relația :

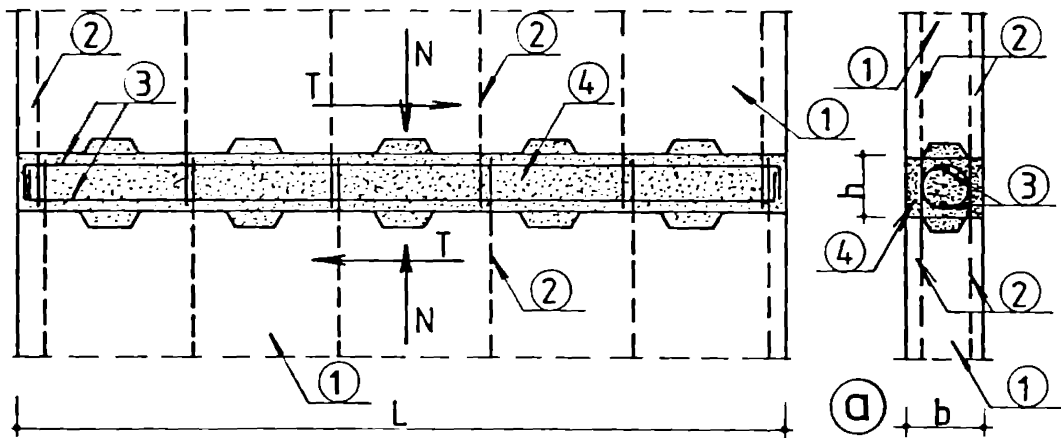
$$K_s = \frac{T}{A_T \Delta^T} = \frac{G}{\Delta^T} \quad (5.66)$$

și determinat pe curbele caracteristice ( $T - \Delta^T$ ), în care  $A_T$  este secțiunea activă pentru calculul deformațiilor produse pe forțele tăietoare, determinată cu formule [3] .

$$A_T = \frac{bL}{k} \quad (5.67)$$

unde : b L sunt dimensiunile secțiunii orizontale active, ale imbinării ;

k este coeficient de formă a secțiunii (egal cu 1,2 în cazul secțiunii dreptunghiulare).



1- panouri ; 2- armaturi verticale distribuite ; 3- armaturi orizontale ;  
4- beton de monolitizare

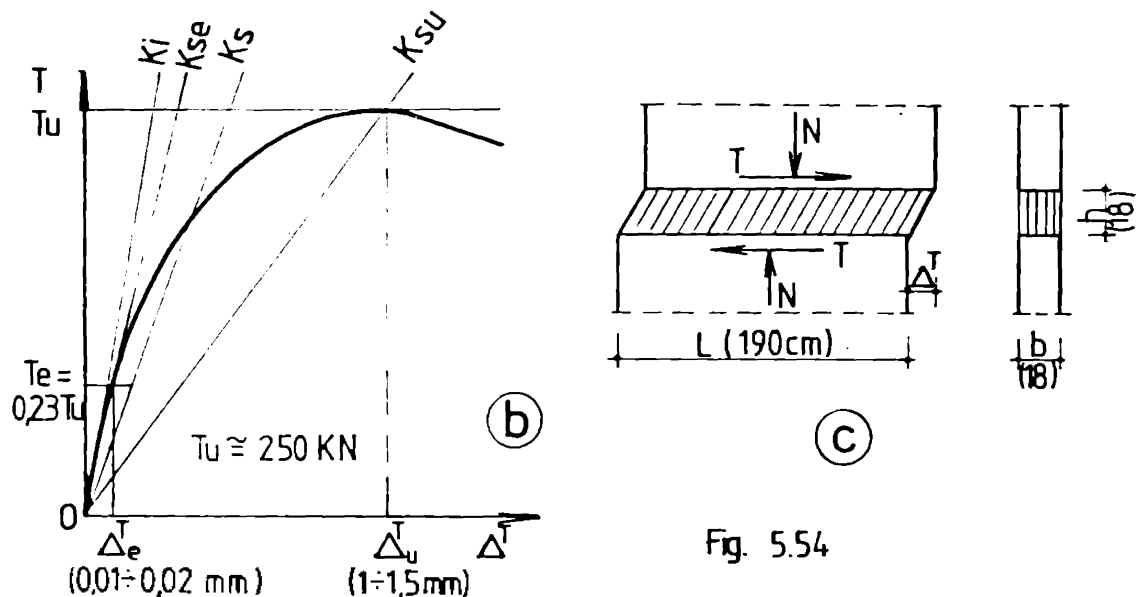


Fig. 5.54

#### 5.4.c.1. Modelarea imbinarilor.

Introducerea caracteristicilor de rigiditate ale imbinarilor în analiza structurilor se face prin adoptarea a două modele:

a) modelul I : materialul imbinării este echivalent ca un material elastic, condiție de echivalență fiind egalația rigidității la forță trăsătoare a modelului, cu rigiditatea corespunzătoare a imbinării reale (fig. 5.54c).

Pentru imbinarea reală deplasarea  $\Delta^T$ , din forță trăsătoare ( $T$ ), rezultă din (5.66).

$$\Delta^T = \frac{T}{K_S A_T} \quad (5.68)$$

Întrucât model, aceeași deplasare  $\Delta_m^T$  se determină cu relația [18],

$$\Delta_m = \frac{T}{G_e A_T} h \quad (5.69)$$

unde  $G_e$  este modulul de elasticitate transversal al materialului echivalent. Deoarece secțiunile active la forță tăietoare ( $A_T$ ) se încolăcizează în cazul modelului și al îmbinării reale, din expresiile (5.68) și (5.69) se obține

$$G_e = h K_S \quad (5.70)$$

Din formula cunoscută [18] :

$$G = E / 2(1 + \mu) \quad (5.71)$$

rezultă coeficientul de deformare transversală a materialului elastic echivalent ( $\mu_e$ ).

$$\mu_e = \frac{E_e}{2 G_e} - 1 \quad (5.72)$$

Îmbinarea se modelază cu elemente finite dreptunghiulare în stări de plană de eforturi, materialul fiind definit prin modulul de elasticitate longitudinal ( $S_e$ ) și coeficientul de deformare transversală ( $\mu_e$ ). Modulul de elasticitate ( $S_e$ ) se stabilește de regulă la valoarea corespondătoare betonului din îmbinare ( $S_b$ ).

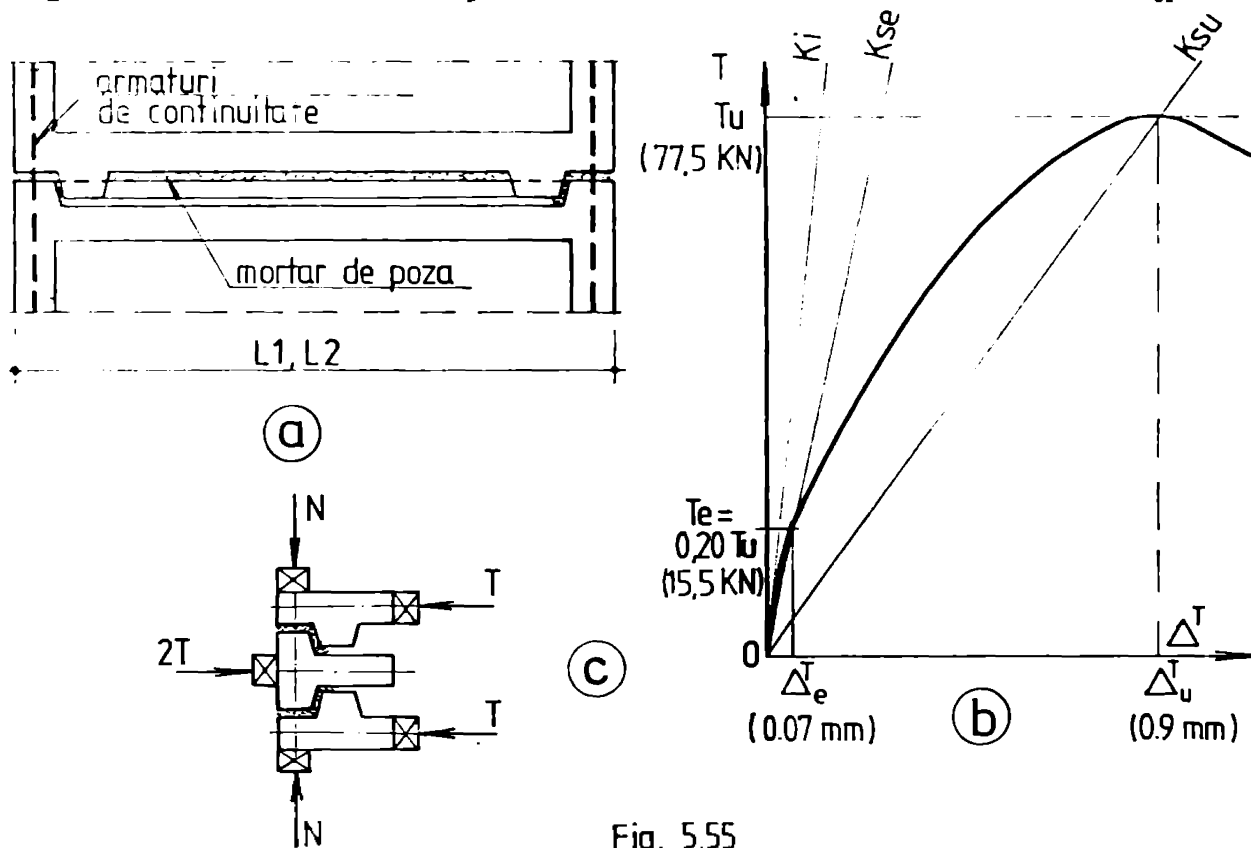


Fig. 5.55

b) Modelul 2. Îmbinarea este modelată cu măntanii și diagonale articulare de marginile elementelor prefabricate ; măntanii echivalenți rezistență și rigiditatea la forțe normale (N) a îmbinării reale, iar diagonalele echivalență rezistență și rigiditatea acesteia la forțe tăietoare (Fig. 5.56a)

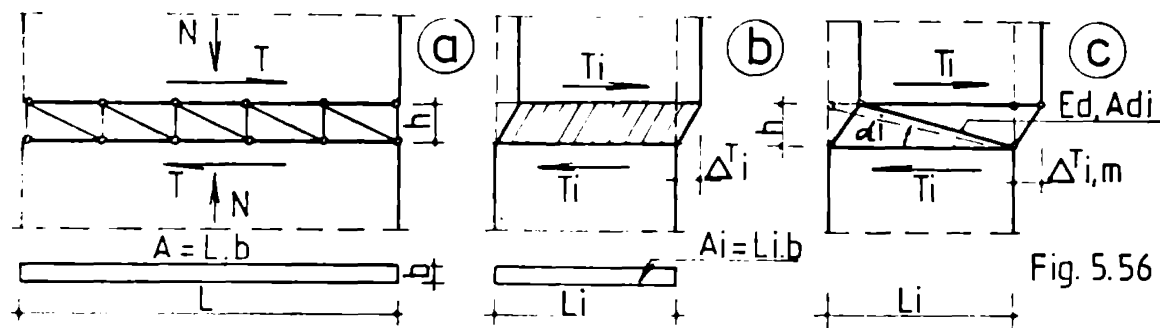


Fig. 5.56

Caracteristicile geometrice și mecanice ale diagonalelor se stabilesc din condiția de egalitate a rigidității la forțe tăietoare a modelului cu a imbinării reale. În panou „i” al imbinării reale, caracterizată prin modulul de deformare secant ( $K_s$ ), sunt deplasarea din forță tăietoare ( $\Delta_i$ ) (fig. 5.56 b)

$$\Delta_i = k T_i / A_i K_s \quad (5.73)$$

Modelul, reprezentat în fig. 5.56 c, are deplasarea corespunzătoare.

$$\Delta_{i,m}^T = T_i L_i / E_d A_d i \cos^3 \alpha_i \quad (5.74)$$

În egalitatea ( $\Delta_i = \Delta_{i,m}^T$ ) rezultă caracteristicile diagonalelor echivalente

$$E_d A_d i = A_i L_i K_s / k \cos^3 \alpha_i \quad (5.75)$$

Imbinările de tip a, la care armăturile verticale sunt dispuse în colțuri, sau sunt concentrate pe anumite zone, pot fi modelate după cum urmărește : armăturile verticale cu măntanți îez betonul cu măntanți comprimăți și, în plus, cu diagonale echivalente, pe zonele unde este asigurată prelucrarea forțelor tăietoare prin frcare, adică este îndeplinită condiție,

$$Z \leq c_f T \quad (5.76)$$

unde :

$Z$  este efortul unitar de frcare în secțiunea orizontală;

$T$  este efortul unitar de compresiune normal pe secțiunea orizontală ;

$c_f$  este coeficientul de frcare, funcție de tipul imbinării [16, 24, 29].

În imbinările de tip b, armăturile concentrate în colțuri se modelază cu măntanți, morterul de pomă cu măntanți comprimăți și, în plus, cu diagonale echivalente pe zonele unde este asigurată prelucrarea eforturilor de frcare prin frcare (5.76), îez preajurile de frcare cu diagonale comprimate (fig. 5.56 d, fig. 5.57).

Caracteristicile diagonalei comprimate, care echivalăză rigiditatea la forțe tăietoare a prelui de forfecare, se determină cu relația (5.75).

$$E_p A_{d,p} = A_p K_{s,p} L_{i,p} / \cos^3 \alpha \quad (5.77)$$

unde  $K_{s,p}$  este modulul de rigiditate secant al îmbinării de tip B, iar celelalte mărimi rezultă din fig. 5.57.

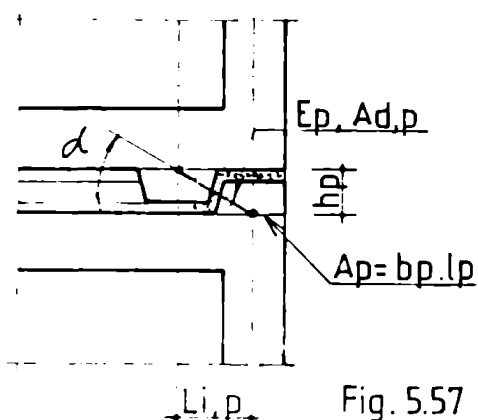


Fig. 5.57

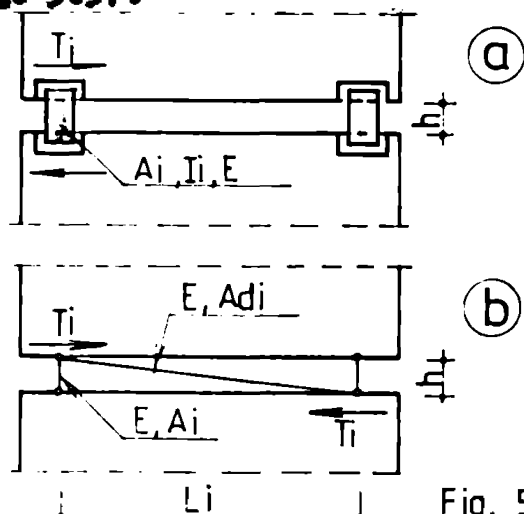


Fig. 5.58

În ceea ce în îmbinările de tip B nu se ia în considerare capacitatea mortarului de rezistență la răstul orizontal de a prelua forțe tăietoare, sau dacă aceasta nu este asigurată prin trăsătură corespunzătoare a suprafețelor de beton în contact cu îmbinarea, din schema sunt eliminate diagonalele echivalente care modelază acest efect (fig. 5.60g); întreaga forță tăietoare este preluată de profilul perimetral (borderul de forfecare), modelat cu o diagonală comprimată.

Cu modelul 2 de calcul pot fi analizate îmbinările orizontale (de tip B) ale stivelor de elemente spațiale; schema îmbinării conține măntanii comprimați care modelază capacitatea mortarului de rezistență la preluarea forțelor normale de compresiune și diagonale comprimate care modelază capacitatea profilurilor perimetrale de a preluă forțe tăietoare (fig. 5.60 j).

Îmbinările cu plăcuțe metalice supinate, pot fi tratate de asemenea cu modelul 2 de calcul: capacitatea plăcuțelor de a preluă forțe axiale normale pe răst este modelată cu măntanii iar capacitatea lor de a prelua forțe tăietoare cu diagonalele echivalente (fig. 5.58).

Prințu o plăcuță metalică, avind axis secțiunii transversale  $A_1$  și momentul de inerție al acesteia  $I_{11}$ , deplasarea din forțe tăietoare ( $r_1$ ) este

$$\Delta_1^T = T_1 \left( \frac{kh}{GA_1} + \frac{h^3}{3EI_{11}} \right) \quad (5.78)$$

unde  $G_i$  și  $E_i$  sunt modulii de elasticitate transversal respectiv longitudinal ai elementului, iar  $\alpha_i$  este deschiderea răstului.

Aceeași deplasare ( $\Delta_{i,m}^T$ ) determinată pe model arc este (5.74)

$$\Delta_{i,m}^T = \frac{T_i L_i}{E_i A_i \cos^3 \alpha_i}. \quad (5.79)$$

În consecție de egalitatea rigidităților la forță trăsătură a modelului cu a înbinării reale, (respectiv a deplasărilor  $\Delta_i^T = \Delta_{i,m}^T$ ), rezultă caracteristicile diagonalelor echivalente

$$E_i A_i = \frac{L_i}{\left( \frac{k h}{G A_i} + \frac{h^3}{3 E I_i} \right) \cos^3 \alpha_i} \quad (5.80)$$

În considerarea (în 5.60) că  $G = 0,4$  și  $k = 1,2$  (coeficiențe creștării binarii), secțiunea diagonalei echivalente (care are elastică și plastică metalică) este

$$A_{di} = \frac{L_i}{\left( \frac{3 n}{A_i} + \frac{h^3}{3 I_i} \right) \cos^3 \alpha_i} \quad (5.81)$$

#### 5.4.2.2. Obiectul experimentărilor numerice și rezultatul obținut.

În ceea ce privește modelul de calcul pentru înbinări, prezentat, s-a efectuat experimentare numerică pe calcane cu 5 niveluri elaburate din elemente spațiale tip și b (5.3.1, fig. 5.16), prevăzute cu înbinări orizontale de tip a și b (fig. 5.59). Înbinările sunt corectate prin modulul de deformare secant, pentru faza de exploatare. Valoriile acestuia, determinate experimental, au fost preluate din [151] pentru înbinările de tip a și din [151] pentru înbinările de tip b. Modulul de elasticitate longitudinal și lateralul de peșă din răst (înbinarea tip a) s-a considerat  $a = 10600$  din/cm<sup>2</sup> [156]. Vitezele de creștere sunt preconizate fixe ( $\omega_x = 0,15$  rad).

Calcanele au fost analizate în trei ipoteze de încarcare :

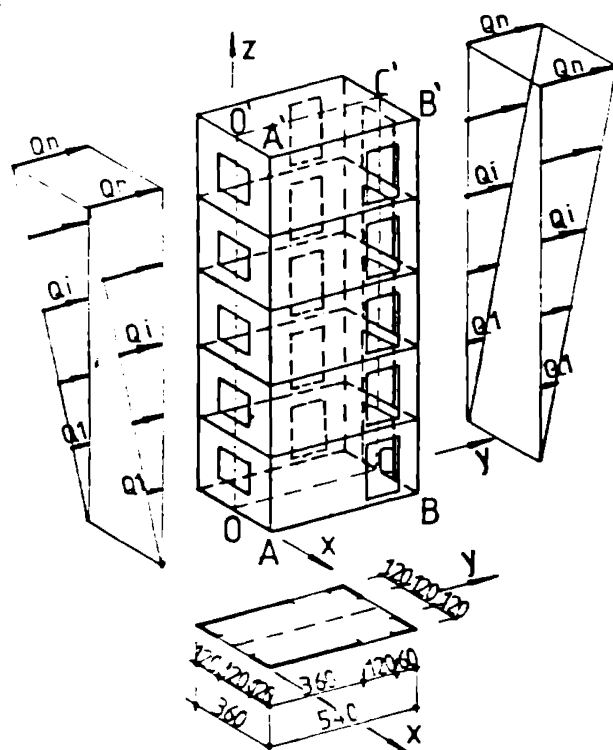
- Ipoteza 1 : încărcări gravitaționale din greutate proprie și sarcină utilă în grupele fundamentale ;

- Ipoteza 2 : încărcări gravitaționale combinate cu încărcări seismice de cod aferente gradului 4,5 de protecție, în grupe speciale ;

- Ipoteza 3 : încărcări gravitaționale combinate cu încărcări seismice de cod aferente gradului 7 de protecție, în grupe speciale.

Încărcările gravitaționale, determinate ca sarcini pe linii ce reprezintă elementul spațial și (fig. 5.51, d), se sunt aplicate ca forțe concentrate în sarcurile orizontale ale coloanei. Încărcările seismice, distribuite triunghiular pe înalțime, se sunt aplicate pe muchiile coloanelor ca forțe concentrate la nivelul planșeelor de teren (fig. 5.54).

Elementele spațiale din coloane au fost modelate cu elemente finite de membrană (conform schemelor de distractiune din fig. 5.45 c), iar întinserile cu elemente finite de membrană pentru modelul 1 și cu elemente finite tip bare pentru modelul 2. La întinserile de tip B, în cazul adoptării modelului 2, strângările verticale au fost modelate cu bare pe toata înălțimea coloanelor.



Nomenclatorul coloanelor

Nr crt.	Denumire coloanei	Tip imbinare	Ipoteze de calc.	Model calc.	Modul de rigiditate imbinare [daN/cm³]	
					Ks	Ks,p
1	A1	A	1;2	1	—	—
2	A2	A	1;2	2	320	—
3	B1	B	1;2	1	160	1000
4	B2	B	1;2	2	160	1000
5	B3	B	2	2	160	1000
6	B4	B	2	2	160	1000
7	B5	B	2	2	—	1000
8	B6	B	2	2	—	1000
9	B7	B	3	2	—	1000

Fig. 5.59

Beton armat B 250 (clasa Bc 20)

pereti: 7 cm, planse: 9 cm

$$Q_i = iQ_1$$

S = rezult. încarc. seis. pe coloana

$$S = 4 \sum_{i=1}^n Q_n$$

S = 15.000 daN pt. grad. seis. 8,5

$$S = 2n(n+1)Q_1$$

S = 6.800 daN pt. grad. seis. 7

n = nr. de niveluri

Nomenclatorul coloanelor expărțită, care cuprinde denumirile coloanelor, tipul de întinsare folosit pentru fiecare coloană, ipotezele de încărcare, modelul adoptat pentru schematizarea îmbină-

nării între elementele suprapuse și modulul de rigiditate secant al îmbinării, pentru faza de exploatare, este prezentat în fig. 5.5).

Se prezintă în continuare obiectul experimentelor numerice și rezultatele obținute, sintetizate în fig. 5.6a la 5.6u.

a) Compararea modelelor 1 și 2 de schematizare a îmbinărilor. În analiza comparativă a rezultatelor obținute pe coloane B.1 (model 1) și pe coloane B.2 (model 2), (fig. 5.6a b,c), rezultă că distribuțiile eforturilor unitare  $\tilde{\sigma}_z$  și  $\tilde{\tau}$  în pereți, la bază, sunt foarte apropiate pentru cele două coloane; se remarcă concentrările eforturilor axiale în armăturile verticale modelate cu baze. Deplasările calcanalelor, pentru aceeași ipoteză de încărcare, sunt aproape identice. Se poate face, deci, constatărea, că prin analiza coloanelor, cu folosirea modelelor 1 și 2 de schematizare a îmbinărilor, se ajunge practic la același stări de eforturi și deformații.

Modelul 2 are însă avantajul că, prin folosirea lui, se pot determina comportarea și stările de efort-deformare, în faza de exploatare, ale coloanelor din elemente spațiale prevăzute cu îmbinări de tip B, precum și ale stivelor din elemente spațiale.

b) Determinarea comportării și a stărilor de efort-deformare în faza de exploatare, ale coloanelor de elemente spațiale prevăzute cu îmbinări de tip B. Calculul se face pe etape, pornind de la modelarea îmbinărilor cu scheme din fig. 5.6a e (Coloana B.2). În etape următoare se enunță rigiditățile constanților cu efecturi de întindere care modelază stratul de mortar de poza și ale disjuncțiilor echivalente situate în sfera zonei de preluare a forțelor tractive prin frezare; se ajunge la coloana B.4 (fig. 5.6a d,e,f). Deacă se consideră că forțele tractive sunt preluate numai de profilurile perimetrale, se ajunge la coloane B.5 (fig. 5.6a g,h,i). Starea de efort-deformare a coloanei B.4, în rosturile orizontale, pentru încărcări corespunzătoare fazei de exploatare (I<sub>1,2</sub>), în studiu elasic, este caracterizată prin :

- delimitarea zonelor comprimate și a zonelor care preiau eforturi tangențiale prin frezare;
  - eforturi normale pe secțiuni crizontale concentrate în armăturile verticale și distribuite pe sens comprimat, ca în fig. 5.6a e;
  - forțe orizontale concentrate în profilurile perimetrale și distribuite pe sens de frezare, ca în fig. 5.6a f;
  - deplasări orizontale cu glisări în rosturi (fig. 5.65 b).
- Predarea întregii forțe tractive la profilurile perimetrale

(coloana B.5), are următoarele efecte :

- reducerea zonelor comprimate în secțiunile orizontale ;
- redistribuirea eforturilor normale pe secțiune, creșterea eforturilor unitare  $\bar{\sigma}_z$  mai ales în zone galurilor (cu circa 9% în cazul concret studiat) (fig. 5.6c h);
- creșterea eforturilor unitare în riglele de cuplare ;
- creșterea depresiilor laterale (cu circa 34% în cazul concret studiat).

c) Determinarea comportării și a stării de efort-deformatie, în fază de exploatare, ale stivilor de elemente spațiale. Analiza este efectuată în etape succeseive în care sunt analizate rigiditățile montanților, având eforturi de întindere. Plecind de la coloana B.5 se ajunge la stiva B.6 (fig. 5.6c j,k,l). Comportarea stivei B.6, în stadiul elastic, la încărări gravitaționale combinate cu încărări seismice de cod corespondătoare gradului 3,5 de protecție și starea globală de efort-deformatie, sunt caracterizate prin :

- ridicarea peretilor în primul rest orizontal de la bază în „zone întinse”. (În cazul concret studiat ridicarea peretului A' b b' s-a făcut pe o lungime de 120 cm) (fig. 5.64);
- reducerea zonelor comprimate și creșterea eforturilor unitare  $\bar{\sigma}_z$  pe aceste zone comparativ cu coloana B.5 (cu circa 10%), (fig. 5.6c h,k);
- înregistrarea unor glisări în resturile orizontale, exercitate de la vîrful stivei spre bază (fig. 5.64);
- creșterea eforturilor în riglele de cuplare cu circa 7-8%, față de coloana B.5;
- asigurarea stabilității de poziție a elementelor spațiale în stivă; în cazul studiat elementul spațial de la partea stării de incarcare analizată este un coeficient de stabilitate  $C_s$ , exprimat ca raport între momentul de stabilitate ( $M_s$ ) și momentul de răsturnare ( $M_r$ ), de 4,14 (fig.5.66).

Comportarea inițială este condiționată de asigurarea că rigile de cuplare nu ieș din lucru la starea de incarcare analizată; respectarea condiției implicită asigurarea unor secțiuni transversale și a unor procente de armare, longitudinală (p) și transversală (pe), corespondătoare. (Pentru secțiunea exceptată (fig. 5.62), acest lucru este posibil prin prevederea unor carcase de armare a rigilelor, din oțel PC.52, formate din armături longitudinale, cu  $p \geq 15$  și etrieri cu  $pe \geq 0,35\%$ ).

Pe stiva B.7 s-a analizat starea de eforturi rezultate din încărcarea cu sarcini gravitaționale și seismice convenționale corespondătoare gradului de protecție 7. Mai distibuția eforturilor unitare normale  $\bar{\sigma}_z$ , la bază stivei, rezultă că nu apar întinderi; întreaga

secțiune orizontală este comprinsă (fig. 5.61 g).

d) Determinarea efectelor rigidităților reale ale îmbinărilor asupra stăriilor de eforturi și deformații ale coloanelor comparativ cu ipoteza monoliticului perfect.

Au fost studiate comparativ, coloana etalon A.1 (tratătă în ipoteza monoliticului), cu coloana A.2 (prevăzută cu îmbinări de tip A), coloanele B.4, B.5 (prevăzute cu îmbinări de tip B), și stiva B.6. Din analiza rezultatelor, sintetizate în fig. 5.60 la 5.66, se constată că principalele efecte ale considerării în calcul a rigidităților reale ale îmbinărilor, comparativ cu ipoteza monoliticului, sunt :

.înregistrarea, în deformațiale coloanelor, a unor „glisări” în rosturile orizontale (fig. 5.63, 5.64, 5.65); aceste glisări cresc din spate virf spre bază și sunt mai mari (cu cca 60%) în cazul coloanelor B față de coloanele A (fig. 5.63, 5.64, 5.65);

.obținerea unor depresiuni laterale mai mari; la vîrful coloanelor acestea sunt mai mari, cu cca 29% la coloana A.2, cu 34% la coloana B.5 și cu 97% la stiva B.6 (față de cele corespondente ale coloanei etalon A.1 (fig. 5.63, 5.64, 5.65));

.redistribuirea eforturilor unitare normale în secțiunile orizontale ale pereților; în secțiunile de la bază coloanelor, valurile maxime ale acestora diferează cu 5-10% la coloana A.2 și cu 10-15% la coloanele B.5, B.6, față de cele corespondente ale coloanei etalon A.1 (fig. 5.60, 5.61);

.înregistrarea unor creșteri a eforturilor în riglele de cuplare; acestea sunt mai mari cu 15-20% la coloana A.2 și cu 20-75% la coloanele B.5, B.6 față de cele corespondente ale coloanei etalon A.1 (fig. 5.62).

e) Din analiza rezultatelor experimentărilor numerice mai pot fi făcute cîteva constatări :

. În cazul coloanelor de elemente spațiale analizate, distribuția eforturilor unitare în secțiunile orizontale ale pereților, rezultată din incăsurile gravitaționale (greutate proprie și sarcină utilă), indică participarea întregii secțiuni la prelucrarea acestor eforturi (fig. 5.49a, 5.50 b, 5.61 e). Distribuția eforturilor unitare normale în zonele comprimate, rezultată din încăsurile gravitaționale combinate cu încăsurile seismice, indică conlucrarea pereților longitudinali (inimă) cu pereții transversali (talpe) pe toată secțiunea aceasta din urmă (fig. 5.51 a,b, 5.53 a, 5.61 b,d, 5.66). Unul din cazuurile analizate se referă la un montant în formă de L avind înălțimea inițială  $h_1 = 60$  cm, lățimea talpii  $b_p = 100$  cm, grosimea

câmpii  $b_p = 7$  cm și înălțimea totală (a construcției)  $H = 1375$  cm (deci  $b_p = 3 b_1$ ,  $b_p = 0,13 H$ ,  $b_p = 25 h_p$ ), la care se constată concordanța inițială cu datele pe toata secțiunea acesteia. În altfel aceleși rezultate sunt confirmate și de experimentările de laborator, efectuate recent la IJU-HC, privind latimea activă a tălpilor la dispergele de beton armat [55].

În cazul rezemării liniare a elementelor spațiale, tratate separat, din încărcările gravitaționale direct aplicate, rezultă o distribuție neuniformă a reacțiunilor cu deschirarea colțurilor (fig. 5.19 e,d). Urmare încărcării coloanelor cu secțiunile pe liniiile de rezemăre a elementelor spațiale, diagramele eforturilor unitare normale la bază indică o uniformizare a distribuției, cu ușoare concentrări în zonele alăturate galurilor și pe colțuri.

#### 5.4.3. Concluzii rezultante din experimentările numerice pe coloane.

##### a) Referitor la modelul de calcul.

Dintre modelele de calcul analizate - MEB, MBD și MAF - singurul care evidențiază corect și complet stările de efort-deformare ale structurilor din elemente spațiale, în stadiul elastic, este modelul de calcul cu elemente finite MAF. El asigură posibilități de analiză detaliată a concentrărilor de eforturi în zonele de rezemăre, sau slabite de galuri și associază la acestea în considerare a caracteristicilor reale de rezistență și rigiditate ale îmbinărilor, conduce la cunoașterea efectelor acestora asupra stărilor de efort-deformare ale coloanelor, stivelor și structurilor din elemente spațiale.

##### b) Referitor la model de rezemăre a elementelor spațiale.

Rezemărea liniară pune în valoare capacitatea portantă a peretilor; se impun însă măsuri constructive și tehnologice severe, pentru realizarea corectă a acesteia și de evitare a rezemărilor concentrate accidentale precum și a imperfecțiunilor de rezemăre de tip IN2 (care afectază pereti cu galuri).

Soluțiile de rezemăre concentrată sunt mai ușor de realizat și contriclat, dar conduce la creșteri mari de eforturi în zonele de rezemăre și la eforturi suplimentare, semnificative, în bule și drugi, pereti și planșee, din solicitările de grindă a elementelor spațiale.

##### c) Referitor la penourile de fațadă cu rol de rigidizare.

În cazul adoptării soluției de îmbinare a penoului de față-

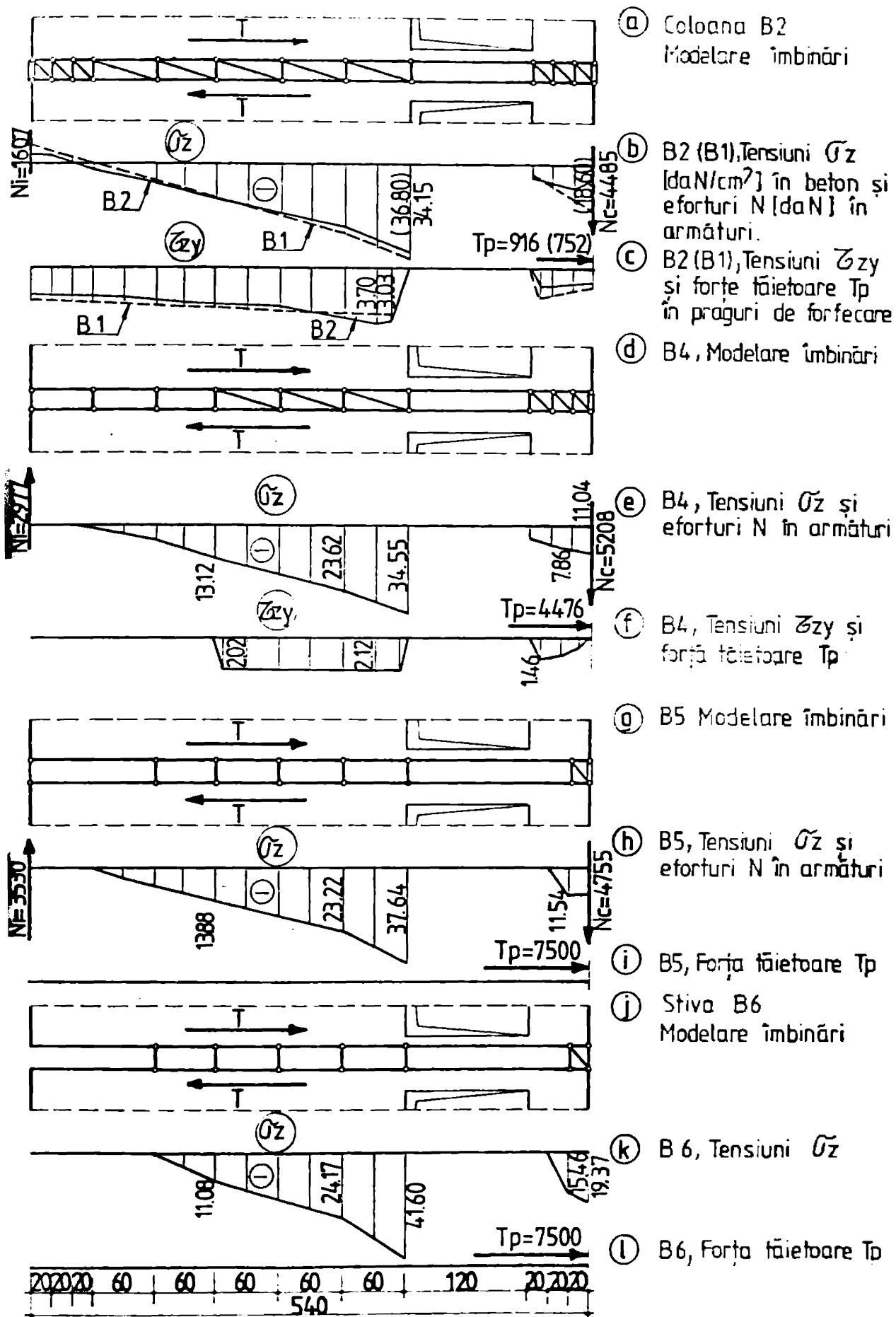


Fig. 5.60 MODELARE IMBINARI ORIZONTALE SI EFORTURI LA BAZA PERETELUI AA'B'B AFERENT COLOANELOR B<sub>1</sub>...B<sub>6</sub>

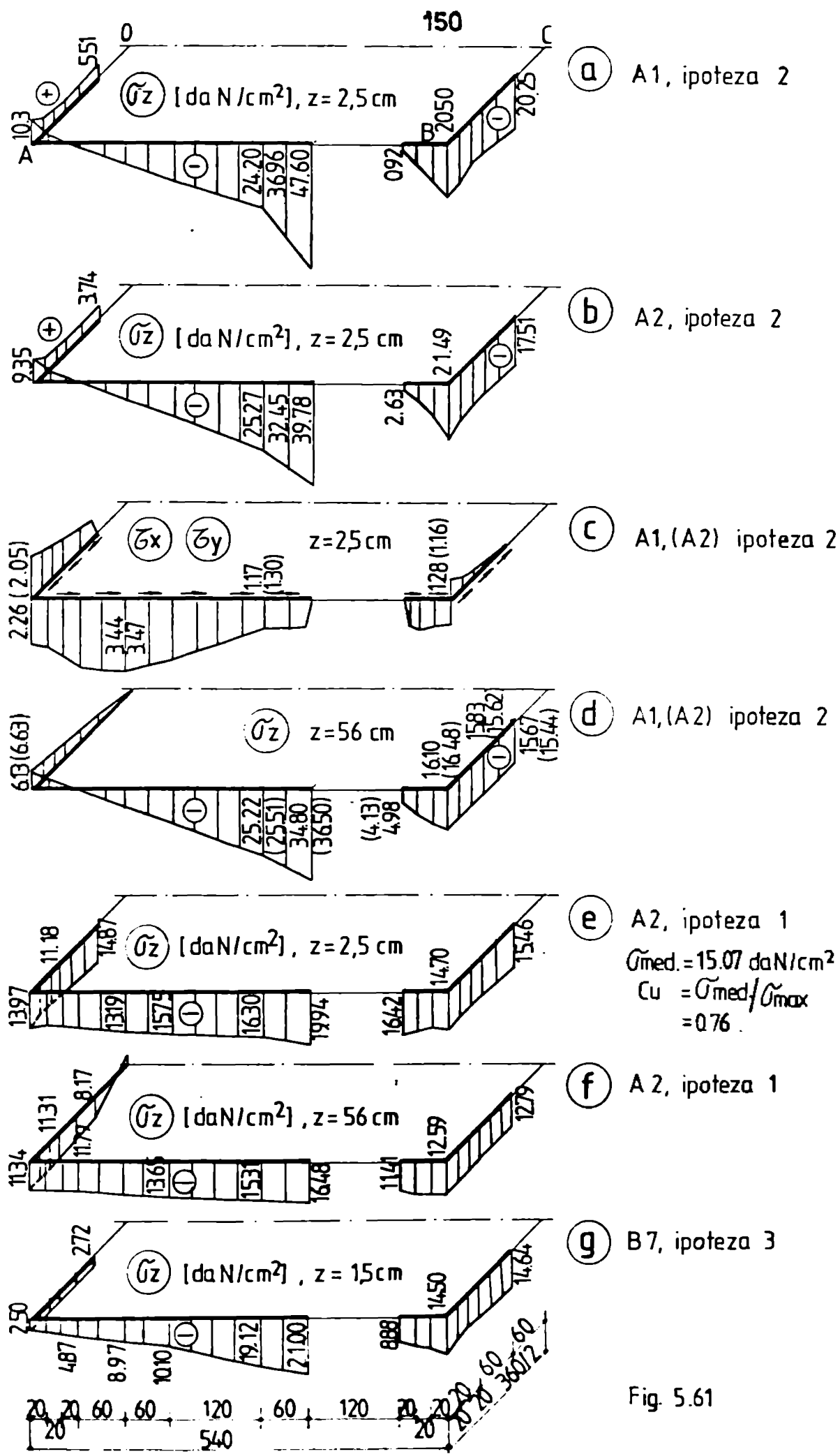
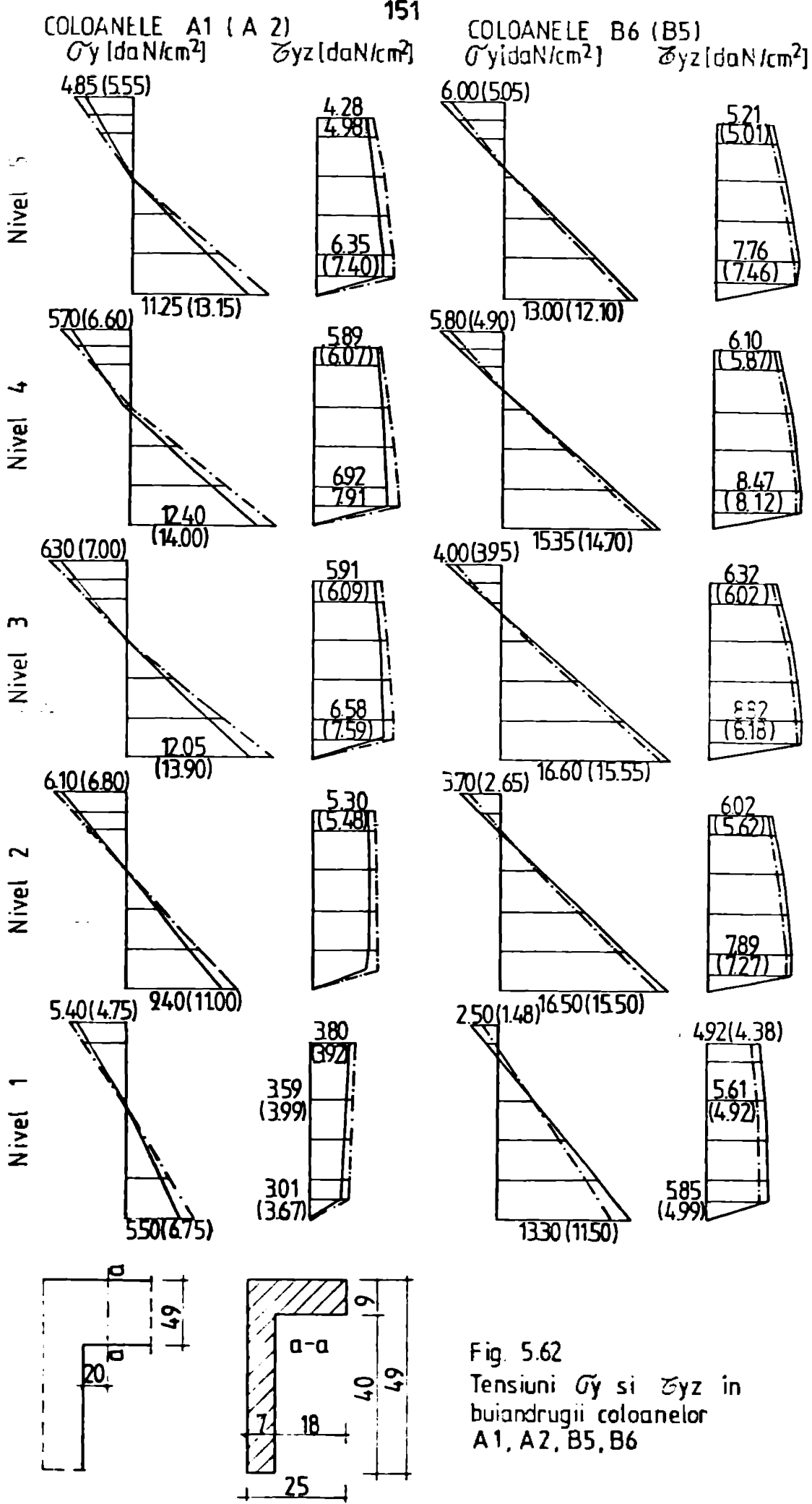


Fig. 5.61



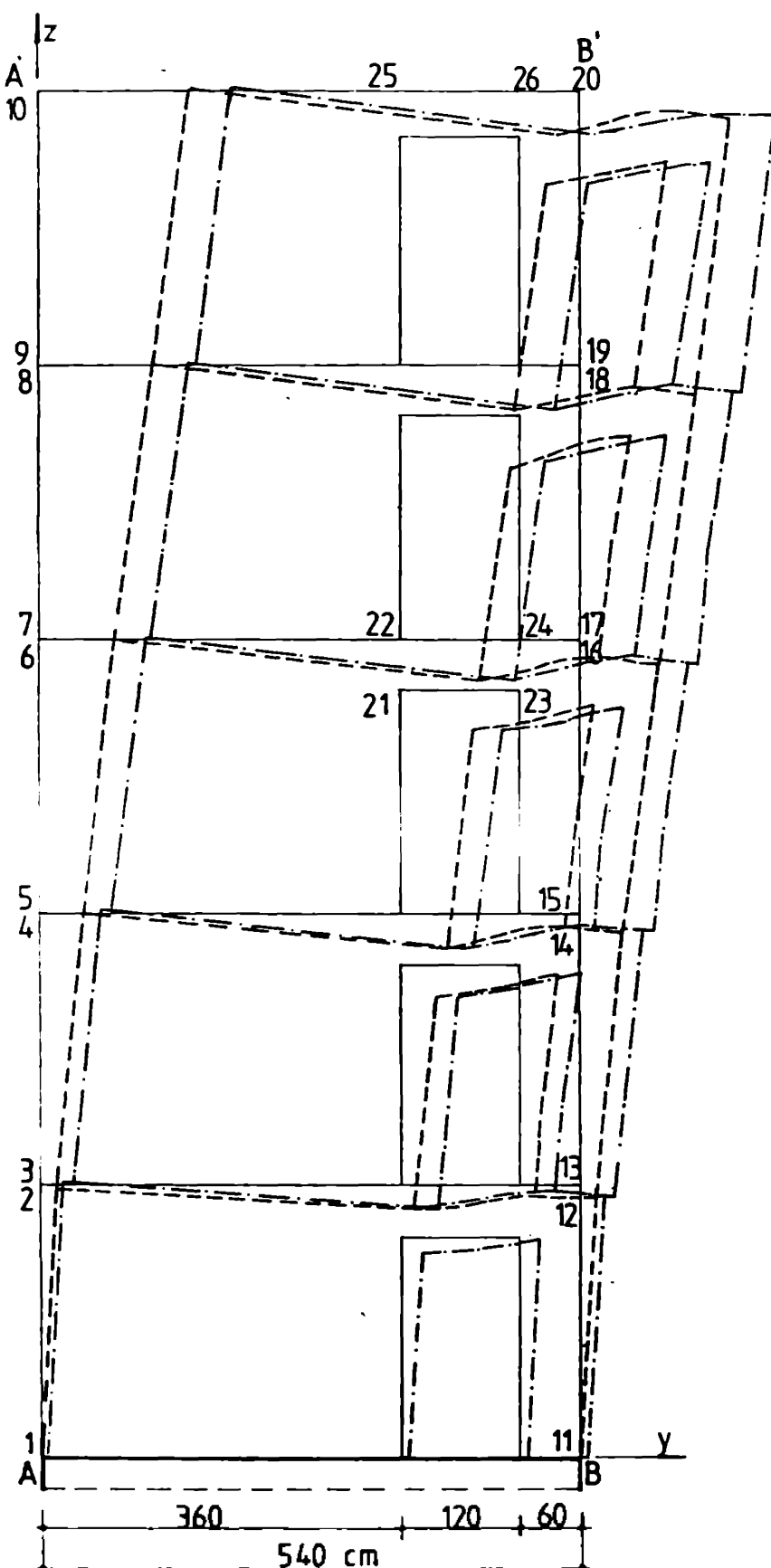
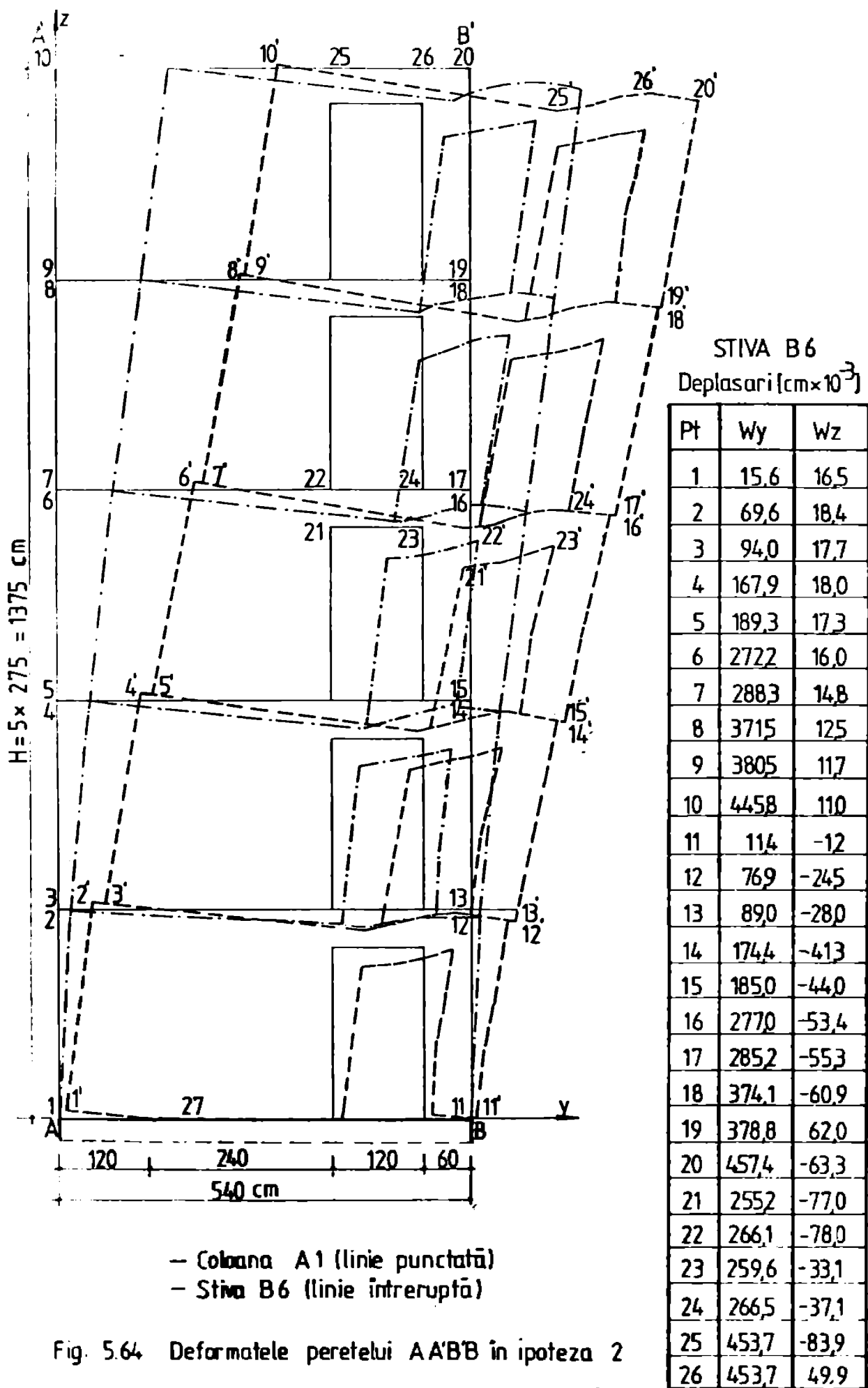


Fig. 5.63

Deformările peretelui A-B'B' al coloanelor A1 (linie întârziată) și A2 (linie punctată) în ipoteza 2 de încărcare.

Pt	Wy	Wz
1	0.0	00
	16.3	02
2	20.9	4.6
	38.4	5.0
3	20.9	4.6
	53.8	5.0
4	62.6	57
	96.8	62
5	62.6	57
	110.1	62
6	115.0	48
	163.8	53
7	115.0	48
	173.0	53
8	171.4	3.2
	231.4	3.6
9	171.4	3.2
	237.1	3.6
10	226.5	28
	292.9	31
11	0.0	00
	16.9	-0.4
12	21.6	-152
	40.0	-154
13	21.6	-152
	54.4	-157
14	63.2	-274
	98.3	-274
15	63.2	-274
	110.6	-27.6
16	115.5	-363
	165.0	-362
17	115.5	-363
	174.3	-36.4
18	171.8	-418
	231.9	-41.7
19	171.8	-418
	237.3	-418
20	226.1	42.8
	292.6	42.5
21	107.2	-60.4
	155.4	-61.5
22	115.0	-61.8
	162.5	-62.7
23	108.1	-24.3
	156.9	-23.7
24	114.5	-26.3
	162.4	-26.0
25	223.8	-654
	289.7	-66.5
26	222.9	-34.7
	289.6	-34.2



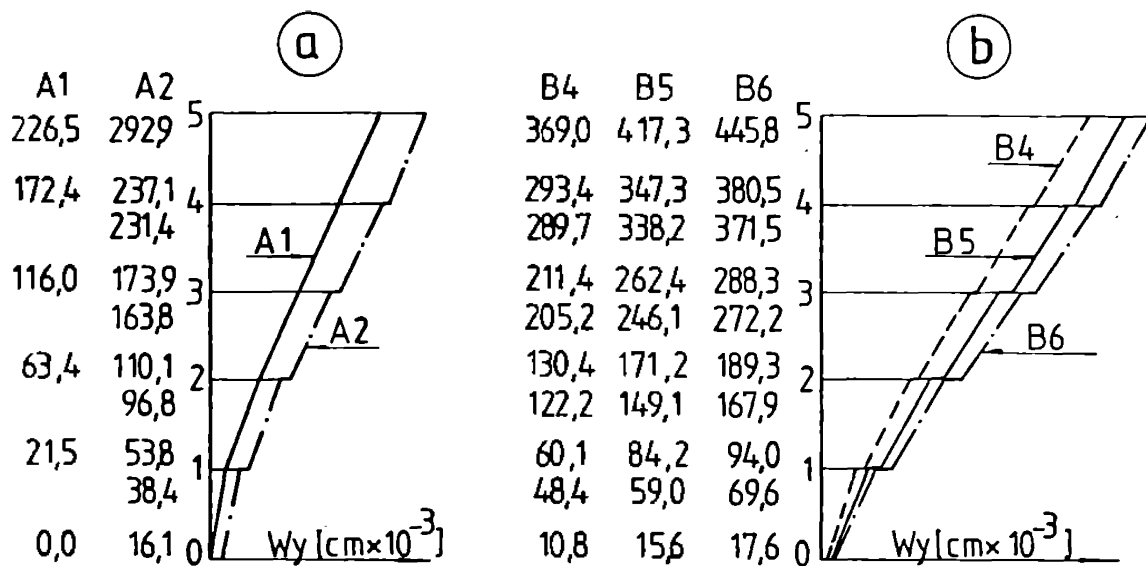


Fig. 5.65 Deplasări laterale ale muchiei AA' în ipoteza 2 de încarcare, coloanele A1, A2, B4, B5, B6

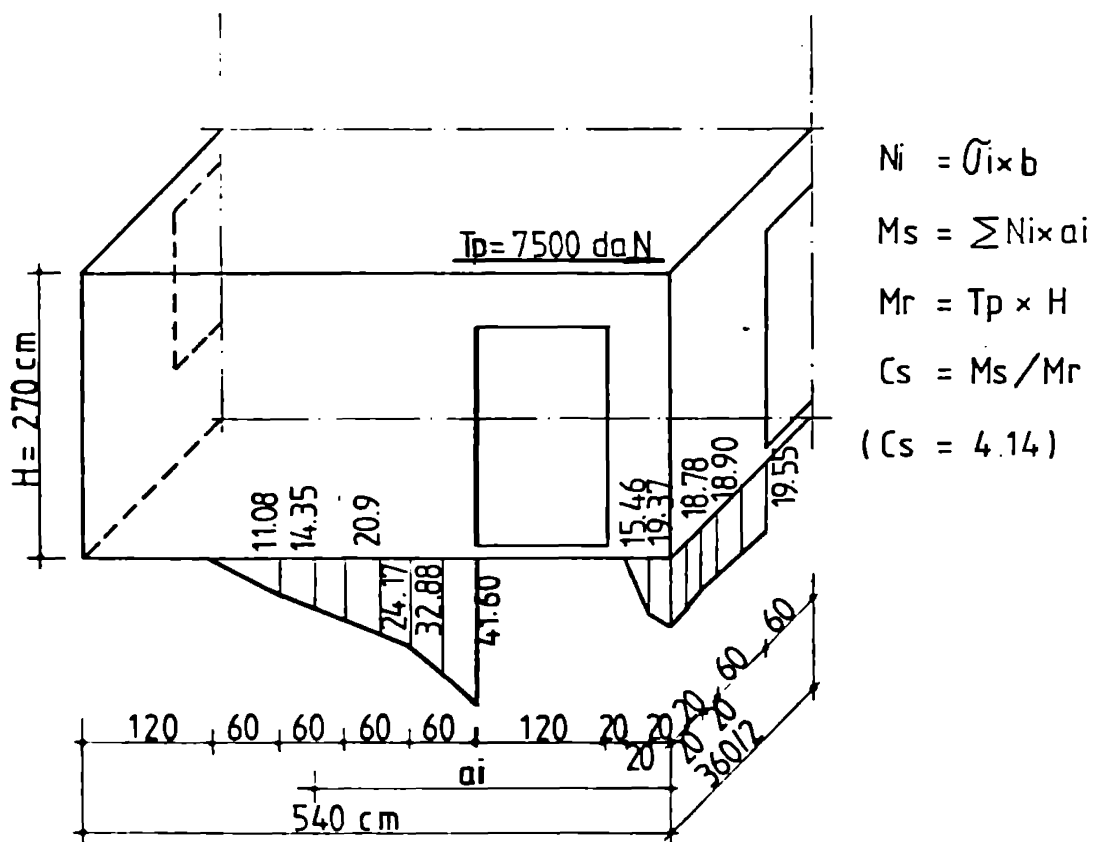


Fig. 5.66 Schemă de verificare a stabilității de poziție a elementelor spațiale în stivă (B6)

dă, pe elementul spațial, cu plăcuțe metalice sudate, distribuite pe centru și mătase cu mortaz de ciment, comportarea acestuia ca panou portant este incertă și se impune considerarea lui în calcul cu rol de rigidizare, conform modelării din fig. 5.45c.

d. Reactorul le iazașe în considerare în calcul a caracteristicilor de rigiditate reale ale îmbinărilor, cooperativ cu ipoteza monolitismului.

Îmbinările elementelor prefabricate constituie discontinuități de rigiditate în structură. Efectele principale ale considerării în calcul a rigidităților reale ale îmbinărilor, cooperativ cu ipoteza monolitismului sunt : scăderea rigidității globale a structurii (în cazul celor mai de elemente spațiale, cu 20-30% pentru îmbinări de tip a și cu 40 - 50% pentru îmbinări de tip b), creșterea eforturilor în buiandruji și redistrubuirea eforturilor în elementele verticale.

e) Reactorul le comportărea în stadiul de exploatare a coloanelor și stivelor de elemente spațiale.

In cazul îmbinărilor de tip b, cu asigurarea preluării forțelor tăietoare orizontale prin frezare și profile perimetrale, comportarea coloanelor de elemente spațiale este caracterizată în principal, prin înregistrarea unor „glisări” în rosturile orizontale și existența în aceste rosturi a unor zone fără efort ; în plus, din analiza comportării stivelor se rezarcă „ridicarea” peretilor în unele zone ale rosturilor orizontale. Din studiile efectuate, rezultă că în zone seismice de gradul 7, pot fi prevăzute construcții cu structure din stive de elemente spațiale legate între ele cu plăcuțe metalice sudate la nivelul planșoilor de tavă.

### 5.5. Exemplu în Caietul Calculării INGUDOV - AF, TMILIP - AF.

In vederea efectuerii unei comparații între metodele de calcul INGUDOV și TMILIP cu metoda elementelor finite, aplicată prin modelul AF (5.1.2, 5.4.1), în continuare se prezintă două exemple de calcul.

#### 5.5.1. Exemplul de calcul nr. 1 comparație INGUDOV - AF

Structură cu 1. niveliuri alcătuita din ocaș coloane de elemente spațiale conectate între ele, la nivelul planșoilor, cu legături defaramabile (fig.5.57 a).

Coloane N.1 : beton armat B.500 ;  $\rho = 25 \text{ kN/m}^3$

pereti interioiri : 12 cm; pereti de fațadă : 12 cm b.o.,

10 cm. vată minerală, 5 cm. b.c.; planșe curante  $12 \times 9$  cm,  
 $E_1 = 35 \times 10^6$  KN/m<sup>2</sup>;  $I_1 = 0,28 \text{ m}^4$ ;  $E_2 I_2 = 295,2 \times 10^6$  KN m<sup>2</sup>.  
 Coloane S.2 : beton armat cu sig. ușoare h.300,  $\rho = 18$  KN/m<sup>3</sup>  
 pereti interioiri : 7 cm; pereti de făşadă : 7 cm b.c., 10 cm. vată  
 minerală, 5 cm. b.c.; planșe curante : 2 x 9 cm  
 $E_2 = 18 \times 10^6$  KN/m<sup>2</sup>;  $I_2 = 3,28 \text{ m}^4$ ;  $E_2 I_2 = 59,10 \times 10^6$  KN m<sup>2</sup>.  
 Legături : rigiditate axială  $J_{1,2} = EA/l_h = 72,73$  KN/m<sup>2</sup>

#### Discuții :

Ipotеза 1 :  $E_1 = 28,95$  KN/m;  $e_1 = 0,160$  m  
 $E_2 = 23,95$  KN/m;  $e_2 = 0,164$  m

Ipotеза 2 :  $q_1 = q_2 = 31,5$  KN/m

Pentru coloanele cu goluri, s-au introdus conforme precizărilor din 54, în calculul cu metoda Ikozdev, caracteristicile secțiunii nete. Rezultatele calculului cu metoda Ikozdev sunt sintetizate în fig. 5.67.

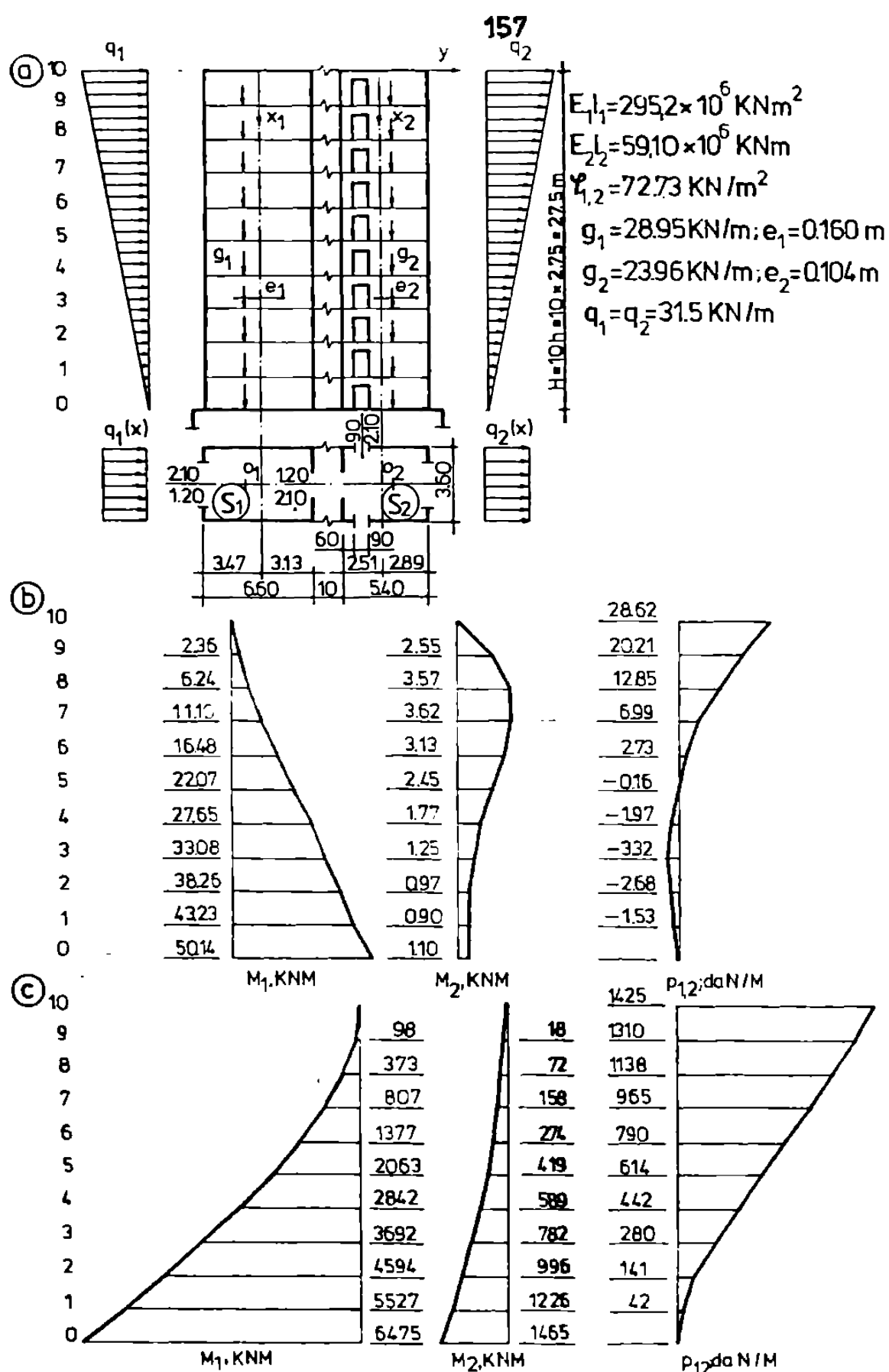
Structura S.1 - S.2 a fost calculată și cu metoda elementelor finite, modelul MEF. În acest sens a fost fragmentată în două substructuri S.1 și S.2 ; fiecare substructură a fost modelată cu elemente finite de membrană și cu elemente finite de bază conform schemei din fig. 5.45, iar legăturile cu bare articulatice deformabile. Calculul efectiv s-a făcut prin aplicarea programului PALS ( 173 ). Rezultatele calculului sînt prezentate comparativ cu cele obținute prin metoda Ikozdev, în fig. 5.69.

Pentru cazul studiat, analize comparativă a rezultatelor conduce la următoarele constatări :

- eforturile unitare normale în pereti  $\bar{G}_2$ , la baza coloanelor, sunt mai mari, în cazul metodei Ikozdev cu circa 20% față de cele rezultate prin MEF; diferențele cresc în jurul golurilor (fig.5.70 a,b);
- distribuția și valoarea eforturilor în legături  $p_{1,2}$  ( $I_{p,1}$ , fig. 5.70 d și  $I_{p,2}$ , fig. 5.70 c) rezultate din calculul cu cele două metode sunt destul de apropiate.

În continuare se fac următoarele observații :

- Întrucât, în metoda Ikozdev, peretii sunt assimilați cu bare, specific că pentru construcții cu puține niveluri rezultatele se îndepărtaază și mai mult de cele obținute cu MEF;
- metoda Ikozdev nu asigură studiul eforturilor în pereti în zonele învecinate golurilor ; adoptarea pentru coloanele cu goluri a caracteristicilor secțiunii nete, este o simplificare acceptabilă pentru determinarea eforturilor în legături dar conduce la erozi mari



- (a) Schema structurii si a incarcarilor  
Distributia momentelor incovoietoare  $M_1$ ,  $M_2$  si a forțelor axiale  $p_{1,2}$  în legături pentru:  
(b) Ipoteza 1 - incarcari gravitationale aplicate excentric  
(c) Ipoteza 2 - incarcari orizontale

Fig. 5.67

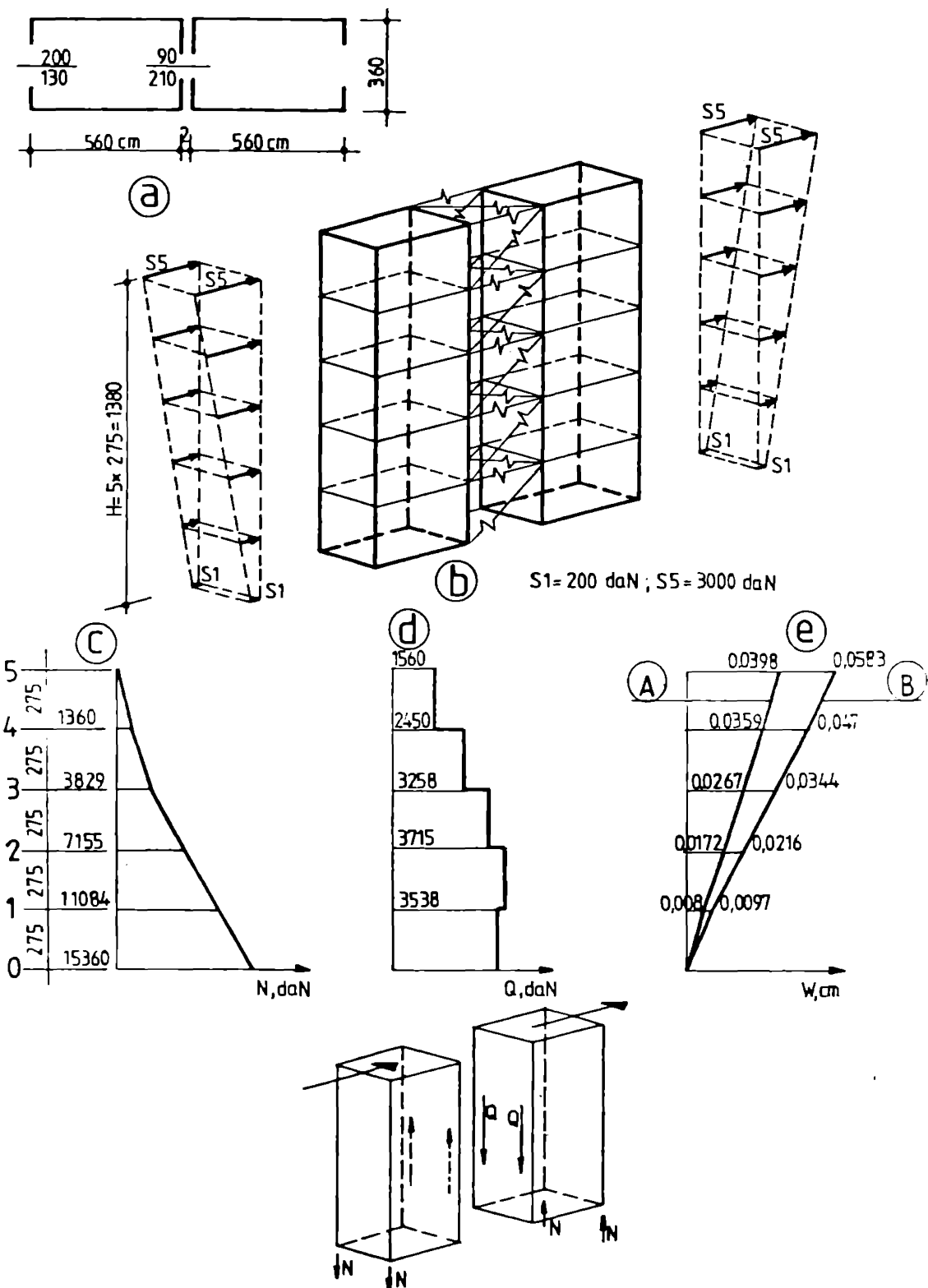


Fig. 5.68

- (a) — Secțiune orizontală - profil transversal din două coloane
  - (b) — Schema structurii și a încărcarilor
  - (c) — Diagrama eforturilor  $N$  în planul, fațadelor
  - (d) — Diagrama forțelor tăietoare  $Q$  în răstul vertical dintre coloane
  - (e) — Diagrama deplasărilor orizontale  $W$
- (A) coloanele sunt monolitizate în răstul vertical  
 (B) coloanele nu preiau forțe tăietoare în răstul vertical

în coloanul și distribuția eforturilor în pereti.

- Cu metoda Dronadow nu pot fi luate în considerație discontinuitățile de rigiditate care apar în rosturile orizontale ale coloanelor; efectul acestora poate fi evidențiat cu metoda MEF, adăptind, funcție de soluție de întinare, unul din modelele studiate la 5.4.2.

#### 5.5.2. Exemplul de calcul nr. 2 Comparativ TNILIP - MEF.

Structură cu 5 niveluri elăguată din două coloane de elemente speciale, identice, încărcate cu forțe orizontale ca în fig. 5.6.a.b. beton armat B.300; peretii interiori : 7 cm; peretii exteriori : 3,0 cm. b.s., 3,4 cm vată minerală, 5 cm. b.s.; plășee de percoasă : 10 cm, planșee de tavan : 7 cm.

Rostul dintre coloanele elăgurate este tratat în două variante : Varianta A, prin consolidare verticală cu mortar de ciment și amprentă în elementele prefabricate adiacente; se consideră că forțele trăietoare în rost sunt preluate și Varianta B, rostul vertical este liber.

Calculul eforturilor și deplasărilor structurii a fost efectuat de Institutul TNILIP, folosind metoda și programele proprii, în cadrul colaborării acestuia cu INCERC București și ICL Brașov [156]. Rezultatele calculului cu metoda TNILIP sunt înregistrate în fig. 5.68.

Aceeași structură a fost calculată și cu metoda elementelor finite, modelul MEF. Coloanele au fost modelate cu elemente finite de membrană, ca în schema din fig. 5.45 d, iar legăturile cu bare articulare echivalente. Rezultatele calculului sunt prezentate comparativ, cu cele obținute prin metoda TNILIP, în fig. 5.7a. Pentru cazul reprezentat prin exemplul de calcul, analiza comparativă a rezultatelor condusă la următoarele constatări :

- Distribuție și valoriile forțelor axiale în legăturile verticale din calpirile elementelor, determinate cu cele două metode, sunt apropiate; diferențele valoarelor sunt în jur de 1-2% (fig. 5.7a);

- Distribuție și valoriile forțelor trăietoare în rostul vertical dintre coloane sunt destul de diferite: metoda TNILIP conduce la o suprasarcină a forțelor trăietoare la bază cu circa 5% și o sub sarcină la vîrf cu circa 4% față de metoda MEF (fig. 5.7a b).

- Deplasările laterale ale construcției determinate cu metoda TNILIP sunt mai mici decât cele rezultate cu metoda MEF: la vîrful construcției diferențele sunt de 3-4% (fig. 5.7a c,d).

În legătură cu metoda TNILIP se mai fac următoarele observații :

Modelul de calcul adoptat neglijăază deformările rezultate

din solicitările peretilor cu forțe axiale (eforturi unidirecționale) și momente încovoiștoare; efortul deformărilor neglijate crește în cazul peretilor cu goluri;

- metoda nu tratează unitar calculul structurii și a elementelor componente: pentru ansamblul structural se folosește metoda generală a forțelor din statica structurilor alcătuite din bare, iar pentru elementele spațiale s-a adoptat metoda specifică teoriei elasticității structurilor din plăci.

- La calculul practic al elementelor spațiale se introduc simplificări, care constau, în principiu, din:

- . încărcările care provin de la etajele superioare - în cazul rezemării pe perimetru - se aplică numai pe muchiile peretilor longitudinali și sunt considerate cu distribuție liniară;

- . neglijarea peretilor transversali (cu lungimea mai mică) în calculul de încovoiere;

- . folosirea frecventă a metodelor plăcilor subțiri prismatice inchise a lui V.Z.Vlasov, la calculul stârii plane de eforturi, cu toate că, în majoritatea cazurilor, raportul între lungime și înălțime (lățime) este mai mic decât 2.

#### 6. REALIZARI ȘI ASPECTE DE APLICARE TEHNICO-CONSTRUCȚIALE

În acest capitol sunt prezentate principalele realizări în domeniul sistemelor de construcție cu elemente spațiale, obținute cu participarea autorului acestei teze.

La baza acestor realizări sunt două tipuri distincte de instalații de formare asociate cu procedeile de fabricație a elementelor spațiale, brevetatea cu inventii, sub denumirile:

- „Element spațial prefabricat, monolit, din beton armat pentru construcții, instalată și precedeu pentru realizarea lui”, în R.S.R. cu nr. 54744/1972, [1a3], și

- „Instalație și procedeu de formare alternativă a elementelor spațiale de beton armat”, în R.S.R. cu nr. 65300/1978, [1a7] și în R.F.G. cu nr. 2601287/1979, [1c7].

Urmare aplicării acestor inventii au fost dezvoltate la IICIM Brăgoiu două tehnologii de fabricație, respectiv două sisteme de construcție cu elemente spațiale, prezentate succint la 2.3.2 și 2.3.3.

##### 6.1. REALIZARI ÎN SISTEMUL I C I M DE CONSTRUCȚIE CU ELEMENTE SPAȚIALE TIP LMX [1a2, 2a, 1a3, 21].

Prima clădire realizată în acest sistem, în anul 1969, a fost un bloc de locuințe cu 5 niveluri și 20 apartamente. S-a folosit un singur modul spațial ( $L_1 \times L_2 = H = 300 \times 500 = 300 \text{ dm}$ )

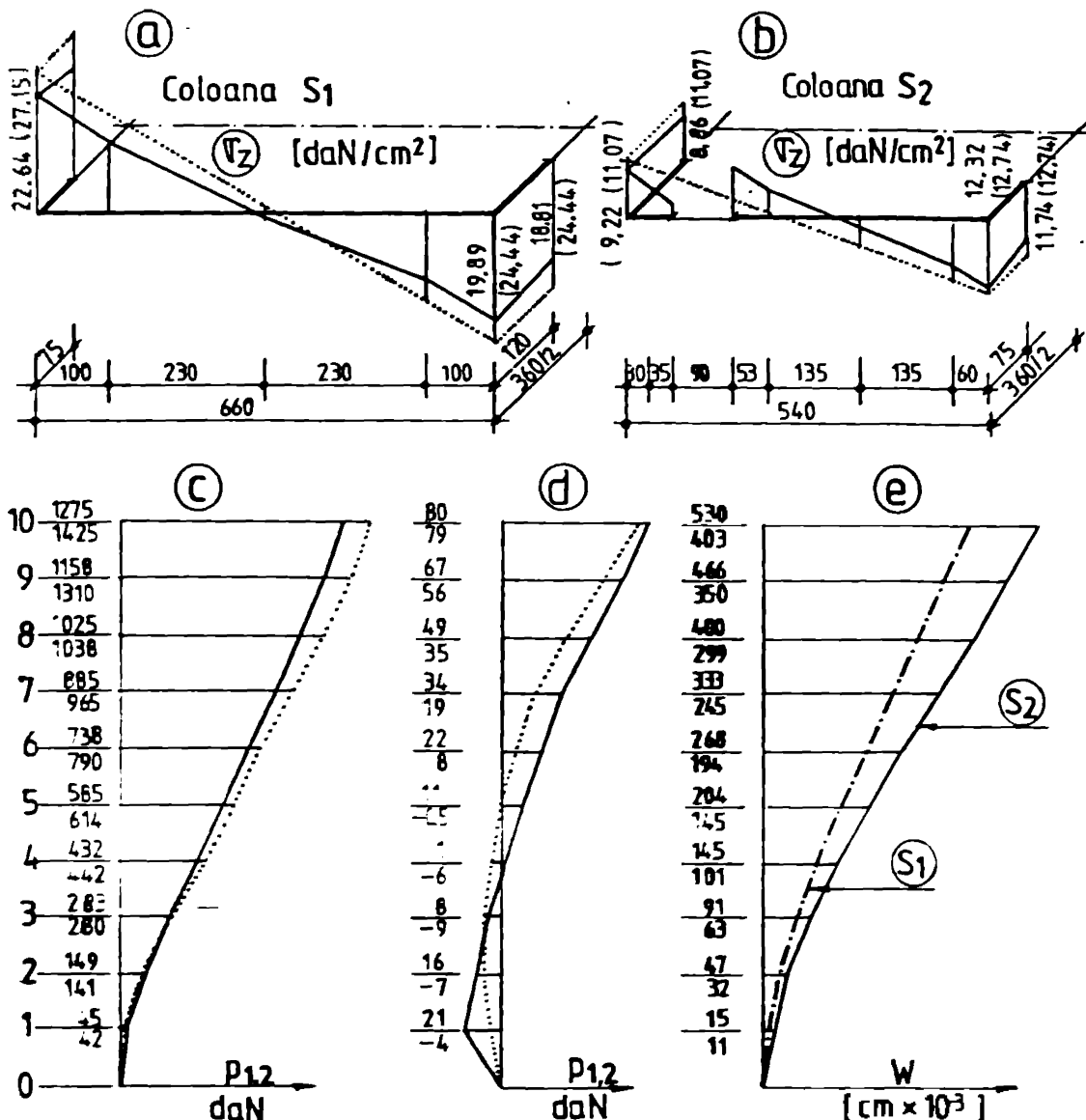


Fig. 5.69

— MEF , —— Met. DROZDOV

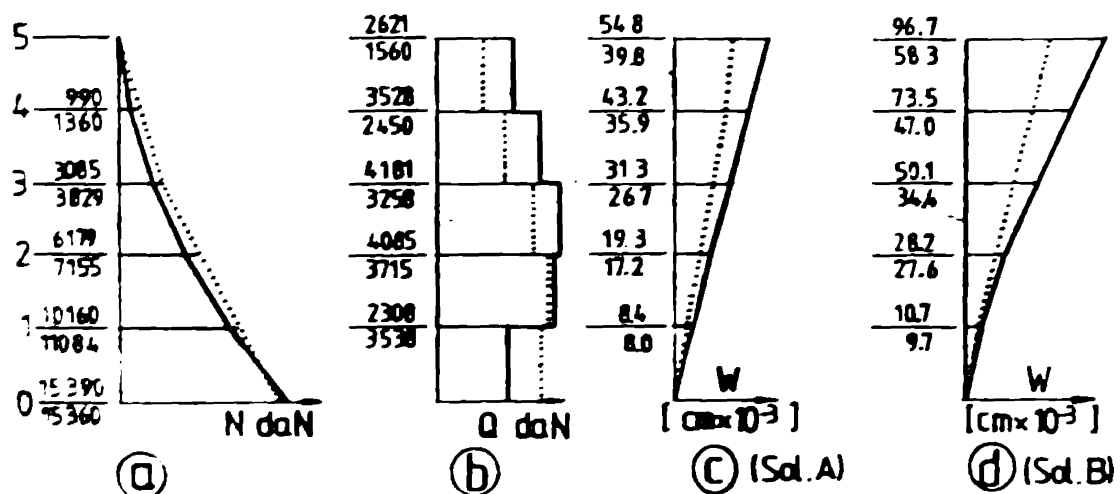


Fig. 5.70

— MEF , —— Met. TNIIEP

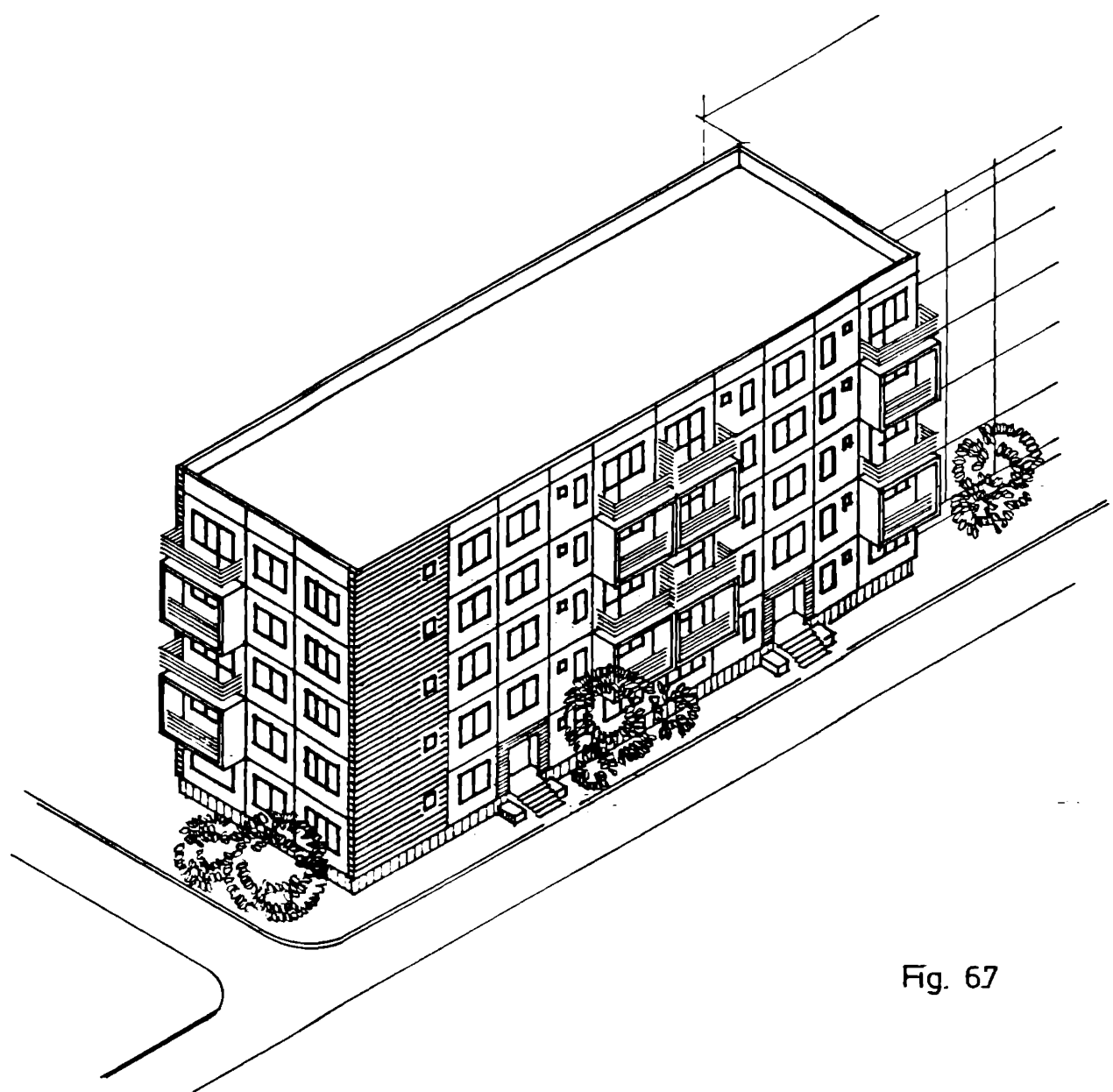
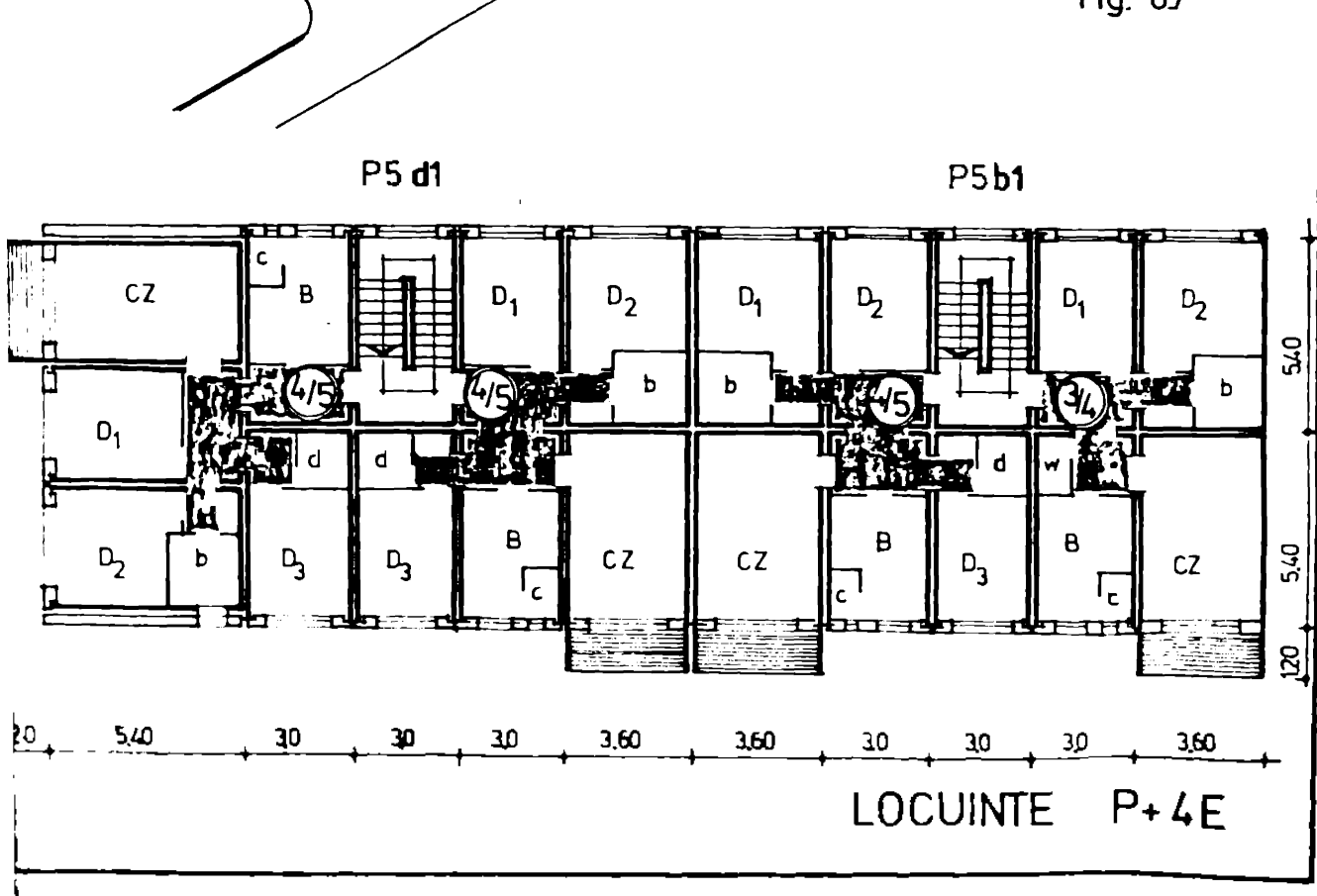


Fig. 67



(fig. 2.1.). Fiecare dormitor este rezolvat într-un element spațial, iar căsuță de zi împreună cu legile, în două elemente spațiale.

Structura clădirilor este alcătuire din elemente spațiale combinate cu panouri de pereti și eventual de plănuie, asamblate cu îmbinări monolitizante, verticale și orizontale.

În clădirile realizate, s-a utilizat 5 moduli spațiali : M.1 = 165 x 380 - 300 cm ; M.2 = 275 x 440 - 300 cm ; M.3 = 300 x 380 - 300 cm ; M.4 = 300 x 500 - 300 cm ; M.5 = 380 x 195 - 300 cm, având greutățea de 7 - 8 tone.

În acest sistem, au fost construite, după proiecte experimentale sau reafermabile, elaborate de I.C.I.M. Bragov și Institutul MCILIT Bragov, un număr de circa 50 de clădiri, încumind o suprafață de 116.400 m<sup>2</sup>.

Principiul inițial ce conduce la său ca aria construită desfășurată, exemplificat la realizarea, după proiectul reafermabil I.C.I.M. nr. 1229, a unui număr de 7 cămine de nefamiliați sunt : otel beton 16,3 kg., ciment 141 kg., mozaică totală 17,55 ore din care 9,2 ore (53%) în fabrică și 8,15 ore (47%) în garaj [20].

#### 6.2. Realizări în sistemul I.C.I.M. de construcție cu elemente spațiale tip pehar culcat.

În concepția sistemului (instalație și procedeul de formare, alcătuirea elementelor spațiale și a clădirilor), s-a urmat securizarea condițiilor tehnice pentru creșterea volumului de instalații și finisajele executate în fabrică pînă la livrarea elementelor spațiale echipate cu teste instalațiile și complet finisate.

Conform sistemului, fabricația elementelor spațiale poate fi organizată pe poligoane cu activitate sezonieră (fig. 2.8, 6.5), sau în fabriki (fig. 6.1).

Dezvoltarea sistemului s-a făcut în paralel cu cercetările de laborator, efectuate asupra elementelor spațiale (rezistență și stabilitatea peretilor), îmbinărilor (de monolitizare, prăguiri de fixare) și structurilor (fragmente de structuri, calcane de elemente spațiale), care s-au desfășurat la Catedrală de beton și clădiri a I. r. Timișoara (1972 - 1977), [95, 97, 98, 138, 14d, 149, 150], și la I.C.C.P.A.D.C. Filiale Timișoara, prin personalul catedrei menționate (1978 - 1983) [151, 152]. Rezultatele cercetărilor au fost operativ implementate în sistem și sunt implicit incluse în acesta.

Etapele în evoluția sistemului, cu principalele caracteristici și realizări, sunt prezentate în continuare.

### Etapă 1 (1973 - 1976):

• Structurile secnate din elemente spațiale cu îmbinări de monolitizare continue, verticale și orizontale (fig. 3.9 a, b, c) sunt secnate în structuri în dimensiuni și calculate cu metodele specifice acestora.

• Unele rezultatele cercetărilor experimentale, peșteii alcătuși din plăni subțiri ( $b_p = 5 - 6$  cm) cu nerușii verticale la față exterioară, amplasate la distanțe  $l = 100 - 120$  cm ( $l \leq 2e h_p$ ) sunt echivalenți, în verificarea la flacăj, cu plăni evind fără nede, grosimea plăni echivalente fiind stabilită din condiția de egalitate a rigidității la încovoiere a secnării cu a pezelorilor nerușire.

### Etapă 2 (1977 - 1979):

• Alăturarea structurilor prin combinații de stive și coloane de elemente spațiale (fig. 3.4 a, b) asociază cu adoptarea de îmbinări uscate (fig. 3.5; 3.6 a, b; 3.7-a);

• Elaborarea proiectelor tip pentru locuințe [165] și a detaliilor de uzinare a elementelor prefabricate [166], (fig. 6.7);

• Folosirea modelului MFD la calculul structurilor spa cu a fost prezentat la 5.1.2.

### Etapă 3 (1979 - 1987):

• Adoptarea soluției de îmbinare a elementelor spațiale supuse cu profilișri perimetrale sub formă de borduri care se intersecționează, în vederea prelungirii forțelor trătoare (fig. 3.6 a, b);

• Adoptarea modelului de calcul MAF (5.1.2) asociat cu folosirea unor programe adecvate [23] (MAP 4 171, PALM, versiunea 1);

• Elaborarea „ecuvalenților” pentru proiectarea și execuție clădirilor din elemente spațiale finisate, realizate în tehnologie și sistemul constructiv I.C.I.M. Brașov, 1979” [24];

• Elaborarea unor programe de calcul automat, specifice structurilor din elemente spațiale : PALM, versiunea 1 [23] și SIEAPP 51 (autor ing. A. Dene, colaborator ing. I. Boză);

• Revizuirea și îmbunătățirea proiectelor tip pentru locuințe din elemente spațiale (1982), [165, 166].;

• Elaborarea „Instructiunilor tehnice pentru proiectarea structurilor din elemente spațiale prefabricate de beton armat” redactate I, 1983 [29].

În acest sistem au fost construite clădiri de locuit, hoteluri, anexe societăți industriale etc, în majoritate cu 5 niveleuri, insuflând peste 400.000 m<sup>2</sup> arie deafăgorată (circa 5.000 apartamente echivalente cu două camere). A fost utilizată o serie de 9 moduli

**MANOPERA DIRECTA SI PRODUCTIVITATEA MUNCII  
AFERENTE SISTEMELOR CONSTRUCTIVE APLICATE  
ÎN R.S.R.**

Sistemul constructiv	Manopera directă		Productivitatea	
	ore fizice $m^2$ Adc	%	$m^2$ Adc om luna	%
Zidarie de caramida	22,0	183	8,73	55
Cadre din b.a.	19,0	158	10,11	63
Diaphragme din b.a.	16,5	137	11,64	72
Panouri mari pref.	12,0	100	16,00	100
Elemente spațiale	5,5	46	34,9	217

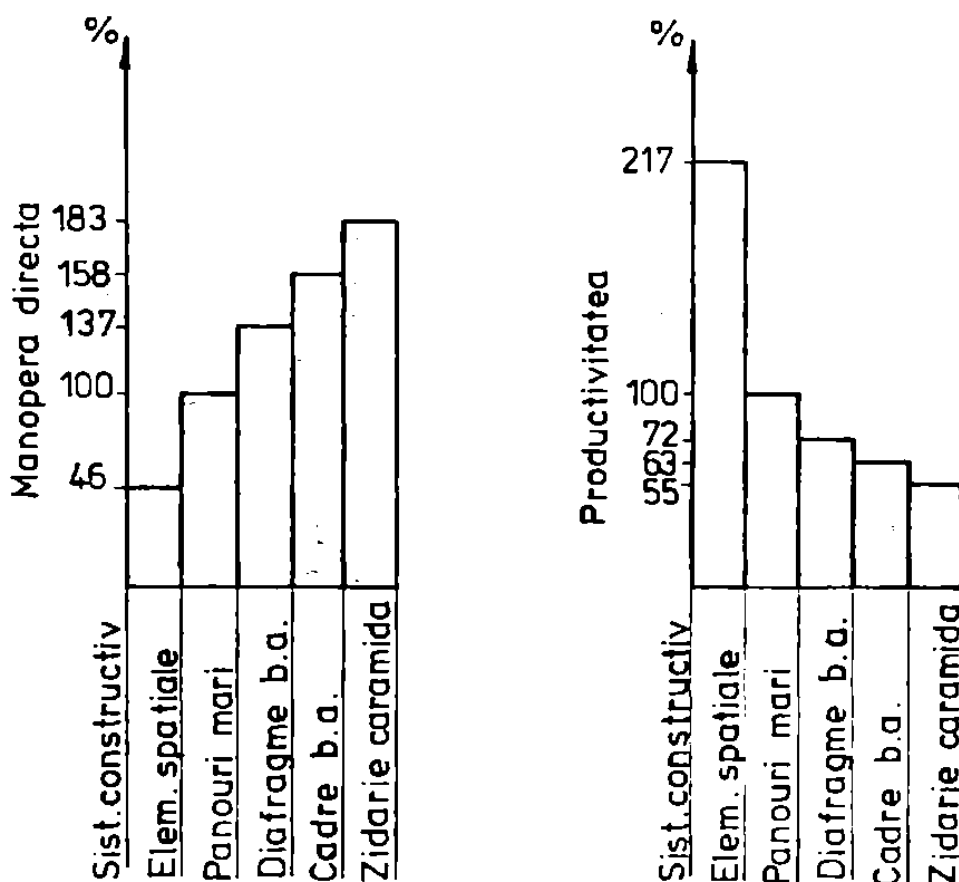


Fig. 6.8

# PRINCIPALII INDICATORI PENTRU CLĂDIRI DE LOCUIT P+4E EXECUȚATE IN DIVERSE SISTEME CONSTRUCTIVE

Tabel 6.1

Nr crt	Sistemul constructiv	Sect.	Elaborator	Tip de tronson	Ciment Kg/m <sup>2</sup> Adc din care în pretab.	Ciment Kg/m <sup>2</sup> Adc Total	Otel Kg /m <sup>2</sup> Adc			Manopera directă construcției Kg/m <sup>2</sup> Adc	Energie inglobată Kg/m <sup>2</sup> Adc
							din care oțel		beton		
							Total	in pref.	in uzin.		
0	1	2	3	4	5	6	7	8	9	10	11
1	Zidarie caramida	Z6 b1	ICPROM lași	mijloc	7	143	40	18,4	16,9	3,4	12
2	Cadre din ba.	C2 a1	PROJECT B lași	Independent	7	157	57	30,3	28,8	6,4	13
3	Diaphragme din ba.	D2 d1	IPJ Doli	mijloc	7	158	52	24,2	22,7	14,5	14
4	Diaphragme din ba.	D5 c4	IPJ Constanta	Independent	7	196	55	29,7	27,7	11,5	15
5	Panouri mari	P2 a1	IPC T	capat	7	166	113	21,6	19,3	15,0	14
6	Panouri mari	P4 b2	IPJ Constanta	mijloc	7	180	125	25,2	22,90	16,99	15
7	Elemente spatiale	P5 c1	ICIM Bv	mijloc	7	160	140	23,2	20,9	19,5	16
8	Elemente spatiale	P5 g2	ICPROM lași	mijloc	7½	179	148	26,0	23,7	20,6	17
9	Elemente spatiale	P5 h1	IPJ Doli	mijloc	7½	163	134	23,1	20,8	19,6	16

NOTĂ: — Datele au fost extrase din Catalogele de proiecte tip CCPD-CCCPD aprobată în ianuarie 1982.

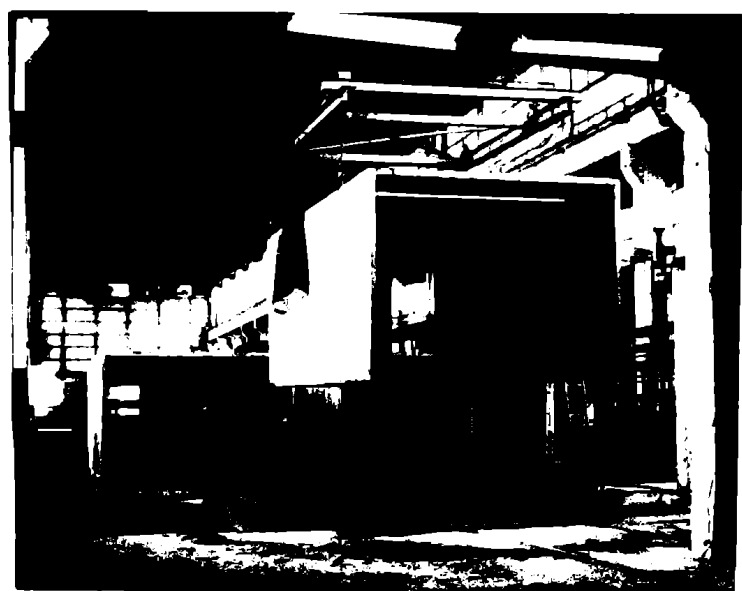


Fig. 6.1 Sistemul ICIM Bv. – Element spațial  
în hala de fabricație.



Fig. 6.2 Sistemul ICIM Bv. – Depozit de  
elemente spațiale finisate.

spațiale (fig. 2.7), ( $L_1 \times L_2 = H_{pa}$ ) :  $300 \times 400 = 275$ ;  $330 \times 540 = 275$ ;  $330 \times 660 = 275$ ;  $360 \times 420 = 275$ ;  $360 \times 480 = 275$ ;  $360 \times 540 = 275$ ;  $360 \times 660 = 275$ ;  $360 \times 720 = 275$ .

Un bloc de locuințe cu 20 apartamente, secțiunea  $r_3$ , b 1 (fig. 2.7), a fost realizat în anul (1978) din elemente spațiale fabricate la Brașov, livrate complet finisate și transportate pe C.R. (60 bucăți) și cu trailere (40 bucăți).

Su au fost realizate și elemente spațiale cu goluri mari în pereti, de tipul celor prezente în fig. 3.3., utilizate la construcția a două cămine - școală, cu clase la parter (Brașov, Covasna).

Invenției cu denumirea „sistem de construcție cu elemente spațiale”, creatori ing. I. Molcovici și ing. Borș I., i-a fost acordat premiul III la Salonul Național de Invenții, București, 1979.

În sistemul acelui de construcție cu elemente spațiale s-a obținut performanțe destul de a fi concepute : pe funcțiile executate în prealabil s-a realizat, complet, în numai o săptămână, un bloc cu 20 de apartamente, astfel că luni a început construcția și eliberează astfel locașul. (mai 1979)

Principaliii indicatori tehnico-economiici ai sistemului de construcție cu elemente spațiale, sunt prezentate, comparativ cu cele cele mai bune sisteme constructive aplicate curent în țara noastră, în tabelul 6.1 și fig. 6.6. Din analiza acestora, comparativ cu sistemele în percuri mari, rezultă :

- reduserea creșterii construcției cu 5 - 10%;
- creșterea productivității muncii pe chantier cu peste 200%;
- reducerea muncoperarii totale, înglobate în construcție cu 20 - 25% [34, 20];
- zăbovarea spectaculoasă a duratălor de execuție a lucrărilor (pectrul o clădire curentă de la 4,5 luni la nox. 1,5 luni).

Le aceste avantaje se adă peste atâtva eficiență economică și socială rezultată pe același acoperării duratălor de execuție, din reducerea obârșialilor indirecte ale devizelor, circulație mai rapidă a fondurilor financiare și punerea în funcțiune mai devreme a clădirilor [115, 174, 175].

**P. MECANICI SANITARE ÎN CONSTRUCȚIE.**

**7.1. CONSTRUCȚII.**

Principalele contribuții aduse de catedră în licență sunt :

a) efectuarea unei sinteze a sistemelor de construcție cu elemente spațiale și a procedurilor de realizare aplicate în teorie și practică ;

b) participarea la elaborarea a două sisteme de construcție cu elemente spațiale asociate cu instalațiile de fumare și procesele de realizare, bazeitate pe inventări, în teorie (fig.), respectiv în tehnice (fig.) și B.F.G. (fig.);

c) definirea particularităților de elabereză - comportare ale structurilor din elemente spațiale care impun considerarea lor ca o categorie distinctă de structuri ;

d) definirea componentelor structurale specifice clădirilor din elemente spațiale : stive, calcane elementare, calcane complexe ;

e) adoptarea unei soluții originale de îmbinare a elementelor spațiale în structurile clădirilor :

- soluție de îmbinare verticală cu baza de continuitate din șpal beton, folosite în faze de fabricație - montaj pentru manipulare (fig. 3.5.);

- soluție de îmbinare cu profiluri perimetrice care se introduc la suprafațe (fig. 3.6.) și orizante, în faze de execuție, un montaj ușor și corect (cu cheamă se depind de specificul de execuție a elementelor), iar în faze de exploatare prelucrare forțelor trăsătoare în rosturile existente ;

- soluție pentru îmbinările de amelitizare orizontale, verticale și orizontale, între componentele structurale elibereză, care constă în amelitări și betonarea spațiilor rezultate din separarea convenabilă a unei rezerve pe poziții elementelor spațiale și eliminarea ecrajojelor (fig. 3.9).

f) Colaborarea la cercetările de laborator efectuate la Institutul Politehnic „Traian Vuia” și I.C.G.C.P.M.T. filiala Timișoara, cu privire elementelor spațiale, îmbinările și structurile, prin :

- elaborarea temelor de cercetare în cadrul legătură cu soluțiile de elibereză prevăzute în proiecte ;

- participarea la efectuarea unei incursiuni în laboratoare (comportarea peretilor și calcanelor, rezistență și rigiditatea îmbinărilor etc.);

- participarea la interpretarea rezultatelor și stabilirea unei baze de date necesare în activitățile de proiectare și execuție,

ace să suprimească lipse de prescripții ;

g) adoptarea metodelor de calcul AB (modelul disfragmelor și AF (modelul cu elemente finite) în analiza structurilor din elemente spațiale (5.1.2), [23] ;

h) elaborarea, în baza metodelor elementelor finite, a procedeului acroelementelor - procedeu uniter de analiză spațială a structurilor și a elementelor componente. În vederea optimizării calculului procedeul a fost tratat (în trei variante) în ideea rezolvării acroelementelor - elemente spațiale, panouri, coloane, nucleu etc., - cu moduli care sunt bibliotecă și pot fi refolosiți la mai multe tipuri de clădiri ;

i) Colaborarea la elaborarea unor programe de calcul auto-ast specifică structurilor din elemente spațiale : PALM (Proiect pentru analize liniară a Structurilor din Elemente Spațiale) versiunea 1, [23], CLAPP (Structuri din Elemente Plane Perpendiculare) [51], PALM Versiunea 2 [52,173] ;

j) Modelarea unor tipuri de îmbinări în vederea introducerii caracteristicilor reale de rezistență și rigiditate ale acestora în analiza structurilor (îmbinări de monolitizare, cu bercuri periferice, cu plăci metalice sudate) ;

k) adoptarea unui model de calcul pentru elementele spațiale sub formă de cuve cu luguri în cadrul cercului de interesării structurii cu terenul de fundație ;

l) efectuarea unor experimentări numerice asupra elementelor spațiale, coloanelor și structurilor (în total 51 de experimentări) urmărindu-se :

- analiza comparativă a sistemelor de alcătuire a elementelor spațiale cu pereti portanți, prezentate la 4.1.3 ;

- analiza soluțiilor de rezemare a elementelor spațiale în structură : liniară și concentrată ;

- studiul influenței imperfecțiunilor de fabricație și conțaj a elementelor spațiale asupra stăriilor de eforturi și deformații ;

- stabilirea unor soluții constructive și tehnologice eficiente pentru elementele spațiale sub formă de cuve ;

- analiza comparativă a modelelor de calcul AB (modelul balanțelor), AF (modelul disfragmelor) și MF (modelul de calcul cu elemente finite) în analiza structurilor din elemente spațiale ;

- analiza comparativă a coloanelor având percuri de față portante sau numai de rigidizare ;

- studiul efectului rigidității reale a îmbinărilor între elementele suprapuse comparativ cu ipoteza monolitismului perfect ;

- analize comportării caloanelor de elemente spațiale în faze de explozare (în domeniul elastic în combinație cu încărcări gravitaționale și seismice de cod) ;

- analize comportării stivelor de elemente spațiale în faze de explozare ;

- studiul conlucrării peretilor în secțiunile orizontale ale coloanelor la preluarea eforturilor din încărcări gravitaționale și din combinații de încărcări gravitaționale și seismice ;

- analize comportării a metodelor de calcul asistatice ANSYS și THINER cu metoda elementelor finite aplicată prin procesul macroelementelor ;

#### 7.2. Cadrul general.

În baza cercetărilor efectuate în cadrul prezentei lucrări, pot fi enunțate următoarele concluzii :

a) Capacitățile de rezistență, rigiditate și stabilitate ale elementelor spațiale sunt cu atât mai mari cu atât gradul lor de monopolism, rezultat din modul de elanțuire, este mai mare. Cele mai eficiente, din aspect pană de vedere, sunt sistemele F (5 fețe monolite și față de preisbirică) și S (tunel amelit închis la capete cu jucuri) ;

b) În cazul rezonanții liniare a elementelor spațiale (tip pehar culcat) tratate individual, din încărcări gravitaționale rezultă o distribuție neuniformă a reacțiunilor cu deschirarea colțurilor (fig. 5.19 a, d); în cadrul caloanei de elemente spațiale diagrame reacțiunilor la baza acesteia indică o uniformizare a distribuției cu ușoare concentrări pe colțuri și în zonele elăturute galerilor (fig. 5.49 a, 5.50 b, 5.61 a);

c) Rezonanța liniară poate fi, în funcție de capacitatea portantă a peretilor, să impună anumite construcțive și tehnologice severe pentru realizarea corectă a acestora și de evitare a rezonanților concrete acciunata, precum și a imperfecțiunilor de rezonanță care afectează peretii cu galuri. Soluțiile de rezonanță concentrată sunt mai ușor de realizat și controlat, dar condus la creșteri mari a eforturilor în zonele de rezonanță și la eforturi suplimentare semiridicative în buisanzugi, pereti și plasă, din solicitările elementelor spațiale în starea plană de eforturi.

d) Imperfecțiunile de fabricație și montaj a elementelor spațiale su ce efect eforturi și deformări suplimentare ale căror valori depind de marimea abaterilor. În cazul clădirilor cu 5 niveuri, realizate din elemente spațiale tip pehar culcat având pereti subțiri ( $\delta = h/n = 35 - 40$ ), pentru succesiunea de niveluri prevedeați din normele [29,110] (echivalente prin excentricitatea scăzută)

nălă de rezistență  $\sigma = \pm 1 \text{ cm}$ , eforturile și deformările suplimentare maxime dinamice: 20 - 30% față de valoarea corespunzătoare frecvențelor de exploatare și cresc la 40 - 50% în jurul gălăzilor. În urma rezistenții lor se rezultă limitele mai severă a stabilităților admisibile prin adoptarea unei tehnologii care să asigure precizia spațială la fabricație și montaj.

e) Din studiul experimental al comportării peretilor elementelor spațiale la încărcări uniforme distribuite în lungul muchiilor orizontale, aplicate în planul median, rezultă următoarele :

- deformările peretilor sunt suprafete cu dușul curbat, situație de ale cărui cauză sunt placă subțiri cu fețe netede cît și în situație de ale cărui cauză sunt placă subțiri cu nervuri verticale la față exterioară; în condițiile alcătuirii și dispunerii nervurilor ca în fig. 4.1, acestea nu sunt necesare fizice pentru placă subțiri, dar influențează comportarea la stabilitate a peretilor ;

- inelasticările elastice ale peretilor în lungul muchiilor, influențează comportarea la stabilitate (stabilitatea peretilor crește cu creșterea gradului de manălitate al elementelor spațiale);

f) Din încercările coloanelor (realizate din elemente spațiale tip panza culoare) la efectul combinat al încărcărilor statice verticale (V) și orizontale aplicate în cicluri alternate (S), rezultă următoarele :

- percurile prefabricate de față (îmbină pe elementele spațiale cu plăci metalice sudate, distribuite pe contur și mărimile restului cu mărțișor de ciment) nu sunt antrenate în prelungire directă de eforturi specifice peretilor portanți : se impun măsurări tehnice și tehnologice pentru realizarea corectă a întindării peretilor care să le atribuie un rol portant, sau se vor considera în calcul cu rol de rigidizare rezultând din acestea creșterea eforturilor în peretii portanți adioanți ;

- peretii subțiri și elementelor spațiale ( $\lambda' = 3d$ ) își mențin stabilitatea pînă în stadiul de cedare a coloanelor (care se produce prin adâncirea betonului comprimat în peretii, la bază); modul de ale cărui elementelor și a coloanelor conduce la fălcările capacitatea de rezistență inițială pierzând stabilitățile;

- pînă la raportul  $a/h = 0,17 - 0,29$  (funcție de direcție de acțiune a forțelor S, presiune și atracție gălăzilor) coloanele se comportă elastic ;

g) Din încercările de laborator și experimentările numerice efectuate asupra elementelor spațiale și coloanelor, rezultă rezerve ale capacităților de rezistență și stabilitate ale peretilor care conduc la posibilitatea folosirii elementelor spațiale ca

aceleși secțiuni de beton (cu dimensiunile corespunzătoare și îmbinărilor), la călduri cu mai mult de 5 niveli și amplasate în zone cu grad de protecție seismică mai mare decât 7 ;

h) Din încercările de laborator și experimentările numerice asupra coloanelor, rezultă participarea întregii secțiuni orizontale nete a acestora la preluarea eforturilor din încărcări gravitaționale ; distribuția eforturilor unitare normale în secțiuni orizontale (precum și distribuția deformărilor specifice liniare pe direcție verticală la coloanele încercate), rezultată din încărcări gravitaționale combinate cu încărcări orizontale, indică conlucrarea „lăbulor” cu „tălpile” pe totă secțiunea orizontală netă a coloanelor;

i) Procedoul macroelementelor, asociat cu modelarea caracteristicilor reale de rezistență și rigiditate ale îmbinărilor, asigură o analiză spațială unitară a structurilor și elementelor componente, în condițiile rezumatării la ipoteza monolitismului perfect, aplicată pe scară largă la calculul structurilor din elemente prefabricate.

j) Procedoul macroelementelor este aplicabil și altor categorii de structuri ca : ziduri de beton armat (prefabricat sau monolit) și plante prefabricate, structuri din panouri mari în sisteme „tuburi desfăgăte” [37].

k) Urmare studiilor proprii (§.4.3), a încercărilor efectuate pe platformă seismică de la I.C.P.L.C. filiala Iași [155] și a experienței din străinătate [1, 11], rezultă posibilitatea realizării clădirilor de locuit având pînă la 5 niveli, amplasate în zone cu seismicitate redusă și moderată (grad de protecție <7), din stive de elemente spațiale legate între ele, la nivelul planșelor de tavan cu îmbinări ușoare, foarte simple (de ex. plăciute metalice sudate; legăturile între elementele spațiale suprapuse în cadrul stivelii pot fi prevăzute în soluție cu borduri perimetrale);

l) Îmbinările elementelor prefabricate constituie discontinuități de rigiditate în structură. Efectele principale ale discontinuității în calcul și rigiditățile reale ale îmbinărilor sunt : înregistrarea unei „glisări” în zesturi, scăderea rigidității globale a structurii, creșterea eforturilor în rigle și redistribuirea eforturilor în elementele verticale ;

m) Urmare studiilor proprii și a cunoșterii realizărilor din străinătate în domeniul clădirilor din elemente spațiale, rezultă că această categorie de structuri nu împiedică și stimulează dezvoltarea concepției funcționale și plastice a construcțiilor ;

a) Prin aplicarea sistemelor de construcție cu elemente spațiale în țara noastră s-a obținut dublarea productivității muncii pe săptămână, față de sistemul cu percuri mari ; există posibilități de creștere în continuare a acestaia, prin acceptarea pentru clădirile de locuit cu pînă la 5 niveluri, amplasate în zone cu seismicitate redusă sau moderată, a unei structuri foarte simple, alcătuite din ative de elemente spațiale ;

b) Prin aplicarea sistemelor de construcție cu elemente spațiale se obține o reducere spectaculoasă, de 60 - 70%, a durezilor de execuție, față de sistemele cu percuri mari, rezultând din acestea o eficiență economică și socială importantă.

### 7.3. VALORIZARE.

Resultatele studiilor efectuate în cadrul lucrării au fost valorificate prin :

- › a) Aplicarea în producție a sistemelor ICLM de construcție cu elemente spațiale, cu participarea autorului la :
  - proiectarea în mai multe variante a instalațiilor de formare și a tehnologiilor de fabricație și montaj ;
  - elaborarea de proiecte experimentale, refolosibile și tip pentru diverse construcții: blocuri de locuințe, hoteluri, clădiri administrative, cămine de nefamiliști, cămine sociale etc., după care au fost realizate clădiri însumind peste 500.000 m<sup>2</sup> adică (cîteva 600 de apartamente);
- b) Elaborarea „Recomandările pentru proiectarea și execuție clădirilor din elemente spațiale finisate, realizate în tehnologie și sistemul constructiv ICLM Brașov, 1975”.
- c) Elaborarea „Instrucțiunilor tehnice pentru proiectarea structurilor din elemente spațiale prefabricate, redactate I, 1983”.

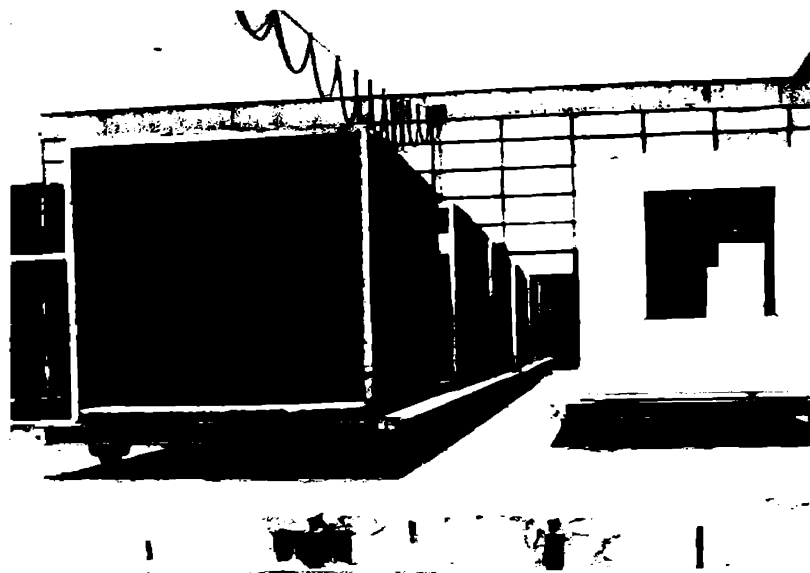


Fig. 5.5

Sistemul ICIM Bv.

Linii de finisaj  
pe poligon.



Fig. 6.6

Hotel STADION  
Poiana, Bv.

**B I B L I O G R A F I C**

---

1. Abdessalam F., Luqez J., avis sur le gros oeuvre SIGMA. Cahier du CSTB nr. 1723, livraison 222 (Septembre 1981)
2. Abei S., Différences finies, éléments finis et équivalences, dans le cas de l'élasticité plane. Annales de l'Institut Technique du Bâtiment et des Travaux Publics, ITBTP, no 351, Juin, 1977.
3. Agent R., Postelnicu T., Calculul structurilor cu disfrazare din beton armat, vol I, 1982, vol. II, 1983 Ed. Tehnică, Bucureşti.
4. Aguirre F., Solana V., Système espagnol de construction d'édifices à l'aide de blocs tridimensionnels. CIB, n°19, S 56, Colloque International sur la Construction en Cellule (CICC), I-1, Balatonfüred, Hungary, 1973.
5. Albigès M., Calcul des murs en béton armé ou non armé, Annales de l' ITBTP, no. 270, Juin, 1970
6. Anastasescu D., Aspecte ale unor efecte de intersecție în calculul și proiectarea structurilor, Rev. Construcții nr. 4-5, 1985.
7. Asandei G., Observații privind aplicarea elementelor spațiale prefabricate din beton armat, cu referire la experimentarea unor structuri demontabile cu elemente tip „tub”. Rev. Construcții nr. 6, 1972.
8. Avram C., Văcăroiu I., Filimon I., Mîrău C., Tertea I., Resistențele și deformările betonului, Ed. Tehnică, București, 1971
9. Avram C., Anastasescu L., Structuri spațiale, Ed. Academiei R.S.R., București, 1978
10. Avram C., Boag I., Grăiner I., ș.a., Clădiri multistajiste din elemente spațiale prefabricate, Conferința a VII-a de betoane, vol. II, Iași, 1975.
11. Avram C., Mihăescu A., Grăiner I., Boag I., Friederich K., Studiul comportării elementelor spațiale tip IC11 Brașov

- pentru clădiri staționate. Conferința a IX-a din betonare, vol. III, Municipiul Gh. Gheorghiu Dej, 1978.
12. AVRAM C., BOB C., FRIEDRICH R., STEILOV V., Structuri din beton armat. Metode elementelor finite. Teorie echivalențelor ad. Academiei R.S.R., București, 1984
13. Baikov V., Strenguine S., Caleală din structură Ed. Mir, Moscova, 1964.
14. Bălăan C., Căpățînă I., Aplicații ale analizelor seismice elastice și postelastice în proiectarea unei structuri prefabricate asamblate prin precompresiune. Simpozionul Național, aplicații ale informaticii în proiectarea și cercetarea de construcții, SMIC - 1, vol. 1, Sibiu, 1979
15. Bârsan G., M., Dimensiuni și stabilitatea construcțiilor a.i.p., București, 1979
16. Bolesz A., a., Voines N., Resistența materialelor. Vol. II, Ed. Tehnică, București, 1978
17. Bolesz A., A., Mihăilescu C., Mihăilescu St., Calculul construcțiilor amplasate pe terenuri deformabile, Ed. Academiei R.S.R., București, 1977
18. Bîc C., Ilie V., Soare M., V., Resistența materialelor și teoria elasticității, a.i.p., București, 1963
19. Björkman H., Modular Box-Unit housing in practice, a case of A/S moelven Brug, CIB, W19, S56, CICC, II-2, balatonfured, Hungary, 1973.
20. Boță I., Veleni G., Procedeu de prefabricare cu elemente spațiale de beton armat. Rev. Construcții 2, 1973
21. Boță I., Găvăneșcu J., Construcții din elemente spațiale prefabricate, Rev. Arhitectura 2, 1975
22. Boță I., Structuri din elemente spațiale de beton armat. Sesiune științifică a Institutului Politehnic Cluj-Napoca, vol. Structuri și elemente de construcții, 1978
23. Boță I., Dope A., Calculul structurilor din elemente spațiale de beton armat executate în sistemul constructiv ICLIM Brescov SMIC - 1, vol. 1, Sibiu, 1979.
24. Boță I., Moșoră L., Postelnicu S., Alușa V., Recomandări pentru proiectarea și execuțarea clădirilor din elemente spațiale finisate, realizate în tehnolo-

gin și sistemul constructiv ICIM Brescov, 1979

25. Borș I., Dose A., Studiu comparativ al elementelor spațiale din beton armat pentru clădiri de locuit, funcție de sistemul de alcătuire, SNIC - 3, vol.1, Sibiu, 1982
26. Borș I., Dose A., Calculul elementelor spațiale de beton armat pentru clădiri de locuit. A XI-a Conferință de betosne, vol. I, Timișoara, 1982.
27. Borș I., Dose A., Particularități de alcătuire și de calcul a structurilor din elemente spațiale. A XI-a Conferință de betosne, vol. II, Timișoara, 1982
28. Borș I., Dose A., Studiu de sinteză asupra sistemelor de construcție cu elemente spațiale prefabricate și a metodelor de calcul utilizate. Contract ICIM Bv. - I.C.C.P.D.C. Fil. Timișoara nr. 2391, 1983
29. Borș I., Dose A., Mihăescu A., Stoian V., Tomă A., Instrucțiuni tehnice pentru proiectarea structurilor din elemente spațiale de beton armat, Redactare I, Contract I.C.C.P.D.C. nr. 939, 1983, subcontract ICIM Bv. nr. 2391, 1983
30. Borș I., Analiza unei soluții constructive pentru cuvels de beton armat ale fundațiilor clocanelor de forjă, SNIC - 5, vol.1, Sibiu, 1986
31. Borș Iacob., Studiul plăcilor plane cu goluri, Tesă de doctorat, Institutul Politehnic Cluj - Napoca, 1984
32. Boutin J., Puech C., Tran.Thang, Etude comparativ du calcul des murs en béton armé ou non armé suivant diverses réglementations annexes de l' ITbTP no. 27e, Juin, 1970
33. Brindza I., Barbuianu M., Calculul și alcătuirea structurilor estejate cu disfazame. Ed. Tehnică, București, 1976
34. Brennikov P., I., Construcții din elemente spațiale (traducere din limba rusă). Ed. Tehnică, București, 1984.
35. Cappe A., Moutteau H., Modélisation des structures pour calcul sur ordinateur, Ed Eyrolles, Paris, 1983
36. Căpățină D., Sandu H., Degeriu L., Negru V., Utilizarea calculatoarelor în analiza și proiectarea structurilor de construcții, SNIC - 1, vol.1, Sibiu, 1979
37. Căpățină D., Salomon M., Asupra stării de solicitare la acțiune seismică a structurilor alcătuite din tuburi disfazante pentru clădiri de locuit P + 8 din paneuri mari, SNIC - 2,

Sibiu, 1980

38. Căpățină D., Aspecte ale răspunsului seismic la structuri din beton armat. Tesă de doctorat, Institutul de Construcții București, 1981
39. Cătarig A., Olariu I., Petruș M., Statics, stabilitate și dinamica construcțiilor, vol.1, I.P. Cluj-Napoca, 1981
40. Cătarig A., Petruș M., Statics, stabilitate și dinamica construcțiilor, vol.2, I.P. Cluj-Napoca, 1985.
41. Christensen G., Bathroomb Box - Units in Denmark, CIB, W19, S56, CICC, I-2, Balatonfüred, Hungary, 1973
42. Coim A., Etats limites ultimes des murs porteurs. Annales de l'ITBTP nr. 324 Janvier, 1975
43. Constantinescu I., N., Munteanu M., Gh., Golubovici D., C., Calculul de rezistență a structurilor de mașini și utilaje, Ed. Tehnică, București, 1984
44. Crișteas I., Munteanu N., Păuleț C., Proiect tip pentru clădiri de locuit P + 2 - P + 4, cu structuri din elemente spațiale din beton de granulit, Rev. Arhitectură, 3, 1978
45. Cuteanu E., Marinov R., Metoda elementelor finite în proiectarea structurilor, Ed. Facla, Timișoara, 1980
46. Debija F., Demir V., Petrevian A., Celule spațiale prefabricate pentru clădiri de locuit confecționate din beton ușor în tehnologie tunel. Sesiunea științifică a Institutului Politehnic Cluj-Napoca, vol. Structuri și elemente de construcții, 1978
47. Debija S., Analiza seismică a unui sistem structural integral prefabricat pentru clădiri etajate, având nucleu asamblate prin precomprimare. Buletin informativ I.P.G.T. nr. 3-4 București, 1986
48. David J., Sanitary Box-Unit in Hungary, CIB, W19, S56, CICC, I-1c, Balatonfüred, Hungary, 1973
49. Demeter S., Testarea electrotermală a betoanelor utilizând metoda electrozilor exteriozi. Conferința a IX-a de betoane, vol. I, Municipiul Gh. Gheorghiu Nej, 1978
50. Deutschnand A., State and development of the application of Box-Units in the German Democratic Republic, CIB, W19, S56, CICC, I-3, Balatonfüred, Hungary, 1973

51. Doga A., Borș I., Sistemul de programare STREPP, analiza liniară a structurilor spațiale din elemente plane perpendiculare, ICLB Brașov nr. 2134, 1982
52. Doga A., Borș I., Cocoza L., Sistemul de programare PALSS, analiza liniară statică și seismică a structurilor plane și spațiale alcătuite din cadre și disfragme prin metoda elementului finit, SNIC - 4, Sibiu, 1984
53. Lrozhev P., F., Rascet mnogoetaznykh zdanij iz Objemykh blokov Beton i zelezobeton, 12, Moskva, 1969
54. Lrozhev P. F., Konstruirovaniye i rascet besusich sistem mnogoetaznykh zdanij i ih elementov, Strojizdat, Moskva, 1977
55. Dumitrescu L., Agent H., Brînzan I., Cotatu L., Trifa F., Cercetări experimentale privind lățimea activă a tălpilor la disfragmăile de beton armat. Rev. Construcții nr.1, 1987
56. Dumitrescu F., D., Postelnicu T., Precizări privind noțiunile de ductilitate a structurilor de beton armat în regiuni seismice, Rev. Construcții 1, 1979
57. Dumitrescu D., ș.c., Indrumator pentru proiectarea și calculul construcțiilor din beton armat și beton precomprimat, Ed. Tehnică, București, 1978
58. Dumitrescu C., Locul și rolul elementelor spațiale în contextul locuinței industrializate Rev. arhitectura 6, 1980
59. Fauchart J., Cortini P., Etude expérimentale de joints horizontaux entre panneaux préfabriqués pour murs de bâtiments, Annales de l'ITBTP, no. 300, Decembre, 1972
60. Filimon I., Deutsch I., Curse de beton armat și beton precomprimat, vol. 1 și 2, Institutul Politehnic „Traian Vuia”, Timișoara, 1984
61. Filimon I., Mihăescu A., Mirsu O., Friedrich B., Aspecte privind calculul și alcătuirea structurilor de beton armat. Referat de sinteză la Conferința a XI-a de betoane, Timișoara, 1982, Rev. Construcții 2, 1983.
62. Florian A., Dobija F., Clădiri de locuit din elemente spațiale tridimensionale, Rev. Arhitectura, 3, 1978
63. Friedrich B., Contribuții la studiul grinziilor – pereti din beton armat, Tese de doctorat. Institutul Politehnic

"Tzien Voie", Timișoara, 1974

64. Friedrich R., Stoian V., Mihăescu A., Program pentru calculul disfragmelor asamblate din panouri maxi, SNIC - 5, Sibiu, 1984
65. Ghelii A., Neville M., Structural analysis, A Unified Classical and Matrix Approach, I.E.P. San Francisco, San Francisco, Toronto, London, 1972
66. Gheorghiu A., Statics construcțiilor, vol. 3 Ed. Tehnică, București, 1980
67. Gioncu V., Ivan N., Bazele calculului structurilor la stabilitate Ed. Facla, Timișoara, 1983
68. Goffi L. Industrializzazione, prefabbricazione edilizia, L'Industria Italiana del Cemento, 9, 1980
69. Grabowski E., Development and application of sanitary and Kitchen units in the GIE, CIB, W19, S56, CICC, II-5, Balatonfüred, Hungary, 1973
70. Grässl H., The VABEL system, CIB, W19, S56, CICC, II-6, Balatonfüred, Hungary, 1973.
71. Gründer I., Rotaru Gr., Frunză R., Unele aspecte ale compoziției disfragmelor de beton la clădiri de locuit multietajate, Conferința a III-a de betoane, Structuri de beton armat, vol. I, Cluj, 1970.
72. Halmagiu M., Popescu R., Un procédé d'exécution des bâtiments à éléments - cellules en béton léger assemblés par pré-contrainte, CIB, W19, S56, CICC, II-16, Balatonfüred, Hungary, 1973
73. Halmagiu M., Realizarea industrială a clădirilor de locuit din elemente spațiale prefabricate, Rev. Materiale de construcții, vol VI, nr. 2, 1976.
74. Halmagiu M., Soluții de structuri eficiente pentru clădiri de locuit și social culturale cu partea flexibil, a XI-a Conferință de betoane, vol. II, Timișoara, 1982
75. Halmagiu Gratiela, S.S.R. - Elemente spațiale pentru clădiri cu partea flexibil, Rev. Arhitectura, 5-6, 1978.
76. Hentzschel D., Prefabricated three - dimensional reinforced concrete elements in public and domestic building, CIB, W19, S56, CICC, II-7 Balatonfüred, Hungary, 1973

77. Meszalow T., Concrete box-units for unit substations, CIB, w19, S56, CICC, II-8, Balatonfüred, Hungary, 1973
78. Iffrin M., Dinamica structurilor și inginerie seismică, E.D.P., 1985
79. Ivan M., Rezile calculului linier al structurilor, Ed. Pechis, Timișoara, 1985
80. Kärreblom G., Holtin E., Box-unit construction in Scandinavia, CIB, w19, S56, CICC, I-6 Balatonfüred, Hungary, 1973
81. Kanz T., Raumellenbaumeisen, hausen und Wohnen, Heft 5, 1969
82. Lages J., Construction en éléments tridimensionnels à base de béton en France, CIB, w19, S56, C.I.C., I-7, Balatonfüred, Hungary, 1973
83. Lages J., La préfabrication lourde en panneaux et le bâtiment d'habitation, Ed. Zyrès, Paris, 1974
84. Lages J., Stabilité des cellules tridimensionnelles, Cahiers du CSTB no. 124d, livraison 12e, Juin 1974
85. Lages J., Résistance sous charges verticales centrées ou excentrées d'éléments de mur parallèles étendus en béton non armé, Annales de l'ITHTP No. 330, Juillet - Aout, 1975
86. Lages J., La stabilité des bâtiments en cellules 3D. Lecture des charges, Cahiers du CSTB no. 1383, livraison 17e, Juin, 1976
87. Lopu M., Soluții noi de realizare a obiectelor pentru organizarea de șantier, Rev. Construcții, 10 - 11, 1971
88. Massonnet Ch., Popescu G., Maquoi B., Müller H., Pander G., Calculul structurilor la calculatoare electronice, Ed. Tehnică, București, 1974
89. Metoiu A., Accelerarea întăririi betonului în elemente prefabricate pentru hale industriale cu consum redus de energie. Materiale de construcții 3, 1985, vol. 15.
90. Mesilis P., Referat de expertiză asupra proiectului structurii de rezistență, Clădiri de locuit P + 8E din penouri mari, Proiect IPCI T.772/I - P.E. București, 1977.
91. Mesilis P., Topa N., Seare S., Ghiorghescu - Kunst M., Încercări experimentale pe model a blocurilor de locuințe P + 4E, realizate cu celule spațiale. Institutul de Construcții, București, Referat 103, 1979

92. Mayer - Zeller D., Bauteillenbeweisen - Entwicklung-Stand und Tendenzen, Bauverlag GmbH, Miesbach und Berlin, 1972
93. Mayer - Koller L., Analyse systematique de 84 systèmes de construction en cellule développés en 17 pays, CIB, n°19, 356, CICC, Lille, Belstanfford, Hungary, 1973
94. Mihai C., Palamaru G., Covaci S., Amzinschi D., Liris I., D., Unele aspecte privind verificarea sciențifică experimentală a sistemului său propus de fixare BUPT din Venezuela, Rev. Construcții, 10, 1982
95. Mihail M., Intăririșe accelerată a betonelor, Ed. Tehnică, București, 1972
96. Mihăescu A., Grüner I., Friedrich R., Toma A., Cercetări privind stabilitatea pereților elementelor spațiale tip ICLM - Brașov, Rev. Construcții 5, 1983
97. Mihăescu A., Friedrich R., Toma A., Stoian V., Studiu teoretic și experimental al elementelor spațiale pentru clădiri de locuit, a XI-a Conferință de betoane, vol. I, Timișoara, 1982
98. Mihăescu A., Iancu J., Ignatu E., Toma A., Aspecte ale durabilității elementelor spațiale prefabricate făcute în construcții etajate, a XI-a Conferință de betoane, vol. I, Timișoara, 1982
99. Mirsu O., Friedrich R., Construcții industriale speciale din beton armat, S.D.P., București, 1975
100. Mirsu O., Friedrich R., Construcții din beton armat S.D.P., București, 1980
101. Moldovan A., Boța I., Velcu G., Licaș E., Zikeli P., Instalație și tehnologie de execuție industrială a elementelor spațiale din beton armat. a IV-a Conferință de betoane, vol. II, Brașov, 1971
102. Moldovan A., Boța I., Velcu G., Licaș E., Procedeu de prefabricare a construcțiilor cu elemente spațiale din beton armat. a IV-a Conferință de betoane vol.III, Brașov, 1971
103. Moldovan A., Boța I., Velcu G., Licaș E., Zikeli P., Element spațial prefabricat, monolit, din beton armat

pentru construcții, instalație și procedeu pentru realizarea lui. Invenție nr. 54740, Ad. Tehnică, București 1972

104. Moldovan S., Zikeli F., Borș I., Instalație și procedeu de formare alternativă a elementelor spațiale de beton erast. Invenție nr. 65300 Ad. Tehnică, București, 1978
105. Moldovan S., Borș I., Tome F., Tehnologia ICLM de fabricație a elementelor spațiale finisate. Conferința a XXI-a de betoane, Vol.III, Municipiul Gh. Gh. Lej, 1978
106. Moldovan S., Borș I., rostehnicu Sandu. Sistemul ICLM de pre-fabricare cu elemente spațiale finisate. Conferința a XXI-a de betoane, vol.III Municipiul Gh. Gh. Lej, 1978
107. Moldovan S., Zikeli F., Borș I., Vorrichtung zur Herstellung von Raumzellen aus Beton, Auslegeschrift 2601207, Deutsches Patentamt, Bundesrepublik Deutschland, 1979
108. Moldovan S., Borș I., Procédé d'exécution des bâtiments en éléments tridimensionnels type Bragov, CIB, n°19, S56, II-17 „Colloque international sur la construction en cellule, 1973, Balatonfüred, Hungary”.
109. Monfred I., B., S.S., Factory production of monolith Box-Units CIB, W19, S56, CICC, III-1, Balatonfüred, Hungary, 1973
110. Monfred I., B., Niclaev N., A., Altgulax E., M., și alții 26enijais obiemnjh blokov, Stroizdat, Moskva, 1974
111. Munteanu N., Cristea I., Răilean C., Proiect tip pentru clădiri de locuit P + 2 - P.+4, cu structură din elemente spațiale din beton de granulat, Rev. Arhitectura 3, 1978
112. Niclaev N., A., Box-unit construction in the USSR, CIB, n°19, S56, CICC, I-3, Balatonfüred, Hungary, 1973
113. Niță Gh., Studiu actual al prefabricării blocurișilor, Rev. Construcții, 4, 1947. Ad. AGIN, București
114. Oghenye T., Stigring S., Technical and economical analysis of BOSTADSBLÄGAT system for box-unit construction, CIB, n° 19, S56, CICC, IV-2, Balatonfüred, Hungary, 1973

115. Gheriu C., V., Eficiență economică a fabricărilor prefabricate în construcții, Universitatea din Timișoara, 1970
116. Oliver G., Z., Box - unit construction in the United States, CIB, 819, S56, CICC, I-9, Balatonfüred, Hungary, 1973
117. Onoț T., Păcurar V., Dempe J., Compe I., Structură obiectă asamblată prin precomprimare, Conferință "V" de betoane, vol.III Municipiul Gh. Gheorghiu Dej, 1978
118. Pauley Th., Earthquake-Resisting Shearwalls-New Zealand's Design Trends. ACI Journal, May-June, 1980
119. Poliakov S., V., g.e., Stroitelstvo zdanij iz objemyh blokov, Beton i zelenobeton, 1, Moskva, 1983
120. Polizu Gh., Metode și tehnici de industrializare a producției de clădiri pentru locuințe. Rev. arhitectura, 4, 1977
121. Pommereh M., Les joint structures dans les constructions en grande panneaux préfabriqués, Annales de l'ITBTP no. 304, Fevrier, 1974
122. Pop V., g.e., Elevații prefabricate din elemente spațiale deschise, Rev. Construcții 4, 1981
123. Popescu Mr., Probleme ale construcțiilor de beton armat ad. Academiei R.S.R., București, 1977
124. Popescu R., Vernescu R., Sur l'application des cellules en Roumanie, CIB, 819, S56, CICC, I-12, Balatonfüred, Hungary, 1973
125. Popescu R., Boroș I., Raport tehnic privind deplasarea delegației de specialiști din INCERC și ICIM Brașov în URSS pentru întâlnirea de lucru referitoare la colaborarea în domeniul construcțiilor din elemente spațiale, București, 1974
126. Popescu R., g.e., Raport tehnic privind deplasarea delegației de specialiști din INCERC, IPGT și ICIM Brașov în URSS pentru întâlnirea de lucru referitoare la colaborarea în domeniul construcțiilor din elemente spațiale, București, 1977
127. Popescu R., Georgescu S., Barbuianu M., Răduțean A., Postolnicu S., Clădiri de locuit din elemente spațiale execuțate prin tehnologie tip "tunel" în URSS,

## Rev. Construcții 4, 1978

128. Popescu R., Georgescu S., Bac I., Magdescu G., Studiu experimental și teoretic cu privire la dezvoltarea structurilor din elemente spațiale prefabricate pentru clădiri. Recomandări pentru proiectarea și executarea clădirilor din elemente spațiale cu puține niveluri, ICCPIC, București, 1981
129. Beyneux J., M., Lemire M., Pera J., Cubeaud J., C., Réévaluation d'un modèle de calcul de cellules tridimensionnelles sous charges verticales. Etude de l'empilage, Cahiers du C.I.R no. 183, Cahier 1465, Cahier 1465, Octobre, 1977
130. Robinson J., M., Fouré B., La résistance aux efforts tangents des joints verticaux d'angle entre grands panneaux. Annales de l'ITBIP no. 316, Avril, 1974
131. Selonen A., The Finnish AUSA - System, CIB, W19, S 56, CICC, II-12, Balatonfüred, Hungary, 1973
132. Socote M., V., Manual pentru calculul construcțiilor, Secțiunea VI, Plăci plane, Ed. Tehnică, București, 1977
133. Smets S., E., Rosekrans V., H., Kaiman Y., M., Buckling Tests on Rectangular Concrete Panels, ACI Journal, January, 1974
134. Smets S., E., Rosenblough V., H., Buckling Design Curves for Concrete Panels with All Edges Continuously Supported, ACI Journal, September, 1975
135. Tătaru L., Onet T., Păcurar V., Proiectarea betonului armat, Ediția III-a, S.L.P., București, 1984
136. Tătaru L., Onet T., Verificarea calității construcțiilor de beton armat și beton precomprimat, Ed. Lucis, Cluj-Napoca, 1979
137. Tătaru L., Betonul precomprimat, hizale protectoare etc. Tehnică, București, 1981
138. Tonu A., N., Contribuții privind calculul și comportarea posetiilor subțiri din structurile de beton armat, Tesă de doctorat, Institutul Politehnic „Traian Vuia” Timișoara, 1985
139. Voisineu A., L., Levontin M., B., Structural solutions of

blocks of flats built using Box-Units of the „Geophyre“  
CIB, #19, S56, C.I.C., IL-14, Balatonfüred, Hungary,  
1973

140. Vorzene J., Statical problems in three dimensional precast  
units, CIB, #19, S56, CICC, IL-13 Balatonfüred,  
Hungary, 1973
141. Vorobeiu O., s.a., Creșterea grădinii de prefabricare a  
lucrărilor edilitare din Capitală, Rev. Construcții,  
4, 1973
142. x x x ÎnCahu, măsurători acustice în vederea stabilisirii  
grădinii de izolare termică la elementele blocului  
experimental, realizat de ICLM Brașov, din elemente  
spațiale de beton armat, Contract nr. 1309, 1969
143. x x x I. P. Timișoara, Încercarea unor elemente spațiale  
de beton armat și a monolitizărilor scăzute, con-  
tract nr. 17467/1969 între I.P.T. și ICLM Brașov
144. x x x I.P. Timișoara, Studiul conlucrării elementelor spa-  
țiale tip ICLM în structurile de rezistență, Contract  
nr. 3631/1972 între I.P.T. și ICLM
145. x x x I.P. Timișoara, Comportarea spațială a structurilor  
cu disfagme monolite și prefabricate, Contract 3632/  
1972 între I.P.T. și I.C.I.M.
146. x x x I.P. Timișoara - Studii experimentale privind struc-  
turele etajate execuțate cu elemente spațiale tip ICLM,  
Contract 4366/1973 între I.P.T. și ICLM
147. x x x I. P. Timișoara, Comportarea spațială a structurilor  
cu disfagme prefabricate, Contract 2641/1974 între  
I.P.T. și I.C.I.M.
148. x x x I. P. Timișoara, Comportarea structurilor realizate  
cu prefabricate spațiale, Contract 66/1975 între  
I.P.T. și I.C.I.M.
149. x x x I. P. Timișoara, Cercetări experimentale asupra ele-  
mentelor spațiale cu porțiuri nerușați pentru construc-  
ții multietajate, Contract 44/1976 între I.P.T. și  
I.C.I.M. Brașov
150. x x x I. P. Timișoara, Cercetări privind comportarea ele-  
mentelor spațiale tip I.C.I.M. Brașov pentru construc-  
ții multietajate Contract 31/1977 între IPT și ICLM

## Brașov

151. \*\*\* ICCPDC Fil. Timișoara, Studii și cercetări în vederea perfecționării soluțiilor funcționale pentru clădiri de locuit, în lumina noilor directive în construcții. Structuri de clădiri de locuit din elemente spațiale de beton armat. Contract nr. 303, 1978 între I.P. Timișoara și ICCPDC Filiala Târnăveni, Faza I, 1978 și Faza II, 1979
152. \*\*\* ICCPDC Fil. Timișoara, Studiu teoretic și experimental cu privire la dezvoltarea structurilor din elemente spațiale prefabricate pentru clădiri, Contract nr. 170, 1980 între I.P. Timișoara și ICCPDC Fil. Timișoara Faza I, 1980 și Faza II, 1981
153. \*\*\* ICCPDC Fil. Cluj-Napoca. Noi tipuri de clădiri execute din elemente spațiale, Contract nr. 667, 1977 între ICCPDC Fil. Cluj - Napoca și ICCPDC București
154. \*\*\* ICCPDC Fil. Timișoara. Studiu privind comportarea structurii formate din coloane de elemente spațiale la acțiunile încărăcerilor gravitaționale și orizontale. Capacitate portantă, stabilitate, rigiditate, Faza I, Studiu de sinteză, Contract nr. 939, 1983 între I.P. Timișoara și ICCPDC Fil. Timișoara.
155. \*\*\* INCERC Fil. Iași, Experimentări privind comportarea mecanică la solicitări verticale și orizontale, îndeosebi seismice, a prefabricatelor spațiale pentru o clădire de locuit ce urma să a fi executată în Iași. Referat cu concluzii, Contract nr. 796, 1973
156. \*\*\* TNILSP jilișce, Nauchno-tehnicheskij otčet po sovmetnaj TNILSP jilișce (URSS) i INCERC (RSR), Razdel „Razrabota reacetenyh metodov, algoritmov i programy dlya reaceta na IBM konstrukcij zdanij iz blokov, primenjeniyh v S.R.B., Moskva, 1975
157. \*\*\* ICPEOM Iași, Studiu privind comportarea structurii formate din coloane de elemente spațiale la acțiunile încărăcerilor gravitaționale și orizontale. Capacitate portantă, stabilitate, rigiditate, Faza I, colaborare, iunie, 1983
158. \*\*\* ICCPDC, INCERC, Studiu comportării la acțiuni seismice a soluțiilor noi de clădiri de locuit tipizate, Faza 1-a

Cercetări privind calcul și experimentale cu privire la clădirile de locuit executate din elemente spațiale,  
Contract nr. 511, 1980

159. \*\*\* C.R.B., C.I.B., M.M.A.T.C., Recommendations internationales unifiées pour le calcul et l'exécution des structures en panneaux assemblés de grand format, 1 - ème édition, AITEC, Roma, 1969
160. \*\*\* Design of Precast Concrete Wall Panels, Reported by ACI Committee 583, Journal of the ACI, 7, 1971
161. \*\*\* Instrucțiuni tehnice privind proiectarea clădirilor de locuit cu structura de rezistență din panouri mari, elaborate de I.P.C.T., indicativ P.lal - 78
162. \*\*\* Normativ privind proiectarea antiseismică a construcțiilor de locuințe social - culturale, agronomotehnice și industriale, indicativ P. loc - 81,
163. \*\*\* Instrucțiuni tehnice pentru proiectarea construcțiilor cu structura din disperzare de beton, P. dE - 82, Buletinul Construcțiilor vol. 6, 1982
164. \*\*\* Traveaux de perçage et murs en béton banché, Cahier des charges, Cahiers du CSTB, no. 160, Cahier 1321, juin, 1975
165. \*\*\* ICIM Brașov, proiecte nr. 1807, 1808, 1809 Clădiri de locuit P + 4K cu structura din elemente spațiale, grad 7 seismic, secțiunile tip P 5 b 1, P 5 c 1, P 5 C 2, P 5 d 1.
166. \*\*\* ICIM Brașov, proiect nr. 1874, Elemente prefabricate pentru clădiri de locuit din elemente spațiale, Secțiunile tip P 5 b 1, P 5 c 1, P 5 c 2, P 5 d 1.
167. \*\*\* IPGT, proiect nr. 1243, Clădiri de locuit P + 4K cu structura din elemente spațiale, grad 6 seismic, tehnologie ICIM Brașov, Breviar de calcul - rezistență, faza P.A.
168. \*\*\* PROIECT Brașov studiu privind caracteristicile principale ale materialelor, manopera și energie ale sistemelor constructive, Dec. 1982
169. \*\*\* I.P.J. Dolj, Clădiri de locuit P + 4K, din elemente spațiale, proiect tip nr. T.960/8, T.2676

170. x x x EPCP, Proiect tip departamental nr. 4-80-4, Cabinet integral prefabricat pentru scari.
171. x x x LPCP, Manual de utilizare al programului SAP 4, 1979
172. x x x LPCP, Manual de utilizare al programului CASE, versiunea 05, 1985
173. x x x IPCP - ICL Brașov, Manual de utilizare a programului PALES, 1984
174. x x x Eficiență activității economice, ed. Politică, București, 1967
175. x x x Cările de reducere a costului lucrărilor de construcții-montaj, Ed. Stiințifică, București, 1965
176. x x x Organizarea și planificarea întreprinderilor de construcții și transporturi, M.E.P., București, 1977
177. x x x ANDERSON BUILDING SYSTEMS, Anderson Systems International, Inc („ASI”), Honolulu, Hawaii, (prospectul firmei)
178. x x x BOSTADSACTIEBLAG, Göteborg stads, Bevialeonte der Wohnungsbaugesellschaft, Göteborg, Sweden, 1973 (prospectul firmei)
179. x x x BBMI, Building Block Modules Inc, Reinforced Concrete Modular Building Systems, 44250 West Springs Boulevard, Fremont, California, U.S.A., (prospectul firmei)
180. x x x LOMJA BOX UNIT SYSTEM, Helsinki, Finland 1977 (prospectul firmei)
181. x x x SHELLY SYSTEM, Shelley Enterprises, Rio Piedras, Puerto Rico (prospectul firmei)
182. x x x INTERNATIONAL SYSTEMS (ICI), Mobile, Alabama, U.S.A., O mare fabrică de elemente spațiale prefabricate, revista Construcții, 3, 1982
183. x x x Sistemii constructive sovietice pentru clădiri din elemente spațiale, GICAS, documentare 2, 1983, Fise BD - II.1
184. x x x Aditivi pentru betoane. Informații GICAS, fise 83.4-05
185. x x x TNLIDR, OSCKT pe eksperimentalastru strajtelestvu v g. Kremodase 22-stajbove jilogo dem ne 96 kv. Seria RDR-I, rezabete v nezak protokole po otdružnicestru majdu TNLIDR jilisces (URSS) i INGEG (BSB), Moskva, 1979